



Sveučilište Josipa Jurja Strossmayera u Osijeku  
**Građevinski i arhitektonski fakultet Osijek**  
Josip Juraj Strossmayer University of Osijek  
**Faculty of Civil Engineering and Architecture Osijek**

# KI Expert - novosti

## Toplinski mostovi

## Dinamičke toplinske značajke

## Gubici prema tlu

## ETICS sustavi s teškim oblogama

*Silvio Novak, dipl.ing.građ.*

*Osijek, 6.5.2023. godine*

Novosti u KI Expertu – predstavljanje buduće  
inačice s implementiranim i planiranim  
proračunima

# Negativna vrijednost Eprim (kWh/m<sup>2</sup>)

Poštovani,

Kao što smo i ranije naveli, sustav IEC za sada ne poznaje negativne vrijednosti ili nulu - mora biti upisana minimalna pozitivna vrijednost, a to je 0,01 da bi se mogao izračunati energetski razred i spremiti promjene.

Dakle, nema nove XSD sheme, nego vaš računalni program kad šalje podatke u IEC umjesto negativne vrijednosti treba slati najmanju pozitivnu vrijednost (zato je i prijedlog 0,01).

Nova direktiva predviđa i mogućnost dodatne energije te će se zgrade koje proizvode više energije nego što potroše svrstavati u neki A+ razred, i ta će promjena utjecati na novi način certificiranja i prilagodbu IEC-a, ali do donošenja nove direktive sustav se neće mijenjati.

Srdačan pozdrav,



REPUBLIKA HRVATSKA  
Ministarstvo prostornoga  
uređenja, graditeljstva  
i državne imovine

Uprava za energetska učinkovitost u zgradarstvu,  
projekte i programe Europske unije

Sektor za energetska učinkovitost u zgradarstvu

t: +38513782170

e: [infoiec@mpei.hr](mailto:infoiec@mpei.hr)

Ulica Republike Austrije 14 | 10000 Zagreb

[www.mgipu.hr](http://www.mgipu.hr)

# Detaljni satni podaci

## A.11 Određivanje potrebne toplinske energije za grijanje/hlađenje (kontinuirani i nekontinuirani rad)

### Proračun za karakterističan dan

Dnevno (integracija za period kada sustav radi):

$$Q_{HC,nd,day} = \frac{1}{1000} \sum_{i=1}^{24} \Phi_{HC,nd,i} \cdot t \quad [\text{kWh}] \quad (\text{A.24})$$

$\Phi_{HC,nd,i}$  - potrebna snaga za grijanje/hlađenje u periodima kada sustav radi (W)

$Q_{HC,nd,day}$  - dnevna potrebna toplinska energija za grijanje/hlađenje (kWh)

$t$  - korak proračuna,  $t = 1$  h

*Napomena 1:* U periodu kada sustav ne radi, u proračunu (A.13 do A.23) treba računati sa  $\Phi_{HC,nd,i} = 0$ .

*Napomena 2:* Posebno se zbrajaju pozitivne vrijednosti ( $Q_{HC,nd,day}$ ), a posebno negativne vrijednosti ( $Q_{C,nd,day}$ )

*Napomena 3:* U sve daljnje proračuna uzima se apsolutna vrijednost potrebne snage, odnosno toplinske energije za hlađenje ( $Q_{C,nd,day}$ )

Mjesečno (integracija kroz cijeli mjesec):

$$Q_{HC,nd,m} = \sum_i Q_{HC,nd,day,i} \cdot d_{use,g} / 7 \cdot L_{HC,m,i} / d_i \quad [\text{kWh}] \quad (\text{A.25})$$

$d_{use,g}$  - broj dana rada sustava u tjednu (d/tj);

$d_i$  - ukupan broj dana u mjesecu (d).

$L_{HC,m,i}$  - broj dana kad ima potrebe za grijanjem/hlađenjem u pojedinom mjesecu (d/mj), određen prema 1.3.6 i 2.5.

Godišnje (integracija kroz cijelu godinu):

$$Q_{HC,nd,a} = \sum_i Q_{HC,nd,m,i} \quad [\text{kWh/a}] \quad (\text{A.26a})$$

### Proračun za sve sate u godini

Ukoliko se proračun radi za 8760 sati mjesečna potrebna energija za grijanje/hlađenje računa se prema:

$$Q_{HC,nd,m} = \frac{1}{1000} \sum_{i=A}^B \Phi_{HC,nd,i} \cdot t \quad [\text{kWh}] \quad (\text{A.26b})$$

gdje je:

$t$  - korak proračuna,  $t = 1$  h;

$A$  - početni sat mjeseca (Tablica A.2);

$B$  - završni sat mjeseca (Tablica A.2).

### Proračun za sve sate u godini

$$Q_{int,m} = \frac{1}{1000} \sum_{i=A}^B \Phi_{int,i} \quad [\text{kWh}] \quad (\text{A.32})$$

$Q_{int,m}$  - mjesečni toplinski dobitak od unutarnjih izvora topline (kWh)

$$Q_{sol,m} = \frac{1}{1000} \sum_{i=A}^B \Phi_{sol,i} \quad [\text{kWh}] \quad (\text{A.33})$$

$Q_{sol,m}$  - mjesečni toplinski dobitak od Sunčeva zračenja (kWh)

$$Q_{ve,m} = \frac{1}{1000} \sum_{i=A}^B (H_{ve,inf,i} + H_{ve,win,i} + 0.34 \cdot V_{mech,sup}) \cdot (\vartheta_{int,set} - \vartheta_e) \quad [\text{kWh}] \quad (\text{A.34})$$

$Q_{ve,m}$  - mjesečno izmjenjena toplinska energija ventilacijom (kWh)

$V_{mech,sup}$  - volumni protok vanjskog zraka mehaničkom ventilacijom ( $\text{m}^3/\text{h}$ )

$$Q_{tr,m} = \frac{1}{1000} \sum_{i=A}^B [(H_{tr,w,i} + H_{tr,op,i}) \cdot (\vartheta_{int,set} - \vartheta_e) + \Phi_m] \quad [\text{kWh}] \quad (\text{A.35})$$

$Q_{tr,m}$  - mjesečno izmjenjena toplinska energija transmisijom (kWh)

$\Phi_m$  - toplinski tok izmjene topline s tlom za proračunski mjesec (W)

$$y_{H,m} = \frac{Q_{int,m} + Q_{sol,m}}{Q_{tr,m} + Q_{ve,m}} \quad [-] \quad (\text{A.36})$$

$y_{H,m}$  - omjer toplinskih dobitaka i ukupne izmjenjenje topline transmisijom i ventilacijom u promatranoj mjesecu

Dobivenim omjerom ulazi se u proračune opisane u poglavljju 1.3.4 (za određivanje mjesecnog faktora iskorištenja toplinskih dobitaka  $\eta_{H,gn}$ ), odnosno u poglavje 2.3 (za određivanje mjesecnog faktora iskorištenja toplinskih gubitaka  $\eta_{C,ls}$ ).

Kod proračuna iskorištenja iskoristivih toplinskih gubitaka prethodni omjer se računa prema:

$$y_{H,m} = \frac{Q_{int,m} + Q_{sol,m} + \sum Q_{tbl,m}}{Q_{tr,m} + Q_{ve,m}} \quad [-] \quad (\text{A.37})$$

$\sum Q_{tbl,m}$  - ukupni zbroj iskoristivih toplinskih dobitaka svih podsustava u pojedinom mjesecu (vidi jedn. (1.4) Algoritama za određivanje energijskih zahtjeva i učinkovitosti termotehničkih sustava u zgradama - Sustavi grijanja prostora i pripreme potrošne tople vode) [kWh]

# Meteorološki podaci

■ **Algoritam za pripremu meteoroloških podataka kod izračuna energijskog svojstva zgrada**, objavljen  
08.12.2020., do daljnog nije u obveznoj primjeni



Centar za transfer tehnologije d.o.o.  
Ivana Lučića 5, 10000 Zagreb • www.ctt.hr • ctt@ctt.hr • tel +385 16168567

## Algoritam za pripremu meteoroloških podataka kod izračuna energijskog svojstva zgrada

Autor:  
prof.dr.sc. Damir Dović, dipl.ing.stroj.

Zagreb, listopad 2020.

## *Algoritam za određivanje meteo podataka*

Str. 1

### SADRŽAJ

#### UVOD

1. Proračun Sunčevog zračenja na nagnutu plohu prema HRN EN ISO 52010-1:2017  
Energijska svojstva zgrada -- Vanjski klimatski uvjeti -- 1. dio: Pretvorba klimatskih podataka za energetski izračun
2. Korekcija proračunske temperature u ovisnosti o nadmorskoj visini prema HRN EN ISO 15927-5:2008 Značajke zgrada s obzirom na toplinu i vlagu -- Proračun i prikaz klimatskih podataka -- 5. dio: Podaci za proračun toplinskog opterećenja za grijanje prostora
3. Korištenje satnih meteoroloških podataka iz baze Joint Research Center (JRC)
  - 3.1 Općenito o JRC
  - 3.2 Postupak učitavanja podataka iz baze
  - 3.3 Učitavanje mjesecnih vrijednosti na nagnutu plohu
  - 3.4 Učitavanje dnevnih vrijednosti na nagnutu plohu
  - 3.5 Učitavanje satnih vrijednosti na nagnutu plohu
4. Primjeri proračuna
  - 4.1 Proračun za meteo postaju Zagreb-Maksimir
  - 4.2 Proračun za meteo postaju Split-Marjan

#### LITERATURA



Osnovao Fakultet strojarstva i brodogradnje Sveučilišta u Zagrebu



# Meteorološki podaci

## 3. Korištenje satnih meteoroloških podataka iz baze Joint Research Center (JRC)

### 3.1 Općenito o JRC

Baza EU Joint Research Center (JRC) sadži satne podatke o temperaturi, reativnoj vlažnosti, brzini vjetra, Sunčevom zračenju, brzini vjetra i atmosferskom tlaku zraka za period od 2005. do 2016. g. za područje Europe te dio ostakta Sviljata (Afrika, dio Azije, dio S. i J.Amerike). U ovom su Algoritmu korišteni podaci za karakterističnu meteorološku godinu (Typical meteorological year - TMY) koja je izvedena za odabrani period od 10 godina na način da je odabran karakterističan mjesec iz svake godine prema proceduri iz norme HRN EN ISO 15927-4 [3].

Podaci o Sunčevom zračenju su izračunati temeljem satelitskih snimaka kroz CM SAF suradnju (<http://www.cmsaf.eu>), dok su ostale navedene meteo veličine dobivene iz ECMWF (European Centre for Medium-Range Weather Forecasts) ERA-interim reanalysis (<http://www.ecmwf.int>). Temperatura zraka je korigirana prema nadmorskoj visini. Podaci dobiveni kroz 'Reanalysis' se temelje na numeričkim prognostičkim modelima uz korekcije prema stvarnim mjerjenjima.

Vrijednosti Sunčevog zračenja su validirane mjerenim podacima na površini Zemlje. Navedeni proračuni Sunčevog zračenja temeljem satelitskih snimaka daju vrijednosti globalnog zračenja na horizontalnu plogu  $G_{sol,g}$  i direktnog zračenja  $G_{sol,b}$ .

Za proračun ostalih komponenti potrebnih za proračun zračenja na nagnutu plohu koristi se anizotropska metoda difuznog zračenja s dvije komponente Muneer (1990) [8].

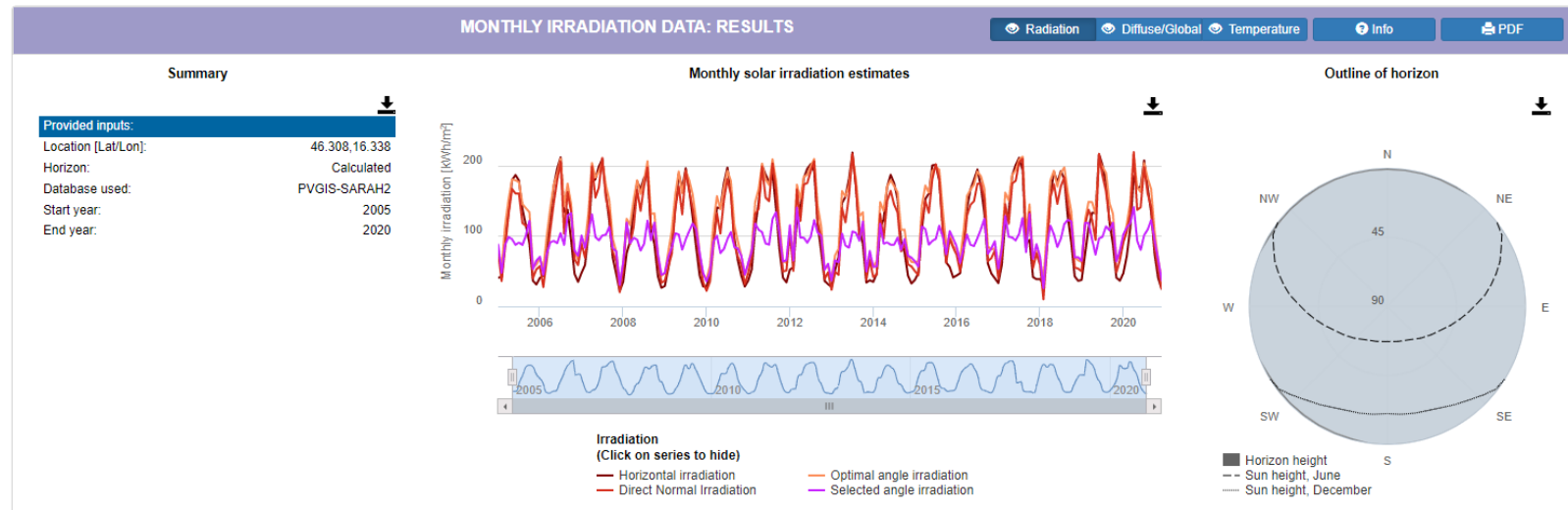
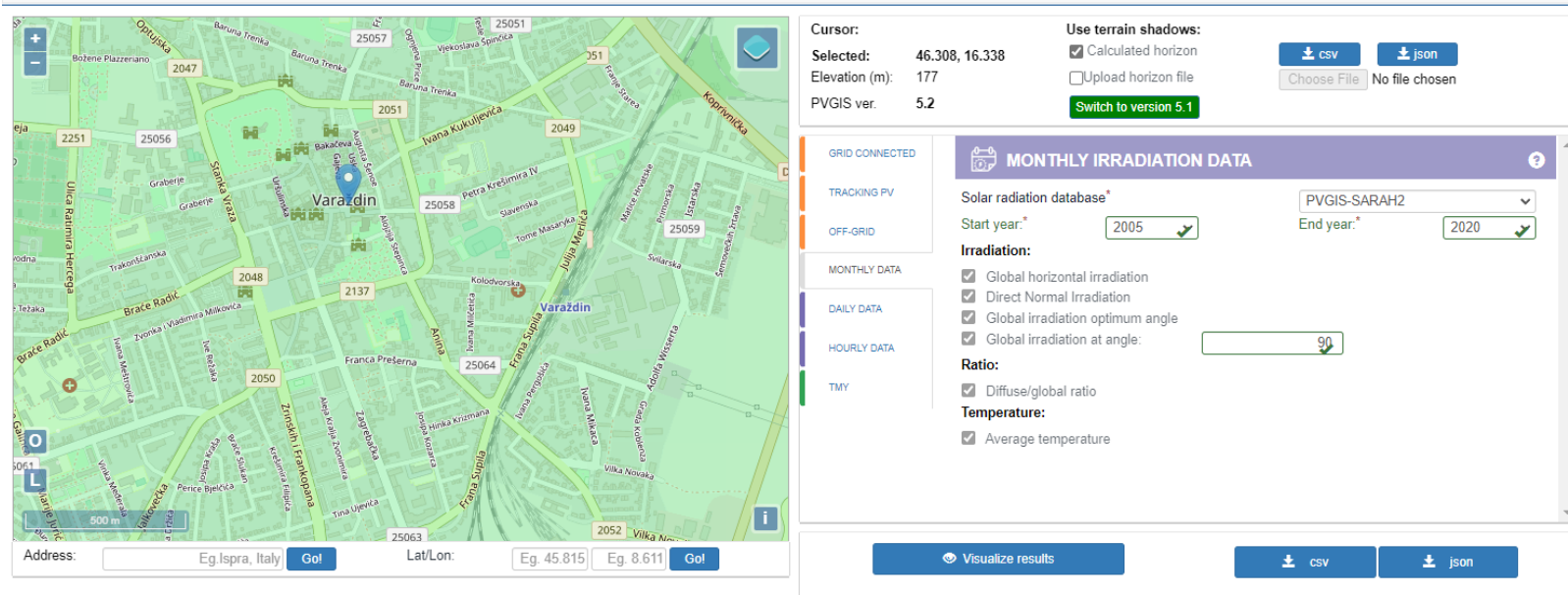
Stoga se podaci o proračunatim vrijednostima na nagnutu plohu razlikuju od onih dobivenih ovim Algoritmom (gdje je korišten postupak prema EN ISO 52010-1).

### 3.2 Postupak učitavanja podataka iz baze

Alat za odabir i učitavanje podataka je dostupan na web stranici [https://re.jrc.ec.europa.eu/pvg\\_tools/en/#MR](https://re.jrc.ec.europa.eu/pvg_tools/en/#MR) [9]. Podaci se mogu učitati kao satni, dnevni, mjesечni u raznim formatima ovisno o programu u kojem se koriste. Također, dostupan je i grafički prikaz rezultata za odabrani nagib i orientaciju plohe te vremenski period. Za obradu podataka u excelu potrebno je učitati podatke u .csv formatu. U nastavku je opisano učitavanje podataka za karakterističnu godinu, obzirom da su oni relevantni za proračune energijskog svojstva zgrade.

# Meteorološki podaci

# Meteorološki podaci



# Meteorološki podaci

The screenshot shows a software application window titled "Meteoroški podaci". The top menu bar includes "Projekt", "Zone", "Potrebna energija", "Konačna energija", "Primarna energija", "Ispisi", and "Upravljanje gradovima". Below the menu is a toolbar with icons for "Klimatski podaci", "Odaber grad", "Dodaj", "Promijeni", "Obriši", "Popuni prema JRC web servisu", and "Zatvori gradove". The main navigation tabs at the bottom are "Osnovni podaci", "Klimatski podaci" (which is selected), "Klimatski podaci (satni)", "Definirane zone", "Opći podaci o projektu", and "Unos novog grada". A sub-header "Pregled klimatoloških podataka (Varaždin)" is displayed above a search bar with the placeholder "var". The search results are listed in a vertical scrollable panel:

- Daruvar**  
Klimatološka zona: Zona II  
Referentna postaja: Daruvar  
Temperature: 11,2 °C  
Wind speed: 0,8 m/s  
Cloudiness: 78 %  
JRC podaci sinkronizirani: (nema podataka)
- Hvar**  
Klimatološka zona: Zona V  
Referentna postaja: Hvar  
Temperature: 16,8 °C  
Wind speed: 3 m/s  
Cloudiness: 67 %  
JRC podaci sinkronizirani: (nema podataka)
- Varaždin**  
Klimatološka zona: Zona II  
Referentna postaja: Varaždin  
Temperature: 10,9 °C  
Wind speed: 2 m/s  
Cloudiness: 76 %  
JRC podaci sinkronizirani: 8.11.2022. 15:14:31

# Meteorološki podaci

An official website of the European Union How do you know? ▾

 European Commission | EN English Search

EU Science Hub

European Commission > ... > PVGIS Photovoltaic Geographical Information System > Getting started with PVGIS > API Non-Interactive Service

## API Non-Interactive Service

All the PVGIS tools can be accessed non-interactively using our web APIs. The entrypoints are:

PVGIS 5.1: [https://re.jrc.ec.europa.eu/api/v5\\_1/tool\\_name?param1=value1&param2=value2&...](https://re.jrc.ec.europa.eu/api/v5_1/tool_name?param1=value1&param2=value2&...)

PVGIS 5.2: [https://re.jrc.ec.europa.eu/api/v5\\_2/tool\\_name?param1=value1&param2=value2&...](https://re.jrc.ec.europa.eu/api/v5_2/tool_name?param1=value1&param2=value2&...)

NB The old endpoint [https://re.jrc.ec.europa.eu/api/tool\\_name?param1=value1&param2=value2&...](https://re.jrc.ec.europa.eu/api/tool_name?param1=value1&param2=value2&...) will continue serve PVGIS 5.1 for a limited period.

The variables are:

- *tool\_name*: PVcalc, SHScalc, MRecalc, DRcalc, seriescalc, tmy, prinhorizon.
- *param1=value1, param2=value2, ...*: input parameters of the tool with their corresponding values concatenated in a query string format.

PVGIS APIs can be called directly using different languages like Python, NodeJS, Perl, Java and many others. Such languages have libraries to ease API calls management. Please, for more information check the documentation of the specific language used.

**Warning:** access to PVGIS APIs via AJAX is not allowed. Please, do not ask for changes in our CORS policy since these requests will be rejected by the system administrators.

When you report an error, please always specify the exact URL, the parameters used, the exact

Your cookie preferences have been saved. To change your preferences at any time, see our [cookies policy](#) or visit the link in the page footer. Close 

# Meteorološki podaci

Projekt Zone Potrebna energija Konačna energija Primarna energija Ispisi Klimatski podaci O programu Zatvori projekt

Klimatski podaci Odaberi grad Dodaj Promijeni Popuni prema JRC web servisu Zatvori gradove

Upravljanje gradovima

Osnovni podaci Klimatski podaci Klimatski podaci (satni) Definirane zone Opći podaci o projektu

Pregled satnih klimatoloških podataka (Varaždin) Aktivni grad: Varaždin

Temperature Rel. vlažnost Sunčeve zračenje: E W N S NE NW SE SW 0°

Temperature vanjskog zraka

Tip prikaza:  Ukupno  Za mjesec  Za dan Filter: Mjesec: Siječanj Dan: 1 Prikaži

Dan	0.0	0.1	0.2	0.3	0.4	0.5	0.6	0.7	0.8	0.9	0.10	0.11	0.12	0.13	0.14	0.15	0.16	0.17	0.18	0.19	0.20	0.21	0.22	0.23
1.	-2,23	-2,23	-2,24	-2,24	-2,24	-2,24	-2,25	-2,25	-1,65	0,05	1,80	2,68	3,09	3,36	3,12	2,01	0,69	-0,26	-1,47	-2,24	-3,55	-4,62	-5,23	-5,61
2.	-6,19	-6,93	-7,38	-8,06	-8,82	-9,35	-9,97	-10,09	-5,98	-0,91	1,64	3,24	3,72	3,33	3,02	2,00	0,77	-0,29	-1,18	-0,70	-1,37	-2,50	-3,26	-3,70
3.	-3,98	-4,07	-4,09	-4,01	-3,81	-3,69	-3,59	-1,57	-0,61	-0,05	0,58	0,77	1,02	1,38	1,47	1,12	0,27	-0,59	-1,36	-1,39	-1,74	-2,23	-2,57	-2,89
4.	-3,14	-2,95	-3,26	-3,28	-3,68	-4,05	-4,16	-4,78	-3,80	-1,70	-0,43	0,26	0,81	1,14	0,97	0,25	-1,23	-2,59	-3,77	-4,91	-6,25	-7,30	-7,94	-8,54
5.	-9,32	-10,13	-10,70	-11,34	-12,11	-12,93	-13,94	-12,33	-9,55	-6,84	-4,33	-2,95	-2,16	-1,75	-1,61	-1,86	-2,78	-3,31	-4,43	-5,63	-6,45	-7,38	-8,04	-8,74
6.	-9,77	-10,77	-11,64	-12,79	-13,28	-14,00	-14,48	-13,43	-10,82	-8,83	-7,26	-6,06	-4,91	-4,12	-3,79	-3,89	-4,73	-5,97	-6,91	-7,28	-7,97	-8,47	-8,75	-10,17
7.	-11,50	-11,70	-11,43	-10,53	-9,79	-9,69	-9,53	-8,65	-8,17	-7,35	-6,77	-6,06	-5,17	-4,77	-4,73	-4,95	-5,77	-7,04	-8,77	-9,10	-9,81	-10,66	-11,06	-11,53
8.	-12,62	-13,62	-14,47	-15,65	-17,27	-18,28	-18,96	-18,85	-14,41	-11,70	-8,93	-7,24	-5,88	-4,99	-4,70	-5,21	-7,15	-6,63	-7,70	-10,01	-12,71	-15,27	-16,79	-18,09
9.	-18,95	-19,40	-19,44	-19,57	-21,25	-21,90	-21,97	-19,80	-17,20	-14,08	-10,78	-7,64	-5,59	-4,41	-4,01	-4,87	-7,08	-7,74	-8,10	-10,02	-11,82	-15,25	-17,10	-18,41
10.	-19,31	-20,10	-20,85	-21,17	-21,70	-22,02	-21,72	-19,90	-15,88	-12,14	-8,42	-4,83	-2,43	-1,09	-0,69	-1,29	-3,15	-4,93	-6,34	-6,42	-6,67	-6,72	-6,31	-6,23
11.	-6,19	-5,73	-5,42	-5,05	-4,58	-4,04	-3,73	-2,47	-0,73	2,07	4,55	5,66	6,15	6,23	5,82	4,97	3,50	2,37	1,98	1,55	1,75	1,74	1,24	0,56
12.	0,18	0,01	-0,01	0,16	0,43	0,23	-0,24	0,27	1,60	3,27	5,49	6,83	7,24	7,49	7,93	7,51	6,91	5,83	5,14	4,70	4,59	4,82	4,80	4,71
13.	4,35	4,25	4,66	4,83	4,21	3,61	2,96	1,75	1,98	4,14	6,94	8,44	9,17	9,18	8,67	6,94	4,90	2,76	1,54	0,38	-0,32	-0,62	-0,38	-0,42
14.	-0,45	-0,45	-0,63	-0,82	-0,98	-1,20	-1,34	-0,70	0,53	2,28	3,79	5,01	5,79	6,17	5,98	5,40	3,70	1,95	0,94	0,21	-0,50	-1,03	-1,35	-1,35
15.	-1,37	-1,32	-1,29	-1,32	-1,33	-1,26	-1,27	-0,92	-0,46	-0,11	0,09	0,64	0,89	0,97	1,25	1,14	0,52	-0,02	-0,36	-0,50	-0,62	-0,58	-0,59	-0,65
16.	-0,65	-0,68	-0,72	-0,76	-0,77	-0,70	-0,83	-0,76	0,75	2,10	2,78	2,89	2,73	3,00	2,92	2,68	1,95	0,99	0,27	-0,21	-0,24	-0,44	-0,51	-0,50
17.	-0,58	-0,66	-0,67	-0,74	-0,81	-0,84	-0,80	-0,51	-0,31	-0,03	0,56	1,36	2,37	2,50	2,49	2,20	1,57	0,88	0,40	0,08	-0,27	-0,80	-1,56	-2,35
18.	-2,55	-3,05	-3,36	-3,55	-3,61	-2,89	-3,03	-1,57	-2,90	0,58	1,73	2,48	2,61	3,08	3,21	2,87	2,15	0,95	0,10	-0,93	-1,11	-1,45	-1,04	-1,26
19.	-1,58	-1,80	-2,14	-2,12	-2,14	-2,27	-2,37	-1,22	-0,94	1,17	2,23	3,15	3,55	3,69	3,63	3,29	2,38	1,08	-0,01	-1,48	-1,64	-1,37	-1,55	-1,81
20.	-1,90	-2,14	-2,24	-2,36	-2,49	-2,56	-2,59	-1,49	-0,30	1,21	2,31	3,30	3,98	4,04	3,69	3,16	2,14	0,86	-0,06	0,00	-0,30	-0,54	-0,83	-1,08
21.	-1,22	-1,38	-1,67	-1,96	-2,26	-2,62	-2,70	-2,41	-2,05	-1,52	-1,12	-0,76	0,00	0,43	0,72	0,76	0,38	-0,48	-2,00	-1,71	-1,93	-2,17	-2,17	-2,21
22.	-2,11	-1,80	-1,72	-1,82	-2,01	-2,09	-2,77	-2,19	-1,03	0,11	1,57	2,88	3,33	3,42	3,00	2,27	1,37	0,46	-0,33	-1,06	-2,57	-3,22	-3,73	-3,73
23.	-4,49	-5,02	-6,13	-7,18	-8,59	-9,27	-9,14	-6,05	-4,29	-2,01	-0,16	1,75	2,21	2,58	2,58	1,92	1,31	0,95	0,79	0,10	0,04	0,00	-0,03	-0,10
24.	-0,14	-0,16	-0,18	-0,12	-0,06	-0,16	-0,09	-0,08	0,57	1,92	3,05	3,71	4,07	4,11	4,02	3,63	2,34	0,98	-0,32	-1,50	-2,55	-3,30	-4,26	-5,06
25.	4,17	4,84	5,79	7,86	10,22	10,31	10,12	7,01	5,22	3,29	0,29	0,29	1,16	1,29	1,26	0,21	0,41	0,22	0,58	0,67	0,73	0,89	0,89	0,89

# Meteorološki podaci

Klimatski podaci

Odaberi grad

Dodaj

Promjeni

Obriši

Popuni prema JRC web servisu

Zatvori gradove

Upravljanje gradovima

Osnovni podaci Klimatski podaci Klimatski podaci (satni) Definirane zone Opći podaci o projektu

Pregled satnih klimatoloških podataka (Varaždin)

Aktivni grad: Varaždin

Temperature Rel. vlažnost Sunčev zračenje: E W N S NE NW SE SW 0°

Temperature vanjskog zraka

Tip prikaza:

Upukno Za mjesec Za dan

Mjesec: Travanj Dan: 1 Prikazi

	Dan	0.0	0.1	0.2	0.3	0.4	0.5	0.6	0.7	0.8	0.9	0.10	0.11	0.12	0.13	0.14	0.15	0.16	0.17	0.18	0.19	0.20	0.21	0.22	0.23
►	1.	3,95	3,45	2,95	2,45	1,94	1,44	0,94	0,44	7,93	9,21	10,27	11,32	11,75	12,31	12,33	12,04	11,33	10,17	8,61	7,94	7,38	8,00	7,34	6,67
	2.	5,79	3,68	2,34	1,83	2,25	1,70	2,85	6,49	9,60	11,01	11,89	12,60	13,15	13,56	13,66	13,47	12,82	11,71	9,63	8,86	7,81	6,71	5,93	5,94
	3.	5,65	4,91	3,90	3,19	2,64	2,23	3,43	7,43	10,79	12,81	14,10	14,83	15,36	15,65	15,67	15,36	14,53	13,14	11,39	10,13	8,44	7,28	6,11	5,13
	4.	4,43	3,87	3,45	3,11	2,86	2,66	4,43	8,73	11,39	13,15	14,48	15,43	16,06	16,38	16,43	16,09	14,98	13,21	11,31	10,80	9,55	8,49	7,56	6,77
	5.	5,98	5,31	4,76	4,26	3,71	3,31	4,82	8,90	11,66	13,90	15,72	16,96	17,55	17,75	17,57	17,09	15,98	14,37	12,64	12,39	11,11	10,53	9,48	8,87
	6.	8,15	7,25	6,92	6,19	5,54	5,46	7,04	10,21	12,45	14,07	15,43	16,34	16,78	16,94	16,68	16,24	15,24	14,00	12,69	12,00	11,20	10,72	10,50	10,48
	7.	10,32	10,17	9,79	9,69	9,49	9,43	10,26	11,76	13,31	14,59	15,72	16,47	17,08	17,21	16,83	16,30	15,62	14,33	12,92	12,64	11,81	10,83	10,32	9,98
	8.	9,53	9,28	8,68	8,63	8,62	8,81	9,34	9,96	11,69	12,81	13,91	15,10	16,11	16,54	16,64	15,58	13,70	11,13	9,06	7,95	7,97	7,67	7,31	6,90
	9.	6,81	6,55	6,10	5,83	5,58	5,30	5,07	4,88	5,19	5,81	6,03	6,56	7,39	7,69	8,06	7,91	7,66	6,95	5,72	4,61	4,44	4,29	4,16	3,95
	10.	3,87	3,72	3,65	3,51	3,65	3,75	4,07	4,59	5,09	6,16	7,71	8,27	8,79	8,96	8,92	8,69	8,40	8,11	7,75	6,02	5,97	6,07	5,99	6,34
	11.	6,52	6,52	6,49	6,37	6,17	6,02	6,19	6,78	7,66	8,66	10,07	10,63	11,31	11,77	12,17	11,77	11,60	11,04	10,68	9,18	8,73	8,40	8,40	8,35
	12.	8,19	8,05	7,27	7,03	6,65	6,98	7,85	9,16	9,97	10,87	12,03	11,92	12,94	12,84	13,26	13,61	13,56	12,84	11,63	10,34	9,75	9,19	8,74	8,17
	13.	7,67	7,30	6,82	6,44	6,00	6,50	8,74	11,98	14,47	16,16	16,65	17,38	17,96	18,26	18,04	17,94	17,12	16,30	14,74	13,93	12,99	12,12	11,33	10,57
	14.	9,98	9,34	9,05	8,79	8,50	8,72	10,57	13,34	15,55	17,31	18,56	19,33	19,73	19,56	18,70	18,62	17,70	16,08	14,36	13,74	12,60	11,68	10,96	10,41
	15.	9,98	9,71	9,47	9,24	8,99	9,07	10,42	12,46	14,30	15,90	17,15	18,04	18,67	18,80	18,24	17,83	16,88	15,88	14,72	13,69	12,13	11,31	10,75	10,28
	16.	9,86	9,35	9,11	8,87	8,51	8,39	9,22	9,24	10,72	12,40	13,74	14,62	15,13	15,48	15,49	14,36	13,65	12,52	11,11	10,71	9,57	8,64	7,89	7,35
	17.	6,87	6,43	5,92	5,49	5,11	5,34	7,21	10,08	12,38	14,17	15,22	16,09	16,38	16,50	15,78	14,87	14,06	13,46	12,81	12,69	12,18	11,68	10,61	9,78
	18.	9,26	8,66	8,70	8,73	8,75	8,84	9,05	9,24	9,48	10,27	10,64	11,11	11,87	11,74	11,57	11,69	11,44	11,14	10,81	10,43	9,86	9,51	9,00	8,80
	19.	8,33	8,05	7,56	7,14	6,66	6,91	9,07	10,13	11,06	11,96	13,17	14,44	14,07	12,32	11,96	12,34	12,41	11,84	10,94	9,60	9,07	8,33	7,66	6,50
	20.	5,59	5,03	4,78	4,49	4,26	4,19	4,41	5,36	6,28	7,37	8,31	8,99	9,23	9,86	10,00	9,30	8,15	7,41	6,35	5,51	4,80	4,22	3,65	3,04
	21.	2,44	1,97	1,56	0,99	0,44	0,65	3,41	5,86	7,39	8,66	9,90	10,43	11,00	11,35	11,54	11,38	11,08	10,10	8,67	8,09	6,82	5,65	4,67	3,57
	22.	3,17	2,93	2,79	2,68	2,25	2,74	6,04	9,16	11,55	13,22	14,43	15,32	15,92	16,26	16,15	15,67	14,80	13,33	11,63	10,91	9,77	8,92	8,26	7,80
	23.	7,47	7,27	7,13	7,04	6,90	7,39	9,07	11,33	12,76	14,22	14,99	14,86	14,53	14,78	14,67	14,30	13,58	12,89	12,08	11,57	11,20	10,95	10,92	10,60
	24.	10,14	8,92	8,65	8,63	8,63	8,75	9,63	11,83	13,38	14,64	15,94	16,08	16,19	16,70	15,33	16,18	16,07	15,38	14,37	13,11	12,36	11,77	11,47	10,99
	25.	10,49	10,19	9,93	9,54	9,58	9,89	10,27	10,60	11,66	12,26	12,15	12,24	12,55	12,20	12,52	12,67	12,10	15,76	14,22	14,22	11,25	11,55	12,11	

# Meteorološki podaci

**KI Expert Pro**

Projekt Zone Potrebna energija Konačna energija Primarna energija Ispisi Klimatski podaci O programu Zatvori projekt

www.knaufinsulation.hr

Klimatski podaci Odaberi grad Dodaj Promjeni Popuni prema JRC web servisu Zatvori gradove Upravljanje gradovima

Osnovni podaci Klimatski podaci Klimatski podaci (satni) Definirane zone Opći podaci o projektu

Pregled satnih klimatoloških podataka (Varaždin)

Aktivni grad: Varaždin

Temperature Rel. vlažnost Sunčev zračenje

Temperature vanjskog zraka

Tip prikaza:  Ukupno  Za mjesec  Za dan Filter: Mjesec: Svibanj Dan: 1 Prikaži

Dan	8.0	9.1	9.2	9.3	9.4	9.5	9.6	9.7	9.8	9.9	9.10	9.11	9.12	9.13	9.14	9.15	9.16	9.17	9.18	9.19	9.20	9.21	9.22	9.23
1.	14.00	13.85	13.69	13.54	13.39	13.24	13.08	12.93	18.53	19.92	21.07	21.75	21.91	22.62	22.98	22.65	22.03	20.54	18.87	18.26	17.23	16.32	15.72	15.37
2.	15.20	14.90	14.53	14.31	14.26	14.40	14.97	15.23	16.33	17.38	18.24	18.86	19.89	20.52	20.90	20.26	19.58	18.40	17.41	15.61	15.09	14.65	14.03	13.56
3.	13.19	13.15	13.34	13.25	13.18	13.17	14.37	16.31	17.89	19.07	20.03	20.77	21.41	21.35	21.53	18.93	17.88	17.33	16.79	16.25	15.05	14.03	13.28	12.91
4.	12.46	13.26	12.50	10.76	9.86	11.40	14.07	15.74	17.41	18.61	19.70	20.68	20.98	21.12	20.89	20.02	17.69	16.88	16.07	15.64	15.17	15.14	14.16	12.36
5.	11.74	11.65	11.56	11.21	11.06	12.18	13.88	14.94	15.97	16.95	17.80	19.60	20.94	21.65	20.18	18.53	17.67	17.33	16.44	14.34	13.93	13.68	13.69	13.47
6.	13.51	13.16	12.56	12.11	11.91	13.17	14.47	15.07	16.41	17.54	18.05	18.66	18.30	18.46	17.91	17.74	16.86	15.90	14.60	13.44	12.76	12.17	11.79	11.52
7.	11.20	10.87	10.56	10.11	9.78	10.28	11.62	13.53	14.96	16.19	17.12	17.62	17.78	17.97	18.11	18.02	17.50	16.42	15.00	13.90	12.87	12.06	11.46	10.98
8.	10.65	10.30	9.94	9.70	9.68	10.42	12.07	13.32	14.51	15.35	15.71	15.78	15.85	15.68	15.40	15.16	14.84	14.33	13.77	12.31	11.68	11.04	10.67	10.11
9.	9.54	8.96	8.52	8.19	7.90	8.87	10.81	13.63	15.37	16.27	17.34	18.22	18.59	19.07	19.12	18.88	18.61	17.71	16.28	15.23	14.36	13.56	12.98	12.72
10.	12.63	12.42	12.17	12.01	11.84	12.42	13.64	15.72	16.39	16.41	16.69	17.72	18.38	19.33	19.36	19.24	18.60	17.81	16.63	15.55	14.74	14.03	13.51	13.05
11.	12.67	12.40	12.17	11.94	11.79	12.44	14.40	16.76	18.41	19.73	20.02	20.64	20.99	19.97	18.85	18.78	18.36	16.97	15.99	15.93	15.27	14.48	13.92	13.53
12.	13.33	12.97	12.32	11.93	11.60	12.71	15.03	15.69	16.39	17.34	18.30	19.47	19.99	20.37	20.63	19.05	18.52	18.02	17.21	15.77	14.75	13.91	13.33	12.64
13.	11.99	11.38	11.02	10.65	10.42	11.75	13.06	14.18	14.57	14.16	14.43	14.88	15.11	15.98	17.51	17.27	16.43	15.26	14.42	13.33	12.74	12.34	11.77	11.34
14.	11.00	10.81	10.58	10.44	10.44	11.35	12.94	14.46	15.80	17.26	17.99	18.82	19.06	19.02	19.25	19.08	18.42	17.51	16.13	15.24	13.88	12.45	11.77	11.36
15.	11.15	11.07	10.94	10.49	10.35	10.42	10.47	10.47	10.90	11.02	11.34	11.07	10.76	10.27	9.89	9.64	9.42	9.20	9.00	8.24	7.92	7.63	7.49	7.44
16.	7.66	7.23	7.08	6.91	6.73	6.66	6.73	6.92	7.02	7.48	7.95	8.65	9.47	9.61	9.73	9.98	9.83	9.87	9.61	8.61	8.59	8.59	8.51	8.33
17.	8.38	8.26	8.17	8.05	8.02	8.20	8.53	9.72	10.80	12.26	13.63	14.32	14.09	14.46	14.34	14.12	13.63	12.96	12.24	10.79	10.22	9.69	9.30	9.13
18.	9.33	9.64	9.73	9.76	9.83	10.36	11.21	11.57	12.28	13.35	13.92	15.03	15.85	16.25	16.46	16.02	15.33	14.34	13.18	12.12	11.15	10.25	9.55	8.87
19.	8.32	7.86	7.39	7.18	6.83	8.14	10.39	12.13	13.00	13.54	13.81	14.20	14.61	15.39	15.29	15.35	15.07	14.16	13.04	11.93	11.32	10.86	10.42	9.96
20.	9.78	9.56	9.39	9.27	9.11	9.17	9.30	9.52	9.83	10.81	11.86	12.73	13.42	13.84	14.23	13.90	13.67	13.22	12.98	12.21	12.17	11.81	11.02	10.33
21.	10.70	10.84	10.90	10.78	10.82	10.83	11.02	11.12	11.78	12.57	14.06	15.11	16.47	16.59	16.56	16.99	16.95	15.70	15.17	14.41	13.94	13.63	13.36	13.13
22.	12.90	12.84	12.75	12.48	12.55	13.38	14.42	16.32	17.38	18.52	19.75	20.54	21.05	21.33	21.36	20.18	20.05	19.02	17.92	16.69	15.82	15.25	14.65	14.19
23.	13.88	13.55	13.21	12.87	12.73	13.64	14.91	16.78	18.15	19.29	20.11	20.67	21.01	21.11	20.98	20.27	18.80	18.40	17.49	15.84	15.00	14.14	13.23	12.89
24.	12.28	11.71	11.36	11.07	10.90	12.73	15.96	18.60	20.36	21.27	21.99	22.19	22.76	23.02	23.37	23.19	22.44	21.27	19.75	18.89	18.12	17.42	16.78	16.19
25.	15.62	15.12	14.74	14.27	14.22	15.17	17.20	19.22	21.11	22.56	24.00	25.02	25.00	25.00	24.22	22.85	21.21	20.20	19.18	18.26	17.52	17.02		

Pomoć

Ukoliko trebate pomoć u radu s računalnim programom KI Expert Pro pritisnite tipku F1.

Brzi unos

Brz unos

Svojstva

Promjena podataka

Osnovni podaci o projektu

Podaci o gradovima

Definirane zone

Opći podaci o projektu

Topusko

Varaždin

Vinkovci

Dodatavne svojstva

Pomoć

Klimatski podaci

Prethodni Vrh Slijedeći

Projekt u odnosu na toplinsku zaštitu i racionalnu uporabu energije izvodi se u odnosu na NAJBLIŽU LOKACIJU (uvjeti Propisa), dok se ENERGETSKI RAZRED zgrade određuje u odnosu na referentne klimatske podatke (granica 2200 stupanj dana).

Na zaslonu je kao početni grad ponuđeno Belje (prije po abecedi). Između gradova koji su navedeni u Propisu (sa svim potrebnim parametrima), korisnik odabire željeni grad direktnim traženjem u padajućem izborniku, ili pomoću „brzog unosa“ upisivanjem početnih slova grada (+ „Enter“).

Podaci o gradovima

Prikazuje osnovne podatke o gradovima.

# Meteorološki podaci

KI SISTEM

Projekt Zone Potrebna energija Konačna energija Primarna energija Ispisi Klimatski podaci O programu Zatvori projekt

Klimatski Odaberi Dodaj Promijeni Popuni prema JRC web servisu Zatvori Upravljanje gradovima

Osnovni podaci Klimatski podaci Klimatski podaci (satni) Definirane zone Opći podaci o projektu

Pregled satnih klimatoloških podataka (Varaždin) Aktivni grad: Varaždin

Temperature Rel. vlažnost Sunčev zračenje: E W N S NE NW SE SW 0°

Temperature vanjskog zraka

Tip prikaza:  Ukupno  Za mjesec  Za dan Filter: Mjesec: Španj Dan: 1 Prikaži

	Dan	0.0	0.1	0.2	0.3	0.4	0.5	0.6	0.7	0.8	0.9	0.10	0.11	0.12	0.13	0.14	0.15	0.16	0.17	0.18	0.19	0.20	0.21	0.22	0.23
▶	1.	20,41	19,88	19,36	18,83	18,31	17,78	17,26	16,74	16,74	16,74	16,74	16,74	16,74	16,74	16,74	16,74	16,74	16,74	16,74	16,74	16,74	16,74	16,74	16,74
	2.	18,77	18,06	17,49	16,99	16,88	18,63	21,65	23,00	24,89	26,34	27,55	28,40	29,03	29,43	29,56	29,43	29,04	27,10	26,28	25,23	23,79	23,02	21,81	20,98
	3.	20,49	20,08	19,49	19,17	19,26	20,29	21,99	23,53	24,90	26,11	26,81	27,52	28,06	28,64	28,73	28,82	28,45	27,61	26,29	24,51	23,28	22,31	21,47	20,74
	4.	19,95	19,33	19,32	19,52	19,44	19,51	21,87	24,00	25,37	26,58	27,47	28,17	28,75	28,70	29,07	29,06	28,72	27,43	25,89	24,51	24,10	23,06	21,31	20,06
	5.	19,27	18,86	18,70	18,38	18,04	19,31	22,74	25,16	26,66	27,92	28,86	29,62	30,18	30,58	30,74	30,71	30,41	29,36	28,15	26,39	24,75	23,41	22,38	21,67
	6.	20,88	20,19	19,63	19,12	18,87	20,71	23,50	25,71	27,61	29,22	30,75	31,97	32,70	33,08	33,22	31,60	30,26	29,25	28,31	27,38	26,04	24,86	23,78	22,94
	7.	22,46	21,87	21,32	20,97	21,09	22,44	25,52	28,33	30,00	31,30	32,45	33,37	34,05	34,63	35,04	34,70	34,18	32,63	31,36	29,59	28,41	27,46	26,82	26,18
	8.	25,65	25,19	24,76	24,42	24,35	25,15	26,60	28,16	29,79	31,18	32,24	32,65	32,98	29,51	28,69	27,51	27,60	26,70	23,91	19,79	18,88	18,51	18,27	18,33
	9.	18,40	17,92	16,39	16,49	16,51	16,79	17,08	17,82	18,20	19,22	19,26	20,17	21,08	22,08	22,61	22,72	22,59	22,51	21,61	19,85	18,64	17,88	17,48	17,20
	10.	16,76	15,97	15,21	14,39	14,10	15,49	17,26	17,54	18,75	19,89	20,86	21,44	22,29	22,48	23,09	23,25	23,11	22,38	21,65	20,42	18,93	17,93	17,24	16,77
	11.	16,16	15,56	14,73	14,32	14,14	15,92	18,82	19,73	21,39	22,99	24,37	25,51	26,40	27,05	27,36	27,45	27,26	25,90	24,43	23,63	21,85	21,56	21,33	19,87
	12.	19,09	18,05	17,35	16,83	17,31	18,26	20,91	23,51	25,22	26,68	27,80	28,11	28,47	28,67	28,78	28,71	28,46	27,64	26,41	25,03	23,78	22,71	22,04	21,25
	13.	21,60	20,09	19,74	19,70	19,84	19,90	20,06	21,42	21,53	21,85	23,30	24,36	24,20	24,45	24,66	24,42	24,16	23,74	22,86	21,72	21,26	20,32	19,68	18,94
	14.	18,53	18,08	17,33	16,81	16,91	17,86	19,30	20,62	21,93	23,23	24,79	25,54	26,32	26,60	27,18	27,22	26,99	26,41	25,41	24,00	22,99	22,08	21,32	20,81
	15.	20,28	19,88	19,50	19,01	18,63	19,94	21,73	23,74	25,37	26,89	27,94	28,05	28,49	28,91	29,21	29,06	27,17	26,05	24,91	24,78	23,89	23,18	22,48	21,83
	16.	21,34	20,84	20,40	20,00	19,65	20,51	22,13	24,40	26,09	27,59	28,95	29,99	30,42	30,56	30,67	30,63	30,19	28,78	27,17	27,12	26,13	25,27	24,52	23,92
	17.	23,41	22,64	21,98	21,44	21,03	22,47	25,22	27,78	29,56	30,88	31,95	32,74	33,51	33,86	34,20	33,94	30,35	28,68	28,12	27,68	26,60	25,07	24,32	24,46
	18.	25,03	24,52	23,95	23,59	23,06	22,79	25,74	25,67	27,35	29,06	30,80	31,54	31,20	29,59	30,35	30,08	29,73	27,90	25,67	26,48	24,76	24,37	24,35	24,00
	19.	23,52	22,13	21,61	21,49	21,41	22,02	24,82	26,73	28,63	30,25	31,65	32,54	33,28	33,79	34,20	34,02	34,01	31,85	30,61	28,70	27,46	26,53	25,60	24,72
	20.	23,91	23,14	22,51	22,03	21,70	22,87	25,08	25,61	26,57	27,90	28,80	29,50	30,18	30,50	30,51	30,46	30,19	29,34	28,13	26,61	25,58	24,84	24,19	23,48
	21.	22,82	22,50	22,41	22,40	22,44	22,37	25,09	26,67	28,32	29,69	30,97	31,92	32,67	33,14	33,45	33,46	33,09	32,13	30,76	28,44	27,30	26,56	25,79	25,02
	22.	24,29	23,70	23,42	23,34	22,93	23,66	25,91	27,72	29,37	30,83	32,03	32,96	33,67	34,20	34,48	34,49	34,13	32,78	30,91	29,25	27,99	27,02	26,08	25,23
	23.	24,84	23,87	23,98	23,64	23,24	23,99	26,41	28,15	29,63	29,25	28,62	29,59	30,45	30,60	30,94	30,76	29,45	27,29	26,10	24,52	24,13	23,89	23,53	23,14
	24.	22,77	22,34	22,03	21,50	21,38	21,85	23,18	24,20	25,78	27,47	28,53	29,28	30,20	30,64	31,14	31,56	31,31	30,01	28,31	26,93	25,66	24,53	23,51	22,77
	25.	22,04	21,44	20,97	20,92	20,99	21,72	22,91	24,56	25,97	27,05	29,72	30,77	31,49	30,64	30,14	30,76	30,66	31,15	30,21	24,64	22,76	22,09	21,95	20,26

# Satni podaci – prikaz rezultata proračuna

PRIMJER Stambena, negrijani, sustav grijanja i hlađenja\_rev.svibanj2019 - KI Expert Pro [v7.11.1.0]

Projekt Zone Potrebna energija Konačna energija Primarna energija Ispisi Toplinski gubici Ventilacija O programu Zatvori projekt

Ventilacija Infiltracija Prozračivanje Mehanička ventilacija Free cooling Zatvori

Ventilacija

Ukupni toplinski gubici Ventilacijski gubici Toplinski transmisijski gubici Ostali toplinski gubici

Tip prikaza:  Ukupno  Za mjesec  Za dan Mjesec: Siječanj Dan: 1 Prikaži

Podaci perioda grijanja  
Podaci perioda hlađenja

Mjesec	H <sub>ve,int,H</sub> [W/K]	H <sub>ve,win,H</sub> [W/K]	H <sub>H,ve,mech</sub> [W/K]	H <sub>H,ve</sub> [W/K]	Theta <sub>int,H</sub> [°C]	Theta <sub>e</sub> [°C]	Q <sub>ve,int,H</sub> [kWh]	Q <sub>ve,win,H</sub> [kWh]	Q <sub>H,ve,mech</sub> [kWh]	Q <sub>ve</sub> [kWh]	Mjesec	H <sub>ve,inf,C</sub> [W/K]	H <sub>ve,win,C</sub> [W/K]	H <sub>Free cool</sub> [W/K]	H <sub>C,ve,mech</sub> [W/K]	H <sub>C,ve</sub> [W/K]	Theta <sub>int,C</sub> [°C]	Theta <sub>e</sub> [°C]	Q <sub>ve,inf,C</sub> [kWh]	Q <sub>ve,win,C</sub> [kWh]
Siječ...	671,35	239,77	304,30	1126,66	20,00	0,40	9796,14	3498,62	2997,79	16292,56	Siječ...	671,35	239,77	0,00	0,00	911,12	22,00	0,40	10795,11	3855,40
Velja...	671,35	239,77	304,46	1126,78	20,00	2,20	8028,55	2867,34	2388,46	13284,35	Velja...	671,35	239,77	0,00	0,00	911,12	22,00	2,20	8930,84	3189,59
Ožuj...	671,35	239,77	306,21	1128,02	20,00	6,40	6788,83	2424,58	1932,21	11145,62	Ožuj...	671,35	239,77	0,00	0,00	911,12	22,00	6,40	7787,80	2781,36
Trav...	671,35	239,77	309,39	1130,27	20,00	11,20	4247,63	1517,01	1100,41	6865,05	Trav...	671,35	239,77	0,00	0,00	911,12	22,00	11,20	5214,38	1862,28
Svib...	671,35	239,77	313,48	929,24	20,00	16,20	1900,12	678,62	45,09	2623,82	Svib...	671,35	239,77	0,00	1204,33	1636,31	22,00	16,20	2899,09	1035,39
Lipanj	671,35	239,77	0,00	911,12	20,00	19,60	199,39	71,21	0,00	270,60	Lipanj	671,35	239,77	0,00	685,27	1396,52	22,00	19,60	1166,14	416,48
Srpanj	671,35	239,77	0,00	911,12	20,00	21,20	-603,54	-215,55	0,00	-819,10	Srpanj	671,35	239,77	0,00	635,12	1361,00	22,00	21,20	395,43	141,22
Kolo...	671,35	239,77	0,00	911,12	20,00	20,50	-251,82	-89,94	0,00	-341,76	Kolo...	671,35	239,77	0,00	686,66	1397,50	22,00	20,50	747,15	266,84
Rujan	671,35	239,77	0,00	911,12	20,00	15,50	2175,18	776,85	0,00	2952,02	Rujan	671,35	239,77	0,00	1206,18	1765,49	22,00	15,50	3141,92	1122,11
Listo...	671,35	239,77	311,26	1130,76	20,00	10,70	4645,21	1659,00	1297,51	7601,73	Listo...	671,35	239,77	0,00	1201,91	914,35	22,00	10,70	5644,18	2015,78
Stud...	671,35	239,77	307,91	1129,22	20,00	6,00	6765,20	2416,14	2035,92	11217,26	Stud...	671,35	239,77	0,00	0,00	911,12	22,00	6,00	7731,94	2761,41
Prosi...	671,35	239,77	304,73	1126,97	20,00	0,80	9596,35	3427,27	2964,47	15988,09	Prosi...	671,35	239,77	0,00	0,00	911,12	22,00	0,80	10595,32	3784,04
	<b>671,35</b>	<b>239,77</b>	<b>306,99</b>	<b>1038,85</b>	<b>20,00</b>	<b>10,94</b>	<b>53287,....</b>	<b>19031,....</b>	<b>14761,....</b>	<b>87080,....</b>		<b>671,35</b>	<b>239,77</b>	<b>0,00</b>	<b>872,89</b>	<b>1162,62</b>	<b>22,00</b>	<b>10,94</b>	<b>65049,....</b>	<b>23231,....</b>

# Satni podaci – prikaz rezultata proračuna

PRIMJER Stambena, negrijani, sustav grijanja i hlađenja\_rev.svibanj2019 - KI Expert Pro [v7.11.1.0]

Projekt Zone Potrebna energija Konačna energija Primarna energija Ispisi Toplinski gubici Ventilacija O programu Zatvori projekt

Ventilacija Infiltracija Prozračivanje Mehanička ventilacija Free cooling Zatvori

Ventilacija

Ukupni toplinski gubici Ventilacijski gubici Toplinski transmisijski gubici Ostali toplinski gubici

Tip prikaza:  Ukupno  Za mjesec  Za dan Filter: Mjesec: Srpanj Dan: 1 Prikaži

Podaci perioda grijanja  
Podaci perioda hlađenja

Rezultati proračuna																				
	Infiltracija		Prozračivanje		Mehanička ventilacija i protok zraka		Free cooling													
Mjesec	H <sub>ve,infr,H</sub> [W/K]	H <sub>ve,wir,H</sub> [W/K]	H <sub>H,ve,mech</sub> [W/K]	H <sub>H,ve</sub> [W/K]	Theta <sub>int,H</sub> [°C]	Theta <sub>e</sub> [°C]	Q <sub>ve,infr,H</sub> [kWh]	Q <sub>ve,wir,H</sub> [kWh]	Q <sub>H,ve,mech</sub> [kWh]	Q <sub>ve</sub> [kWh]	Mjesec	H <sub>ve,infr,C</sub> [W/K]	H <sub>ve,wir,C</sub> [W/K]	H <sub>Free cool</sub> [W/K]	H <sub>C,ve,mech</sub> [W/K]	H <sub>C,ve</sub> [W/K]	Theta <sub>int,C</sub> [°C]	Theta <sub>e</sub> [°C]	Q <sub>ve,infr,C</sub> [kWh]	Q <sub>ve,wir,C</sub> [kWh]
1	671,35	239,77	0,00	911,12	20,00	21,21	-19,47	-6,95	0,00	-26,42	1	671,35	239,77	0,00	635,12	1361,00	22,00	21,21	12,76	4,5
2	671,35	239,77	0,00	911,12	20,00	21,21	-19,47	-6,95	0,00	-26,42	2	671,35	239,77	0,00	635,12	1361,00	22,00	21,21	12,76	4,5
3	671,35	239,77	0,00	911,12	20,00	21,21	-19,47	-6,95	0,00	-26,42	3	671,35	239,77	0,00	635,12	1361,00	22,00	21,21	12,76	4,5
4	671,35	239,77	0,00	911,12	20,00	21,21	-19,47	-6,95	0,00	-26,42	4	671,35	239,77	0,00	635,12	1361,00	22,00	21,21	12,76	4,5
5	671,35	239,77	0,00	911,12	20,00	21,21	-19,47	-6,95	0,00	-26,42	5	671,35	239,77	0,00	635,12	1361,00	22,00	21,21	12,76	4,5
6	671,35	239,77	0,00	911,12	20,00	21,21	-19,47	-6,95	0,00	-26,42	6	671,35	239,77	0,00	635,12	1361,00	22,00	21,21	12,76	4,5
7	671,35	239,77	0,00	911,12	20,00	21,21	-19,47	-6,95	0,00	-26,42	7	671,35	239,77	0,00	635,12	1361,00	22,00	21,21	12,76	4,5
8	671,35	239,77	0,00	911,12	20,00	21,21	-19,47	-6,95	0,00	-26,42	8	671,35	239,77	0,00	635,12	1361,00	22,00	21,21	12,76	4,5
9	671,35	239,77	0,00	911,12	20,00	21,21	-19,47	-6,95	0,00	-26,42	9	671,35	239,77	0,00	635,12	1361,00	22,00	21,21	12,76	4,5
10	671,35	239,77	0,00	911,12	20,00	21,21	-19,47	-6,95	0,00	-26,42	10	671,35	239,77	0,00	635,12	1361,00	22,00	21,21	12,76	4,5
11	671,35	239,77	0,00	911,12	20,00	21,21	-19,47	-6,95	0,00	-26,42	11	671,35	239,77	0,00	635,12	1361,00	22,00	21,21	12,76	4,5
12	671,35	239,77	0,00	911,12	20,00	21,21	-19,47	-6,95	0,00	-26,42	12	671,35	239,77	0,00	635,12	1361,00	22,00	21,21	12,76	4,5
13	671,35	239,77	0,00	911,12	20,00	21,21	-19,47	-6,95	0,00	-26,42	13	671,35	239,77	0,00	635,12	1361,00	22,00	21,21	12,76	4,5
14	671,35	239,77	0,00	911,12	20,00	21,21	-19,47	-6,95	0,00	-26,42	14	671,35	239,77	0,00	635,12	1361,00	22,00	21,21	12,76	4,5
15	671,35	239,77	0,00	911,12	20,00	21,21	-19,47	-6,95	0,00	-26,42	15	671,35	239,77	0,00	635,12	1361,00	22,00	21,21	12,76	4,5
16	671,35	239,77	0,00	911,12	20,00	21,21	-19,47	-6,95	0,00	-26,42	16	671,35	239,77	0,00	635,12	1361,00	22,00	21,21	12,76	4,5
17	671,35	239,77	0,00	911,12	20,00	21,21	-19,47	-6,95	0,00	-26,42	17	671,35	239,77	0,00	635,12	1361,00	22,00	21,21	12,76	4,5
18	671,35	239,77	0,00	911,12	20,00	21,21	-19,47	-6,95	0,00	-26,42	18	671,35	239,77	0,00	635,12	1361,00	22,00	21,21	12,76	4,5
19	671,35	239,77	0,00	911,12	20,00	21,21	-19,47	-6,95	0,00	-26,42	19	671,35	239,77	0,00	635,12	1361,00	22,00	21,21	12,76	4,5
20	671,35	239,77	0,00	911,12	20,00	21,21	-19,47	-6,95	0,00	-26,42	20	671,35	239,77	0,00	635,12	1361,00	22,00	21,21	12,76	4,5
21	671,35	239,77	0,00	911,12	20,00	21,21	-19,47	-6,95	0,00	-26,42	21	671,35	239,77	0,00	635,12	1361,00	22,00	21,21	12,76	4,5
22	671,35	239,77	0,00	911,12	20,00	21,21	-19,47	-6,95	0,00	-26,42	22	671,35	239,77	0,00	635,12	1361,00	22,00	21,21	12,76	4,5
23	671,35	239,77	0,00	911,12	20,00	21,21	-19,47	-6,95	0,00	-26,42	23	671,35	239,77	0,00	635,12	1361,00	22,00	21,21	12,76	4,5
24	671,35	239,77	0,00	911,12	20,00	21,21	-19,47	-6,95	0,00	-26,42	24	671,35	239,77	0,00	635,12	1361,00	22,00	21,21	12,76	4,5
25	671,35	239,77	0,00	911,12	20,00	21,21	-19,47	-6,95	0,00	-26,42	25	671,35	239,77	0,00	635,12	1361,00	22,00	21,21	12,76	4,5
26	671,35	239,77	0,00	911,12	20,00	21,21	-19,47	-6,95	0,00	-26,42	26	671,35	239,77	0,00	635,12	1361,00	22,00	21,21	12,76	4,5
27	671,35	239,77	0,00	911,12	20,00	21,21	-19,47	-6,95	0,00	-26,42	27	671,35	239,77	0,00	635,12	1361,00	22,00	21,21	12,76	4,5
28	671,35	239,77	0,00	911,12	20,00	21,21	-19,47	-6,95	0,00	-26,42	28	671,35	239,77	0,00	635,12	1361,00	22,00	21,21	12,76	4,5

# Satni podaci – prikaz rezultata proračuna

**Ventilacija**

Ukupni toplinski gubici Ventilacijski gubici Toplinski transmisijski gubici Ostali toplinski gubici

Tip prikaza:  Ukupno  Za mjesec  Za dan Filter: Mjesec: Srpanj Dan: 17 Prikaži

Podaci perioda grijanja  
Podaci perioda hlađenja

Rezultati proračuna																				
Mjesec	H <sub>ve,inf,H</sub> [W/K]	H <sub>ve,win,H</sub> [W/K]	H <sub>H,ve,mech</sub> [W/K]	H <sub>H,ve</sub> [W/K]	Theta <sub>int,H</sub> [°C]	Theta <sub>e</sub> [°C]	Q <sub>ve,inf,H</sub> [kWh]	Q <sub>ve,win,H</sub> [kWh]	Q <sub>H,ve,mech</sub> [kWh]	Q <sub>ve</sub> [kWh]	Mjesec	H <sub>ve,inf,C</sub> [W/K]	H <sub>ve,win,C</sub> [W/K]	H <sub>Free cool</sub> [W/K]	H <sub>C,ve,mech</sub> [W/K]	Theta <sub>int,C</sub> [°C]	Theta <sub>e</sub> [°C]	Q <sub>ve,inf,C</sub> [kWh]	Q <sub>ve,win,C</sub> [kWh]	
0-1	671,35	239,77	0,00	911,12	20,00	17,20	1,88	0,67	0,00	2,55	0-1	671,35	239,77	0,00	0,00	911,12	22,00	17,20	3,22	1,15
1-2	671,35	239,77	0,00	911,12	20,00	16,30	2,48	0,89	0,00	3,37	1-2	671,35	239,77	0,00	0,00	911,12	22,00	16,30	3,83	1,37
2-3	671,35	239,77	0,00	911,12	20,00	15,90	2,75	0,98	0,00	3,74	2-3	671,35	239,77	0,00	0,00	911,12	22,00	15,90	4,10	1,46
3-4	671,35	239,77	0,00	911,12	20,00	15,50	3,02	1,08	0,00	4,10	3-4	671,35	239,77	0,00	0,00	911,12	22,00	15,50	4,36	1,56
4-5	671,35	239,77	0,00	911,12	20,00	14,90	3,42	1,22	0,00	4,65	4-5	671,35	239,77	0,00	0,00	911,12	22,00	14,90	4,77	1,70
5-6	671,35	239,77	0,00	911,12	20,00	16,20	2,55	0,91	0,00	3,46	5-6	671,35	239,77	0,00	0,00	911,12	22,00	16,20	3,89	1,39
6-7	671,35	239,77	0,00	911,12	20,00	18,30	1,14	0,41	0,00	1,55	6-7	671,35	239,77	0,00	1210,96	2122,08	22,00	18,30	2,48	0,89
7-8	671,35	239,77	0,00	911,12	20,00	20,00	0,00	0,00	0,00	0,00	7-8	671,35	239,77	0,00	1210,71	2121,83	22,00	20,00	1,34	0,48
8-9	671,35	239,77	0,00	911,12	20,00	21,60	-1,07	-0,38	0,00	-1,46	8-9	671,35	239,77	0,00	1210,65	2121,77	22,00	21,60	0,27	0,10
9-10	671,35	239,77	0,00	911,12	20,00	23,00	-2,01	-0,72	0,00	-2,73	9-10	671,35	239,77	0,00	320,50	1231,62	22,00	23,00	-0,67	-0,24
10-11	671,35	239,77	0,00	911,12	20,00	24,20	-2,82	-1,01	0,00	-3,83	10-11	671,35	239,77	0,00	320,18	1231,29	22,00	24,20	-1,48	-0,53
11-12	671,35	239,77	0,00	911,12	20,00	25,40	-3,63	-1,29	0,00	-4,92	11-12	671,35	239,77	0,00	320,57	1231,69	22,00	25,40	-2,28	-0,82
12-13	671,35	239,77	0,00	911,12	20,00	26,40	-4,30	-1,53	0,00	-5,83	12-13	671,35	239,77	0,00	320,59	1231,71	22,00	26,40	-2,95	-1,05
13-14	671,35	239,77	0,00	911,12	20,00	26,80	-4,57	-1,63	0,00	-6,20	13-14	671,35	239,77	0,00	321,17	1232,29	22,00	26,80	-3,22	-1,15
14-15	671,35	239,77	0,00	911,12	20,00	26,90	-4,63	-1,65	0,00	-6,29	14-15	671,35	239,77	0,00	320,82	1231,93	22,00	26,90	-3,29	-1,17
15-16	671,35	239,77	0,00	911,12	20,00	26,50	-4,36	-1,56	0,00	-5,92	15-16	671,35	239,77	0,00	321,22	1232,34	22,00	26,50	-3,02	-1,08
16-17	671,35	239,77	0,00	911,12	20,00	26,30	-4,23	-1,51	0,00	-5,74	16-17	671,35	239,77	0,00	321,42	1232,53	22,00	26,30	-2,89	-1,03
17-18	671,35	239,77	0,00	911,12	20,00	25,60	-3,76	-1,34	0,00	-5,10	17-18	671,35	239,77	0,00	321,79	1232,91	22,00	25,60	-2,42	-0,86
18-19	671,35	239,77	0,00	911,12	20,00	24,20	-2,82	-1,01	0,00	-3,83	18-19	671,35	239,77	0,00	321,03	1232,15	22,00	24,20	-1,48	-0,53
19-20	671,35	239,77	0,00	911,12	20,00	22,30	-1,54	-0,55	0,00	-2,10	19-20	671,35	239,77	0,00	321,77	1232,89	22,00	22,30	-0,20	-0,07
20-21	671,35	239,77	0,00	911,12	20,00	20,20	-0,13	-0,05	0,00	-0,18	20-21	671,35	239,77	0,00	1211,68	2122,80	22,00	20,20	1,21	0,43
21-22	671,35	239,77	0,00	911,12	20,00	19,30	0,47	0,17	0,00	0,64	21-22	671,35	239,77	0,00	1210,95	2122,07	22,00	19,30	1,81	0,65
22-23	671,35	239,77	0,00	911,12	20,00	18,40	1,07	0,38	0,00	1,46	22-23	671,35	239,77	0,00	1211,11	2122,23	22,00	18,40	2,42	0,86
23-24	671,35	239,77	0,00	911,12	20,00	17,60	1,61	0,58	0,00	2,19	23-24	671,35	239,77	0,00	0,00	911,12	22,00	17,60	2,95	1,05
	<b>671,35</b>	<b>239,77</b>	<b>0,00</b>	<b>911,12</b>	<b>20,00</b>	<b>21,21</b>	<b>-19,47</b>	<b>-6,95</b>	<b>0,00</b>	<b>-26,42</b>		<b>671,35</b>	<b>239,77</b>	<b>0,00</b>	<b>635,12</b>	<b>1361,00</b>	<b>22,00</b>	<b>21,21</b>	<b>12,76</b>	<b>4,56</b>

# Satni podaci – prikaz rezultata proračuna

Software interface for energy calculation results:

Top navigation bar: Projekt, Zone, Potrebita energija, Konačna energija, Primarna energija, Ispisi, Toplinski dobici, O programu, Zatvori projekt.

Sub-navigation bar: Ukupni dobici, Solarni dobici, Dobici kroz staklenike, Unutarnji dobici, Ostali dobici, Zatvori, Proračun prema propisu, Unos vjernostnosti, Proračun prema HR/EN 13790, Izuzmi otvor iz solarnih dobitaka, Izuzmi grad. dio iz solarnih dobit, Dodaj, Obriši.

Current tab: Solarni toplinski dobici.

Filter options: Tip prikaza: Ukupno, Za mjesec, Za dan; Mjesec: Srpanj, Dan: 13; Prikazi button.

Mjesec	Q <sub>sol</sub> [kWh]	Q <sub>sol,u,I</sub> [kWh]	Q <sub>sol,k</sub> [kWh]	Φ <sub>sol</sub> [W]
0-1		-0,17	-0,01	-0,16
1-2		-0,17	-0,01	-0,16
2-3		-0,17	-0,01	-0,16
3-4		-0,17	-0,01	-0,16
4-5		-0,17	-0,01	-0,16
5-6		0,62	0,04	0,58
6-7		1,50	0,09	1,42
7-8		2,65	0,14	2,51
8-9		3,79	0,19	3,61
9-10		4,55	0,22	4,33
10-11		4,80	0,23	4,57
11-12		4,83	0,24	4,60
12-13		4,94	0,23	4,71
13-14		4,65	0,21	4,44
14-15		3,87	0,19	3,69
15-16		3,15	0,15	3,00
16-17		2,59	0,13	2,46
17-18		1,93	0,12	1,81
18-19		0,41	0,03	0,38
19-20		-0,16	-0,01	-0,15
20-21		-0,17	-0,01	-0,16
21-22		-0,17	-0,01	-0,16
22-23		-0,17	-0,01	-0,16
23-24		-0,17	-0,01	-0,16
	<b>42,56</b>	<b>2,10</b>	<b>40,46</b>	<b>42562,00</b>

# Satni podaci – prikaz rezultata proračuna

K PRO  
TECH

Projekt Zone Potrebna energija Konačna energija Primarna energija Ispisi Transmisijski gubici O programu Zatvori projekt

Ukupni gubici Gubici Hd Gubici Hg Gubici Hu Gubici Ha Dodaj Obriši Zatvori Transmisijski gubici

Ukupni transmisijski gubici Gubici HD Gubici HG Gubici HU Gubici HA

**Transmisijski gubici**

Tip prikaza:  Ukupno  Za mjesec  Za dan Filter: Mjesec: Studeni Dan: 18 Prikaži

Sat	H <sub>Tr,w</sub> [W/K]	H <sub>Tr,op</sub> [W/K]	H <sub>Tr</sub> [W/K]	Theta <sub>e</sub> [°C]	Theta <sub>int,H</sub> [°C]	Theta <sub>int,C</sub> [°C]	Q <sub>Tr,H</sub> [kWh]	Q <sub>Tr,C</sub> [kWh]
1	86,328	403,895	490,223	3,90	20,00	22,00	7,89	8,87
2	86,328	403,895	490,223	3,80	20,00	22,00	7,94	8,92
3	86,328	403,895	490,223	3,40	20,00	22,00	8,14	9,12
4	86,328	403,895	490,223	3,30	20,00	22,00	8,19	9,17
5	86,328	403,895	490,223	3,20	20,00	22,00	8,24	9,22
6	86,328	403,895	490,223	3,10	20,00	22,00	8,28	9,27
7	86,328	403,895	490,223	3,10	20,00	22,00	8,28	9,27
8	86,328	403,895	490,223	3,60	20,00	22,00	8,04	9,02
9	86,328	403,895	490,223	5,70	20,00	22,00	7,01	7,99
10	86,328	403,895	490,223	7,10	20,00	22,00	6,32	7,30
11	86,328	403,895	490,223	8,30	20,00	22,00	5,74	6,72
12	86,328	403,895	490,223	9,10	20,00	22,00	5,34	6,32
13	86,328	403,895	490,223	10,10	20,00	22,00	4,85	5,83
14	86,328	403,895	490,223	10,50	20,00	22,00	4,66	5,64
15	86,328	403,895	490,223	10,50	20,00	22,00	4,66	5,64
16	86,328	403,895	490,223	9,70	20,00	22,00	5,05	6,03
17	86,328	403,895	490,223	8,50	20,00	22,00	5,64	6,62
18	86,328	403,895	490,223	7,10	20,00	22,00	6,32	7,30
19	86,328	403,895	490,223	6,30	20,00	22,00	6,72	7,70
20	86,328	403,895	490,223	5,70	20,00	22,00	7,01	7,99
21	86,328	403,895	490,223	4,90	20,00	22,00	7,40	8,38
22	86,328	403,895	490,223	4,70	20,00	22,00	7,50	8,48
23	86,328	403,895	490,223	4,60	20,00	22,00	7,55	8,53
24	86,328	403,895	490,223	3,90	20,00	22,00	7,89	8,87
<b>Ukupno</b>	<b>86,328</b>	<b>403,895</b>	<b>490,223</b>	<b>6,00</b>	<b>20,00</b>	<b>22,00</b>	<b>164,67</b>	<b>188,20</b>

# Satni podaci – prikaz rezultata proračuna

**Potrebna energija**

**Potrebna topkinska energija za grijanje i hlađenje**

Osvježi satni proračun

Ve,C [K]	φ int [W]	φ sol [W]	H tr,1 [W/K]	H tr,2 [W/K]	H tr,3 [W/K]	φ ia [W]	φ m,g [W]	φ m [W]	φ st [W]	φ m,tot [W]	θ m,t [°C]	θ m,ac,t-1 [°C]	θ m [°C]	θ s [°C]	θ air [°C]	φ HC,nd [W]	θ air,ac [W]	θ m,ac,t [W]	Q H,nd [kWh]	Q C,nd [kWh]
911,12	12566,00	991686,05	1099,80	1186,13	1165,72	6283,00	2132,62	2098,44	3379,52	30672,35	19,50	19,50	19,50	19,59	19,67	19257,78	19,67	19,50	14327,78	0,00
911,12	12566,00	1211824,...	1099,91	1186,24	1165,83	6283,00	2148,47	2343,92	3588,26	30801,74	19,58	19,57	19,58	19,64	19,70	15855,16	19,70	19,58	10654,67	0,00
911,12	12566,00	1835803,...	1101,08	1187,41	1166,96	6283,00	2076,47	2784,91	3882,98	31113,90	19,75	19,75	19,75	19,79	19,79	8439,72	19,79	19,75	6279,15	0,00
911,12	12566,00	2182934,...	1103,22	1189,55	1169,02	6283,00	1909,83	3265,09	4133,42	32043,78	20,28	20,27	20,27	20,28	20,22	685,74	20,22	20,28	493,73	0,00
636,31	12566,00	1223046,...	1591,62	1677,95	1633,97	6283,00	2029,63	2374,19	3517,52	44703,27	21,75	21,75	21,75	21,75	21,69	-1488,04	21,69	21,75	0,00	1107,10
396,52	12566,00	1254071,...	1351,53	1437,86	1405,55	6283,00	1832,11	2626,10	3560,95	40200,98	22,15	22,15	22,15	22,13	22,03	-8013,75	22,03	22,15	0,00	5769,90
361,00	12566,00	1319422,...	1318,43	1404,76	1374,03	6283,00	1697,68	2778,11	3575,00	39607,60	22,24	22,24	22,24	22,21	22,08	-11079,19	22,08	22,24	0,00	8242,92
397,50	12566,00	1226735,...	1352,44	1438,77	1406,41	6283,00	1633,43	2773,15	3519,72	40257,04	22,21	22,21	22,21	22,18	22,07	-9635,64	22,07	22,21	0,00	7168,90
765,49	12566,00	1081355,...	1695,52	1781,85	1733,13	6283,00	1661,34	2663,59	3454,50	46251,36	21,66	21,66	21,66	21,65	21,59	-228,54	21,59	21,66	0,00	164,55
914,35	12566,00	1834617,...	1106,72	1193,05	1172,37	6283,00	1549,47	3311,02	3882,27	31616,81	20,20	20,20	20,20	20,20	20,14	1341,00	20,14	20,20	997,70	0,00
911,12	12566,00	1205540,...	1102,23	1188,56	1168,07	6283,00	1739,72	2681,03	3531,04	31056,52	19,76	19,76	19,76	19,80	19,81	9629,69	19,81	19,76	6933,37	0,00
911,12	12566,00	1017670,...	1100,09	1186,42	1166,00	6283,00	1925,85	2324,62	3395,02	30714,54	19,54	19,54	19,54	19,62	19,69	18427,00	19,69	19,54	13709,68	0,00
<b>62,62</b>	<b>12566,...</b>	<b>16384,...</b>	<b>1252,46</b>	<b>1338,79</b>	<b>1311,14</b>	<b>6283,00</b>	<b>22336,...</b>	<b>2669,81</b>	<b>3618,03</b>	<b>35776,...</b>	<b>20,73</b>	<b>20,73</b>	<b>20,73</b>	<b>20,74</b>	<b>20,71</b>	<b>3532,27</b>	<b>20,71</b>	<b>20,73</b>	<b>53395,...</b>	<b>22453,...</b>

# Satni podaci – prikaz rezultata proračuna

**Potrebna energija**

**Potrebna toplinska energija za grijanje i hlađenje**

Osvježi satni proračun

le.C [K]	φ int [W]	φ sol [W]	H tr,1 [W/K]	H tr,2 [W/K]	H tr,3 [W/K]	φ ia [W]	φ m,g [W]	φ m [W]	φ st [W]	φ m,tot [W]	θ m,t [°C]	θ m,ac,t-1 [°C]	θ m [°C]	θ s [°C]	θ air [°C]	φ HC,nd [W]	θ air,ac [W]	θ m,ac,t [W]	Q H,nd [kWh]	Q C,nd [kWh]
911,12	12566,00	-173,10	893,72	980,05	966,24	6283,00	1909,83	1484,56	2711,24	21214,07	20,21	20,26	20,23	20,19	20,09	0,00	20,09	20,21	0,00	0,00
911,12	12566,00	-173,10	893,72	980,05	966,24	6283,00	1909,83	1484,56	2711,24	19978,80	20,15	20,21	20,18	20,12	20,01	0,00	20,01	20,15	0,00	0,00
911,12	12566,00	-173,10	893,72	980,05	966,24	6283,00	1909,83	1484,56	2711,24	19429,78	20,09	20,15	20,12	20,06	19,94	0,00	19,94	20,09	0,00	0,00
911,12	12566,00	-173,10	893,72	980,05	966,24	6283,00	1909,83	1484,56	2711,24	18743,52	20,03	20,09	20,06	19,99	19,86	0,00	19,86	20,03	0,00	0,00
911,12	12566,00	-173,10	893,72	980,05	966,24	6283,00	1909,83	1484,56	2711,24	17920,00	19,96	20,03	19,99	19,92	19,78	0,00	19,78	19,96	0,00	0,00
911,12	12566,00	245,51	893,72	980,05	966,24	6283,00	1909,83	1717,12	2896,99	18335,70	19,89	19,96	19,93	19,86	19,72	0,00	19,72	19,89	0,00	0,00
911,12	12566,00	2716,31	1188,62	1274,95	1251,69	6283,00	1909,83	3089,79	3993,40	35334,87	19,91	19,89	19,90	19,97	20,00	10843,65	20,00	19,91	10,84	0,00
911,12	12566,00	6044,99	1189,20	1275,52	1252,24	6283,00	1909,83	4939,05	5470,49	38428,67	19,95	19,91	19,93	20,00	20,00	6464,86	20,00	19,95	6,46	0,00
911,12	12566,00	7647,71	1189,39	1275,72	1252,43	6283,00	1909,83	5829,45	6181,68	39694,78	20,00	19,95	19,97	20,03	20,00	1965,29	20,00	20,00	1,97	0,00
911,12	12566,00	9692,86	1189,54	1275,87	1252,57	6283,00	1909,83	6965,65	7089,21	42165,54	20,06	20,00	20,03	20,10	20,06	0,00	20,06	20,06	0,00	0,00
911,12	12566,00	6882,69	1189,43	1275,75	1252,46	6283,00	1909,83	5404,44	5842,21	41369,22	20,12	20,06	20,09	20,16	20,15	0,00	20,15	20,12	0,00	0,00
911,12	12566,00	6983,35	1189,68	1276,01	1252,71	6283,00	1909,83	5460,36	5886,88	42965,58	20,19	20,12	20,16	20,24	20,25	0,00	20,25	20,19	0,00	0,00
911,12	12566,00	7144,30	1189,60	1275,93	1252,63	6283,00	1909,83	5549,78	5958,30	43953,41	20,27	20,19	20,23	20,32	20,34	0,00	20,34	20,27	0,00	0,00
911,12	12566,00	6783,80	1190,24	1276,57	1253,24	6283,00	1909,83	5349,50	5798,33	44933,37	20,35	20,27	20,31	20,41	20,45	0,00	20,45	20,35	0,00	0,00
911,12	12566,00	8445,58	1189,92	1276,25	1252,93	6283,00	1909,83	6272,72	6535,74	45911,71	20,43	20,35	20,39	20,50	20,53	0,00	20,53	20,43	0,00	0,00
911,12	12566,00	6500,74	1189,92	1276,25	1252,93	6283,00	1909,83	5192,25	5672,72	43984,00	20,51	20,43	20,47	20,56	20,59	0,00	20,59	20,51	0,00	0,00
911,12	12566,00	3984,79	1189,60	1275,93	1252,63	6283,00	1909,83	3794,50	4556,28	40821,73	20,56	20,51	20,53	20,60	20,61	0,00	20,61	20,56	0,00	0,00
911,12	12566,00	1589,56	1189,07	1275,40	1252,11	6283,00	1909,83	2463,82	3493,41	36781,09	20,57	20,56	20,57	20,60	20,59	0,00	20,59	20,57	0,00	0,00
911,12	12566,00	-166,69	1189,10	1275,43	1252,15	6283,00	1909,83	1488,12	2714,08	31889,77	20,56	20,57	20,57	20,56	20,50	0,00	20,50	20,56	0,00	0,00
911,12	12566,00	-173,10	1189,66	1275,99	1252,69	6283,00	1909,83	1484,56	2711,24	28406,49	20,52	20,56	20,54	20,49	20,38	0,00	20,38	20,52	0,00	0,00
911,12	12566,00	-173,10	1189,60	1275,93	1252,63	6283,00	1909,83	1484,56	2711,24	26912,80	20,47	20,52	20,49	20,43	20,30	0,00	20,30	20,47	0,00	0,00
911,12	12566,00	-173,10	1189,43	1275,76	1252,46	6283,00	1909,83	1484,56	2711,24	25915,95	20,41	20,47	20,44	20,36	20,22	0,00	20,22	20,41	0,00	0,00
911,12	12566,00	-173,10	1189,32	1275,65	1252,36	6283,00	1909,83	1484,56	2711,24	24753,93	20,34	20,41	20,38	20,29	20,13	0,00	20,13	20,34	0,00	0,00
911,12	12566,00	-173,10	893,72	980,05	966,24	6283,00	1909,83	1484,56	2711,24	21900,34	20,30	20,34	20,32	20,28	20,19	0,00	20,19	20,30	0,00	0,00
911,12	12566,00	72764,....	1103,22	1189,55	1169,02	6283,00	1909,83	3265,09	4133,42	32156,....	20,24	20,24	20,24	20,25	20,19	803,07	20,19	20,24	19,27	0,00

# Meteorološki podaci – toplinski dobici

gdje su:

$F_{sh,ob}$  – faktor zasjenjena od vanjskih prepreka direktnom upadu sunčevog zračenja;

$S_{S,k}$  – srednja dozračena energija sunčevog zračenja na površinu građevnog dijela  $k$  za promatrani period ( $\text{MJ/m}^2$ ), za mjesечni proračun podaci dani u Tablici 1.19;

$A_{sol,k}$  – efektivna površina građevnog elementa (otvora, zida)  $k$  na koju upada sunčev zračenje ( $\text{m}^2$ );

$F_{r,k}$  – faktor oblika između otvora  $k$  i neba (za nezasjenjeni vodoravni krov  $F_{r,k} = 1$ , za nezasjenjeni okomit krov  $F_{r,k} = 0,5$ );

$\Phi_{r,k}$  – toplinski tok zračenjem od površine otvora  $k$  prema nebu (W);

$t$  – proračunsko vrijeme (h) (Tablica 1.8).

$A_{sol,k}$  – efektivna površina otvora  $k$  (prozirnog elementa) na koju upada sunčev zračenje ( $\text{m}^2$ )

Efektivna površina otvora  $k$  (prozirnog elementa) se u mjesечноj metodi računa prema:

$$A_{sol,k} = F_{sh,gl} g_{gl} (1 - F_F) A_{pr} \quad [\text{m}^2] \quad \text{HRN EN 13790 (44)} \quad (1.65)$$

$$g_{gl} = F_W \cdot g_{\perp} \quad [-] \quad \text{HRN EN 13790 (47)} \quad (1.66a)$$

Kod satne metode se efektivna površina otvora  $k$  (prozirnog elementa) računa prema (ako je intezitet Sunčeva zračenja manji od  $300 \text{ W/m}^2$ ):

$$A_{sol,k} = g_{gl} (1 - F_F) A_{pr} \quad [\text{m}^2] \quad (1.67)$$

ukoliko je intezitet Sunčeva zračenja manji od  $300 \text{ W/m}^2$  tada se računa prema:

$$A_{sol,k} = g_{gl+sh} (1 - F_F) A_{pr} \quad [\text{m}^2] \quad (1.68)$$

gdje su:

$F_{sh,gl}$  – faktor smanjenja zbog sjene od pomičnog zasjenjenja;

$g_{gl}$  – ukupna propusnost Sunčeva zračenja kroz prozirne elemente kada pomično zasjenjenje nije uključeno;

$g_{\perp}$  – stupanj propuštanja ukupnog zračenja okomito na ostakljenje kada pomično zasjenjenje nije uključeno, Tablica 1.10;

$F_W = 0,9$  – faktor smanjenja zbog ne okomitog upada sunčevog zračenja;

$F_F$  – udio ploštine prozorskog okvira u ukupnoj površini prozora (0,2 - 0,3);

$A_{pr}$  – ukupna površina prozora ( $\text{m}^2$ ).

Faktor smanjenja zbog sjene od pomičnog zasjenjenja računa se prema sljedećem izrazu:

$$F_{sh,gl} = \frac{(1 - f_{with}) g_{gl} + f_{with} g_{gl+sh}}{g_{gl}} \quad [-] \quad \text{HRN EN 13790 (49)} \quad (1.69)$$

gdje su:

$g_{gl+sh}$  – ukupna propusnost Sunčeva zračenja kroz prozirne elemente s uključenom pomičnom zaštitom;

$$g_{gl+sh} = F_W \cdot g_{\perp} \cdot F_C \quad [-]$$

$F_C$  - faktor smanjenja zbog sjene od pomičnog zasjenjenja, Tablica 1.9;

$f_{with}$  – udio vremena s uključenom pomičnom zaštitom (kod proračuna  $Q_{H,nd}$  uzima se da je zaštita uključena ako je intezitet Sunčeva zračenja veći od  $300 \text{ W/m}^2$ ), Tablica 1.11,

# Dizalice topline zrak-zrak



Sveučilište u Zagrebu  
Fakultet strojarstva i brodogradnje

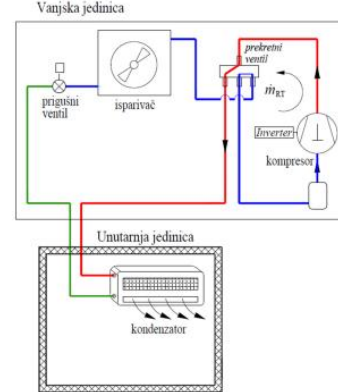


Naručitelj: **Ministarstvo graditeljstva i prostornog uređenja**  
Sektor za energetsku učinkovitost u zgradarstvu  
Republike Austrije 20  
Zagreb 10000

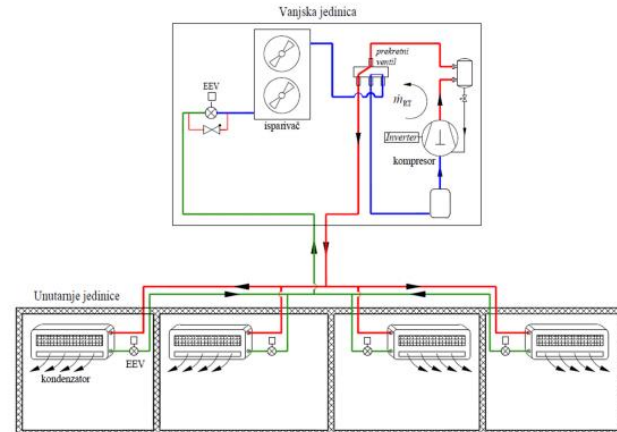
Predmet: **Algoritam za određivanje energijskih zahtjeva i učinkovitosti  
dizalice topline zrak-zrak (Sustavi grijanja prostora)**

Autori: prof. dr. sc. Vladimir Soldo, dipl.ing.stroj.  
Iva Bertović, mag.ing.stroj.  
dr. sc. Luka Boban, mag.ing.stroj.

Zagreb, listopad 2021.



Slika 1: Shematski prikaz dizalice topline zrak-zrak (split izvedba)



Slika 2: Shematski prikaz dizalice topline zrak-zrak (VRF izvedba)

# Dizalice topline zrak-zrak

## 1.2. Radne točke prema HRN EN 14511:2018

Uz opće ulazne podatke o uređaju i sustavu, za proračun je potrebno poznavati vrijednosti ogrjevnog učinka i toplinskog množitelja (COP) razmatrane dizalice topline pri punom opterećenju prema HRN EN 14511:2018. Spomenute vrijednosti navodi proizvođač u tehničkoj specifikaciji uređaja.

U Tablici 1.2 navedene su gore spomenute radne točke s preporučenim vanjskim i unutarnjim temperaturama zraka prema HRN EN 14511:2018 za koje proizvođač u tehničkoj specifikaciji uređaja navodi pripadajuće vrijednosti ogrjevnog učinka i toplinskog množitelja pri punom opterećenju uređaja.

Tablica 1.2: Radne točke prema HRN EN 14511:2018

$\vartheta_a, [^\circ\text{C}]$	$\vartheta_{int}, [^\circ\text{C}]$	$COP_{\vartheta a; \vartheta int; ref}, [-]$	$\Phi_{\vartheta a; \vartheta int; ref}, [\text{kW}]$
-15	20		
-7	20		
2	20		
7	20		
12	20		

The screenshot shows a software application window titled 'KONFIGURACIJE'. It displays a table of operating points and a configuration dialog box. The configuration dialog has tabs for 'Projekt', 'Zone', 'Potrebna energija', 'Konačna energija', 'Primarna energija', 'Ispisi', 'Sustav grijanja', and 'Kreiranje konfiguracije'. The 'Kreiranje konfiguracije' tab is active, showing a 'Konfiguracije' section with 'Kreiraj konfiguraciju' and 'Odustani' buttons. Below this is a 'Definiranje konfiguracije sustava grijanja i pripreme PTV:' section with two main groups of checkboxes:

- PODSUSTAVI ZA GRIJANJE PROSTORA:**
  - PODSUSTAVI ZA GRIJANJE PROSTORA
  - Podsustav predaje topline u prostor
  - Podsustav razvoda grijanja
  - Podsustav GVik-a
  - Podsustav spremnika tople vode za grijanje
  - Podsustav proizvodnje
- PODSUSTAVI ZA GRIJANJE PTV:**
  - Protični električni zagrijivač vode
  - Podsustav razvoda PTV
  - Podsustav spremnika PTV

Input fields for 'Broj kotlova:', 'Broj dizalica topline:', 'Broj solarnih sustava:', and 'Postoji daljinsko grijanje' are also present.

# Dizalice topline zrak-zrak

**Sustav grijanja** | **Podsustavi predaje** | **Podsustavi razvoda** | **Podsustavi spremnika** | **Podsustavi proizvodnje** | **Dodaj sustav (konfiguracije)** | **Dodaj sustav (slobodan unos)** | **Obriši sustav**

**Sustav grijanja termotehnickog sustava**

**Projekt** | **Zone** | **Potreba energija** | **Konačna energija** | **Primarna energija** | **Ispisi** | **Sustav grijanja** | **O programu** | **Zatvori projekt**

**www.knaufinsulation.hr**

**knauf INSULATION**

**Podsustavi Proizvodnje**

Mjesec	Naziv	Q <sub>H,gen,out</sub> (Sobni) [kWh]	Q <sub>H,gen,out</sub> (GVIK) [kWh]	Q <sub>H,st,ls</sub> [kWh]	Q <sub>w,st,ls</sub> [kWh]	Q <sub>H,gen,out</sub> [kWh]	Q <sub>w,gen,out</sub> [kWh]	Q <sub>Hw,gen,out</sub> [kWh]	Q <sub>gen,ls</sub> [kWh]	Q <sub>gen,ls,env,rbl</sub> [kWh]	Q <sub>p,ls,rbl</sub> [kW]
Siječanj	Podsustav proizvodnje grijanja	14838,60	0,00	0,00	0,00	14838,60	0,00	14838,60	0,00	0,00	0,00
Veljača	Podsustav proizvodnje grijanja	11034,53	0,00	0,00	0,00	11034,53	0,00	11034,53	0,00	0,00	0,00
Ožujak	Podsustav proizvodnje grijanja	6503,01	0,00	0,00	0,00	6503,01	0,00	6503,01	0,00	0,00	0,00
Travanj	Podsustav proizvodnje grijanja	511,34	0,00	0,00	0,00	511,34	0,00	511,34	0,00	0,00	0,00
Svibanj	Podsustav proizvodnje grijanja	0,00	0,00	0,00	0,00	0,00	0,00	0,00	0,00	0,00	0,00
Lipanj	Podsustav proizvodnje grijanja	0,00	0,00	0,00	0,00	0,00	0,00	0,00	0,00	0,00	0,00
Srpanj	Podsustav proizvodnje grijanja	0,00	0,00	0,00	0,00	0,00	0,00	0,00	0,00	0,00	0,00
Kolovoz	Podsustav proizvodnje grijanja	0,00	0,00	0,00	0,00	0,00	0,00	0,00	0,00	0,00	0,00
Rujan	Podsustav nprizvodnje rnilanja	0,00	0,00	0,00	0,00	0,00	0,00	0,00	0,00	0,00	0,00

**Generatori**

Solarni sustavi	Dizalice topline	Kogeneracija	Dajinsko grijanje	Kotlovi	DGA	Električni Zagrijачi					
#	Mjesec	E <sub>gen,in</sub> [kWh]	Q <sub>H,gen,out</sub> [kWh]	Q <sub>H,gen,bu</sub> [kWh]	d [dan]	d <sub>use,ij</sub> [dan/ij]	T <sub>d</sub> [h]	L <sub>H,m</sub> [dan]	t <sub>stby</sub> [h]	t <sub>ok</sub> [h]	E <sub>gen,in,stby</sub> [kWh]
1	Siječanj	-376,96	0,00	0,00	31	7	17	31	217,00	31,00	57,97
1	Veljača	-340,49	0,00	0,00	28	7	17	28	196,00	28,00	52,36
1	Ožujak	-376,96	0,00	0,00	31	7	17	31	217,00	31,00	57,97
1	Travanj	210,66	0,00	0,00	30	7	3	30	627,00	30,00	152,01
1	Svibanj	171,12	0,00	0,00	31	7	0	0	0,00	0,00	0,00
1	Lipanj	165,60	0,00	0,00	30	7	0	0	0,00	0,00	0,00
1	Srpanj	171,12	0,00	0,00	31	7	0	0	0,00	0,00	0,00
1	Kolovoz	171,12	0,00	0,00	31	7	0	0	0,00	0,00	0,00
1	Rujan	165,60	0,00	0,00	30	7	0	0	0,00	0,00	0,00
1	Listopad	154,34	0,00	0,00	31	7	5	31	602,00	31,00	146,52
1	Studenji	-364,80	0,00	0,00	30	7	17	30	210,00	30,00	56,10
1	Prosinac	-376,96	0,00	0,00	31	7	17	31	217,00	31,00	57,97
<b>UK...</b>		<b>-626,60</b>	<b>0,00</b>	<b>0,00</b>				<b>2286,00</b>	<b>212,00</b>	<b>580,90</b>	

**Dizalica Topline Zrak/Zrak:**

- 01. **Osnovni podaci**
  - # Tip sustava VRF
  - Φ Ba,št;Pr 0,00
  - COP Φa,št;Pr 0,00
  - Ručni unos učinka i COP-a Ne
- 02. **Ostali podaci**
  - Način upravljanja Kontinuirano (inverzni kompresor)
  - Ručni unos LR cont:min Ne
  - LR cont:min 0,20
  - f gen;aux;el 0,05
  - P toff 0,23
  - P stby 0,23
  - P ck 0,26
  - f gen;LR;cont:min;net 1,25
- 03. **Proračun COP/Φ pri punom opterećenju**
  - Defaultne radne točke COP/D 0a: (-15, -7, 2, 7, 12) °C
- 04. **Korekcije sezonskog toplinskog množitelja**
  - Uključi korekcije Da
  - L 0,00
  - L max 0,00
  - Proračunati L/L max 0,00
  - Predefinirane k Δp točke Odabrani L/L max 0,00
- 05. **Ukupni rezultati**
  - Q H,gen,out 0,00
  - Q H,gen,bu 0,00
  - Q H,gen,out (max) 0,00
  - E H,gen,in -1207,50
  - CR HP,avg 0,00
  - k Δp 1,00
  - SCOP gen 0,00

**Pomoć**

Ukoliko trebate pomoć u radu s računalnim programom Ki Expert Pro pritisnite tipku F1.

**Status** | **Pomoć** | **Greške - projekt (3)** | **Greške - proračun (0)**

# Identifikacijski broj podsustava proizvodnje kojem pripada dizalica topline.

# Dizalice topline zrak-zrak

Dizalica Topline Zrak/Zrak.

01. Osnovni podaci

#	4
Tip sustava	VRF
Φ θa;θint;Pn	0,00
COP θa;θint;Pn	0,00
Ručni unos učinka i COP-a	Da
Karakteristike	θa: (-15, -7, 2, 7, 12) °C
> Za θa = -15[°C]	
> Za θa = -7[°C]	
> Za θa = 2[°C]	
> Za θa = 7[°C]	
> Za θa = 12[°C]	

02. Ostali podaci

Način upravljanja	Kontinuirano (inverterski kompresor)
Ručni unos LR cont,min	1: Cikličko (ON/OFF)
LR cont,min	2: Kontinuirano (inverterski kompresor)
f gen;aux;el	0,00
P toff	0,23
P stby	0,23
P ck	0,26
f gen;LR;cont,min;net	1,25

03. Proračun COP/Φ pri punom opterećenju

> Defaultne radne točke COP/Φ	θa: (-15, -7, 2, 7, 12) °C
-------------------------------	----------------------------

04. Korekcije sezonskog toplinskog množitelja

Uključi korekcije	Da
L	0,00
L max	0,00
Proracunati L/L max	0,00
> Predefinirane k Δp točke	
Odabrani L/L max	0,00

05. Ukupni rezultati

Q H,gen,out	0,00
Q H,gen,bu	0,00
Q H,gen,out (max)	0,00
E H,gen,in	-1207,50
CR HP,avg	0,00
k Δp	1,00
SCOP gen	0,00

Način upravljanja

Definira način upravljanja radom dizalice topline.

# Dizalice topline zrak-zrak – priprema PTV-a?

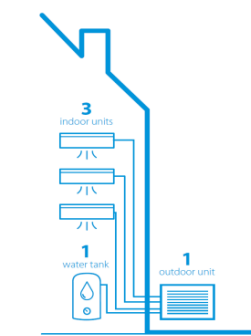
## Multi+ sustava: Multi + rješenje za potrošnu topalu vodu

Daikin **Multi+** zamišljen je kao rješenje za grijanje, hlađenje i proizvodnju tople vode za kućanstvo. Sustav Multi+ savršeno je rješenje za zamjenu neučinkovitih i zastarjelih sustava grijanja vode za kućanstva do 3 sobe (2-3 osobe) s modernim rješenjem dizalice topline, čime se štedi energija i nudi visok komfor u potrošnji tople vode, hlađenja i grijanja.

### System overview



### Koje su prednosti Multi+?



Spremnik PTV-a, izravno spojen na multi vanjsku jedinicu  
Na priključak unutarnje jedinice, zidni spremnik (90 ili 120 l) spojen je na vanjsku jedinicu **Multi+specific**, dizajniranu za jednostavnu zamjenu postojećih električnih bojlera u kupaonicama.

Topla voda se osigurava na najekonomičniji ekološki način  
Priprema tople vode priprema se pomoću dizalice topline, čime se postiže energetska oznaka A-klaše učinkovitosti.

Hlađenje i grijanje na najučinkovitiji način  
Daikin multi sustavi poznati su po svojoj visokoj učinkovitosti, do A++/A++

**Stvorite rješenje za želje svakog kupca**  
Zakazivanje mjesnog prioritetskog odabira moguće je putem MMI-a:  
Način rada (QUICK, EFFICIENT)  
Zadana točka spremnika (ECO, COMFORT)  
Dnevno i tjedni raspored moguć je putem MMI-a

**Onecta Connectivity** kao standard za Multi+  
- Postavite i imajte nadzor nad temperaturom vode u spremniku  
- ON-OFF i Pojačani načini rada

- ✓ Ušteda energije
- ✓ Rješenje za uštedu prostora
- ✓ Brza i jednostavna montaža
- ✓ Ekološka tehnologija u koraku s budućnosti

## Što Multi+ sustav sadrži?

Vanjska jedinica: 4MWXM52A



Novodizajnirana vanjska jedinica s 4 ulaza.

Jedan od priključaka dostupan je za priključke spremnika tople vode za kućanstvo

Spremnik za montažu na zid: EKHWET90BV3 / EKHWET120BV3



Zidni spremnik dostupan je u kapacitetima od 90 i 120 l.

Za više ljudi ili veću količinu PTV-a preporučuje se veći kapacitet.

90 l: EKHWET90BV3  
120 l: EKHWET120BV3

Antikorozivna obrada jamči visoku trajnost. Kućište od pomicanog lima je dugotrajno rješenje bez pojave korozije.

MMI je montiran na spremnik. MMI izbornik je izmijenjen, posebno za Multi+ spremnik tople vode za kućanstvo.

## Unutarnje jedinice:



Od nove Daikin Emure do FBA60/71(\*), Multi+ serija je kompatibilna sa širokim rasponom unutarnjih jedinica.

# Decentralni sustavi

## 3. PROVEDBA ENERGETSKOG PREGLEDA ZGRADE – SNIMAK POSTOJEĆEG STANJA NA LOKACIJI ZGRADE

### 3.3.1.1. Decentralni sustav grijanja

U slučaju decentralne izvedbe sustava grijanja omogućeno je izravno zagrijavanje prostorije iz izvora toplinske energije koji je u njoj smješten. Primjeri pojedinačnih izvora toplinske energije: otvoreni i zatvoreni kamini na drva, plinski kamini, pojedinačne peći na kruta goriva (ogrjevno drvo), pojedinačne plinske peći (na dimnjak ili fasadni priključak), pojedinačne električne peći, peći na pelete i slično.



Slika 3-3 Otvoreni i zatvoreni kamin



Slika 3-4 Pojedinačna peć na drva za grijanje prostora učina 5 kW – stupanj djelovanja 78,5 %



Slika 3-5 Pojedinačna plinska peć proizvođača IKOM



Slika 3-6 Peć na pelete učina 8 kW i stupnja djelovanja 89,2%

## Metodologija provođenja energetskog pregleda zgrada – 2021

Pojedini pojedinačni izvori toplinske energije, mogu se osim za pokrivanje potreba za grijanjem koristiti i za kuhanje.

Tabično su dani podaci koje je potrebno prikupiti prilikom provedbe energetskog pregleda pojedinačnog izvora toplinske energije, ukoliko su dostupni. Važni podaci koje je potrebno znati ili pretpostaviti su nazivni učin i stupanj djelovanja kod nazivnog učina prema podacima proizvođača.

Tablica 3-2 Pojedinačni izvori toplinske energije – ulazni podaci

POJEDINAČNI IZVOR TOPLINSKE ENERGIJE	
Vrsta	Peć na drva
Proizvođač	ALFA PLAM
Model	REGULAR 46
Nazivni učin [kW]	5
Godina proizvodnje	2015.
Namjena	<input checked="" type="checkbox"/> grijanje <input checked="" type="checkbox"/> ostalo <input checked="" type="checkbox"/> kuhanje
Stupanj djelovanja kod nazivnog učina prema podacima proizvođača [%]	74,4



Ukoliko je pojedinačni izvor toplinske energije starijeg datuma proizvodnje, nazivni učin i stupanj djelovanja je potrebno pretpostaviti. Tabično su navedene prosječne orientacijske vrijednosti stupnjeva djelovanja kod nazivnog učina pojedinih vrsta pojedinačnih izvora toplinske energije.

Tablica 3-3 Pojedinačni izvori toplinske energije – orientacijske vrijednosti stupnjeva djelovanja kod nazivnog učina

POJEDINAČNI IZVOR TOPLINSKE ENERGIJE	
Vrsta	Stupanj djelovanja kod nazivnog učina, [%]
Otvoreni kamin	20 %
Zatvoreni kamin	< 50 %
Kaljeva peć	75 – 89 %
Peć na drva za grijanje i kuhanje	70 – 80 %
Peć na drva za grijanje	70 – 85 %
Peć na pelete	> 90 %
Stare plinske peći s priključkom na dimnjak snage od 3 do cca. 12 kW s otvorenom komorom izgaranja	< 75 %
Nove plinske peći s priključkom na dimnjak snage od 3 do cca. 12 kW s otvorenom komorom izgaranja	75 – 85 %
Plinske peći s fasadnim priključkom do max. 7 kW sa zatvorenom komorom izgaranja	< 85 %

# Decentralni sustavi

Tablica 3-3 Pojedinačni izvori toplinske energije – orientacijske vrijednosti stupnjeva djelovanja kod nazivnog učina

POJEDINAČNI IZVOR TOPLINSKE ENERGIJE	
Vrsta	Stupanj djelovanja kod nazivnog učina, [%]
Otvoreni kamin	20 %
Zatvoreni kamin	< 50 %
Kaljeva peć	75 – 89 %
Peć na drva za grijanje i kuhanje	70 – 80 %
Peć na drva za grijanje	70 – 85 %
Peć na peletu	> 90 %
Stare plinske peći s priključkom na dimnjak snage od 3 do cca. 12 kW s otvorenom komorom izgaranja	< 75 %
Nove plinske peći s priključkom na dimnjak snage od 3 do cca. 12 kW s otvorenom komorom izgaranja	75 – 85 %
Plinske peći s fasadnim priključkom do max. 7 kW sa zatvorenom komorom izgaranja	< 85 %

Zamjenski energet	
01. Unos faktora pretvorbe	
Naziv	Grijanje
Energet	Ogrevno drvo (bukva u pm, 20% vlage)
Ukupni faktor pretvorbe	1,2500

## Termotehnički sustav

### Definirani termotehnički sustavi

Naziv	d <sub>grijanje</sub> [dan]	d <sub>izv.grijanja</sub> [dan]	Q <sub>H,nd,exp</sub> [kWh]	Q <sub>C,nd,exp</sub> [kWh]	Q <sub>W,exp</sub> [kWh]
Termotehnički sustav	365,00	0,00	0,00	0,00	0,00

Za **ODABRANI** termotehnički sustav grijanja, PTV-a i hlađenja unesite faktore pretvorbe potrebne energije u konačnu energiju

Naziv	Energet	Q <sub>nd</sub> [kWh]	Faktor	Q <sub>gen,in</sub> [kWh]
Grijanje	Ogrevno drvo (bukva u pm, 20% vl...)	0,00	1,2500	0,00
PTV	Električna energija	0,00	0,0000	0,00
Hlađenje	Električna energija	0,00	0,0000	0,00

# Decentralni sustavi

## 5.18 Proračun lokalnih grijalica prostora (peći, štednjaci i kamini na kruto gorivo)

Opisani proračun temelji se na pojednostavljenoj metodi opisanoj u HRN EN 15316-4-8:2017.  
Opisni proračun je neovisan o HRN EN 15316-4-7:2008.

Napomena: Različiti je proračun za slučaj grijalica prostora koje nemaju spoj na sustav centralnog grijanja (koriste se jedn. 5.38, 5.39-5.40, 5.43, 5.45) i grijalica prostora koje imaju spoj na sustav centralnog grijanja (koriste se jedn. 5.38, 5.41-5.42, 5.44-5.45).

Maksimalna toplinska energija koju grijalice prostora može predati (prostoru / prostoru + centralnom sustavu grijanja) računa se prema:

$$Q_{H,gen,out,max} = \phi_{pa} \cdot t_{ci} \quad (5.38)$$

gdje su:

$\phi_{pa}$  – nazivna snaga grijalice prostora (kW);  
 $t_{ci}$  – broj sati u promatranom periodu (h), ( $t_{ci} = t_{uk}$ ).

Tablica 5.8 (HRN EN 15316-4-8:2017 B.17) Učinkovitosti grijalica prostora

Vrsta grijalice prostora	$\eta$ %
Grijalice prostora na kruto gorivo (EN 13240)	50
Kamini za ugradnju i otvoreni kamini (EN 13229)	30
Grijalice prostora na drvene pelete (EN 14785)	75
Aparati na kulta goriva s akumulacijom topline (EN 15250)	70

Napomena: Osim podataka iz Tablice 5.8 mogu se koristiti i podaci proizvođača.

## Algoritam za određivanje en. značajki termoteh. sustava

Str. 60

Toplinska energija koju je potrebno gorivom isporučiti podsustavu proizvodnje  $Q_{H,gen,in}$  računa se prema (jednadžbe vrijede za grijalice prostora koje nemaju spoj na sustav centralnog grijanja):

$$Q_{H,gnr,out} = \min(Q_{H,nd}, Q_{H,gen,out,max}) \quad (5.39)$$

$$Q_{H,gen,in} = \frac{100 \cdot Q_{H,gnr,out}}{\eta} \quad (5.40)$$

gdje su:

$Q_{H,nd}$  - potrebna toplinska energija za grijanje prostora u proračunskom periodu (kWh),  
 $\eta$  - učinkovitost grijalice prostora pri punom opterećenju (%), podatak proizvođača ili Tablica 5.8

Napomena: U slučaju korištenja samo grijalica prostora koji nemaju spoj na sustav centralnog grijanja toplinski gubici, iskoristivi toplinski gubici te pomoćna električna energija podsustava emisije, distribucije se ne uzimaju u obzir i iznose 0.

Toplinska energija koju je potrebno gorivom isporučiti podsustavu proizvodnje  $Q_{H,gen,in}$  računa se prema (jednadžbe vrijede za grijalice prostora koje imaju spoj na sustav centralnog grijanja):

$$Q_{H,gnr,out} = \min(Q_{HW,gen,out}, Q_{H,gen,out,max}) \quad (5.41)$$

$$Q_{H,gen,in} = \frac{100 \cdot Q_{H,gnr,out}}{\eta} \quad (5.42)$$

gdje se  $Q_{HW,gen,out}$  računa prema jedn (4.7).

Napomena: Ovaj pristup se smatra dovoljno točnim s obzirom na činjenicu da grijalice prostora koje imaju spoj na sustav centralnog grijanja ostvaruju značajno veći toplinski učin na vodenju u odnosu na zračnu stranu.

Napomena: U slučaju korištenja grijalica prostora koji imaju spoj na sustav centralnog grijanja toplinski gubici, iskoristivi toplinski gubici te pomoćna električna energija podsustava emisije, distribucije se uzimaju u obzir.

## Algoritam za određivanje en. značajki termoteh. sustava

Str. 61

Toplinska energija koju je potrebno isporučiti dodatnim generatorima iznosi (jednadžba vrijedi za grijalice prostora koje nemaju spoj na sustav centralnog grijanja):

$$Q_{H,bu} = \max(0, Q_{H,nd} - Q_{H,gnr,out}) \quad (5.43)$$

Toplinska energija koju je potrebno isporučiti dodatnim generatorima iznosi (jednadžba vrijedi za grijalice prostora koje imaju spoj na sustav centralnog grijanja):

$$Q_{H,bu} = \max(0, Q_{HW,gen,out} - Q_{H,gnr,out}) \quad (5.44)$$

Potrošnja električne energije za grijalice prostora koje imaju priključak na struju (npr. grijalice prostora na drvene pelete) računa se:

$$W_{gnr,aux} = P_{aux,Pn} \cdot Q_{H,gnr,out} / \phi_{pa} \quad (5.45)$$

gdje je:

$P_{aux,Pn}$  – potrošnja pomoćne energije pri punom opterećenju (kW), podatak proizvođača ili ako nije dostupan jedn. (5.46).

$$P_{aux,Pn} = 0,2 + 0,006 \cdot \phi_{pa} \quad (5.46)$$

Napomena: Jedn. (5.46) može se primijeniti za grijalice prostora nazivne snage od 5 do 40 kW.

# Ventilacijski gubici

Tablica 2.1a (temeljem DIN V 18599-10 (4)) Standardne vrijednosti vremena rada sustava mehaničke ventilacije za nestambene zgrade

Namjena prostora	Period korištenja (h)*	Broj sati korištenja sustava $t_{kor}$ (h/dan)	Broj sati rada sustava grijanja/hlađenja**, $t_{v,mech}$ (h/dan)	Minimalno potrebnii protok vanjskog zraka po jedinici površine, $\dot{V}_A$ , ( $m^3/(m^2h)$ )
Uredske, administrativne i druge poslovne zgrade slične pretežite namjene	07:00 – 18:00	11	13	4
Školske, fakultetske zgrade, i druge odgojne i obrazovne ustanove	08:00 – 20:00	12	14	10
Vrtići	07:00 – 18:00	11	13	10
Knjižnice – prostorije za čitanje	08:00 – 20:00	12	14	8
Knjižnice i zgrade za rehabilitaciju	08:00 – 20:00	12	14	2
Bolnice i zgrade za rehabilitaciju	00:00 – 24:00	24	24	4
Hoteli, moteli i sl.	00:00 – 24:00	24	24	3
Muzeji	00:00 – 24:00	24	24	4
Ostale zgrade sa stalnim radom (kolodvori, i sl.)	00:00 – 24:00	24	24	4
Robne kuće, trgovacki centri, trgovine	08:00 – 21:00	13	15	4
Sportske zgrade	08:00 – 23:00	15	17	3
Radionice i proizvodne hale	07:00 – 19:00	12	14	20
Kongresni centri	09:00 – 18:00	9	11	7
Kazališta i kina	13:00 – 23:00	10	12	25
Kantine	08:00 – 15:00	7	9	18
Restorani	10:00 – 00:00	14	16	18
Kuhinje	10:00 – 23:00	13	15	90
Serverske sobe, kompjuterski centri	00:00 – 24:00	24	24	1,3
Garaže	00:00 – 24:00	24	24	16
Spremišta opreme, arhive	07:00 – 18:00	11	13	0,15
Zgrade koje nisu navedene	07:00 – 19:00	12	14	10

\*Sustav grijanja/hlađenja s radom počinje 2 sata prije početka korištenja prostora

\*\*U Algoritmu prema HRN EN ISO 13790 ove vrijednosti se odnose na broj sati rada sustava grijanja/hlađenja  $t_d$ (h/d).

# Ventilacijski gubici

## Nestambene zgrade

### **Minimalno potreban broj izmjena vanjskog zraka za nestambene zgrade**

Sustavi s konstantnim protokom zraka (bez regulacije protoka)

$$n_{req} = \frac{\dot{V}_{mech,des}}{V} \quad [h^{-1}] \quad \text{DIN V 18599-2 (80)} \quad (2.2a)$$

$\dot{V}_{mech,des}$  - nazivni projektni volumni protok vanjskog zraka ( $m^3/h$ ), podatak iz projekta ili ako nije poznat Jedn. (2.1c) ili

$$n_{req} = \frac{\dot{V}_A A}{V}$$

$\dot{V}_A$  – minimalno potrebiti volumni protok vanjskog zraka po jedinici površine, ( $m^3/(m^2 h)$ ),

Tablica 2.1a;

$A$  - referentna površina zone ( $m^2$ ).

Ukoliko je poznat broj osoba, minimalno potrebiti volumni protok vanjskog zraka se može odrediti prema ISO 17772:2014, EN 16798-1:2019, EN TR 16798-2:2019 koristeći slijedeći izraz

$$\dot{V}_A = (n \cdot q_p / A + q_B) \cdot 3,6 \quad [m^3/(m^2 h)] \quad (2.3b)$$

gdje je:

$n$  – broj osoba;

$q_p$  – potrebiti protok zraka radi emisija od ljudi, ( $l/(s \cdot \text{osobi})$ ), Tablica 2.1b,

$q_B$  – potrebiti protok zraka radi emisija od zgrade (gradevni elementi, namještaj..), ( $l/(s \cdot m^2)$ ),

Tablica 2.1b;

U tablici 2.1b su dani podaci o korisnoj površini po osobi  $A_p$  ( $m^2/\text{osobi}$ ) temeljem koje se može dobiti vrijednost  $\dot{V}_A$  radi usporedbi s Tablicom 2.1a (u slučajevima kada nije poznat broj osoba)

$$\dot{V}_A = (q_p / A_p + q_B) \cdot 3,6 \quad [m^3/(m^2 h)] \quad (2.4c)$$

# Ventilacijski gubici

Tablica 2.1b Pred-definirani protoci zraka prema broju osoba i korisnoj površini po osobi za različite vrste nestambenih zgrada, usporedba s podacima iz Tablice 2.1a

Vrsta zgrade/prostora	Korisna površina po osobi $A_p$ (m <sup>2</sup> /osobi)	Protok radi emisija od ljudi		Protok radi emisije zgrade $q_B$ (l/(s·m <sup>2</sup> ))	Ukupan minimalno potrebnii protok vanjskog zraka*		Minimalno potrebni protok vanjskog zraka iz Tabl. 2.1a, • $V_A$ , (m <sup>3</sup> /(m <sup>2</sup> h))
		$q_p$ (l/(s·osobi))	$q_p / A_p$ (l/(s·m <sup>2</sup> ))		$\dot{V}_A$ (l/(s·m <sup>2</sup> ))	(m <sup>3</sup> /(h·m <sup>2</sup> ))	
Uredi-sobe	10	4	0,4	0,4	0,8	2,9	4
Uredi-otvorenog tipa	15	4	0,3	1,4	1,7	6,0	4
Učionice	2	4	2,0	0,4	2,4	8,6	10
Vrtići	2	4	2,0	0,4	2,4	8,6	10
Robne kuće, trgovački centri, trgovine	7	4	0,6	0,8	1,4	4,9	4
Konferencijske dvorane	2	7	3,5	0,4	3,9	14,0	
Kazališta i kina	0,75	4	5,3	0,4	5,7	20,6	25
Restorani	1,5	4	2,7	0,4	3,1	11,0	18

\*EN TR 16798-2:2019

Napomena 1: Za prostore koji nisu navedeni u Tablici 2.1b mogu se koristiti vrijednosti  $q_p = 4 \text{ l/(s·osobi)}$ .

Napomena 2: Vrijednosti u Tablici 2.1b su uzete IEQ kategoriju 3 (odgovara nivou očekivanja ljudi koji borave predmetnom prostoru - 'umjeren', EN 16798-1:2019).

# Rasvjeta?

Algoritam za određivanje energijskih zahtjeva i  
učinkovitosti sustava rasvjete u zgradama

*Energijski zahtjevi za rasvjetu*

# Fotonaponi?

Veća točnost zahvaljujući detaljnijim podacima?

Nove tehnologije i iskoristivost?

# „TO DO“

**0. Nova verzija i laganiji setup bez potrebe za administrativnim ovlastima!**

**1. Proračun mješovite (hibridne) ventilacije unutar zone.**

- analiza postojećeg proračuna uz detekciju nedostataka postojećeg proračuna za provedbu proračuna mješovite ventilacije
- prilagodba postojećeg algoritma za otklanjanje prethodno utvrđenih nedostataka

**2. Razrada proračuna za slučajeve gdje se zajednička kotlovnica koristi za pokrivanje potreba za toplinskom energijom više zona.**

- izrada algoritma i funkcionalne sheme međusobnog spajanja

**3. Implementacija promjena/korekcija prema Algoritmu za određivanje energijskih zahtjeva i učinkovitosti termotehničkih sustava u zgradama; Sustavi grijanja prostora i pripreme potrošne tople vode od listopada 2020. godine**

# „TO DO“

## 4. Implementacija novog proračuna udjela obnovljivih izvora energije u ukupnoj isporučenog energiji.

Faktori primarne energije i emisije CO<sub>2</sub>

Str. 1/3

**Objavljeno 1. travnja 2022. - do daljnega nije u obveznoj primjeni**

Tablica 1a Faktori primarne energije i emisija CO<sub>2</sub> za različite energente

Faktor primarne energije, $f_p$ [-]		Specifične emisije CO <sub>2</sub> [g/kWh]		$RER_d$ [-]
Energet – isporučeno iz velike udaljenosti	Neobnovljiva komponenta* $f_{p,ren}$	Obnovljiva komponenta $f_{p,ren}$	Ukupno $f_{p,tot}$	
Fosilno gorivo - kruto	1,1	0	1,1	360
Fosilno gorivo - tekuće	1,181	0,015	1,197	308
Fosilno gorivo – plinovito	1,149	0,003	1,151	233
Ogrjevno drvo**	1	0	1	40
Drveni briketi**	1	0	1	40
Drveni peleti	0,2	1	1,2	40
Drvena sječka	0,2	1	1,2	40
Biogorivo - tekuće	0,5	1	1,5	70
Biogorivo - plinovito	0,4	1	1,4	100
Električna energija – preuzeto iz mreže	1,583	0,618	2,201	280
<b>Proizvedeno na lokaciji</b>				
Sunčeva energija – električna energija	0	1	1	0
Sunčeva energija – toplinska energija	0	1	1	0
Energija vjetra – električna energija	0	1	1	0
Geotermalna energija	0	1	1	0
<b>Isporučeno u mrežu</b>				
Električna energija	2,5	0	2,5	480

\* koristi se za određivanje primarne energije

\*\*za piroličke kotlove na ogrjevno drvo i briketi koristiti vrijednosti kao za drvene pelete i sječku

Napomena: Kada se za proizvodnju električne energije na lokaciji zgrade koristi neko gorivo iz Tablice 1a, onda se primarna energija računa prema isporučenoj energiji tim gorivom generatoru električne energije i odgovarajućem faktoru primarne energije za to gorivo (ne prema isporučenoj električnoj energiji zgradi). Analogno vrijedi i za emisiju CO<sub>2</sub>.

Faktori primarne energije i emisije CO<sub>2</sub>

Str. 2/3

Tablica 1b Faktori primarne energije i emisija CO<sub>2</sub> za postojeće centralne (CTS) i zatvorene (ZTS) toplinske sustave, s i bez kogeneracije u RH, uz izračun udjela obnovljivih izvora energije u ukupnoj isporučenoj energiji RER<sub>d</sub>

CTS i ZTS	Neobnovljiva komponenta $f_{p,ren}$	Obnovljiva komponenta $f_{p,ren}$	Ukupno $f_{p,tot}$	Specifične emisije CO <sub>2</sub> [kg/MWh]	$RER_d$ [-]
Zagreb – toplina i industrijska para (kogeneracija)***	0,92	0,01	0,93	215	0%
Zagreb – toplina (kogeneracija)**	0,89	0,01	0,90	212	0%
Zagreb – industrijska para (kogeneracija)	1,01	0,01	1,02	225	0%
Osijek – toplina i industrijska para (kogeneracija)***	1,15	0,43	1,58	249	21%
Osijek – toplina (kogeneracija)**	1,07	0,43	1,50	236	22%
Osijek – industrijska para (kogeneracija)	1,35	0,43	1,78	283	19%
Sisak – toplina (kogeneracija)	0	2,89	2,89	0	100%
Sisak – industrijska para (kogeneracija)*	1,07	0,00	1,08	235	0%
Rijeka***	1,53	0,01	1,53	328	0%
Rijeka (bez kogeneracije)	1,60	0,01	1,60	344	0%
Rijeka (Kantrida kogeneracija)**	0,90	0,00	0,90	190	0%
Karlovac	1,57	0,00	1,58	321	0%
Vukovar	1,33	0,06	1,38	269	4%
Slavonski Brod	1,40	0,00	1,40	283	0%
Vinkovci	1,54	0,01	1,55	344	0%
Prosjek HR – CTS/ZTS baziran na kogeneraciji	0,94	0,12	1,05	216	4%
Prosjek HR – CTS/ZTS baziran na plinskom kotlu	1,49	0,01	1,50	311	1%

\* izračunato koristeći referentnu vrijednost za kogeneraciju na prirodnim plinima i stvarnu potrošnju kotla na prirodnim plinima za proizvodnju industrijske pare

\*\* ispunjavači usjet od udjelu kogeneracije iz TPRUE/TZZ, čl.42, temeljem trogodišnjeg prosjeka, osim CTS-a Zagreba koji zadovoljava usjet temeljem prosjeka zadnje dvije godine

\*\*\* Ukupno (toplina i industrijska para)

# „TO DO“

## 4. Implementacija novog proračuna udjela obnovljivih izvora energije u ukupnoj isporučenog energiji.

*Faktori primarne energije i emisije CO<sub>2</sub>*

Str. 3/3

**Tablica 2** Zajedničke vrijednosti faktora primarne energije i emisije CO<sub>2</sub> za centralne (CTS) i zatvorene (ZTS) toplinske sustave koji nisu navedeni u Tablici 1b (opisja 3. u opisu ispod)

CTS i ZTS	Faktor primarne energije [-]			Specifične emisije CO <sub>2</sub> [kg/MWh]	RER <sub>d</sub> [-]
	Neobnovljiva komponenta f <sub>p,uren</sub>	Obnovljiva komponenta f <sub>p,ren</sub>	Ukupno f <sub>p,tot</sub>		
Baziran na kogeneraciji na prirodn plin*	0,77	0,01	0,77	192	0%
Baziran na kogeneraciji na biomasu (drvena sječka, peleti)*	0,2	2,06	2,26	55	100%
Kotao na fosilna goriva (plinovito, tekuće, kruto)	1,42	0	1,43	289	0%
Kotao na biomasu (drvena sječka, peleti)	0,28	1,38	1,66	55	100%
Sunčeva energija (sunčevi toplinski kolektori)	0	1,18	1,18	0	100%
Geotermalna energija (izmjenjivač topline)	0	1,18	1,18	0	100%
Baziran na dizalici topline*	0,62	1,03	1,65	110	66%
Električni kotao	1,96	0,77	2,73	347	0%
Otpadna toplina (industrijski procesi)	0	0	0	0	0%

\*CTS ili ZTS se odnosi na učinkovite centralizirane sustave prema čl.42. TPRUETZZ ili je izračunati udio OIE (RER<sub>d</sub>) u ukupnoj godišnjoj isporučenoj energiji za rad tehničkih sustava zgrade najmanje 30% (TPRUETZZ čl.42).

# „TO DO“

## 4. Implementacija novog proračuna udjela obnovljivih izvora energije u ukupnoj isporučenog energiji.

Faktori primarne energije i emisije CO<sub>2</sub>

Str. 39

### 4. PRIJEDLOG POSTUPKA IZRAČUNA UDJELA OBNOVLJIVIH IZVORA ENERGIJE (UOIE) U UKUPNOJ PRIMARNOJ I ISPORUČENOJ ENERGIJI ZGRADE

#### 4.1 Udio obnovljivih izvora energije (UOIE) u ukupnoj primarnoj energiji zgrade

Ukupna primarna energija zgrade  $E_{\text{prim,tot}}$ , izračunata preko ukupne komponente faktora primarne energije, se temeljem HRN EN ISO 52000-1:2017 može izraziti kao

$$E_{\text{prim,tot}} = E_{\text{prim,tot,del}} - E_{\text{prim,tot,exp}} \quad (4.1)$$

gdje je

$E_{\text{prim,tot,del}}$  - isporučena ukupna primarna energija zgradi unutar i preko definiranih granica sustava, kWh

$E_{\text{prim,tot,exp}}$  - ukupna primarna energija zgrade proizvedena unutar granica i izvezena preko definiranih granica sustava, kWh

Predložene granice sustava prema HRN EN ISO 52000-1:2017 (Tabl. B.24) za izračun ukupne primarne energije su: 'na lokaciji', 'u blizini' i 'daleko' od zgrade.

Na isti način, obnovljiva primarna energija zgrade  $E_{\text{ren}}$ , izračunata temeljem obnovljive komponente faktora primarne energije, se temeljem HRN EN ISO 52000-1:2017 može izraziti kao

$$E_{\text{ren}} = E_{\text{ren,del}} - E_{\text{ren,exp}} \quad (4.2)$$

gdje je

$E_{\text{ren,del}}$  - isporučena obnovljiva primarna energija zgradi unutar i preko definiranih granica sustava, kWh

$E_{\text{ren,exp}}$  - obnovljiva primarna energija zgrade proizvedena unutar granica i izvezena preko definiranih granica sustava, kWh

Predložene granice sustava prema HRN EN ISO 52000-1:2017 (Tabl. B.24) za izračun obnovljive primarne energije su: 'na lokaciji' i 'u blizini' zgrade.

Udio obnovljivih izvora energije u ukupnoj primarnoj energiji zgrade je u HRN EN ISO 52000-1:2017 definiran kao

$$RER_p = \frac{E_{\text{ren}}}{E_{\text{prim,tot}}} \quad (4.3)$$

Opći izraz za izračun primarne ( $E_{\text{prim}}$ ) iz isporučene energije ( $E_{\text{del}}$ ) koristeći faktor primarne energije za pojedini nositelj energije  $f_{p,i}$  je

Faktori primarne energije i emisije CO<sub>2</sub>

Str. 40

$$E_{\text{prim}} = \sum_i E_{\text{del},i} \times f_{p,i} \quad (4.4)$$

Kombinirajući Jedn. 4.1-4.4 može se izvesti slijedeći opći izraz za udio obnovljivih izvora energije u ukupnoj primarnoj energiji zgrade

$$RER_p = \frac{\sum_i E_{\text{ren,del},i} \times f_{p,ren,i} + \sum_i E_{\text{del},i} \times f_{p,ren,i} - \sum_i E_{\text{exp},i} \times f_{p,ren,i}}{\sum_i E_{\text{ren,del},i} \times f_{p,tot,i} + \sum_i E_{\text{del},i} \times f_{p,tot,i} - \sum_i E_{\text{exp},i} \times f_{p,tot,i}} \quad (4.5)$$

gdje

$E_{\text{ren,del},i} \times f_{p,ren,i}$  – predstavlja obnovljivu energiju (obnovljivu komponentu) proizvedenu unutar granica sustava (npr. energija iz PV-a, solarnih toplovodnih kolektora, dizalice topline), kWh

$E_{\text{del},i} \times f_{p,ren,i}$  – predstavlja isporučenu obnovljivu komponentu energije zgradi kroz granice sustava (npr. iz CTS-a/ZTS-a koji koristi obnovljive izvore energije, biogorivom), kWh

$E_{\text{exp},i} \times f_{p,ren,i}$  – predstavlja izvezenu obnovljivu komponentu energije kroz granice sustava, kWh

$E_{\text{ren,del},i} \times f_{p,tot,i}$  – predstavlja obnovljivu energiju (ukupnu komponentu) proizvedenu unutar granica sustava (npr. el. energija iz PV-a), kWh

$E_{\text{del},i} \times f_{p,tot,i}$  – predstavlja isporučenu ukupnu primarnu energiju zgradi kroz granice sustava, kWh

$E_{\text{exp},i} \times f_{p,tot,i}$  – predstavlja izvezenu ukupnu primarnu energiju kroz granice sustava, kWh

$f_{p,ren}$  – obnovljiva komponenta faktora primarne energije, -

$f_{p,tot}$  – ukupna komponenta faktora primarne energije, -

U Pog. 5 za proračun  $RER_p$  korištena je Jedn. 4.5 uz napomene u nastavku. Izračunate vrijednosti su usporedene s onima dobivenim prema Metodologiji energetskog pregleda zgrada (2021) (23), koja se temelji na udjelu obnovljive energije u isporučenoj energiji zgrade ( $RER_d$ ).

*Napomena 1:*  $E_{\text{exp},i} \times f_{p,ren,i} = 0$  zbog  $f_{p,ren,i} = 0$  za isporučenu el. energiju u mrežu (jer ista predstavlja ekvivalent el. energiji koja bi inače trebala biti proizvedena fosilnim gorivima).

*Napomena 2:*  $E_{\text{del},i} \times f_{p,ren,i} = 0$  za električnu energiju iz mreže proizvedenu 'daleko' od zgrade, jer su predložene granice sustava za proračun obnovljive energije prema HRN EN ISO 52000-1:2017 (Tabl. B.24) 'na lokaciji' i 'u blizini' zgrade, pa je tako, primjerice, za CTS/ZTS smješten 'u blizini' zgrade koji koristi obnovljive izvore energije ili kotao na biomasu  $E_{\text{del},i} \times f_{p,ren,i} > 0$ .

## **„TO DO“**

- 5. Implementacija promjena/korekcija prema Algoritmu za sustave kogeneracije, daljinskog grijanja i fotonaponskih sustava.**
- 6. Korekcija proračuna solarnog toplovodnog sustava kako bi se omogućio proračun zasebno za sustav PTV-a, GR i kombinirano.**

itd.

Aktualni Tehnički propis i pristup proračunu  
toplinskih mostova (točkastih i linijskih).

# Aktualni Tehnički propis i pristup proračunu toplinskih mostova (točkastih i linijskih)

Tehnički propis o racionalnoj uporabi energije i toplinskoj zaštiti u zgradama  
(„Narodne novine“ broj 128/15, 70/18, 73/18, 86/18, 102/20)

**čl.4, st. 44. Toplinski most je manje područje u ovojnici grijanog dijela zgrade kroz koje je toplinski tok povećan radi promjene proizvoda, debljine ili geometrije građevnog dijela.**

**HRN EN ISO 10211:** “toplinski most je područje u vanjskoj ovojnici zgrade gdje je jednolik toplinski otpor promijenjen potpunim ili djelomičnim prodorom materijala drugačije toplinske provodljivosti, i/ili promjenom debljine, i/ili razlikom unutarnje i vanjske površine”

Djelovanje toplinskog mosta očituje se u uvjetima razlike između unutarnje i vanjske temperature, tj. zimi, a njegovo se mjesto u građevini često prepoznaje po štetama nastalim zbog orošavanja unutarnje plohe toplinskog mosta. Na tim se mjestima pojavljuje plošna kondenzacija vodene pare, taloži se prašina, te stvaraju pljesni i gljivice, što s higijenskog stajališta znači opasnost za zdravlje. U blažem obliku to su mjesta povećanih gubitaka topline koji mogu biti vrlo važni za smanjenje toplinskoizolacijskih vrijednosti obodne pregrade, te za ugodnost boravka u prostoriji.

Osim povećanoga gubitka topline zbog veće gustoće toplinskog toka smanjuje se i unutarnja plošna temperatura (niža temperatura) u odnosu prema susjednome, neprekinutom dijelu konstrukcije.

Toplinskim mostom ne nazivamo samo spojeve različitih konstrukcija već i prodore materijala veće provodljivosti topline (npr. ab serklaži) u nekome materijalu iznimno visoke toplinsko-izolacijske kvalitete, zbog čega vrijednost koeficijenta prolaska kroz toplinski most postaje viša (nepovoljnija).

Toplinskim se mostovima trebaju nazivati i oni konstrukcijski spojevi koji, mijenjajući oblik ali ne i sastav, rezultiraju povišenom toplinskom propusnošću unutar konstrukcije promijenjenoga geometrijskog oblika.

Također je potrebno poznavati izvedbeno-ugradbene odnose pojedinih elemenata zgrade koji zbog tehničke izvedbe ili nemara pri izvedbi mogu stvoriti toplinski most.

# Aktualni Tehnički propis i pristup proračunu toplinskih mostova (točkastih i linijskih)

Tehnički propis o racionalnoj uporabi energije i toplinskoj zaštiti u zgradama  
("Narodne novine" broj 128/15, 70/18, 73/18, 86/18, 102/20)

Članak 68.

(1) **Izvedbeni projekt zgrade** u projektima arhitektonске ili građevinske struke sadrži grafičke prikaze karakterističnih detalja i opise pojedinih dijelova zgrade koji imaju utjecaja na ispunjavanje propisanih uvjeta u pogledu racionalne uporabe energije i toplinske zaštite zgrade:

- za područje potencijalnih toplinskih mostova,
- za sprječavanje pojave unutrašnje ili vanjske površinske kondenzacije na toplinskim mostovima,
- za osiguravanje minimalne zrakopropusnosti spojnica između građevnih dijelova zgrade i na mjestima prodora instalacijskih kanala i vodova.

# Aktualni Tehnički propis i pristup proračunu toplinskih mostova (točkastih i linijskih)

Tehnički propis o racionalnoj uporabi energije i toplinskoj zaštiti u zgradama  
(„Narodne novine“ broj 128/15, 70/18, 73/18, 86/18, 102/20)

## Toplinski mostovi

### Članak 33.

(1) Zgrada koja se grie na temperaturu višu od 12 °C i hlađi na temperaturu nižu od 4 °C mora biti projektirana i izgrađena na način da utjecaj toplinskih mostova na godišnju potrebnu toplinu za grijanje i hlađenje bude što manji te da ne dolazi do pojave građevinskih šteta u vidu unutarnje ili vanjske površinske kondenzacije u projektnim uvjetima korištenja prostora zgrade. Da bi se ispunio taj zahtjev, prilikom projektiranja treba primijeniti sve ekonomski prihvatljive mogućnosti u skladu s dostignutim stupnjem razvoja tehnike.

(2) Utjecaj toplinskih mostova kod proračuna godišnje potrebne toplinske energije za grijanje i koeficijent transmisijskog toplinskog gubitka po jedinici oplošja grijanog dijela zgrade proračunavaju se prema **HRN EN ISO 13789:2008**, **HRN EN ISO 14683:2008**, **HRN EN ISO 10211:2008** i **HRN EN ISO 13370:2008**.

(3) Ako je potencijalni toplinski most projektiran u skladu s **katalogom dobrih rješenja toplinskih mostova iz Priloga D** ovoga propisa, tada se može umjesto proračuna iz stavka 2. ovoga članka utjecaj toplinskih mostova uzeti u obzir povećanjem koeficijenta prolaska topline,  $U$  [ $W/(m^2 \cdot K)$ ], svakog građevnog dijela oplošja grijanog dijela zgrade **za  $\Delta U_{TM} = 0,05 W/(m^2 \cdot K)$** , osim kod otvora i drugih prozirnih konstrukcija.

# Aktualni Tehnički propis i pristup proračunu toplinskih mostova (točkastih i linijskih)

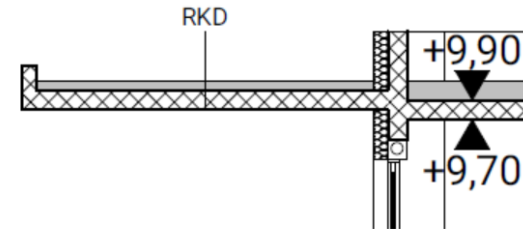
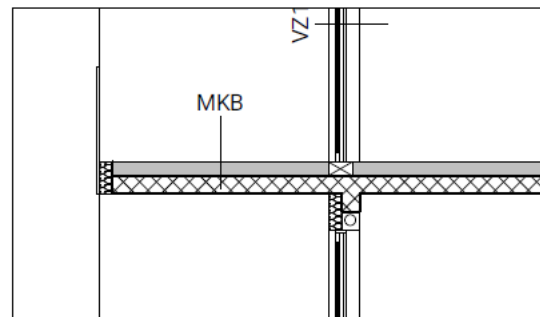
Tehnički propis o racionalnoj uporabi energije i toplinskoj zaštiti u zgradama  
(„Narodne novine“ broj 128/15, 70/18, 73/18, 86/18, 102/20)

## Toplinski mostovi

### Članak 33.

(4) Kod projektiranja novih zgrada, utjecaj toplinskog mosta proračunava se prema **stavku 2. ovoga članka ako rješenje toplinskog mosta nije prikazano u katalogu iz stavka 3. ovoga članka.**

(5) Iznimno, odredbe stavka 2. ovoga članka ne primjenjuju se na građevne dijelove kod kojih je utjecaj toplinskih mostova već bio uzet u obzir u proračunu koeficijenta prolaska topline,  $U [W/(m^2 \cdot K)]$ .



# Aktualni Tehnički propis i pristup proračunu toplinskih mostova (točkastih i linijskih)

## 4.2 Toplinski mostovi – pojednostavljena metoda – korekcija koeficijenta prolaska toplinske gradevne dijelove vanjske ovojnici zgrade

*(Tekst preuzet iz Metodologije energetskog pregleda zgrada 2021, radi nedvosmislenosti  
tumačenja)*

Toplinski mostovi se računaju u ovisnosti o tome radi li se o novoj zgradi, ili pak o postojećoj  
ili rekonstruiranoj.

- Toplinski mostovi kod **NOVIH ZGRADA**

Paušalni dodatak u iznosu od **0,05 W/(m<sup>2</sup>K)** se koristi kod novih i rekonstruiranih zgrada  
ukoliko su toplinski mostovi izrađeni u skladu s prijedlozima iz *Tehničkog propisa o  
racionalnoj uporabi energije i toplinskoj zaštiti u zgradama, prilog D*, te za to postoji  
dokumentacija kojom se prikazuju rješenja. U slučaju da rješenja toplinskih mostova nisu  
izrađena prema „prilogu D“, potrebno je provesti **izračun točkastih toplinskih mostova i**  
**barem jednostavni izračun toplinskih mostova (svi linijski toplinski mostovi), te priložiti  
dokaze o izračunu.**

- Toplinski mostovi kod **POSTOJEĆIH i REKONSTRUIRANIH** zgrada

Zbog jednostavnosti izračuna, **paušalni dodatak za toplinske mostove u iznosu od 0,10  
W/(m<sup>2</sup>K)** se dopušta koristiti za izračun energetskog svojstva **postojećih i rekonstruiranih  
zgrada** osim u zgradama energetskog razreda A i A+ gdje je potrebno provesti izračun  
točkastih mostova i barem jednostavni izračun toplinskih mostova (svi linijski toplinski  
mostovi) uz prilaganje dokaza o izračunu.

Paušalni dodatak u iznosu od **0,05 W/(m<sup>2</sup>K)** se dopušta koristiti isključivo ukoliko su  
toplinski mostovi izrađeni u skladu s prijedlozima iz *Tehničkog propisa o racionalnoj uporabi  
energije i toplinskoj zaštiti u zgradama, prilog D*, te za to postoji dokumentacija kojom se  
prikazuju rješenja.

Dopušta se izuzimanje paušalnih dodataka u slučaju provođenja **izračun točkastih toplinskih  
mostova i barem jednostavnog izračuna toplinskih mostova (svi linijski toplinski  
mostovi)** ili **detaljnijih metoda uz prilaganje dokaza o izračunu.**

# Aktualni Tehnički propis i pristup proračunu toplinskih mostova (točkastih i linijskih)

Tehnički propis o racionalnoj uporabi energije i toplinskoj zaštiti u zgradama  
(„Narodne novine“ broj 128/15, 70/18, 73/18, 86/18, 102/20)

## A.1 NORME ZA PRORAČUN NA KOJE UPUĆUJE OVAJ PROPIS

HRN EN ISO 10211:2008

Toplinski mostovi u zgradarstvu -- Toplinski tokovi i površinske temperature -- Detaljni proračuni (ISO 10211:2007; EN ISO 10211:2007)

HRN EN ISO 13370:2008

Toplinske značajke zgrada -- Prijenos topline preko tla – Metode proračuna (ISO 13370:2007; EN ISO 13370:2007)

HRN EN ISO 13789:2008

Toplinske značajke zgrada -- Koeficijenti prijelaza topline transmisijom i ventilacijom -- Metoda proračuna (ISO 13789:2007; EN ISO 13789:2007)

HRN EN ISO 14683:2008

Toplinski mostovi u zgradarstvu -- Linearni koeficijent prolaska topline -- Pojednostavnjene metode i zadane utvrđene vrijednosti (ISO 14683:2007; EN ISO 14683:2007)

# Aktualni Tehnički propis i pristup proračunu toplinskih mostova (točkastih i linijskih)

Tehnički propis o racionalnoj uporabi energije i toplinskoj zaštiti u zgradama  
„Narodne novine“ broj **128/15**, 70/18, 73/18, 86/18, **102/20**

## *Toplinski mostovi*

### Članak 33.

(1) Zgrada koja se grije na temperaturu višu od  $12^{\circ}\text{C}$  i hlađi na temperaturu nižu od  $4^{\circ}\text{C}$  mora biti projektirana i izgrađena na način da utjecaj toplinskih mostova na godišnju potrebnu toplinu za grijanje i hlađenje bude što manji te da ne dolazi do pojave građevinskih šteta u vidu unutarnje ili vanjske površinske kondenzacije u projektним uvjetima korištenja prostora zgrade. Da bi se ispunio taj zahtjev, prilikom projektiranja treba primijeniti sve ekonomski prihvatljive mogućnosti u skladu s dostignutim stupnjem razvoja tehnike.

(2) Utjecaj toplinskih mostova kod proračuna godišnje potrebe toplinske energije za grijanje i koeficijent transmisijskog toplinskog gubitka po jedinici oplošja grijanog dijela zgrade proračunavaju se prema HRN EN ISO 13789:2008, HRN EN ISO 14683:2008, HRN EN ISO 10211:2008 i HRN EN ISO 13370:2008.

(3) Ako je potencijalni toplinski most projektiran u skladu s katalogom dobrih rješenja toplinskih mostova iz Priloga D ovoga propisa, tada se može umjesto proračuna iz stavka 2. ovoga članka utjecaj toplinskih mostova uzeti u obzir povećanjem koeficijenta prolaska topline,  $U \text{ [W/(m}^2\text{-K)]}$ , svakog građevnog dijela oplošja grijanog dijela zgrade za  $\Delta U_{TM} = 0,05 \text{ W/(m}^2\text{-K)}$ , osim kod otvora i drugih prozirnih konstrukcija.

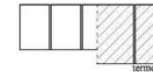
(4) Kod projektiranja novih zgrada, ako rješenje toplinskog mosta nije prikazano u katalogu iz stavka 3. ovoga članka tada se umjesto proračuna, utjecaj toplinskih mostova može uzeti u obzir s povećanjem koeficijenta prolaska topline,  $U \text{ [W/(m}^2\text{-K)]}$ , svakog građevnog dijela oplošja grijanog dijela zgrade za  $\Delta U_{TM} = 0,10 \text{ W/(m}^2\text{-K)}$ .

U članku 33. stavak 4. mijenja se i glasi:

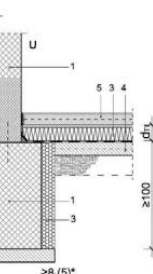
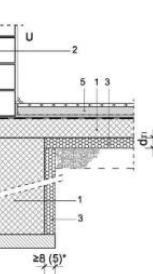
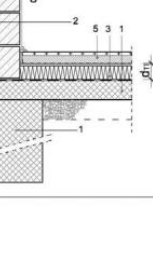
»(4) Kod projektiranja novih zgrada, utjecaj toplinskog mosta proračunava se prema stavku 2. ovoga članka ako rješenje toplinskog mosta nije prikazano u katalogu iz stavka 3. ovoga članka.«.

# Aktualni Tehnički propis i pristup proračunu toplinskih mostova (točkastih i linijskih)

KATALOG DOBRO RIJEŠENIH TOPLINSKIH MOSTOVA NA ZGRADAMA  
u skladu sa zahtjevima iz članka 33. stavak 3. Tehničkog propisa o racionalnoj uporabi energije i toplinskoj zaštiti u zgradama  
*Tablica 1. Grafički prikaz materijala na prikazima detalja u Tablici 2. PRILOGA D.*

Redni broj	Materijal	Grafički prikaz materijala na prikazima detalja u Tablici 2. PRILOGA D	Projektne vrijednosti toplinske provodljivosti, $\lambda$ [W/(m·K)], iz Tablice 5. PRILOG B ovog Tehničkog propisa
1	Armirani beton		1,35 - 2,60
2	Puna i šupljia opeka i blokovi od opeke / termoblokovi od laganoog betona ili opeke		puna i šupljia opeka ili blokovi 1,35 - 2,60 termoblokovi 0,16 - 0,22
3	Toplinska izolacija		0,023 - 0,070
4	Nearmirani ili minimalno armirani beton		1,35 - 2,60
5	Cementni namaz (estrih)		1,60 - 2,60
-	Hidroizolacija		—
-	PE folija/ parna brana		—
6	Drvo		0,13 - 0,18
7	Ploče od prerađenog drva ili daske		0,09 - 0,24
-	Zemlja		—
-	Šljunak		—

Tablica 2. Grafički prikazi detalja

Redni broj	Naziv detalja	Grafički prikaz detalja s dobro riješenim toplinskim mostovima	Napomene
1.	Spoj temeljne trake i masivnog zida - toplinska izolacija poda s unutarnje (gornje) strane		d <sub>1</sub> - debљina toplinske izolacije u skladu sa zadovoljenjem zahtjeva iz Tablice 1. PRILOG B iz ovog Tehničkog propisa V - vani ili negrijano U - unutra (zimi grijano)
2.	Spoj temeljne trake i masivnog zida - toplinska izolacija poda s vanjske (donje) strane		* - dimenzije deblijina slojeva toplinske izolacije navedene bez zagradni odnose se na zahtjeve iz Tablice 1. PRILOG B ovog Tehničkog propisa za odgovarajuću vrstu građevinskog dijela zgrade, za zgrade s: $\Theta \geq 18^{\circ}\text{C}$ i $\Theta_{\text{obj},\min} \leq 3^{\circ}\text{C}$ , - dimenzije deblijina slojeva toplinske izolacije navedene u zagradama odnose se na zahtjeve iz Tablice 1. PRILOG B ovog Tehničkog propisa za odgovarajuću vrstu građevinskog dijela zgrade, za zgrade s: $\Theta \geq 18^{\circ}\text{C}$ i $\Theta_{\text{obj},\min} > 3^{\circ}\text{C}$ - dimenzije deblijina slojeva toplinske izolacije odnose se na minimalne deblijine materijala za toplinsku izolaciju toplinske provodljivosti: $\lambda \leq 0,04 \text{ W/(m·K)}$ ili ekvivalentne deblijine materijala za toplinsku izolaciju s povoljnijim (nizkim) $\lambda$ vrijednostima
3.	Spoj temeljne trake i masivnog zida od termoblokova - toplinska izolacija poda s unutarnje (gornje) strane		- sve označene dimenzije izražene su u centimetrima (cm)

# Aktualni Tehnički propis i pristup proračunu toplinskih mostova (točkastih i linijskih)

HNZ • KNAUF INSULATION d.o.o.  
Račun br.: 570010 • 2009-05-19  
Zabranjeno umnožavanje u bilo kojem obliku i na bilo koji način bez pisane dozvole HZN-a.

## HRVATSKA NORMA HRN EN ISO 14683

ICS: 91.120.10  
Dugo izdanie,  
prosinac 2008.

Zamjenjuje HRN EN ISO 14683:2000,  
HRN EN ISO 14683:2000/AC:2004

### Toplinski mostovi u zgradarstvu – Linearni koeficijent prolaska topline – Pojednostavnjene metode i zadane utvrđene vrijednosti (ISO 14683:2007; EN ISO 14683:2007)

Thermal bridges in building construction – Linear thermal transmittance – Simplified methods  
and default values (ISO 14683:2007; EN ISO 14683:2007)

Na temelju članka 9. Zakona o normizaciji (Narodne novine br. 163/2003) Hrvatski zavod za norme na prijedlog tehničkog odbora HZN/TO 163/PO 2, *Toplinska izolacija; Toplinski proračun* i provedene rasprave prihvatio je europsku normu EN ISO 14683:2007 u izvorniku na engleskom jeziku kao hrvatsku normu.  
Obavijest o prihvatanju objavljena je u HZN Glasilu 6/2008 od 2008-12-31.

#### Europska norma EN ISO 14683:2007 ima status hrvatske norme

Hrvatska norma HRN EN ISO 14683:2008 istovjetna je europskoj normi EN ISO 14683:2007 i umnožena je uz dopuštenje CEN-a, rue de Stassart 36, B-1050 Brussels. Sva prava uporabe europske norme u bilo kojem obliku i na bilo koje načine u cijelome svijetu pridržava CEN te njegovi nacionalni članovi i nije ju dopušteno umnožavati bez izričitog pisanih dopuštenja Hrvatskog zavoda za norme koji predstavlja CEN.

Referencijski broj: HRN EN ISO 14683:2008 en



Hrvatski zavod za norme  
Croatian Standards Institute

Zabranjeno je umnožavanje hrvatskih norma ili njihovih dijelova

## 4 Influence of thermal bridges on overall heat transfer

### 4.1 Transmission heat transfer coefficient

Between internal and external environments with temperatures  $\theta_i$  and  $\theta_e$ , respectively, the transmission heat flow rate through the building envelope,  $\Phi$ , is calculated using Equation (1):

$$\Phi = H_T (\theta_i - \theta_e) \quad (1)$$

The transmission heat transfer coefficient,  $H_T$ , is calculated using Equation (2):

$$H_T = H_D + H_g + H_U \quad (2)$$

where

$H_D$  is the direct heat transfer coefficient through the building envelope defined by Equation (3);

$H_g$  is the ground heat transfer coefficient calculated in accordance with ISO 13370;

$H_U$  is the heat transfer coefficient through unconditioned spaces calculated in accordance with ISO 13789.

### 4.2 Linear thermal transmittance

The calculation of the transmission heat transfer coefficient includes the contribution due to thermal bridges, according to Equation (3):

$$H_D = \sum_i A_i U_i + \sum_k l_k \psi_k + \sum_j \chi_j \quad (3)$$

where

$A_i$  is the area of element  $i$  of the building envelope, in  $m^2$ ;

$U_i$  is the thermal transmittance of element  $i$  of the building envelope, in  $W/(m^2 \cdot K)$ ;

$l_k$  is the length of linear thermal bridge  $k$ , in  $m$ ;

$\psi_k$  is the linear thermal transmittance of linear thermal bridge  $k$ , in  $W/(m \cdot K)$ ;

$\chi_j$  is the point thermal transmittance of the point thermal bridge  $j$ , in  $W/K$ .

In general, the influence of point thermal bridges (insofar as they result from the intersection of linear thermal bridges) can be neglected and so the correction term involving point thermal bridges can be omitted from Equation (3). If, however, there are significant point thermal bridges, then the point thermal transmittances should be calculated in accordance with ISO 10211.

Linear thermal bridges are generally liable to occur at the following locations in a building envelope:

- at junctions between external elements (corners of walls, wall to roof, wall to floor);
- at junctions of internal walls with external walls and roofs;
- at junctions of intermediate floors with external walls;

# Aktualni Tehnički propis i pristup proračunu toplinskih mostova (točkastih i linijskih)

Table A.1 — Parameters used to calculate the data in Table A.2

For all details:		$R_{si} = 0,13 \text{ m}^2\cdot\text{K}/\text{W}$
		$R_{se} = 0,04 \text{ m}^2\cdot\text{K}/\text{W}$
For external walls:		$d = 300 \text{ mm}$
For internal walls:		$d = 200 \text{ mm}$
For walls with an insulation layer:	— thermal transmittance	$U = 0,343 \text{ W}/(\text{m}^2\cdot\text{K})$
	— thermal resistance of insulation layer	$R = 2,5 \text{ m}^2\cdot\text{K}/\text{W}$
For lightweight walls:		$U = 0,375 \text{ W}/(\text{m}^2\cdot\text{K})$
For ground floors:	— floor slab	$d = 200 \text{ mm}$
	— thermal conductivity of ground	$\lambda = 2,0 \text{ W}/(\text{m}\cdot\text{K})$
	— thermal resistance of insulation layer	$R = 2,5 \text{ m}^2\cdot\text{K}/\text{W}$
For intermediate floors:		$d = 200 \text{ mm}$
		$\lambda = 2,0 \text{ W}/(\text{m}\cdot\text{K})$
For roofs:	— thermal transmittance	$U = 0,365 \text{ W}/(\text{m}^2\cdot\text{K})$
	— thermal resistance of insulation layer	$R = 2,5 \text{ m}^2\cdot\text{K}/\text{W}$
For the frames in openings:		$d = 60 \text{ mm}$
For columns:		$d = 300 \text{ mm}$
		$\lambda = 2,0 \text{ W}/(\text{m}\cdot\text{K})$

These parameters have been chosen so as to obtain default values of  $\psi$  which are near to the maximum which is likely to occur in practice and are thus cautious overestimates of the thermal bridging effects, i.e. they will not underestimate the heat transfer through these thermal bridges.

Table A.2 — Default values of linear thermal transmittance

Dimensions in mm; linear thermal transmittance in  $\text{W}/(\text{m}\cdot\text{K})$

Wall	Lightweight wall (including lightweight masonry and timber frame walls)	Insulating layer	Slab/pillar	Window frame
------	--	------------------	-------------	--------------

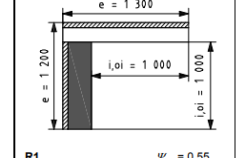
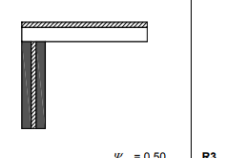
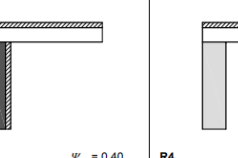
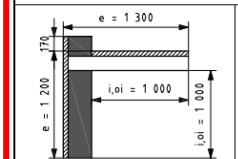
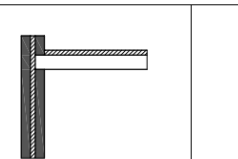
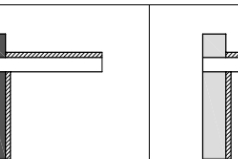
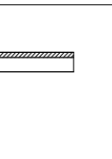
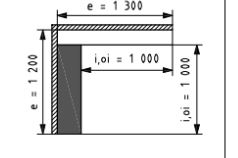
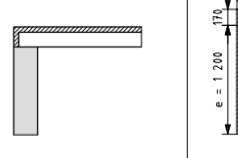
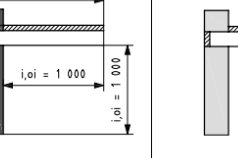
Roofs											
	R1	$y'_e = 0.55$ $y'_{oi} = 0.75$ $y'_i = 0.75$		R2	$y'_e = 0.50$ $y'_{oi} = 0.75$ $y'_i = 0.75$		R3	$y'_e = 0.40$ $y'_{oi} = 0.75$ $y'_i = 0.75$		R4	$y'_e = 0.40$ $y'_{oi} = 0.65$ $y'_i = 0.65$
	R5	$y'_e = 0.60$ $y'_{oi} = 0.80$ $y'_i = 0.80$		R6	$y'_e = 0.50$ $y'_{oi} = 0.70$ $y'_i = 0.70$		R7	$y'_e = 0.65$ $y'_{oi} = 0.85$ $y'_i = 0.85$		R8	$y'_e = 0.45$ $y'_{oi} = 0.70$ $y'_i = 0.70$

Table A.2 (continued)

Dimensions in mm; linear thermal transmittance in  $\text{W}/(\text{m}\cdot\text{K})$

Wall	Lightweight wall (including lightweight masonry and timber frame walls)	Insulating layer	Slab/pillar	Window frame
------	--	------------------	-------------	--------------

Roofs (continued)											
	R9	$y'_e = -0.05$ $y'_{oi} = 0.15$ $y'_i = 0.15$		R10	$y'_e = 0.00$ $y'_{oi} = 0.20$ $y'_i = 0.20$		R11	$y'_e = 0.05$ $y'_{oi} = 0.25$ $y'_i = 0.25$		R12	$y'_e = 0.15$ $y'_{oi} = 0.40$ $y'_i = 0.40$

# Nekad „davno”..JUS (HRN) U.J5.510

Strana 14 JUS U.J5.510

## 2.4.6.4 Sendvič građevinska konstrukcija beton-laki izolator

- a) Ako su prozori sa betonskim okvirom koji povezuje dva plinta, koeficijent  $k_L$  se računa prema t. 2.4.6.1, gde je  $R_m$  toplojni otpor okvira.
- b) Ako je stolarije u remni izolaciji i produktetu izolacije, koeficijent  $k_L$  je nula.
- c) Ako izolacija prekriva jedan deo zida, koeficijent  $k_L$  se računa po jednačini (21a);  $d$  je debilina unutrašnjeg platna.

## 2.4.6.5 Poseban slučaj kada je oplivka prozorski klape od lima (slika 15)

- a) Za slučaj prema slikama 15.1 i 15.2, koeficijent  $k_L$  okvira prozora je utvrđen u t. 2.4.6.1 i 2.4.6.4.
- b) Za slučaj prema slikama 15.3 i 15.4, koeficijent  $k_L$  se računa prema jednačini:

$$k_L = k_e + k_m \quad (\text{W/mK}) \quad (22)$$

gde je:

$k_e$  – koeficijent  $k_L$  veze bez metalne oplivke čiji je način proračuna dat u t. 2.4.6.1 i 2.4.6.4,  
 $k_m$  – izračunava se iz jednačine:

$$\frac{1}{k_m} = \frac{L}{d_1 \cdot \lambda_m} + \frac{1}{\alpha_s \cdot l_s} + \frac{1}{\alpha_i \cdot l_i} \quad (\text{mK/W}) \quad (23)$$

gde su:

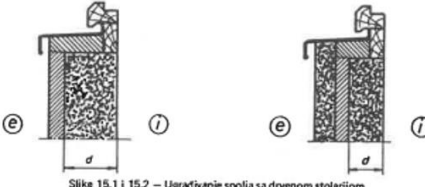
$l_s, l_i$  – određene dužine na slikama 15.3 i 15.4, izražene u m,

$$L = d_m + \frac{l_s + l_i}{4}$$

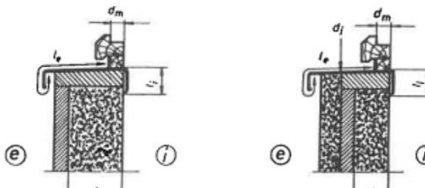
gde je:

$d_m$  – debilina stolarije, izražena u m;

$\alpha_s, \lambda_m$  – debilina i toplostna provodljivost metalne oplivke, izražene u m, odnosno u W/mK.



Slike 15.1 i 15.2 – Ugradivanje spolja sa drvenom stolarjom



Slike 15 – Oplivka prozorskih klupa od lima

## 2.4.7 Dva spojna zida pod ugлом

$k_L$  je koeficijent za građevinsku konstrukciju koja obrazuje ugao, bilo da se radi o oštrom ili tupom uglu. U proračun se uzme koeficijent prolaza toploće za svaku građevinsku konstrukciju.

### 2.4.7.1 Dve građevinske konstrukcije od homogenog materijala

- a) Ako su dve građevinske konstrukcije identične (slike 16.1 i 16.4), koeficijent  $k_L$  je:

$$k_L = 0,2 \cdot k \cdot d \quad (\text{W/mK}) \quad (24)$$

gde je  $k$  koeficijent prolaza toploće konstrukcije i  $d$  debilina zidova.

- b) Ako su dve građevinske konstrukcije različitih debilina a monolitne povezane (slučaj zida od opakel), koeficijent  $k_L$  je dat jednačinom (24), gde su  $k$  i  $d$  srednja vrednost koeficijenta prolaza toploće i debilina ovih građevinskih konstrukcija.

- c) Ako su dve građevinske konstrukcije različite, a jedna od njih čini ugao (slike 16.2, 16.5 i 16.6), koeficijent  $k_L$  je dat jednačinom:

$$k_L = \frac{0,2 \cdot d}{0,2 + R_2 \cdot d_1 / d_2} \quad (\text{W/mK}) \quad (25)$$

gde je:

$R_2$  – toplojni otpor građevinske konstrukcije koja čini ugao, označen sa 2 na slikama,

$d_1$  i  $d_2$  – debiline građevinske konstrukcije 1 i 2, a  $d$  aritmetička sredina ovih debilina.

- d) Ako se u ugлу nalazi betonski stub (slika 16.3), koeficijent  $k_L$  je dat jednačinom:

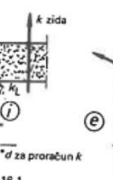
$$k_L = 0,46 \cdot d \quad (\text{W/mK}) \quad (26)$$

gde je:

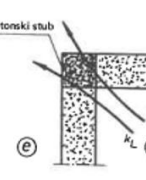
$d$  – srednja aritmetička debilina dva zida.



Slika 16.1

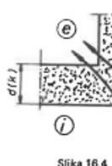


Slika 16.2



Slika 16.3

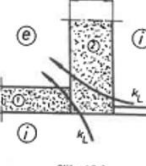
Otri uglovi dva zida od homogenih materijala



Slika 16.4



Slika 16.5



Slika 16.6

Tupi uglovi dva zida od homogenih materijala

Slika 16 – Uglovi dve građevinske konstrukcije od homogenih materijala

# Nekad „davno”..JUS (HRN) U.J5.510

Strana 16 JUS U.J5.510

2.4.7.2 Dva zida pod oštrim углом sa spoljnom izolacijom ili dva zida pod tupim углом sa unutrašnjom izolacijom.

Ako su dve zide identična (slike 17.1 i 17.3), koeficijent  $k_L$  je dat jednačinom:

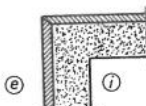
$$k_L = 0,6 k d \text{ (W/mK)} \quad (22)$$

Ako su dva zida različita (slike 17.2 i 17.4), koeficijent  $k_L$  je dat jednačinom:

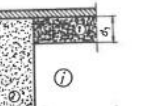
$$k_L = 0,6 k_2 d \text{ (W/mK)} \quad (28)$$

gde je:  
 $k_2$  – koeficijent  $k$  zida koji čini ugao označen sa 2 na slikama 17.2 i 17.4,  
 $d$  – aritmetička sredina debljina unutrašnjih delova bez izolacije ako se radi o oštrom uglu i spoljnih delova ako se radi o tupom uglu.

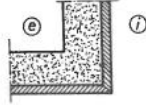
Ako su dva zida monolitno povezani, primjenjuje se jednačina (28), ali se  $k$  zamjenjuje srednjim koeficijentom prolaza topline  $k$  za obe građevinske konstrukcije.



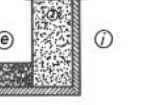
Slika 17.1  
Oštri uglovi dva zida sa izolacijom spolja



Slika 17.2  
Tupi uglovi dva zida sa unutrašnjom izolacijom



Slika 17.3  
Oštri uglovi dva zida sa izolacijom iznutra



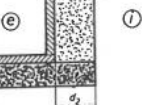
Slika 17.4  
Tupi uglovi dva zida sa izolacijom spolja

2.4.7.3 Dva zida pod oštrim углом sa unutrašnjom izolacijom ili zid pod tupim углом sa spoljnom izolacijom (slike 18.1 i 18.2).

Koeficijent  $k_L$  je nula.



Slika 18.1  
Oštri ugao dva zida sa izolacijom iznutra



Slika 18.2  
Tupi ugao dva zida sa izolacijom spolja

Slika 18 – Uglovi dve različite građevinske konstrukcije sa izolacijom

JUS U.J5.510 Strana 17

2.4.7.4 Građevinske konstrukcije pod oštrim углом sa spoljnom izolacijom i građevinske konstrukcije pod tupim углом sa unutrašnjom izolacijom, od kojih je jedna od homogenog materijala, obeležene su na sledeći način:

- građevinske konstrukcije sa izolacijom spolja ili iznutra sa 1,
- građevinske konstrukcije od homogenog materijala sa 2.

Tri slučaja se posmatraju, a koeficijent  $k_L$  je dat jednačinom:

a) ugao je sastavljen kako je prikazano na slikama 19.1 i 19.4;

$$k_L = \frac{0,3 d_1}{0,06 + R_1 + R_2} \text{ (W/mK)} \quad (29)$$

b) ugao je sastavljen kao na slikama 19.2 i 19.5

$$k_L = \frac{0,3 - d_1}{0,06 + R_1 + R_2} \text{ (W/mK)} \quad (30)$$

c) ugao je sastavljen kao na slikama 19.3 i 19.6

$$k_L = 0,6 k_1 d \text{ (W/mK)} \quad (31)$$

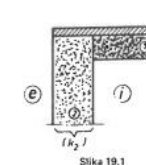
I kod monolitnog povezivanja građevinske konstrukcije 1 i 2 primjenjuje se jednačina (31).

d) ugao je sastavljen kao što pokazuju slike 20.1 i 20.3:

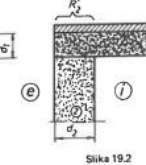
$$k_L = \frac{0,2 d}{R_1 + 0,2} \text{ (W/mK)} \quad (32)$$

e) ugao je sastavljen kao što pokazuju slike 20.1 i 20.4:

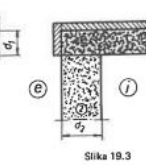
$$k_L = 0,2 k_2 d \text{ (W/mK)} \quad (33)$$



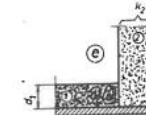
Slika 19.1  
Oštri uglovi, jedan zid je sa izolacijom spolja



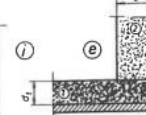
Slika 19.2  
Tupi uglovi, jedan zid je sa izolacijom spolja



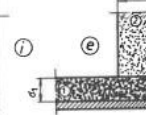
Slika 19.3  
Oštri uglovi, jedan zid je sa izolacijom iznutra



Slika 19.4  
Oštri ugao dva zida sa izolacijom iznutra



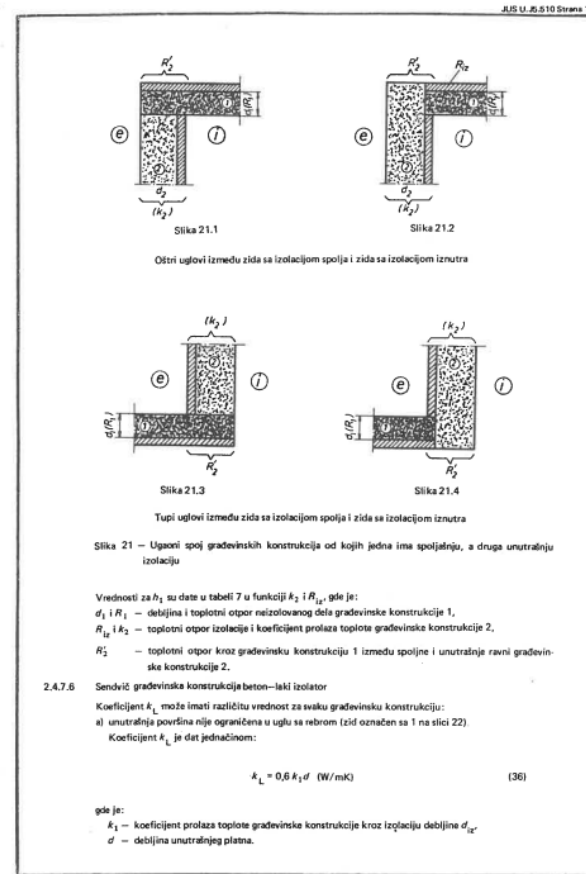
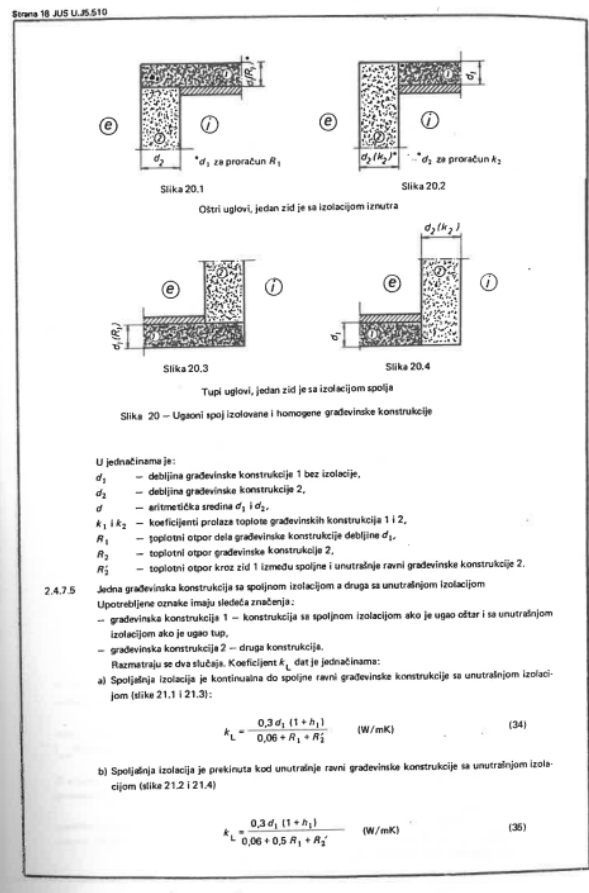
Slika 19.5  
Tupi ugao dva zida sa izolacijom spolja



Slika 19.6  
Oštri ugao dva zida sa izolacijom spolja

Slika 19 – Uglovi spoljne i homogene građevinske konstrukcije

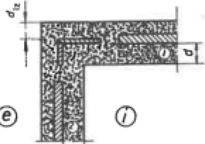
# Nekad „davno”..JUS (HRN) U.J5.510



# Nekad „davno”..JUS (HRN) U.J5.510

Strana 20 JUS U.J5.510

b) unutrašnja površina je ograničena u ugлу sa rebrom (gradevinska konstrukcija označena sa 2 na slici 22).



Slika 22 – Ugao između dve sendvič gradevinske konstrukcije beton – laki izolator

Koeficijent  $k_L$  je dat jednačinom:

$$k_L = 0,85[0,7 k_1 d + (k_2 - k_1) \cdot \frac{x}{2}] \quad (\text{W/mK}) \quad (37)$$

gde je:

$k_2$  – koeficijent prolaza toplosti kroz rebru;

$k_1$  i  $d$  – imaju isti značenje kao pod al,

$x$  – dat dijagramom na slici 10.

## 2.4.8 Veza između spoljne i unutrašnje gradevinske konstrukcije

Sledeći proračuni veže za pregradne gradevinske konstrukcije tavanice, bilo da čine ili ne čine ispuš napojile ili za slučaj kad postoji bekaj ili loda. Za pregrade tanje od 9 cm uzima se da je koeficijent  $k_L$  jednak nuli, osim ako ima prekida izolacije kao na slici 23.0, kada se pregrada posmatra kao pregradna gradevinska konstrukcija.

### 2.4.8.1 Optiči slučaj

Za optiči slučaj, osim za sendvič gradevinske konstrukcije beton–laki izolator (koje se računaju prema t. 2.4.8.5),  $k_L$  se računa iz jednačine:

$$k_L = 0,4 k_1 \cdot d_1 (1 + h_1) \quad (\text{W/mK}) \quad (38)$$

gde je:

$k_1$  – koeficijent prolaza fiktivne gradevinske konstrukcije smještene kroz unutrašnju gradevinsku konstrukciju i ograničene spoljnom i unutrašnjom ravnim spoljnim gradevinskim konstrukcijama (slike 23.2 i 23.4),

$d_1$  – debljina unutrašnje gradevinske konstrukcije, izražena u m,

$h_1$  – koeficijent čije su vrednosti date u t. 2.4.8.2, 2.4.8.3 i 2.4.8.4 u funkciji tipa i karakteristike spoljne gradevinske konstrukcije.

Koeficijent  $k_1$  izračunava se jednačinom:

$$\frac{1}{k_1} = R + R_s \quad (\text{m}^2 \cdot \text{K/W}) \quad (39)$$

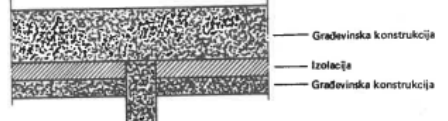
gde je:

$R$  – topotni otpor fiktivne gradevinske konstrukcije, izražen u  $\text{m}^2 \text{K/W}$ .

Napomena:  $R$  je nezavisno od eventualnog ispušta unutrašnje gradevinske konstrukcije kroz spoljni gradevinski konstrukciju.

$R_s$  – dodatni topotni otpor, izražen u  $\text{m}^2 \text{K/W}$ , čije su vrednosti date u t. 2.4.8.2, 2.4.8.3 i 2.4.8.4.

JUS U.J5.510 Strana 21



Slika 23.0

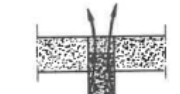


Slika 23.1

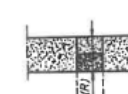


Slika 23.2

Veza gradevinska konstrukcija – tavanica



Slika 23.3



Slika 23.4

Veza gradevinska konstrukcija – pregrada

Slike 23 – Primeri veza između spoljne i unutrašnje gradevinske konstrukcije

### 2.4.8.2 Vrednosti za $h_2$ i $R_s$ kad je spoljni gradevinski konstrukcija od homogenog materijala (slika 24)

- a) Vrednost za  $h_2$   $h_2 = 0$
- b) Vrednosti za  $R_s$

$R_s = 0,15 \text{ m}^2 \text{ K/W}$ . Ako unutrašnja gradevinska konstrukcija ima na svakoj svojoj površini oblogu sa topotnim otporom većim od  $0,30 \text{ m}^2 \text{ K/W}$ ,  $R_s = 0,25 \text{ m}^2 \text{ K/W}$ . Kad je spoljni gradevinski konstrukcija laka fasada (manje od  $300 \text{ kg/m}^2$ ), razlikuju se sledeća dva slučaja:

- 1) Kad je ispuš unutrašnje gradevinske konstrukcije obložen tri svoje strane izolatorom topotnog otpora najmanje jednako  $0,5 \text{ m}^2 \text{ K/W}$  (slika 24.6),  $R_s$  je funkcija topotnog otpora ( $R_{iz,s}$ ) ovog izolatora i dužine ispušta ( $D$ ); njegova vrednost je data u tabeli 5.

- 2) Kad je unutrašnja gradevinska konstrukcija definisano obložena sa svoje dve strane (unutri ili spolja) izolatorom topotnog otpora najmanje  $0,5 \text{ m}^2 \text{ K/W}$  (slika 24.6),  $R_s$  je funkcija topotnog otpora ( $R_{iz,s}$  ili  $R_{iz,j}$ ) izolacije i njene dužine ( $l$ ); njene vrednosti su date u tabeli 6.

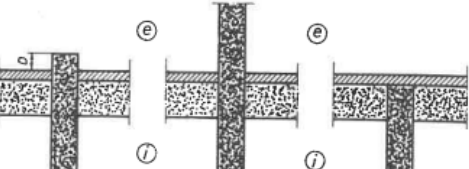
Ako je u ova dva poslednjih slučaju unutrašnja gradevinska konstrukcija istovremeno potpuno izolovana oblogom sa svoje unutrašnje strane topotnom izolacijom otpora najmanje  $0,30 \text{ m}^2 \text{ K/W}$ , njegova vrednost za  $R_s$  dobija se dodajući  $0,10 \text{ m}^2 \text{ K/W}$  vrednostima datim u tabelama 5 i 6.

# Nekad „davno”..JUS (HRN) U.J5.510

Strana 24 JUS U.J5.510

- 2) Spoljni isput unutrašnje građevinske konstrukcije je obložen sa tri svoje strane izolacijom čiji je topotni otpor najmanje  $0,5 \text{ m}^2 \text{ K/W}$  (slika 25.4);  $R_s$  je funkcija topotnog otpora ( $R_{iz,i}$ ) ove izolacije i dužine njegovog isputa  $D$ ; njegova vrednost je data u tabeli 5.
- 3) Spoljni isput unutrašnje građevinske konstrukcije delimično je obložen sa dve strane izolacijom čiji je otpor najmanje  $0,5 \text{ m}^2 \text{ K/W}$  (slika 25.5);  $R_s$  je funkcija topotnog otpora ( $R_{iz,i}$ ) ove izolacije i njegove dužine  $L$ .

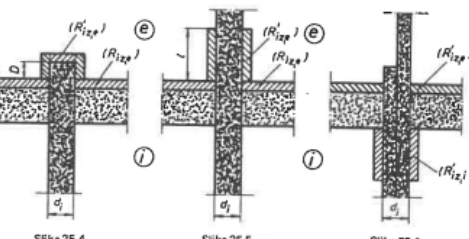
Njegova vrednost je data u tabeli 6.  
Izolacija postavljena na unutrašnjoj građevinskoj konstrukciji u prostorijama (slika 25.6) ne menja vrednost  $R_s$ .



Slika 25.1

Slika 25.2

Slika 25.3



Slika 25 – Veze između spoljne građevinske konstrukcije izolovane spolja i jedne unutrašnje građevinske konstrukcije

## 2.4.8.4

Vrednost za  $h_1$  i  $R_s$  kad spoljna građevinska konstrukcija ima unutrašnju izolaciju (slika 26)

### a) Vrednosti za $h_2$

$h_2$  je funkcija topotnog otpora ( $R_{iz,i}$ ) unutrašnje izolacije i koeficijenta prolaza topote spoljne građevinske konstrukcije ( $k_g$ ). Njegova vrednost jednaka je  $h_1$  i data u tabeli 7.

### b) Vrednosti za $R_s$

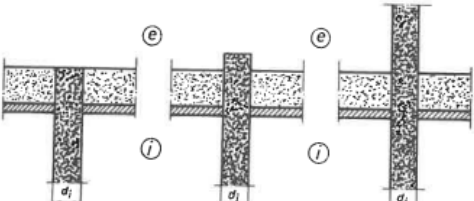
Bilo da je spoljni isput unutrašnje građevinske konstrukcije izolovan ili ne, vrednost  $R_s$  zavisi od izolacije unutrašnjeg dela ove građevinske konstrukcije i ima sledeće vrednosti:

- ako unutrašnji deo nije izolovan (slike 26.1 do 26.3), ako je izolovan samo sa jedne strane ili ako je izolovan sa dve strane sa izolacijom čiji je topotni otpor manji od  $0,3 \text{ m}^2 \text{ K/W}$ ,  $R_s$  je jednak  $0,16 \text{ m}^2 \text{ K/W}$ ;

JUS U.J5.510, p. o. 1

JUS U.J5.510 Strana 25

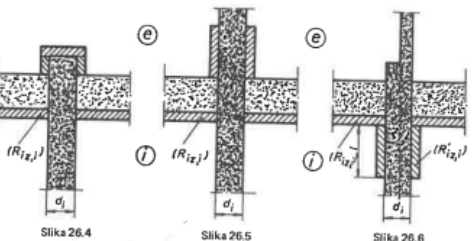
- ako je unutrašnji deo potpuno obložen sa dve strane izolacijom čiji je topotni otpor najmanje  $0,3 \text{ m}^2 \text{ K/W}$ ,  $R_s$  je jednak  $0,25 \text{ m}^2 \text{ K/W}$ ;
- ako je unutrašnji deo delimično ili potpuno obložen sa dve strane izolacijom čiji je topotni otpor najmanje  $0,5 \text{ m}^2 \text{ K/W}$  (slika 26.6),  $R_s$  je funkcija topotnog otpora ( $R_{iz,i}$ ) ove izolacije i njene dužine  $l$ , a njegova vrednost je data u tabeli 6.



Slika 26.1

Slika 26.2

Slika 26.3



Slika 26 – Veze između spoljne građevinske konstrukcije sa unutrašnjom izolacijom i unutrašnje građevinske konstrukcije

## 2.4.8.5

Specijalan slučaj sendvič građevinske konstrukcije beton–laki izolator

Mogu se posmatrati četiri slučaja prema tome da li na ivici građevinske konstrukcije postoji rebro ili ne i da li je kraj građevinske konstrukcije izolovan ili ne.

- a) Građevinska konstrukcija ima rebro na ivici, a unutrašnja građevinska konstrukcija nije izolovana (slika 27.1):

$$k_L = 0,4 k_n d_i \quad (\text{W/mK}) \quad (40)$$

- b) Građevinska konstrukcija ima rebro na ivici, a kraj unutrašnje pregrade je izolovan (slika 27.2):

$$k_1 = 0,4 [ (k_{o2} \cdot d_1) + (k_n - k_{o2}) x ] \quad (\text{W/mK}) \quad (41)$$

# Nekad „davno”..JUS (HRN) U.J5.510

Strana 26 JUS U.J5.510

c) Građevinska konstrukcija nema rebro na ivici, a kraj unutrašnje pregrade nije izolovan (slika 27.3):

$$k_1 = 0,4 [ k_n d_i + (k_n - k_{o1}) x ] \quad (\text{W/mK}) \quad (42)$$

d) Građevinska konstrukcija nema rebro na ivici, izolacija je na kraju unutrašnje pregrade u ravni izolacije građevinske konstrukcije i nastavlja je (slika 27.4):

$$k_1 = 0,4 k_{o2} d_i \quad (\text{W/mK}) \quad (43)$$

gde je:

- $k_n$  – koeficijent prolaza topline kroz rebro ili u slučaju c) koeficijent  $k_L$  kroz unutrašnju građevinsku konstrukciju izračunat prema metodi opisanoj u t. 2.4.8.; uzeto je da je  $R_g = 0,17 \text{ m}^2 \text{ K/W}$ ;
- $k_{o1}$  – koeficijent prolaza topline kroz izolaciju u osnovnom delu;
- $k_{o2}$  – koeficijent prolaza topline kroz unutrašnju građevinsku konstrukciju, izračunat prema metodi opisanoj u t. 2.4.8.1.; uzeto je da je  $R_g = 0,17 \text{ m}^2 \text{ K/W}$ ;
- $x$  – veličina definisana u t. 2.4.4.2.

Slika 27 – Veze između sendvič građevinske konstrukcije i unutrašnje građevinske konstrukcije

JUS U.J5.510 Strana

3 Koeficijent prolaza topline građevinskih konstrukcija u kontaktu sa tloom

Razlikuju se podovi, vertikalne građevinske konstrukcije i tavanice (slika 28). Za podove i zidove, topotni gubici po jedinici razlike temperature spolja i unutra ( $\phi_k$ ) dati su jednačinom

$$\phi_k = k_L \cdot L \quad (\text{W/K}) \quad (44)$$

gde je:

- $k_L$  – koeficijent linijskog prolaza topline poda ili građevinske konstrukcije kojima se daju vrednosti iz t. 3.1 i 3.1, u  $\text{W/mK}$ ;
- $L$  – spoljni obim poda ili građevinske konstrukcije, u m.

Ova metoda proračuna obuhvata gubitke u sledećim veza građevinske konstrukcija–pod, građevinska konstrukcija–međuspatrinska tavanica i građevinska konstrukcija–pregrada.

Za tavanice, topotni gubici za jedinicu razlike temperature unutra i spolja proračunati su kao da se radi o tavanici u kontaktu sa spoljnjom sredinom. Njeni topotni gubici su jednaki proizvodu unutrašnje površine tavanice sa njenim koeficijentom prolaza topline, pri čemu se ovaj računa prema metodi datoj u t. 3.3.

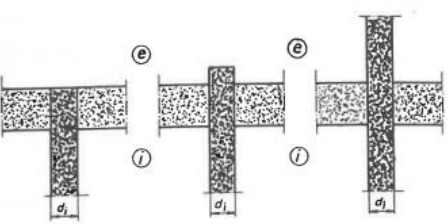
Slika 28 – Prolaz topline kroz građevinsku konstrukciju u kontaktu sa tloom

3.1 Podovi na tlu ili ukopani podovi  
3.1.1 Pod bez posebne topotne izolacije

Koeficijent  $k_L$  je funkcija razlike nivoa ( $z$ ) između gornje površine poda i tla;  $z$  (dato u tabeli 8) je negativno ako je pod ispod tla (slika 29.1, pod ukopan) i pozitivno u suprotnom slučaju (slika 29.2).

# Nekad „davno”..JUS (HRN) U.J5.510

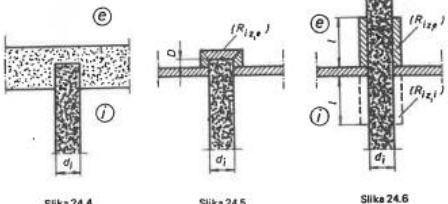
Slika 22 JUS U.J5.510



Slika 24.1

Slika 24.2

Slika 24.3



Slika 24.4

Slika 24.5

Slika 24.6

Slika 24 – Veze između spoljnog zida od homogenog materijala i unutrašnje građevinske konstrukcije

Tabela 5 – Vrednosti za  $R_s$  za unutrašnji zid koji ispreda i izložen je tri strane (u  $\text{m}^2 \cdot \text{K}/\text{W}$ )

Toplotni otpor spoljne izolacije $R'_{1z,i}$ ( $\text{m}^2 \cdot \text{K}/\text{W}$ )	Duzina isputa $D$ (m)				
	0,05	0,10	0,15	0,20	0,25
0,5	0,44	0,37	0,33	0,30	0,28
0,75	0,57	0,47	0,40	0,36	0,33
1,0	0,71	0,57	0,48	0,43	0,39
1,25	0,84	0,67	0,56	0,49	0,44
1,5	0,98	0,77	0,64	0,56	0,50
1,75	1,11	0,87	0,71	0,62	0,55
2,0	1,25	0,97	0,79	0,69	0,61
2,5	1,52	1,17	0,94	0,82	0,72
3,0	1,79	1,37	1,10	0,95	0,83

Tabela 6 – Vrednosti za  $R_s$  kad je unutrašnji zid delimično izložen sa dve strane spolja ili unutar prostorije (u  $\text{m}^2 \cdot \text{K}/\text{W}$ )

Toplotni otpor unutrašnje izolacije $R'_{1z,i}$ ili spoljne izolacije $R'_{1z,e}$ ( $\text{m}^2 \cdot \text{K}/\text{W}$ )	Duzina izolacije $I$ (m)				
	0,2	0,3	0,4	0,5	0,6
0,5	0,24	0,25	0,25	0,25	0,26
0,75	0,25	0,26	0,26	0,26	0,27
1,0	0,26	0,26	0,26	0,26	0,27
1,25	0,27	0,27	0,28	0,29	0,29
1,5	0,27	0,28	0,29	0,30	0,31
1,75	0,28	0,29	0,30	0,31	0,32
2,0	0,29	0,30	0,31	0,32	0,33
2,5	0,30	0,32	0,33	0,35	0,36
3,0	0,32	0,34	0,38	0,37	0,38

Tabela 7 – Vrednosti za  $h_1$

Koeficijent $k$ spoljnjeg zida $k_e$ ( $\text{W}/(\text{m}^2 \cdot \text{K})$ )	Toplotni otpor spoljne izolacije $R'_{1z,e}$ ili unutrašnje izolacije $R'_{1z,i}$ ( $\text{m}^2 \cdot \text{K}/\text{W}$ )										
	0,5	0,75	1,0	1,25	1,5	1,75	2,0	2,25	2,5	2,75	3,0
1,5	0,31	0,60	–	–	–	–	–	–	–	–	–
1,3	0,15	0,60	–	–	–	–	–	–	–	–	–
1,2	0,07	0,60	–	–	–	–	–	–	–	–	–
1,0	0	0,32	0,60	–	–	–	–	–	–	–	–
0,9	0	0,19	0,60	–	–	–	–	–	–	–	–
0,8	0	0,07	0,41	0,60	–	–	–	–	–	–	–
0,7	0	0	0,23	0,56	0,60	–	–	–	–	–	–
0,6	0	0	0,07	0,32	0,60	0,60	–	–	–	–	–
0,5	0	0	0	0,11	0,32	0,56	0,60	–	–	–	–
0,45	0	0	0	0,02	0,19	0,38	0,60	–	–	–	–
0,4	0	0	0	0	0,07	0,23	0,41	0,60	0,60	–	–
0,35	0	0	0	0	0	0,09	0,23	0,38	0,56	0,60	–
0,3	0	0	0	0	0	0	0,07	0,29	0,32	0,46	0,60

Za međuvrednosti  $k_e$  i  $R'_{1z,i}$  ili  $R'_{1z,e}$  interpolisati se linearno.

2.4.8.3 Vrednosti za  $h_2$  i  $R_s$  kada spoljni građevinski konstrukcija ima izolaciju spolja (slika 25)

a) Vrednosti za  $h_2$

$h_2$  je funkcija toplotnog otpora spoljne izolacije ( $R'_{1z,e}$ ) i koeficijenta prolaza topote građevinske konstrukcije ( $k_e$ ). Njegova vrednost je nula ako je izolacija kontinuirana preko unutrašnje građevinske konstrukcije (slika 25.3), za ostale slučajevi jednak je  $h_2$ . Čije su vrednosti date u tabeli 7.

b) Vrednosti za  $R_s$

Razlikuju se tri slučaja:

- 1) Kraj unutrašnje građevinske konstrukcije nije izolovan (slike 25.1 i 25.2) ili je izolacija spoljne građevinske konstrukcije kontinuirana preko unutrašnje građevinske konstrukcije (slika 25.3);  $R_s$  je jednak 0,15  $\text{m}^2 \cdot \text{K}/\text{W}$ .

# Aktualni Tehnički propis i pristup proračunu toplinskih mostova (točkastih i linijskih)

INTERNATIONAL  
STANDARD

ISO  
**10211-1**

First edition  
1995-08-15

REPUBLIKA HRVATSKA  
DRŽAVNI ZAVOD ZA KALIBRACIJU I  
MJERITELJSTVO  
41000 ZAGREB, Avenija Vukovar 78/2  
Tel. 633-444 Fax. 536-888

Thermal bridges in building construction —  
Heat flows and surface temperatures —

Part 1:  
General calculation methods

**IZVORNI  
PRIMJERAK**

Ponts thermiques dans le bâtiment — Flux de chaleur et températures superficielles —

Partie 1: Méthodes générales de calcul

INTERNATIONAL  
STANDARD

ISO  
**10211-2**

First edition  
2001-03-01

Thermal bridges in building construction —  
Calculation of heat flows and surface  
temperatures —

Part 2:  
Linear thermal bridges

Ponts thermiques dans les bâtiments — Calcul des flux thermiques et des  
températures superficielles —  
Partie 2: Ponts thermiques linéaires

**IZVORNI  
PRIMJERAK**

REPUBLIKA HRVATSKA  
DRŽAVNI ZAVOD ZA KALIBRACIJU I  
MJERITELJSTVO  
10000 ZAGREB, Ulica grada Vukovara 78

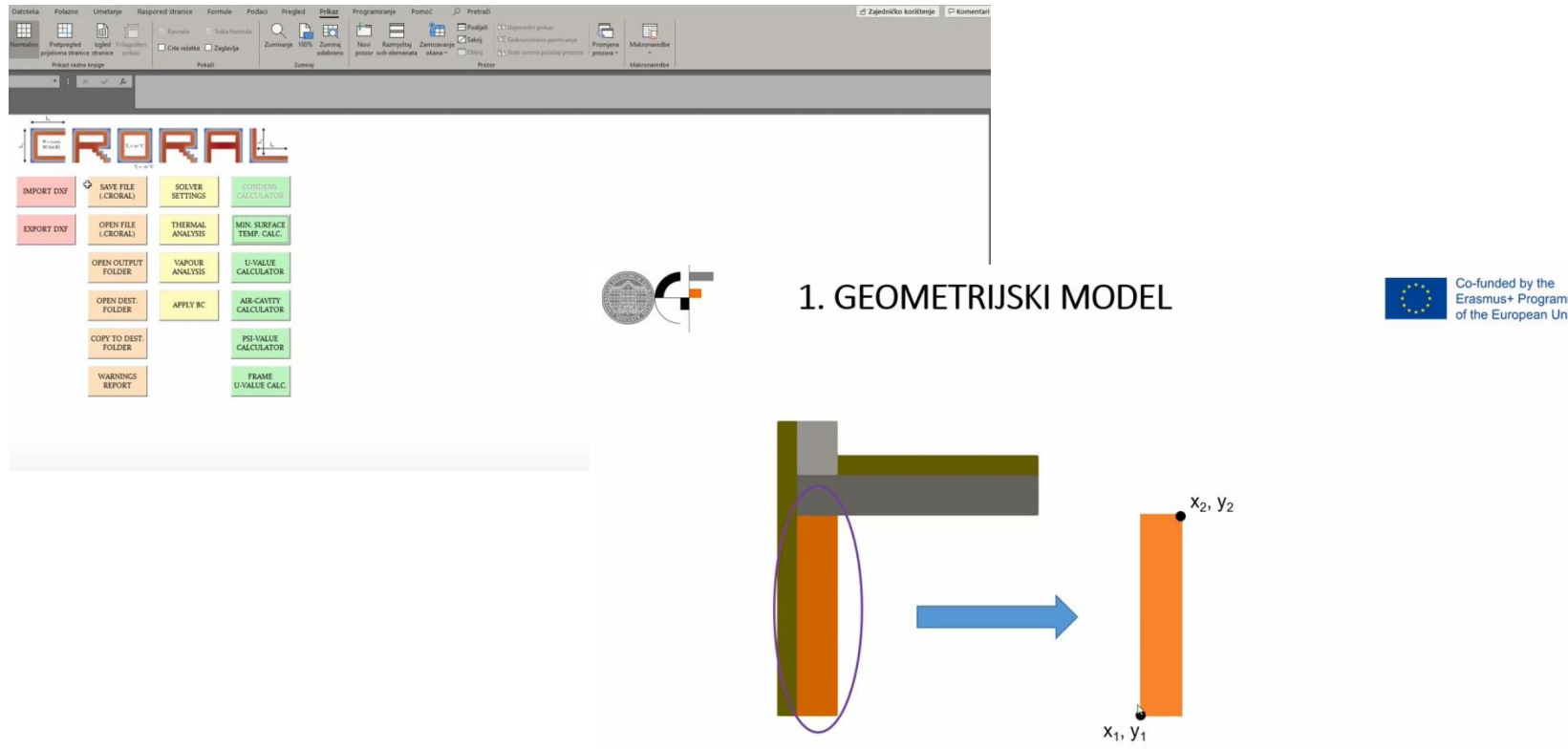


Reference number  
ISO 10211-2:2001(E)

© ISO 2001

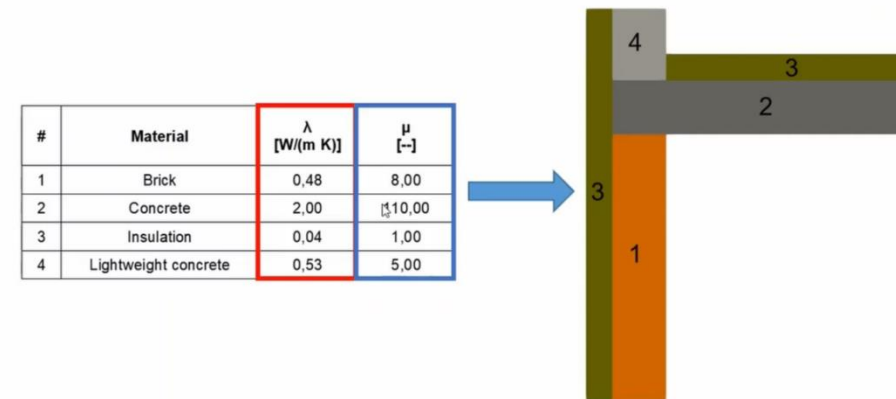
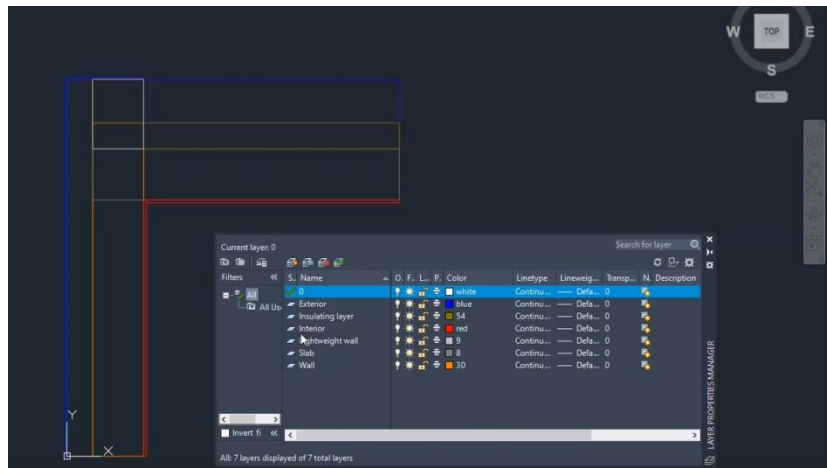
# Aktualni Tehnički propis i pristup proračunu toplinskih mostova (točkastih i linijskih)

„CRORAL“ računalni program za proračun toplinskih mostova i površinskih temperatura



# Aktualni Tehnički propis i pristup proračunu toplinskih mostova (točkastih i linijskih)

„CRORAL“ računalni program za proračun toplinskih mostova i površinskih temperatura



A	B	C	D	E	F	G	H
#	Material	$\lambda$ [W/(m K)]	$\rho$ [kg/m <sup>3</sup> ]	$c_p$ [J/(kg K)]	$\mu$ [-]	Source/Sink [W/m <sup>2</sup> ]	
1	Brick	0,48			8,00		
2	Concrete	2,00			10,00		
3	Insulation	0,04			1,00		
4	Lightweight concrete	0,53			5,00		

# Aktualni Tehnički propis i pristup proračunu toplinskih mostova (točkastih i linijskih)

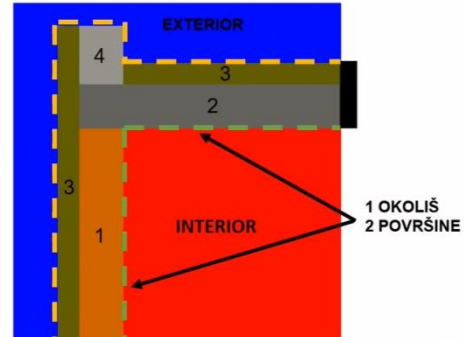


## 3. RUBNI UVJETI



#	Boundary	Room	$h$ [W/(m <sup>2</sup> K)]	T [°C]	RH [%]
1	Adiabatic	Adiabatic	-	--	--
2	Interior	Interior	7,69	20,00	60,00
3	Exterior	Exterior	25,00	0,00	90,00

Adijabatski rubni uvjeti HRN EN ISO 10211  
(minimalno 1 m od mjesta TM)



## PRIMJER 1 – SPOJ ZIDA I PLOČE

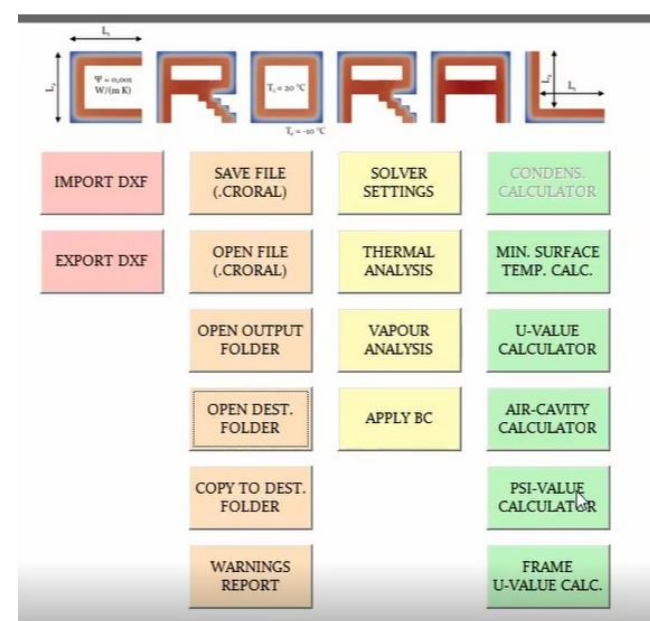
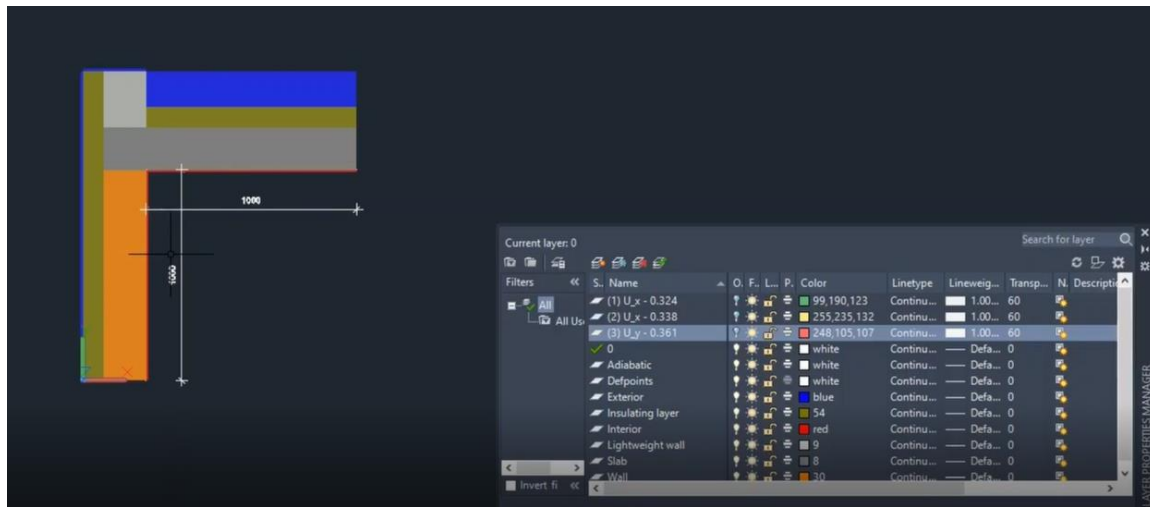


### • POSTUPAK:

1. GEOMETRIJSKI MODEL
2. MATERIJALNE KARAKTERISTIKE
3. RUBNI UVJETI
- 4. ULAZNI PARAMETRI ZA NUMERIČKU ANALIZU**
5. TOPLINSKA ANALIZA
6. KONDENZACIJA VODENE PARE

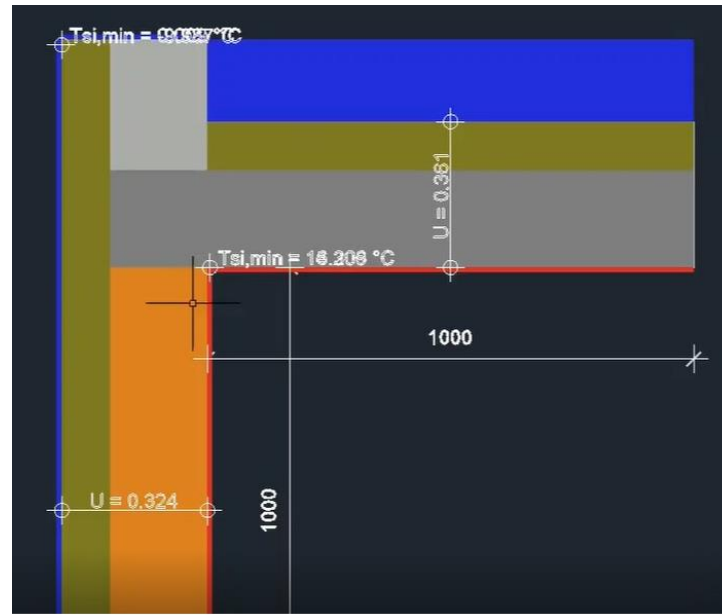
# Aktualni Tehnički propis i pristup proračunu toplinskih mostova (točkastih i linijskih)

Layers	Thickness [mm]	Layer Resistance [(m <sup>2</sup> K)/W]	R [(m <sup>2</sup> K)/W]	U-value [W/(m <sup>2</sup> K)]	(x <sub>min</sub> y <sub>min</sub> ) × (x <sub>max</sub> y <sub>max</sub> ) [mm]	View in AutoCAD
Exterior/Insulation/Brick/Interior	--/100/200/--	0,04/2,5/0,417/0,13	3,087	0,324	(0;0) × (300;1000)	POLYLINE 0,500 300,500 CLOSE POINT 0,500 POINT 300,500 -TEXT 46,33,505 29,6 c
Exterior/Insulation/Lightweight concrete/Exterior	--/100/200/--	0,04/2,5/0,377/0,04	2,957	0,338	(0;1000) × (300;1470)	POLYLINE 0,1385 300,1385 CLOSE POINT 0,1385 POINT 300,1385 -TEXT 46,33,1390 29
Interior/Concrete/Insulation/Exterior	--/200/100/--	0,13/0,1/2,5/0,04	2,770	0,361	(300;1000) × (1300;1300)	POLYLINE 800,1000 800,1300 CLOSE POINT 800,1000 POINT 800,1300 -TEXT 795,104



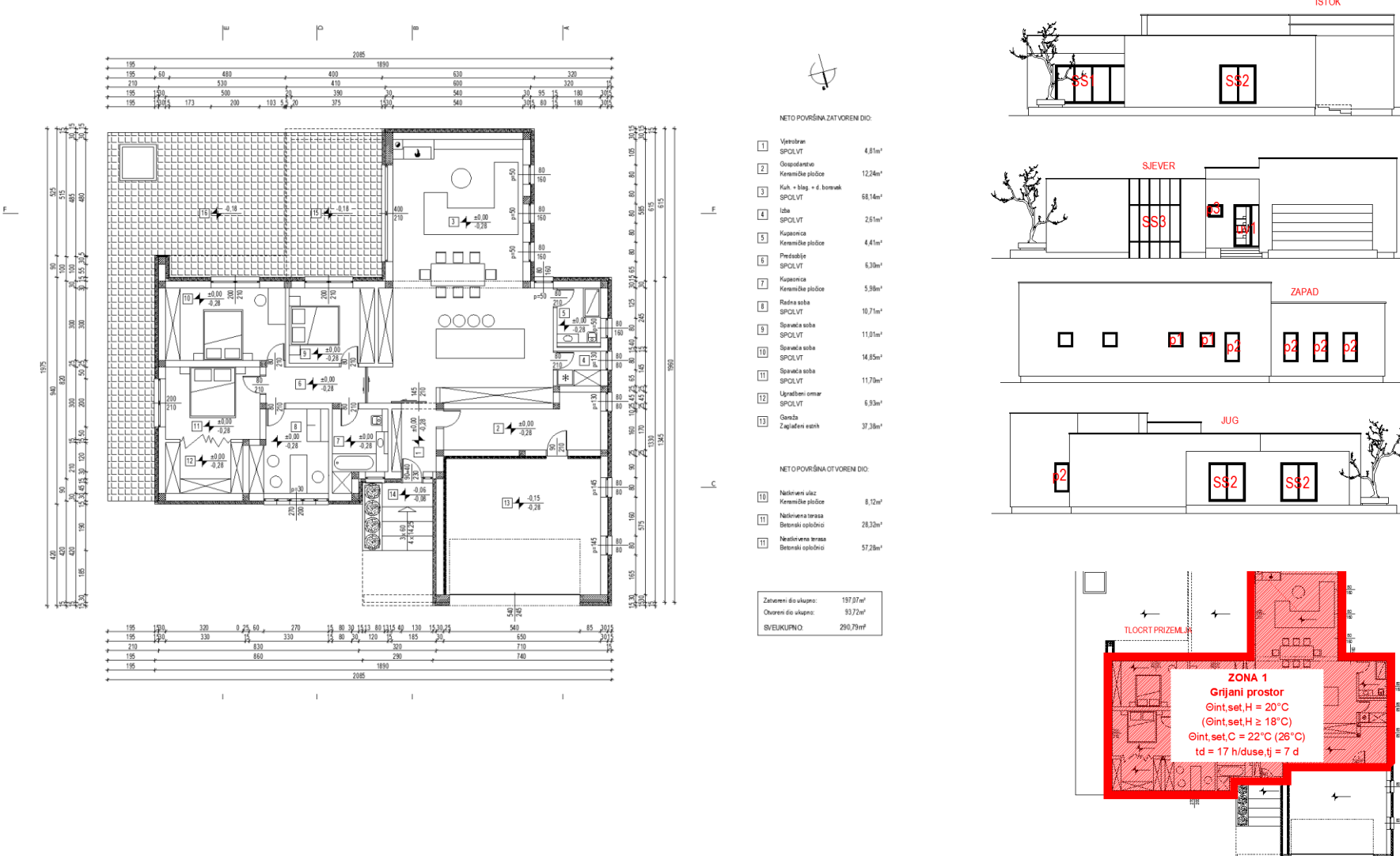
## Aktualni Tehnički propis i pristup proračunu toplinskih mostova (točkastih i linijskih)

A	B	C	D	E
Room <sub>i</sub> /Room <sub>j</sub>	U-value [W/(m <sup>2</sup> K)]	L [m]	ΔT [°C]	U × L [W/(m K)]
Interior/Exterior	0,361	1,000	20,000	0,361
Interior/Exterior	0,324	1,000	20,000	0,324
	Interior/Exterior	$\Psi$ [W/(m K)] =		0,374



# Aktualni Tehnički propis i pristup proračunu toplinskih mostova (točkastih i linijskih)

## Konkretni primjer obiteljske kuće



# Aktualni Tehnički propis i pristup proračunu toplinskih mostova (točkastih i linijskih)

## Konkretni primjer obiteljske kuće

Popis građevnih dijelova							
#	Naziv	Vrsta	Agd	U	U(max)	fRs1	fRs1(max)
1	Z1 - Vanjski zid	Vanjski zidovi	150.30	0.12	0.30	0.77	0.97 ✓
2	Z2 - Vanjski zid_ab	Vanjski zidovi	34.00	0.21	0.30	0.77	0.95 ✓
3	Z5 - Zid prema garaži	Zidovi prema garaži, projetvovanom tavanu	27.40	0.19	0.30	0.77	0.95 ✓
4	Z3 - Unutarnji zid_25 cm*	Zidovi između grijanih dijelova različitih konstrukcija	0.00	1.22	-	-	- ✓
5	Z4 - Unutarnji zid_12 cm*	Zidovi između grijanih dijelova različitih konstrukcija	0.00	1.82	-	-	- ✓
6	K1 - RAVNI NEPROHODNI KROV_fert	Ravni krovovi iznad grijanog prostora	114.80	0.11	0.25	0.77	0.97 ✓
7	K2 - RAVNI NEPROHODNI KROV_ab	Ravni krovovi iznad grijanog prostora	75.60	0.12	0.25	0.77	0.97 ✓
8	K3 - RAVNI NEPROHODNI KROV_nadstre...	Ravni krovovi iznad grijanog prostora	0.00	0.12	0.25	0.77	0.97 ✓
9	K4 - RAVNI NEPROHODNI KROV_nadstre...	Ravni krovovi iznad grijanog prostora	0.00	0.10	0.25	0.77	0.98 ✓
10	K5 - RAVNI NEPROHODNI KROV_iznad gar...	Ravni krovovi iznad grijanog prostora	0.00	0.09	0.25	0.77	0.98 ✓
11	P1 - POD NA TLU_griani dio	Podovi na tlu	190.40	0.18	0.30	0.84	0.96 ✓
12	P2 - POD NA TLU_garaža*	Podovi na tlu	0.00	0.60	-	0.84	0.85 ✓
13	Zs - Vanjski zid_sokl	Vanjski zidovi	22.30	0.21	0.30	0.77	0.95 ✓

Slojevi							
Rbr.	Materijal	Debljina	R				
1	3.03 Vapreno-cementna žbuka	2.000	0.020 ✓				
2	Leietherm 30 U+Z	30.000	2.013 ✓				
3	Polimemo-cementno leđilo	0.500	0.006 ✓				
4	Krauf insulation ploča za kontaktnie fasade FKO-N Thermal	20.000	5.882 ✓				
5	Polimemo-cementno leđilo amirano staklenom mrežicom	0.500	0.006 ✓				
6	Impregnacijski predpremaz	0.002	0.000 ✓				
7	Slikovska završna žbuka	0.200	0.003 ✓				

Gradbeni dijelovi							
#	Naziv	Vrsta	Agd	U	U(max)	fRs1	fRs1(max)
1	Z1- Vanjski zid	Vanjski zidovi	150.30	0.12	0.30	0.77	0.97 ✓
2	Z2- Vanjski zid_ab	Vanjski zidovi	34.00	0.21	0.30	0.77	0.95 ✓
3	Z5 - Zid prema garaži	Zidovi prema garaži, projetvovanom tavanu	27.40	0.19	0.30	0.77	0.95 ✓
4	Z3 - Unutarnji zid_25 cm*	Zidovi između grijanih dijelova različitih konstrukcija	0.00	1.22	-	-	- ✓
5	Z4 - Unutarnji zid_12 cm*	Zidovi između grijanih dijelova različitih konstrukcija	0.00	1.82	-	-	- ✓
6	K1- RAVNI NEPROHODNI KROV_fert	Ravni krovovi iznad grijanog prostora	114.80	0.11	0.25	0.77	0.97 ✓
7	K2- RAVNI NEPROHODNI KROV_ab	Ravni krovovi iznad grijanog prostora	75.60	0.12	0.25	0.77	0.97 ✓
8	K3 - RAVNI NEPROHODNI KROV_nadstre...	Ravni krovovi iznad grijanog prostora	0.00	0.12	0.25	0.77	0.98 ✓
9	K4 - RAVNI NEPROHODNI KROV_nadstre...	Ravni krovovi iznad grijanog prostora	0.00	0.10	0.25	0.77	0.98 ✓
10	K5 - RAVNI NEPROHODNI KROV_iznad gar...	Ravni krovovi iznad grijanog prostora	0.00	0.09	0.25	0.77	0.98 ✓
11	P1- POD NA TLU_griani dio	Podovi na tlu	190.40	0.18	0.30	0.84	0.96 ✓
12	P2- POD NA TLU_garaža*	Podovi na tlu	0.00	0.60	-	0.84	0.85 ✓
13	Zs - Vanjski zid_sokl	Vanjski zidovi	22.30	0.21	0.30	0.77	0.95 ✓

Slojevi							
Fbr.	Materijal	Debljina	R				
1	4.01 Gipskartonske ploče		1.250				0.050 ✓
2	Neprovjetravan sloj zraka		28.000				0.160 ✓
3	2.01 Amiran beton		20.000				0.077 ✓
4	Geotekstil 150-200 g/m2		0.020				0.001 ✓
5	HOMESEAL LDS 200 AluPlus pama brana za ravne krovove		0.020				0.000 ✓
6	Polimemo-cementno leđilo		20.000				5.556 ✓
7	Krauf insulation ploča za ravne krovove SmartRoof THERMAL		10.000				2.632 ✓
8	Krauf insulation ploča za ravne krovove SmartRoof TOP		0.020				0.001 ✓
9	5.10 Polim. hidra traka na bazi FPO/TPO		0.180				0.007 ✓
10	Geotekstil 350 g/m2		0.020				- ✓
11	Drenažni sloj (šljunak)		5.000				- ✓

Naziv otvora	Ug1	Ug2	Ug	Uf	Uw1	Uw2	ΔR	n	Uw [W/m² K]	
SS1 400/210	0,00	0,00	0,50	0,00	0,00	0,00	0,00	1,00	0,85	✓
SS2 200/210	0,00	0,00	0,50	0,00	0,00	0,00	0,00	3,00	0,85	✓
p1 80/80	0,00	0,00	0,50	0,00	0,00	0,00	0,00	2,00	0,85	✓
p2 80/160	0,00	0,00	0,50	0,00	0,00	0,00	0,00	5,00	0,85	✓
p3 80/70	0,00	0,00	0,50	0,00	0,00	0,00	0,00	1,00	0,85	✓
SS3 270/200	0,00	0,00	0,50	0,00	0,00	0,00	0,00	1,00	0,85	✓
uv 90+40/230	0,00	0,00	0,00	0,00	0,00	0,00	0,00	1,00	1,20	✓
vg 90/210 - vrata prema garaži	0,00	0,00	0,00	0,00	0,00	0,00	0,00	1,00	1,20	✓

# Aktualni Tehnički propis i pristup proračunu toplinskih mostova (točkastih i linijskih)

## Konkretni primjer obiteljske kuće

Protok zraka infiltracijom		
<b>01. Osnovni podaci</b>		
#	1	
H Ve,inf,H,os	20,39	
H Ve,inf,C,os	20,39	
<b>02. Kategorija zrakopropusnosti</b>	<b>Da</b>	
Korisnički unos n 50		I a - Testiranje zrakopropusnosti nakon završetka zgrade (bez GViK)
Kategorija zrakopropusnosti n 50	<b>1,50</b>	
<b>03. Klasa zaklonjenosti</b>	<b>Srednje zaklonjene</b>	
Klasa zaklonjenosti		<b>Izloženo više od jedne fasade</b>
Klasa izloženosti e wind	0,07	
f wind	15,00	
<b>04. Protok zraka uslijed infiltracije</b>		
N mech.sup,H	0,50	
N mech.sup,C	0,50	
N mech.exh,H	0,50	
N mech.exh,C	0,50	
f v,mech,H	0,00	
f v,mech,C	0,00	
<b>05. Potrebna toplina zbog infiltracije</b>		
θ int,H	20,00	
θ int,C	22,00	

!!

Protok zraka mehaničkom ventilacijom		
<b>01. Osnovni podaci</b>		
#	1	<b>Da</b>
Meh. ventilacija prisutna?		
Korisnički unos n req,H		Ne
Korisnički unos n req,C		Ne
Shema sustava ventilacije		<b>Shema 2</b>
Smještaj jedinice za obradu zraka		<b>Unutar zone</b>
V mech,exh,H	0,00	
V mech,exh,C	0,00	
Kontrola vlažnosti.		Sustavi sa kontrolom vlažnosti unutar tolerancija
x mech,sup,H	0,0060	
p s(θ int,C)	2645,13	
H Ve,mech,H	96,14	
H Ve,mech,C	96,14	
<b>02. Klasa razvodnih kanala</b>		<b>Klasa C (i bolje)</b>
Klasa razvodnih kanala		
C ductleak	1,00	
A duct	<b>20,00</b>	
A indoorduct	<b>20,00</b>	
A i	0,00	
<b>03. Klasa AHU jedinice</b>		<b>Klasa L1 (i bolje)</b>
Klasa jedinice AHU		
C AHU,leak	1,00	
<b>04. Udio toplinskog opterećenja</b>		
Korisnički unos kv,H		<b>Da</b>
kv,H	0,00	
Φ H,em	0,00	
Φ H,em,tot	0,00	
Korisnički unos kv,C		<b>Da</b>
kv,C	0,00	
Φ C,em	0,00	
Φ C,em,tot	0,00	
<b>05. Faktor povrata topline</b>		
Korisnički unos η hru		<b>Da</b>
Tip izmjenjivača		Pločasti izmjenjivač
η hru	<b>0,90</b>	

# Aktualni Tehnički propis i pristup proračunu toplinskih mostova (točkastih i linijskih)

## Konkretni primjer obiteljske kuće

TT sustav – dizalica topline zrak/voda (podno grijanje) + električni bojler + priprema za PV  
Sustav rekuperacije prostora

ventilacijski kompaktни uređaj s povratom topline (rekuperator), proizvod kao Helios

KWL 300 W (L)-ulaz svježeg zraka s lijeve strane,  
Svježi i odsisni zrak se filtriraju filterima klase G4.

Protusmjerni izmjenjivač iz polimernog materijala **omogućuje efikasnost do 90%**.

- tehničke karakteristika:

- Protok zraka: 220 m<sup>3</sup>/h,
- Vanjski staticki tlak: 150 Pa,
- El. snaga ventilatora: 2x 6-84 W, ~1, 230V,
- Nivo zvučnog tlaka Lpa1m: 38 dB
- Dimenzije: 600x660x361 mm,
- Masa: 37 kg
- Temperaturno područje rada -20°C + 40°C
- Energetski razred: A

V.j.

Dizalica topline zrak/voda, namijenjena za grijanje/hlađenje prostora, koja se sastoji od vanjske i unutarnje jedinice (hydroboxa):

Vanjska jedinica tehničkih karakteristika:

Učin hlađenja (A35 / W18): 10,0 kW

Energetska učinkovitost EER: 4,47

Učin grijanja (A7 / W35) : 11,2 kW

Energetska učinkovitost COP: 4,46

Učin grijanja (A2 / W35) : 10,0 kW

Energetska učinkovitost COP: 3,32

Učin grijanja (A-15 / W35) : 8,8 kW

Energetska učinkovitost COP: 2,13

Razina buke (zvučni tlak) - grijanje: 60 dB

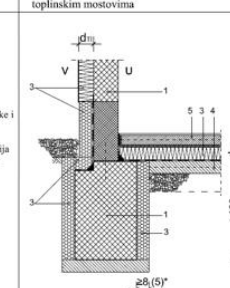
# Aktualni Tehnički propis i pristup proračunu toplinskih mostova (točkastih i linijskih)

## Konkretni primjer obiteljske kuće

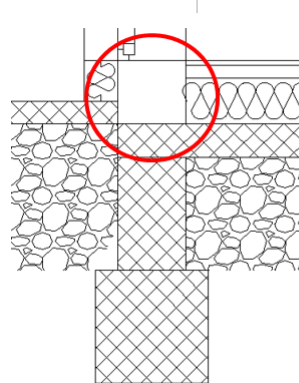
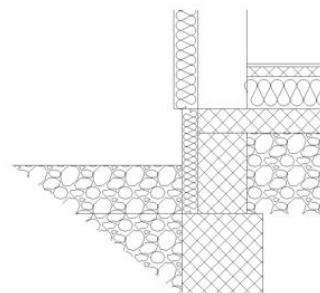
TT sustav – dizalica topline zrak/voda (podno grijanje) + električni bojler + priprema za PV

- Korekcija 0,05 W/m<sup>2</sup>K (?):

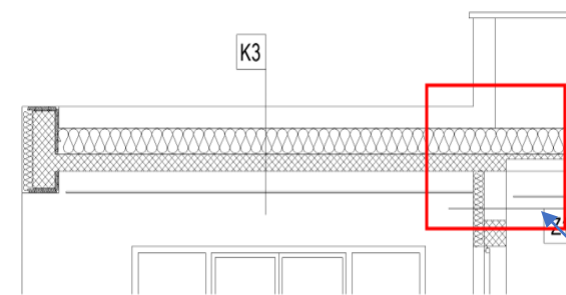
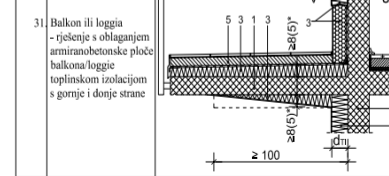
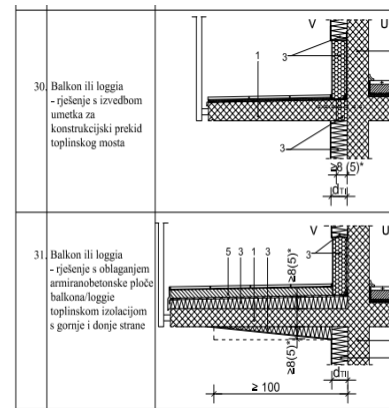
### 6. Spoj temelja i vanjskog nosivog zida

Redni broj	Naziv detalja	Grafički prikaz detalja s dobro riješenim toplinskim mostovima
I.	Spoj temeljne trake i masivnog zida - toplinska izolacija poda s unutarnje (gornje) strane	

- detalj u projektu:



Okvir staklene stijene



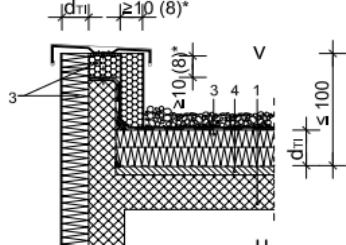
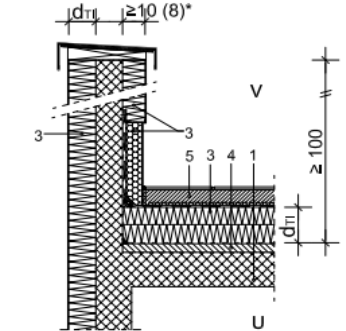
garaža

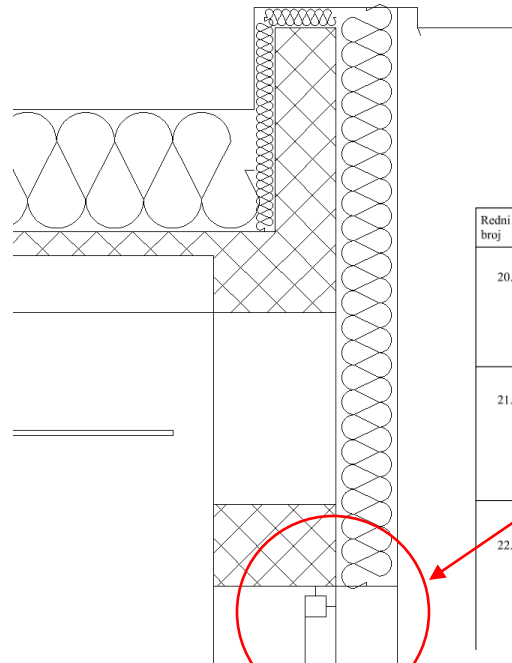
# Aktualni Tehnički propis i pristup proračunu toplinskih mostova (točkastih i linijskih)

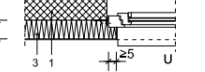
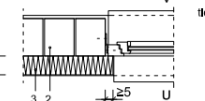
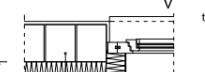
## Konkretni primjer obiteljske kuće

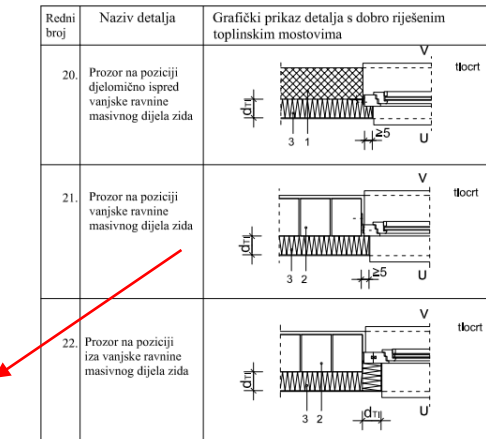
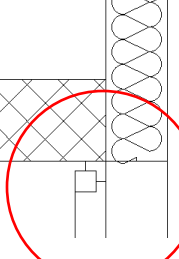
TT sustav – dizalica topline zrak/voda (podno grijanje) + električni bojler + priprema za PV

- Korekcija 0,05 W/m<sup>2</sup>K (?):

Redni broj	Naziv detalja	Grafički prikaz detalja s dobro riješenim toplinskim mostovima
32.	Rubni završetak ravnog krova - nadozid visine < 100 cm - rješenje s oblaganjem cijelog nadozida toplinskom izolacijom	
33.	Rubni završetak ravnog krova - nadozid visine ≥ 100 cm - rješenje s obostranim oblaganjem nadozida toplinskom izolacijom	



Redni broj	Naziv detalja	Grafički prikaz detalja s dobro riješenim toplinskim mostovima
20.	Prozor na poziciji djelomično ispred vanjske ravnine masivnog dijela zida	
21.	Prozor na poziciji vanjske ravnine masivnog dijela zida	
22.	Prozor na poziciji iza vanjske ravnine masivnog dijela zida	



# Aktualni Tehnički propis i pristup proračunu toplinskih mostova (točkastih i linijskih)

## Konkretni primjer obiteljske kuće

TT sustav – dizalica topline zrak/voda (podno grijanje) + električni bojler + priprema za PV

- Korekcija 0,05 W/m<sup>2</sup>K (?):

Paušalni dodatak UTM=0,10 [W/(m<sup>2</sup>K)]  
 Paušalni dodatak UTM=0,05 [W/(m<sup>2</sup>K)]  
 Paušalni dodatak UTM=0,02 [W/(m<sup>2</sup>K)]  
 Paušalni dodatak UTM=0,01 [W/(m<sup>2</sup>K)]

Paušalni dodatak u iznosu od UTM = 0,05 [W/(m<sup>2</sup>K)] se koristi kod novih i rekonstruiranih zgrada ukoliko su toplinski mostovi izrađeni u skladu s prijedlozima iz Tehničkog propisa o racionalnoj uporabi energije i toplinskoj zaštiti u zgradama, prilog D, te za to postoji dokumentacija kojom se prikazuju rješenja. U slučaju da rješenja toplinskih mostova nisu izrađena prema „prilogu D“, potrebno je provesti izračun točkastih toplinskih mostova i barem jednostavni izračun toplinskih mostova (svi linijski toplinski mostovi), te priložiti dokaze o izračunu.

Rezultati proračuna potrebe toplinske energije za grijanje i toplinske energije za hlađenje				Osvježi satni proračun
A [m <sup>2</sup> ]	654,32	f <sub>o</sub> [m <sup>-1</sup> ]	0,87	
A <sub>k</sub> [m <sup>2</sup> ]	159,69	A <sub>k'</sub> [m <sup>2</sup> ]	159,69	
V <sub>e</sub> [m <sup>3</sup> ]	751,50			
Q <sub>H,nd</sub> [kWh/a]	6434,89			
Q'' <sub>H,nd</sub> [kWh/m <sup>2</sup> a]	40,30	Q'' <sub>H,nd</sub> (max) [kWh/m <sup>2</sup> a]	67,72	ZADOVOLJAVA
Q <sub>C,nd</sub> [kWh/a]	1383,92			
Q'' <sub>C,nd</sub> [kWh/m <sup>2</sup> a]	8,67	Q'' <sub>C,nd</sub> (max) [kWh/m <sup>2</sup> a]	50,00	ZADOVOLJAVA
E <sub>del</sub> [kWh/a]	4799,57			
E'' <sub>del</sub> [kWh/(m <sup>2</sup> a)]	30,06			
E <sub>prim</sub> [kWh/a]	7746,50			
E'' <sub>prim</sub> [kWh/(m <sup>2</sup> a)]	48,51	E'' <sub>prim</sub> (max) [kWh/(m <sup>2</sup> a)]	45,00	NE ZADOVOLJAVA
H' <sub>tr,adj</sub> [W/m <sup>2</sup> K]	0,27	H' <sub>tr,adj</sub> (max) [W/m <sup>2</sup> K]	0,47	ZADOVOLJAVA
H <sub>tr,adj</sub> [W/K]	173,68			
H <sub>ve,adj</sub> [W/K]	44,96			
Q <sub>l</sub> [kWh]	17691,73	Q <sub>s</sub> [kWh]	5753,48	
Q <sub>i</sub> [kWh]	7805,77	Q <sub>g</sub> [kWh]	13559,26	



Lepisani „Z“ ako zgrade zadovoljavaju zahtjeve za zgrade gotovo nulte energije propisane važećim TRULETTE<sup>2</sup>. Pojedinačno zaštitic, kulturno dobro/unutar zaštitic, kult-povijes. celine

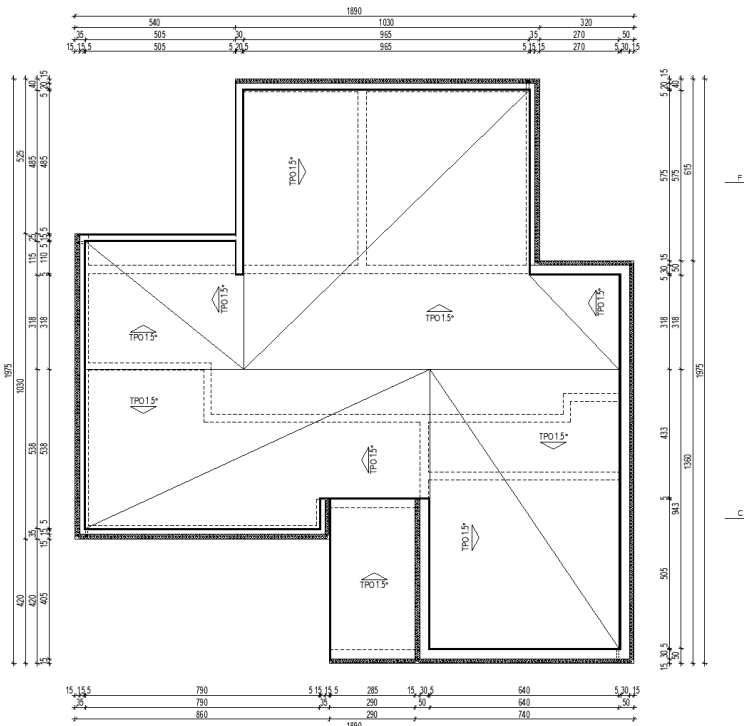
Specifična godišnja potreba za grijanje i toplinsku energiju za grijanje Q'' <sub>H,nd</sub> [kWh/(m <sup>2</sup> a)]	B 36,63	Specifična godišnja primarna energija E <sub>prim</sub> [kWh/(m <sup>2</sup> a)]	A 47,08						
									
Specificna godišnja emisija CO <sub>2</sub> [kg/a]	0	25	50	75	100	125	150	175	200

# Aktualni Tehnički propis i pristup proračunu toplinskih mostova (točkastih i linijskih)

## Konkretni primjer obiteljske kuće

TT sustav – dizalica topline zrak/voda (podno grijanje) + električni bojler + priprema za PV

- Proračun u skladu s HRN EN ISO 14683:



Brzi unos

Veza vanjskog zida i stropova (ravnih krovova)

Duljina: 53,50   $\Psi_e$    $\Psi_{oi}$    $\Psi_i$

Toplinski most

Osnovni podaci o toplinskim mostovima

# 1  
Zona Ne  
Konsolički unos  $\Psi$   
Tip veze  
Tip toplinskog mosta  $\Psi$   
 $e = 1,300$   
 $i_{oi} = 1,000$   
 $i_{oi} = 1,000$

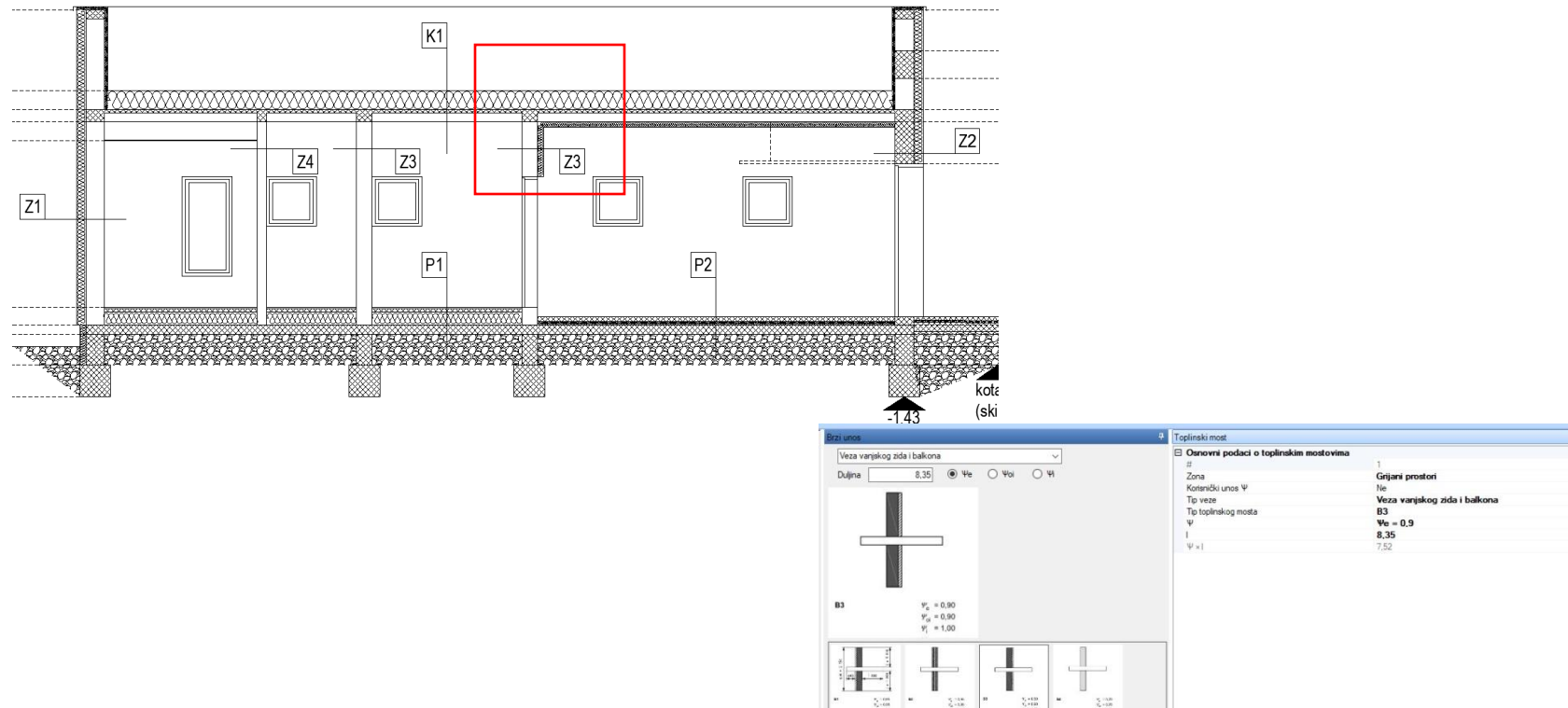
R9  $\Psi_e = -0,05$   
 $\Psi_{oi} = 0,15$   
 $\Psi_i = 0,15$

# Aktualni Tehnički propis i pristup proračunu toplinskih mostova (točkastih i linijskih)

Konkretni primjer obiteljske kuće

TT sustav – dizalica topline zrak/voda (podno grijanje) + električni bojler + priprema za PV

- Proračun u skladu s HRN EN ISO 14683:

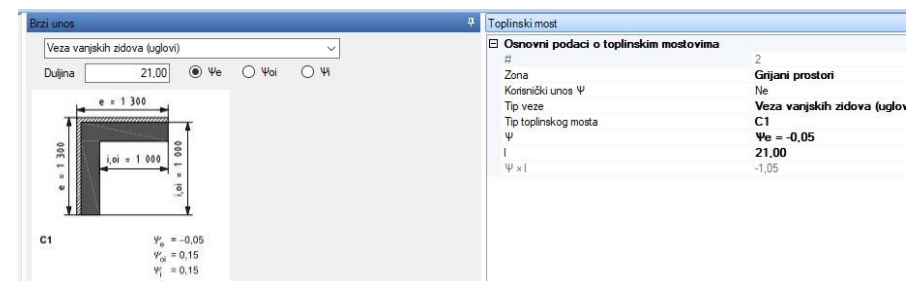
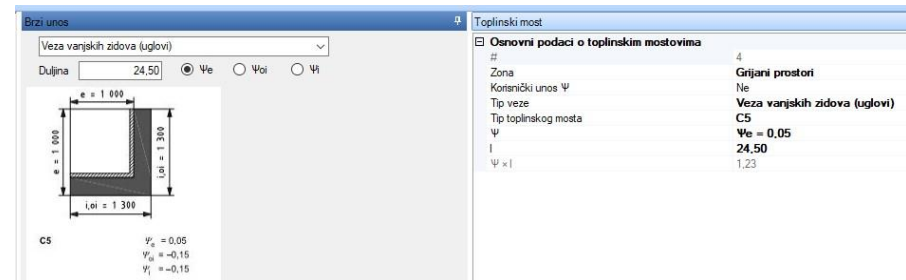
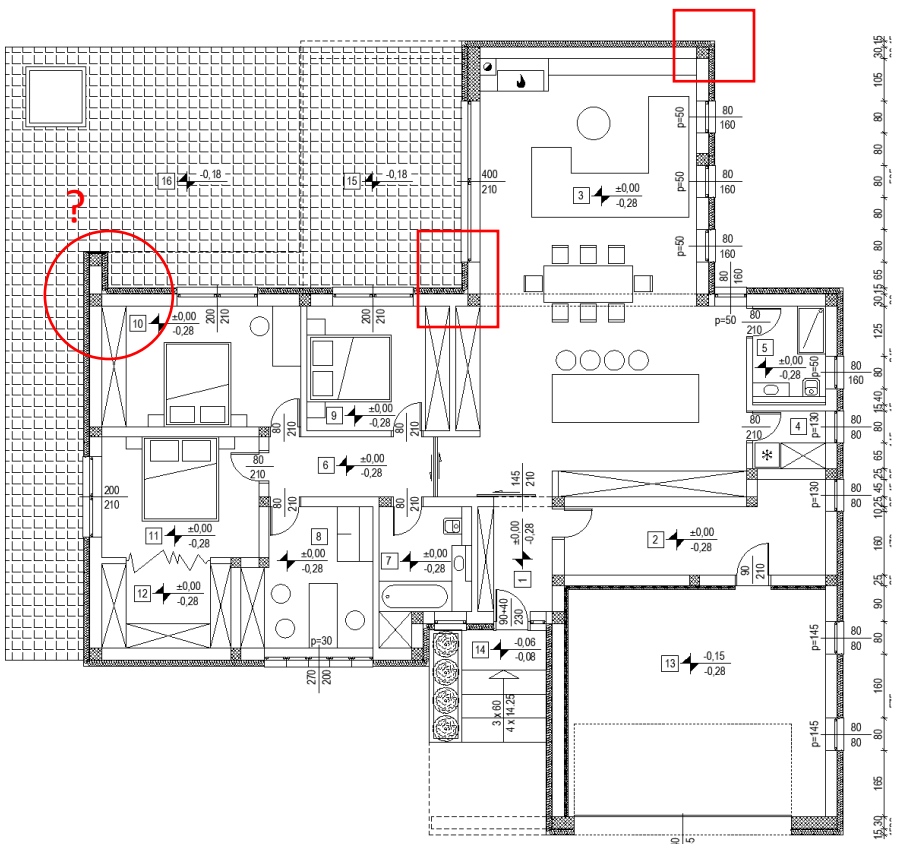


# Aktualni Tehnički propis i pristup proračunu toplinskih mostova (točkastih i linijskih)

## Konkretni primjer obiteljske kuće

TT sustav – dizalica topline zrak/voda (podno grijanje) + električni bojler + priprema za PV

- Proračun u skladu s HRN EN ISO 14683:



# Aktualni Tehnički propis i pristup proračunu toplinskih mostova (točkastih i linijskih)

## Konkretni primjer obiteljske kuće

TT sustav – dizalica topline zrak/voda (podno grijanje) + električni bojler + priprema za PV

- Proračun u skladu s HRN EN ISO 14683:

Brzi unos

Veza vanjskog zida i podova

Duljina    $\Psi_e$    $\Psi_{oi}$    $\Psi_i$

IF1  $\Psi_e = 0,00$   $\Psi_{oi} = 0,00$   $\Psi_i = 0,10$

Toplinski most

Osnovni podaci o toplinskim mostovima

#	Zona	Grijani prostori
1	Korisnički unos $\Psi$	Ne
	Tip veze	Veza vanjskog zida i podova
	Tip toplinskog mosta	IF1
	$\Psi$	$\Psi_e = 0$
	I	198,50
	$\Psi \times I$	0,00

Uzeto u obzir prilikom proračuna prema  
HRN EN 13370

Toplinski mostovi

#	Tip veze	Tip mosta	$\Psi$	I	$\Psi \times I$	
1	Veza vanjskog zida i balkona	B3	$\Psi_e = 0,9$	8,35	7,52	✓
2	Veza vanjskih zidova (uglovi)	C1	$\Psi_e = -0,05$	21,00	-1,05	✓
3	Veza vanjskog zida i stropova (ravnih krovova)	R9	$\Psi_e = -0,05$	60,35	-3,02	✓
4	Veza vanjskih zidova (uglovi)	C5	$\Psi_e = 0,05$	24,50	1,23	✓
5	Veza vanjskog zida i unutarnjih zidova	IW1	$\Psi_e = 0$	22,40	0,00	✓
7	Veza vanjskog zida i stolarije	W1	$\Psi_e = 0$	53,80	0,00	✓

Brzi unos

Veza vanjskog zida i stolarije

Duljina    $\Psi_e$    $\Psi_{oi}$    $\Psi_i$

W1  $\Psi_e = 0,00$   $\Psi_{oi} = 0,00$   $\Psi_i = 0,00$

Toplinski most

Osnovni podaci o toplinskim mostovima

#	Zona	Grijani prostori
7	Korisnički unos $\Psi$	Ne
	Tip veze	Veza vanjskog zida i stolarije
	Tip toplinskog mosta	W1
	$\Psi$	$\Psi_e = 0$
	I	53,80
	$\Psi \times I$	0,00

?

# Aktualni Tehnički propis i pristup proračunu toplinskih mostova (točkastih i linijskih)

## Konkretni primjer obiteljske kuće

TT sustav – dizalica topline zrak/voda (podno grijanje) + električni bojler + priprema za PV

- Proračun u skladu s HRN EN ISO 14683:



**ZAKLJUČAK: rezultat povoljniji u odnosu na korekciju za 0,05 W/m<sup>2</sup>K  
za 15,2%!**

# Aktualni Tehnički propis i pristup proračunu toplinskih mostova (točkastih i linijskih)

## Konkretni primjer obiteljske kuće

TT sustav – dizalica topline zrak/voda (podno grijanje) + električni bojler + priprema za PV

Korekcije za 0,02 W/m<sup>2</sup>K / 0,01 W/m<sup>2</sup>K

- Paušalni dodatak UTM=0,10 [W/(m<sup>2</sup>K)]
- Paušalni dodatak UTM=0,02 [W/(m<sup>2</sup>K)]
- Paušalni dodatak UTM=0,05 [W/(m<sup>2</sup>K)]
- Paušalni dodatak UTM=0,01 [W/(m<sup>2</sup>K)]

Paušalni dodatak UTM=0,02 W/m<sup>2</sup>K koristi se isključivo kod novih zgrada koje zadovoljavaju uvjete za nZEB i/ili je vrijednost koeficijenta prolaska topline građevnih dijelova vanjske ovojnice na kojima se nalaze toplinski mostovi  $U \leq 0,20$  (W/m<sup>2</sup>K). Isti nije propisan Tehničkim propisom o racionalnoj uporabi energije i toplinskoj zaštiti u zgradama (kraće Propisom), ali se prema Autoru programa temeljem brojnih provjera proračuna, stručnih analiza i provedenih ispitivanja pokazalo da je primjena istog na strani sigurnosti (viša, nepovoljnija vrijednost u odnosu na detaljan proračun u skladu s normama propisanim spomenutim Propisom). Uvjet je da su toplinski mostovi projektirani i izvedeni u skladu s predlozima iz Propisa, prilog D, odnosno da se primjenjuju certificirani, tipski prekidi toplinskih mostova.

Rezultati proračuna potrebne toplinske energije za grijanje i toplinske energije za hlađenje				Osvježi satni proračun
A [m <sup>2</sup> ]	654,32	Io [m <sup>-1</sup> ]	0,87	
Ak [m <sup>2</sup> ]	159,69	Ak' [m <sup>2</sup> ]	159,69	
Ve [m <sup>3</sup> ]	751,50			
Q <sub>H,nd</sub> [kWh/a]	5676,95			
Q <sup>"</sup> <sub>H,nd</sub> [kWh/m <sup>2</sup> a]	35,55	Q <sup>"</sup> <sub>H,nd</sub> (max) [kWh/m <sup>2</sup> a]	67,72	ZADOVOLJAVA
Q <sub>C,nd</sub> [kWh/a]	1417,52			
Q <sup>"</sup> <sub>C,nd</sub> [kWh/m <sup>2</sup> a]	8,88	Q <sup>"</sup> <sub>C,nd</sub> (max) [kWh/m <sup>2</sup> a]	50,00	ZADOVOLJAVA
E <sub>del</sub> [kWh/a]	4600,79			
E <sup>"</sup> <sub>del</sub> [kWh/m <sup>2</sup> a]	28,81			
E <sub>prim</sub> [kWh/a]	7425,67			
E <sup>"</sup> <sub>prim</sub> [kWh/m <sup>2</sup> a]	46,50	E <sup>"</sup> <sub>prim</sub> (max) [kWh/m <sup>2</sup> a]	45,00	NE ZADOVOLJAVA
H <sub>tr,adj</sub> [W/m <sup>2</sup> K]	0,25	H <sub>tr,adj</sub> (max) [W/m <sup>2</sup> K]	0,47	ZADOVOLJAVA
H <sub>ve,adj</sub> [W/K]	161,62			
H <sub>ve,adj</sub> [W/K]	44,99			
Q <sub>l</sub> [kWh]	16734,25	Q <sub>s</sub> [kWh]	5753,48	
Q <sub>g</sub> [kWh]	7805,77	Q <sub>g</sub> [kWh]	13559,26	

Razlika u odnosu na „detaljan“  
proračun: > 3,9%

# Aktualni Tehnički propis i pristup proračunu toplinskih mostova (točkastih i linijskih)

## Konkretni primjer obiteljske kuće

TT sustav – dizalica topline zrak/voda (podno grijanje) + električni bojler + priprema za PV

### Korekcije za 0,02 W/m<sup>2</sup>K / 0,01 W/m<sup>2</sup>K

- Paušalni dodatak UTM=0,10 [W/(m<sup>2</sup>K)]
- Paušalni dodatak UTM=0,02 [W/(m<sup>2</sup>K)]
- Paušalni dodatak UTM=0,05 [W/(m<sup>2</sup>K)]
- Paušalni dodatak UTM=0,01 [W/(m<sup>2</sup>K)]

Paušalni dodatak UTM=0,01 W/m<sup>2</sup>K koristi se isključivo kod novih zgrada koje zadovoljavaju uvjete za pasivne zgrade i/ili je vrijednost koeficijenta prolaska topline građevnih dijelova vanjske ovojnica na kojima se nalaze toplinski mostovi  $U \leq 0,15$  (W/m<sup>2</sup>K). Isti nije propisan Tehničkim propisom o racionalnoj uporabi energije i toplinskoj zaštiti u zgradama (kraće Propisom), ali se prema Autoru programa temeljem brojnih provjera proračuna, stručnih analiza i provedenih ispitivanja pokazalo da je primjena istog na strani sigurnosti (viša, nepovoljnija vrijednost u odnosu na detaljan proračun u skladu s normama propisanim spomenutim Propisom). Uvjet je da su toplinski mostovi projektirani i izvedeni u skladu s prijedlozima iz Propisa, prilog D, odnosno da se primjenjuju certificirani, tipski prekidi toplinskih mostova.

Rezultati proračuna potrebne toplinske energije za grijanje i toplinske energije za hlađenje

Osvježi satni proračun

A [m <sup>2</sup> ]	654,32	f <sub>0</sub> [m <sup>-1</sup> ]	0,87	
A <sub>k</sub> [m <sup>2</sup> ]	159,69	A <sub>k'</sub> [m <sup>2</sup> ]	159,69	
V <sub>e</sub> [m <sup>3</sup> ]	751,50			
Q <sub>H,nd</sub> [kWh/a]	5422,12			
Q <sup>"</sup> <sub>H,nd</sub> [kWh/m <sup>2</sup> a]	33,95	Q <sup>"</sup> <sub>H,nd</sub> (max) [kWh/m <sup>2</sup> a]	67,72	ZADOVOLJAVA
Q <sub>C,nd</sub> [kWh/a]	1429,34			
Q <sup>"</sup> <sub>C,nd</sub> [kWh/m <sup>2</sup> a]	8,95	Q <sup>"</sup> <sub>C,nd</sub> (max) [kWh/m <sup>2</sup> a]	50,00	ZADOVOLJAVA
E <sub>del</sub> [kWh/a]	4532,62			
E <sup>"</sup> <sub>del</sub> [kWh/(m <sup>2</sup> a)]	28,38			
E <sub>prim</sub> [kWh/s]	7315,65			
E <sup>"</sup> <sub>prim</sub> [kWh/(m <sup>2</sup> a)]	45,81	E <sup>"</sup> <sub>prim</sub> (max) [kWh/(m <sup>2</sup> a)]	45,00	NE ZADOVOLJAVA
H <sub>tr,adj</sub> [W/m <sup>2</sup> K]	0,24	H <sub>tr,adj</sub> (max) [W/m <sup>2</sup> K]	0,47	ZADOVOLJAVA
H <sub>tr,adj</sub> [W/K]	157,60			
H <sub>ve,adj</sub> [W/K]	44,99			
Q <sub>l</sub> [kWh]	16415,09	Q <sub>s</sub> [kWh]	5753,48	
Q <sub>i</sub> [kWh]	7805,77	Q <sub>g</sub> [kWh]	13559,26	

Razlika < 0,7%

Ova korekcija se niti ne bi koristila jer su vrijednosti U više od 0,15 W/m<sup>2</sup>K!

# Aktualni Tehnički propis i pristup proračunu toplinskih mostova (točkastih i linijskih)

## ZAKLJUČAK

Korištenjem korekcija od 0,02 W/m<sup>2</sup>K, odnosno, u iznimnim slučajevima 0,01 W/m<sup>2</sup>K smo i dalje u odnosu na proračun prema HRN EN 14683 na strani sigurnosti i kod novih zgrada na razini glavnog projekta nema potrebe za izradom detaljnih proračuna.

Isti su dobro došli kod analize kritičnih dijelova, odnosno razrade prilikom izrade izvedbenih projekata:

### Članak 68.

(1) Izvedbeni projekt zgrade u projektima arhitektonske ili građevinske struke sadrži grafičke prikaze karakterističnih detalja i opise pojedinih dijelova zgrade koji imaju utjecaja na ispunjavanje propisanih uvjeta u pogledu racionalne uporabe energije i toplinske zaštite zgrade:

- za područje potencijalnih toplinskih mostova,
- za sprječavanje pojave unutrašnje ili vanjske površinske kondenzacije na toplinskim mostovima,
- za osiguravanje minimalne zrakopropusnosti spojnica između građevnih dijelova zgrade i na mjestima prodora instalacijskih kanala i vodova.

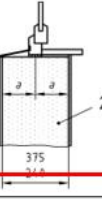
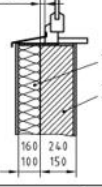
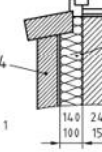
# Aktualni Tehnički propis i pristup proračunu toplinskih mostova (točkastih i linijskih)

**KI EXPERT PLUS - nova opcija za proračun toplinskih mostova – vlastiti unos vrijednosti!**



DIN 4108 Bl 2:2006-03

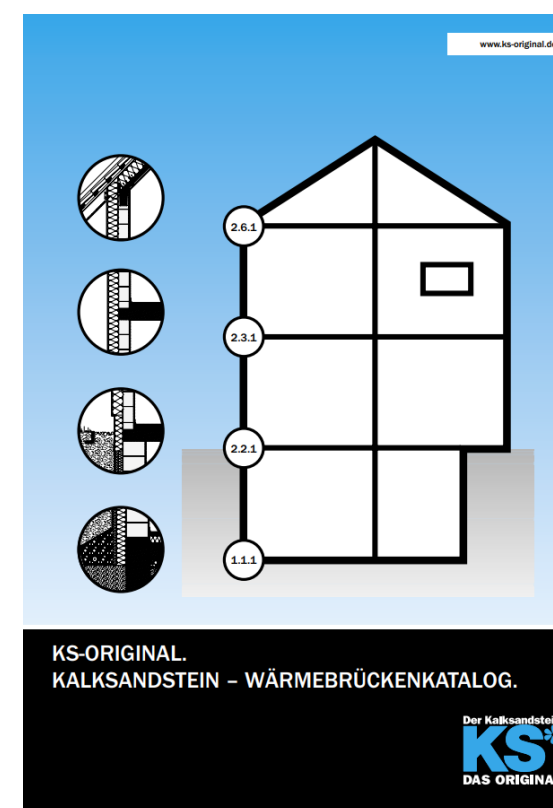
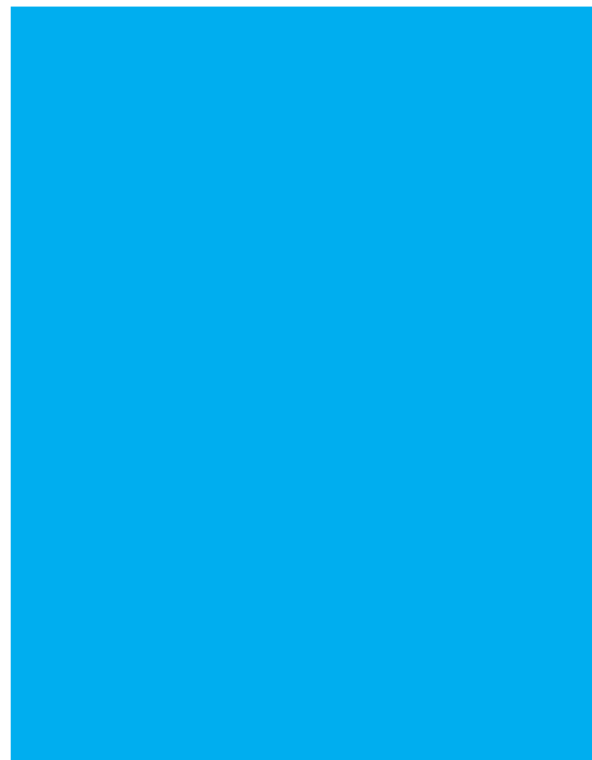
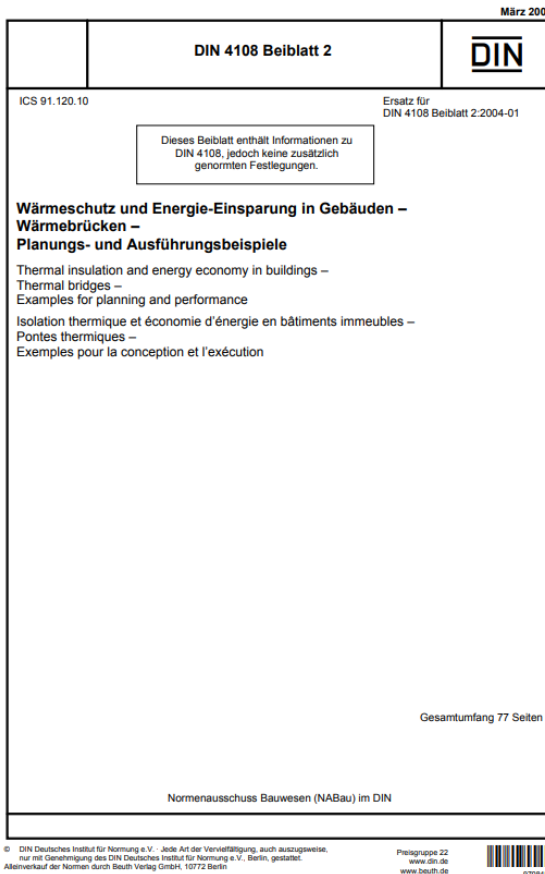
Tabelle 4 (fortgesetzt)

Bild	Ausführungsart	Darstellung für den Nachweis der Gleichwertigkeit nach 3.5, a) und b) (Maße in Millimeter)	Bemerkungen	Referenzwert für $\psi$ für den Nachweis der Gleichwertigkeit nach 3.5, c) und d)
<b>Fensterbrüstung</b>				
42	monolithisches Mauerwerk		Der Referenzwert für $\psi$ ist für mittigen Einbau angegeben. Gilt analog für den Fall, dass die Lage des Fensters im mittleren Drittel der Wand ist. Die Fuge zwischen Blendrahmen und Baukörper ist mit Dämmstoff ( $\geq 10$ mm) ausgefüllt.	$\leq 0,07 \text{ W/(m} \cdot \text{K)}$
43	außen-gedämmtes Mauerwerk		Die Fuge zwischen Blendrahmen und Baukörper ist mit Dämmstoff ( $\geq 10$ mm) ausgefüllt.	$\leq 0,14 \text{ W/(m} \cdot \text{K)}$
44	kerngedämmtes Mauerwerk – Fensterstock vor der Innenschale		Varianten 1	$\leq 0,04 \text{ W/(m} \cdot \text{K)}$

# Aktualni Tehnički propis i pristup proračunu toplinskih mostova (točkastih i linijskih)

Izvori za vrijednosti:

- Specijalizirani softveri za proračun
- Norme – ranije spomenute
  - Ili:



# Aktualni Tehnički propis i pristup proračunu toplinskih mostova (točkastih i linijskih)

Nova opcija za proračun toplinskih mostova – vlastiti unos vrijednosti!

DIN 4108

Tabelle 4 (fortgesetzt)				
Bild	Ausführungsart	Darstellung für den Nachweis der Gleichwertigkeit nach 3.5, a) und b) (Maße in Millimeter)	Bemerkungen	Referenzwert für $\psi$ für den Nachweis der Gleichwertigkeit nach 3.5, c) und d)
<b>Keller</b>				
4	außengedämmtes Mauerwerk – Streifengründung – innengedämmt		—	$\psi \leq 0,30 \text{ W}/(\text{m} \cdot \text{K})$
5	außengedämmtes Mauerwerk – Streifengründung – innen- und außengedämmt		—	$\psi \leq 0,40 \text{ W}/(\text{m} \cdot \text{K})$

Tabelle 4 (fortgesetzt)				
Bild	Ausführungsart	Darstellung für den Nachweis der Gleichwertigkeit nach 3.5, a) und b) (Maße in Millimeter)	Bemerkungen	Referenzwert für $\psi$ für den Nachweis der Gleichwertigkeit nach 3.5, c) und d)
<b>Keller</b>				
6	außengedämmtes Mauerwerk – Flächengründung – innen- und außengedämmt		—	$\leq 0,04 \text{ W}/(\text{m} \cdot \text{K})$
7	außengedämmter Stahlbeton – Streifenfundament – innengedämmt		—	$\leq 0,45 \text{ W}/(\text{m} \cdot \text{K})$
8	außengedämmter Stahlbeton – Streifenfundament – innen- und außengedämmt		—	$\leq 0,50 \text{ W}/(\text{m} \cdot \text{K})$

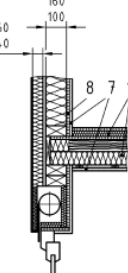
# Aktualni Tehnički propis i pristup proračunu toplinskih mostova (točkastih i linijskih)

Nova opcija za proračun toplinskih mostova – vlastiti unos vrijednosti!

## DIN 4108

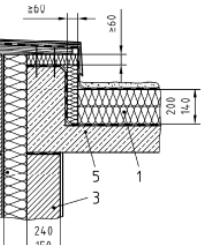
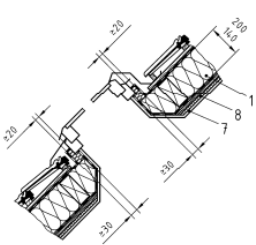
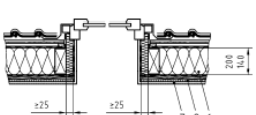
DIN 4108 Bbl 2:2006-03

Tabelle 4 (fortgesetzt)

Bild	Ausführungsart	Darstellung für den Nachweis der Gleichwertigkeit nach 3.5, a) und b) (Maße in Millimeter)	Bemerkungen	Referenzwert für $\psi$ für den Nachweis der Gleichwertigkeit nach 3.5, c) und d)
<b>Rolladenkasten</b>				
64	Holzbauart	 <p>Gilt analog auch für beliebige Anordnungen/Verteilung des Dämmstoffes im Rolladenkasten, sofern die Mindestanforderungen nach DIN 4108-2 und der Referenzwert für <math>\psi</math> eingehalten sind.</p> <p>Freier Panzerauslassschlitz <math>\leq 10</math> mm</p>	<p><math>\leq 0,30 \text{ W}/(\text{m} \cdot \text{K})</math></p>	

DIN 4108 Bbl 2:2006-03

Tabelle 4 (fortgesetzt)

Bild	Ausführungsart	Darstellung für den Nachweis der Gleichwertigkeit nach 3.5, a) und b) (Maße in Millimeter)	Bemerkungen	Referenzwert für $\psi$ für den Nachweis der Gleichwertigkeit nach 3.5, c) und d)
<b>Flachdach</b>				
89	kerngedämmtes Mauerwerk	 <p>Gilt bei gleichen Dämmtöffdicken auch für den Holzbau. Gilt analog für Umkehrdächer, wobei der Zuschlag <math>\Delta U_1</math> aus DIN EN ISO 6946 [6] zum Wärmedurchgangskoeffizienten beim Gleichwertigkeitsnachweis nach 3.5 unberücksichtigt bleibt.</p>	<p><math>\leq 0,14 \text{ W}/(\text{m} \cdot \text{K})</math></p>	
<b>Dachflächenfenster</b>				
90	Anschluss oben und unten		<p>—</p>	<p><math>\leq 0,16 \text{ W}/(\text{m} \cdot \text{K})</math></p>
91	Anschluss seitlich		<p>—</p>	<p><math>\leq 0,11 \text{ W}/(\text{m} \cdot \text{K})</math></p>

# Aktualni Tehnički propis i pristup proračunu toplinskih mostova (točkastih i linijskih)

Nova opcija za proračun toplinskih mostova – vlastiti unos vrijednosti!

## DIN 4108

DIN 4108 Bbl 2:2006-03				
Tabelle 4 (fortgesetzt)				
Bild	Ausführungsart	Darstellung für den Nachweis der Gleichwertigkeit nach 3.5, a) und b) (Maße in Millimeter)	Bemerkungen	Referenzwert für $\psi$ für den Nachweis der Gleichwertigkeit nach 3.5, c) und d)
<b>Kellerdecke</b>				
94	Innenwand – innengedämmt	<p>Für Decken gegen Außenluft nicht anwendbar, da <math>f_{RSD} \leq 0,70</math>.</p>		$\leq 0,56 \text{ W/(m} \cdot \text{K)}$
95	Innenwand/ Keller	<p><math>\psi \leq 0,47 \text{ W/(m} \cdot \text{K)}</math></p>	—	

2.6 Einschalige Außenwand mit WDVS/geneigtes Dach  
2.6.1 Einschalige Außenwand mit WDVS/geneigtes Dach, Traufe

Tafel 2.6.1: Längenebezogener Wärmeverdunghskoeffizient  $\psi$  [W/(m·K)]

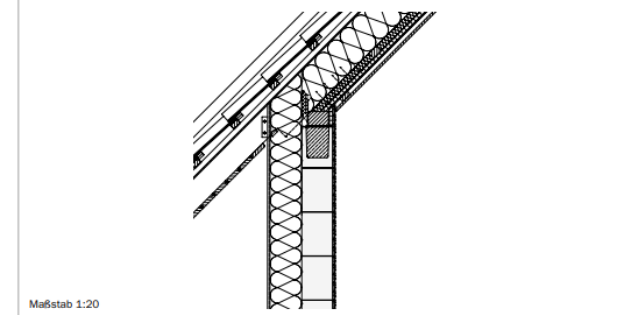
		Dicke der Deckendämmung $d_0$ [cm]			
		20	24	28	34
	10	-0,016	-0,026	-0,036	-0,052
	14	-0,010	-0,016	-0,022	-0,032
	18	-0,009	-0,012	-0,015	-0,022
	24	0,011	-0,011	0,012	0,015
	30	0,015	0,013	0,013	0,013

Hinweise

- Die Dicke  $d_0$  der Dachdämmung bezieht sich auf die Gesamtdicke aus Zwischensparrendämmung und gedämmter Unter-/Überkonstruktion.
- Gilt für alle Dicken und alle Rohdichteklassen des KS-Mauerwerks.

Ausführung

KS-Detaillsammlung - Detail 2.6.1



# Aktualni Tehnički propis i pristup proračunu toplinskih mostova (točkastih i linijskih)

## Nova opcija za proračun toplinskih mostova – TOČKASTI GUBICI

HZN • KNAUF INSULATION d.o.o.  
Račun br.: 575399 • 2009-08-12  
Zabranjeno umnožavanje u bilo kojem obliku i na bilo koji način bez pisane dozvole HZN-a.

**HRVATSKA NORMA**  
**HRN EN ISO 6946**

ICS: 91.060.01;  
91.120.10

Druge izdanje,  
prosinac 2008.

Zamjenjuje HRN EN ISO 6946:2002,  
HRN EN ISO 6946:2002/A1:2008

**Gradevni dijelovi i građevni dijelovi zgrade – Toplinski otpor i koefficijent prolaska topline – Metoda proračuna (ISO 6946:2007; EN ISO 6946:2007)**

Building components and building elements – Thermal resistance and thermal transmittance – Calculation method (ISO 6946:2007; EN ISO 6946:2007)

Na temelju članka 9. Zakona o normizaciji (Narodne novine br. 163/2003) Hrvatski zavod za norme na prijedlog tehničkog odbora HZN/TO 163/PO 2, *Toplinska izolacija; Toplinski proračun* i provedene rasprave prihvatio je europsku normu EN ISO 6946:2007 u izvorniku na engleskom jeziku kao hrvatsku normu. Obavijest o prihvatanju objavljena je u HZN Glasilu 6/2008 od 2008-12-31.

**Europska norma EN ISO 6946:2007 ima status hrvatske norme**

Hrvatska norma HRN EN ISO 6946:2008 istovjetna je europskoj normi EN ISO 6946:2007 i umnožena je uz dopuštenje CEN-a, rue de Stassart 36, B-1050 Brussels. Sva prava uporabe europske norme u bilo kojem obliku i na bilo koje načine u cijelom svijetu pridržava CEN te njegovi nacionalni članovi i nije ju dopušteno umnožavati bez izričitog pisanih dopuštenja Hrvatskog zavoda za norme koji predstavlja CEN.

Referencijski broj: HRN EN ISO 6946:2008 en

**EI HZN** Hrvatski zavod za norme  
Croatian Standards Institute

Zabranjeno je umnožavanje hrvatskih norma ili njihovih dijelova

*Algoritam za proračun potrebine en. za grijanje i hlađenje prema HRN EN 13790* Str. 66

### D.2 Ispравак за zračne šupljine

Za potrebe ovog dodatka, pojam „zračne šupljine“ se općenito odnosi na prostore zraka u toplinskoj izolaciji, ili između toplinske izolacije i susjedne konstrukcije koja postoji na konstrukciji zgrade, ali nije prikazana u detaljima. Mogu biti podijeljene u dvije osnovne kategorije:

- praznine, između ploča ili rola toplinske izolacije, ili između toplinske izolacije i konstruktivnih građevnih dijelova, u smjeru kretanja toplinskog toka;
- šupljine, u toplinskoj izolaciji ili između toplinske izolacije i konstrukcije, okomito na smjer kretanja toplinskog toka;

Tablica 3.D.1 (HRN EN Tablica D.1) Ispравак za zračne šupljine,  $\Delta U'$

Razina	Opis	$\Delta U'$ W/(m <sup>2</sup> K)
0	Nema zračnih šupljina, ili se radi o zračnim šupljinama koje su prisutne, ali nemaju značajan utjecaj na vrijednost koefficijenta prolaska topline.	0,00
1	Zračne šupljine povezuju toplu i hladnu stranu toplinske izolacije, ali pri tome ne uzrokuju protok zraka između tople i hladne strane toplinske izolacije.	0,01
2	Zračne šupljine povezuju topalu i hladnu stranu toplinske izolacije, zajedno sa šupljinama rezultiraju slobodnim protokom zraka između tople i hladne strane toplinske izolacije.	0,04

Ovaj ispravak se provodi u skladu s jednadžbom (D.3):

$$\Delta U_g = \Delta U' \left( \frac{R_i}{R_{T,h}} \right)^2 \quad [\text{W/m}^2\text{K}] \quad \text{HRN EN (D.3)}$$

gdje je:

$R_i$  - toplinski otpor sloja koji sadrži šupljine (m<sup>2</sup>K/W), prema točki 3.4.1;  
 $R_{T,h}$  - ukupan toplinski otpor građevnog dijela ignorirajući toplinska premošćivanja (m<sup>2</sup>K/W), prema točki 3.4.1;

### D.3 Ispравак za mehaničke pričvrstnice

Utjecaj pričvrstnica može biti procijenjen proračunom u skladu s HRN ISO 10211 kako bi dobili točkasti koefficijent prolaska topline,  $\chi$  kroz pričvrstnice. Ispравak koefficijenta prolaska topline je dan izrazom:

$$\Delta U_f = n_f \chi \quad [\text{W/m}^2\text{K}] \quad \text{HRN EN (D.4)}$$

gdje je

$n_f$  - broj pričvrstnica po kvadratnom metru (-).

# Aktualni Tehnički propis i pristup proračunu toplinskih mostova (točkastih i linijskih)

## Nova opcija za proračun toplinskih mostova – TOČKASTI GUBICI

### D.3 Ispravak za mehaničke pričvrstnice

Utjecaj pričvrstica može biti procijenjen proračunom u skladu s HRN ISO 10211 kako bi dobili točkasti koeficijent prolaska topline,  $\chi$  kroz pričvrstice. Ispravak koeficijenta prolaska topline je dan izrazom:

$$\Delta U_f = n_f \cdot \chi \quad [\text{W/m}^2\text{K}] \quad \text{HRN EN (D.4)}$$

gdje je

$n_f$  - broj pričvrstica po kvadratnom metru (-).

#### Tehnički podaci

Promjer pričvrstice	8 mm
Promjer tanjura	60 mm
Dubina bušenja rupe $h_1$	35 mm
Dubina sidrenja $h_2$	25 mm
Koeficijet točkastog prijenosa topline $\chi$	0,001 W/K
Kategorija korištenja ETA	A, B, C
Europsko tehničko dopuštenje	ETA-11/0192

#### D.3.2. Približan proračun

Ovaj podčlanak daje procjenu utjecaja pričvrstica, koji može biti uzet ukoliko pričvrstnice nisu uzeće u obzir nekom drugom metodom.

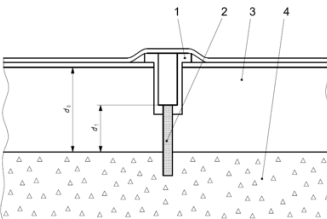
U slučaju kada kroz sloj toplinske izolacije prodiru pričvrstice, kao u slučaju dijelova zida, pričvrstice u ravnim krovovima ili kompozitnim sustavima panela, ispravak koeficijenta prolaska topline je dan izrazom:

$$\Delta U_f = \alpha \frac{\lambda_f A_f n_f}{d_0} \left( \frac{R_i}{R_{T,h}} \right)^2 \quad [\text{W/m}^2\text{K}] \quad \text{HRN EN (D.5)}$$

gdje je vrijednost koeficijenta  $\alpha$  dana:

$\alpha = 0,8$  ukoliko pričvrstica prolazi kroz cijeli sloj toplinske izolacije

$$\alpha = 0,8 \times \frac{d_1}{d_0} \text{ u slučaju upuštenje pričvrstice (slika ispod)}$$



$\lambda_f$  - toplinska provodljivost pričvrstnice ( $\text{W/mK}$ );

$n_f$  - broj pričvrstica po metru kvadratnom (-);

$A_f$  - plošina preseka jedne pričvrstice ( $\text{m}^2$ );

$d_0$  - debljina sloja toplinske izolacije kroz koju prolazi pričvrstica (m);

$d_1$  - duljina spojnica koja prolazi kroz sloj toplinske izolacije (m);

$R_{T,h}$  - ukupni toplinski otpor gradićnog dijela ne uzimajući u obzir utjecaj toplinskih ostava ( $\text{m}^2\text{K/W}$ ), prema 3.4.1.

# Aktualni Tehnički propis i pristup proračunu toplinskih mostova (točkastih i linijskih)

## Nova opcija za proračun toplinskih mostova – TOČKASTI GUBICI

U pogledu minimalne toplinske zaštite i najveće dopuštene vrijednosti koeficijenta prolaska U [W/m2K] (Članak 32., 50. i 60. Tehničkog propisa o racionalnoj uporabi energije i toplinskoj zaštiti u zgradama NN 128/2015), građevni dio:

**U = 0.123 [W/m2K] <= U max = 0.30 [W/m2K]**

**Zadovoljava**

Naziv materijala	$\lambda$ [W/mK]	d [cm]	R [m2K/W]
3.03 Vapneno-cementna žbuka	1,000	2,000	0,020
Leierthem 30 U+Z	0,149	30,000	2,013
Polimemo-cementno ljepilo	0,900	0,500	0,006
Knauf Insulation ploča za kontaktne fasade FKD-N Thermal	0,034	20,000	5,882
Polimemo-cementno ljepilo amirano staklenom mrežicom	0,900	0,500	0,006
Impregnacijski predpremaz	1,600	0,002	0,000
Silikonska završna žbuka	0,700	0,200	0,003
		Rsi =	0,130
		Rse =	0,040
		RT =	8,100

# Aktualni Tehnički propis i pristup proračunu toplinskih mostova (točkastih i linijskih)

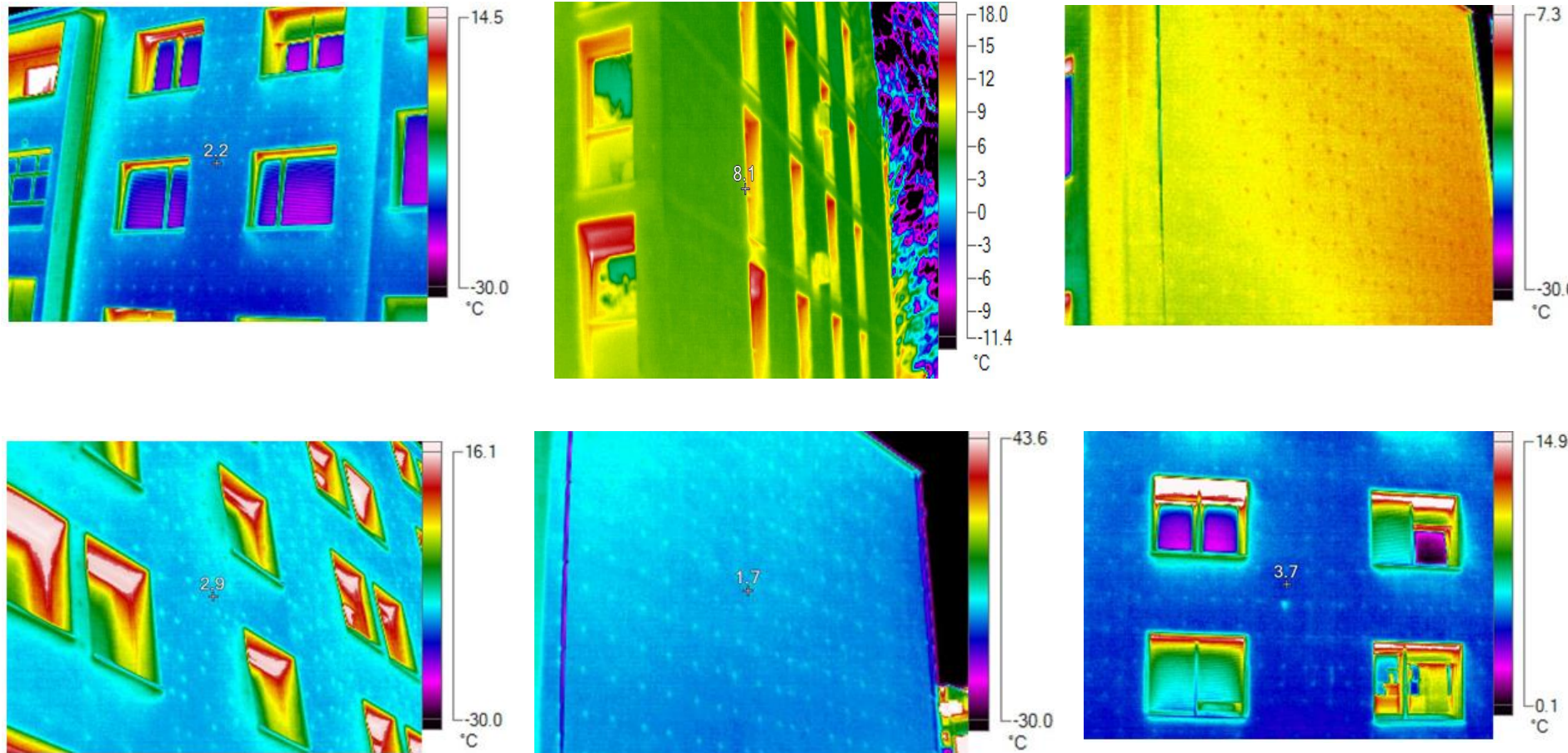
Nova opcija za proračun toplinskih mostova – TOČKASTI GUBICI

- Prema 6946 – isti rezultat:

<b>■ 05. Utjecaj mehaničkih pričvršnica</b>	
Pričvrstnice	Da
Tip pričvrstnice	Plastične
Postavljanje pričvršnica	Izolacija zida
Pokrivača (ronđala)	Ne
Korisnički unos $\chi$	Ne
rf	6
Pričvrstnica s upuštenim dijelom	Ne
d0	20,000
a	0,80
Promjer pričvrstnice	6,00
Af	0,000028
Korisnički unos lambde	Ne
$\chi_f$	4,50
R1	5,882
RTh	8,100
$\Delta U_f$	0,00
<b>■ 06. Nosači vjetrenih fasada</b>	
Nosači	Ne
Tip nosača,	
Pričvršćivanje fasade	
Broj nosača	0,0
Promjer nosača	0,00
Ploština presjeka nosača	0,000000
$\lambda$	

# Aktualni Tehnički propis i pristup proračunu toplinskih mostova (točkastih i linijskih)

## Nova opcija za proračun toplinskih mostova – TOČKASTI GUBICI



# Aktualni Tehnički propis i pristup proračunu toplinskih mostova (točkastih i linijskih)

## Nova opcija za proračun toplinskih mostova – TOČKASTI GUBICI

- Norma HRN EN 6946, annex D.3.2 daje približni proračun utjecaja toplinskog mosta ako pozajemo toplinsku provodljivost materijala tiple, ali je ujedno navedeno da se ne treba uzimati u obzir točkaste toplinske mostove ako je lambda materijala tiple manja od 1 W/mK.
- U KI Expertu je lambda tiple (u slučaju plastične tiple) 0,25 W/mK (vrijednost „obične“ plastike)
- Proizvođači deklariraju vrijednost točkastog koeficijenta prolaska topline,  $\chi$  [W/K] u vrijednosti od 0,001 W/K što je vjerojatno pravilnije jer je u skladu s normom HRN EN ISO 10211 i načelno ako se koristi ta vrijednost i pomnoži se s brojem tipli, dobivamo povećanje U-vrijednosti zida
- Ovdje se dakle radi o točkastim toplinskim mostovima koji se računaju prema izazu 14 (str 25) norme HRN EN ISO 10211 na osnovi L3D
- Cijela priča je vrlo slična kao za linijske toplinske mostove kada se definiraju prema istoj normi HRN EN ISO 10211, a i analogno proračunu za linijske toplinske mostove kada se koriste psi vrijednosti kako je definirano u HRN EN ISO 14683
- L3D predstavlja toplinski tok kroz građevne dijelove zgrade pri jediničnoj razlici temperature. Drugim riječima, analogan je Htr-u (transmisijskim toplinskim gubicima) kroz taj zid
- L3D se dobije 3D numeričkim proračunom (najčešće) te se uz poznate U-vrijednosti okolnih građ. dijelova i linijskih toplinskih mostova te njihove geometrije može prema izazu 14 iz norme 10211 dobiti  $\chi$  vrijednosti u [W/K].

# Aktualni Tehnički propis i pristup proračunu toplinskih mostova (točkastih i linijskih)

## Nova opcija za proračun toplinskih mostova – TOČKASTI GUBICI

– prema 10211:

□ 05. Utjecaj mehaničkih pričvršnica	
Pričvrstice	Da
Tip pričvrstnice	Plastične
Postavljanje pričvrstnica	Izolacija zida
Pokrívka (rondela)	Ne
Korisnički unos $\chi$	Da
$\chi$	0,001000
nf	6
$\Delta U_f$	0,01

U pogledu minimalne toplinske zaštite i najveće dopuštene vrijednosti koeficijenta prolaska  $U$  [W/m<sup>2</sup>K] (Članak 32., 50. i 60. Tehničkog propisa o racionalnoj uporabi energije i toplinskoj zaštiti u zgradama NN 128/2015), građevni dio:

**U = 0,129 [W/m2K] <= U max = 0,30 [W/m2K]**

Naziv materijala	$\lambda$ [W/mK]	d [cm]	R [m <sup>2</sup> K/W]
3.03 Vapreno-cementna žbuka	1,000	2,000	0,020
Leiertherm 30 U+Z	0,149	30,000	2,013
Polimemo-cementno ljeđilo	0,900	0,500	0,006
Knauf Insulation ploča za kontaktne fasade FKD-N Thermal	0,034	20,000	5,983
Polimemo-cementno ljeđilo amirano staklenom mrežicom	0,900	0,500	0,006
Impregnacijski predpremaz	1,600	0,002	0,000
Silikonska završna žbuka	0,700	0,200	0,003
			Rsi = 0,130
			Rse = 0,040
			RT = 8,100
			ΔU = 0,006

## Pogoršanje za gotovo 5%

# Aktualni Tehnički propis i pristup proračunu toplinskih mostova (točkastih i linijskih)

## Nova opcija za proračun toplinskih mostova – TOČKASTI GUBICI

– prema 10211:

Rješenje:

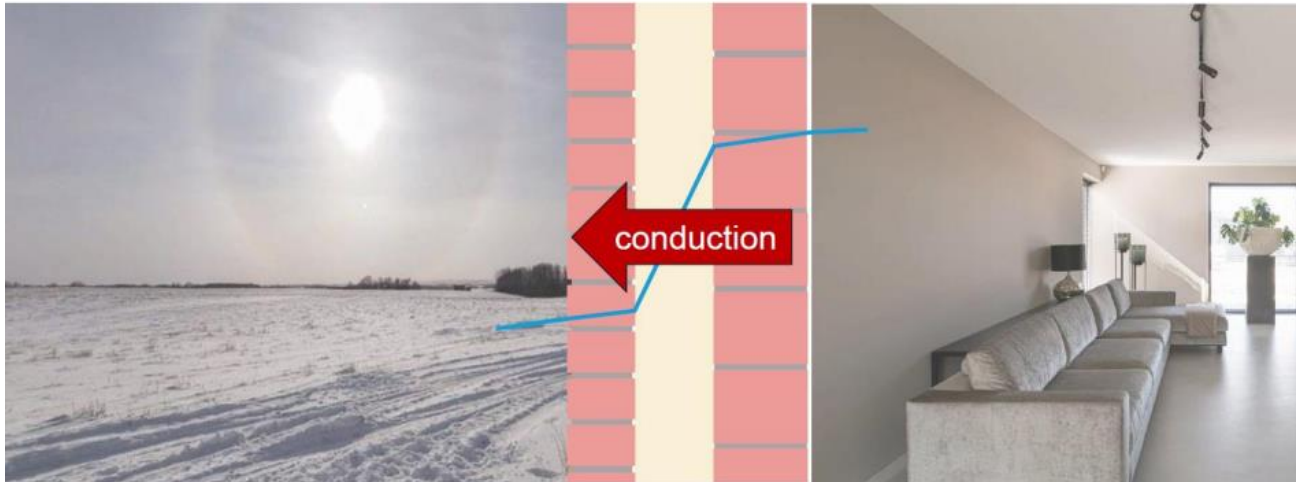
05. Utjecaj mehaničkih pričvrstica	
Pričvrstnice	Da
Tip pričvrstice	Plastične
Postavljanje pričvrstica	Izolacija zida
Pokrivka (rondela)	Da
Korisnički unos $\chi$	Da
$\chi$	0.001000
nf	6
$\Delta U_f$	0,00

U = 0,123 [W/m <sup>2</sup> K] <= U max = 0,30 [W/m <sup>2</sup> K]					Zadovoljava
Naziv materijala	$\lambda$ [W/mK]	d [cm]	R [m <sup>2</sup> K/W]		
3.03 Vapneno-cementna žbuka	1,000	2,000	0,020		
Leiertherm 30 U+Z	0,149	30,000	2,013		
Polimemo-cementno ljepilo	0,900	0,500	0,006		
Knauf Insulation ploča za kontaktne fasade FKD-N Thermal	0,034	20,000	5,882		
Polimemo-cementno ljepilo amirano staklenom mrežicom	0,900	0,500	0,006		
Impregnacijski predpremaz	1,600	0,002	0,000		
Silikonska završna žbuka	0,700	0,200	0,003		
				Rsi =	0,130
				Rse =	0,040
				RT =	8,100

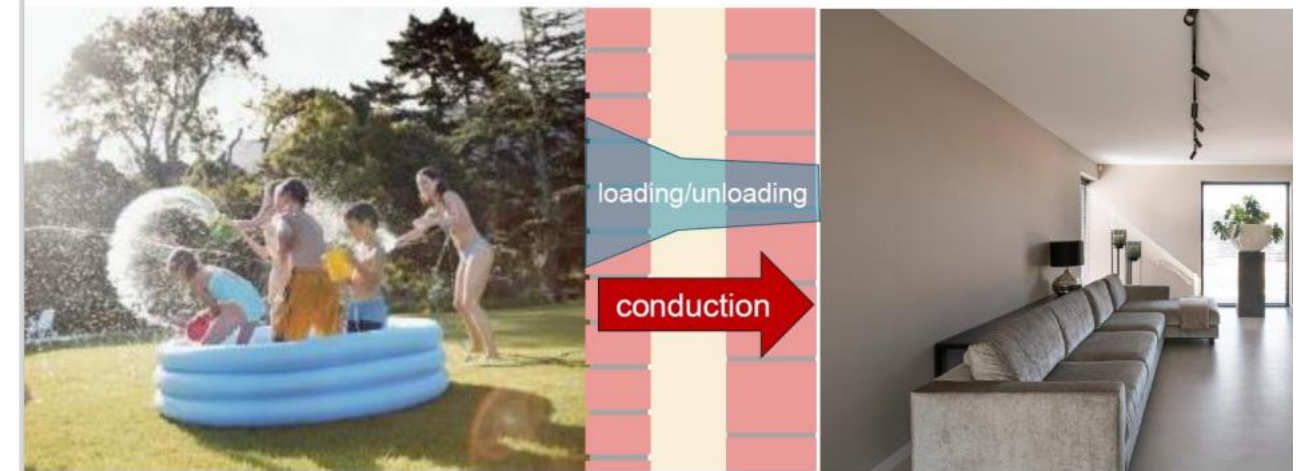
Osnove proračuna građevina s laganim konstrukcijama (montažne kuće, grijana potkrovlja) –toplinska stabilnost

## LJETNI PERIOD – SEZONA HLAĐENJA

Winter situation: quasi steady state



Summer situation: much more dynamic



# LJETNI PERIOD – SEZONA HLAĐENJA

## Diffusivity and effusivity

diffusivity  $a$  ( $\text{m}^2/\text{s}$ )

$$a = \lambda / \rho c$$

measure for the penetration depth

effusivity  $b$  ( $\text{J}/(\text{m}^2 \cdot \text{K} \cdot \text{s}^{1/2})$ )

$$b = (\lambda \cdot \rho \cdot c)^{1/2}$$

measure for the heat flow into the material

Material	$c$ [ $\text{J}/(\text{kg} \cdot \text{K})$ ]	$\rho$ [ $\text{kg}/\text{m}^3$ ]	$\lambda$ [ $\text{W}/(\text{m} \cdot \text{K})$ ]	$a$ [ $10^{-6} \text{ m}^2/\text{s}$ ]	$b$ [ $\text{J}/(\text{m}^2 \cdot \text{s}^{0.5} \cdot \text{K})$ ]
Metal	880	2700-12000	35-380	1.2-115.0	7000-36000
Brick	840	700-2000	0.3-1.1	0.5-0.7	380-1400
Polymer	1470	900-2200	0.1-0.5	0.06-0.20	400-900
Wood	1880	350-1000	0.1-0.2	0.10-0.15	250-600
Mineral wool	840	10-200	0.03-0.05	0.3-6.0	20-60
Synthetic foam	1470	10-60	0.02-0.04	0.3-30	20-40
Water	4200	1000	0.6	0.1	1600
Air	1000	1.25	0.025	21.0	30

### THERMAL DIFFUSIVITY OF DIFFERENT TYPES OF INSULATION



#### EPS with graphite

$\lambda$  0,031 W/mK  
 $\rho$  30 kg/m<sup>3</sup>  
 $C_p$  1464 J/kgK  
 $\alpha = 7,05 \cdot 10^{-7} \text{ m}^2/\text{s}$

**Glass mineral wool**  
 $\lambda$  0,034 W/mK  
 $\rho$  55 kg/m<sup>3</sup>  
 $C_p$  1030 J/kgK  
 $\alpha = 6,00 \cdot 10^{-7} \text{ m}^2/\text{s}$

**Rock mineral wool**  
 $\lambda$  0,036 W/mK  
 $\rho$  115 kg/m<sup>3</sup>  
 $C_p$  1030 J/kgK  
 $\alpha = 3,03 \cdot 10^{-7} \text{ m}^2/\text{s}$

**Wood fibers**  
 $\lambda$  0,038 W/mK  
 $\rho$  120 kg/m<sup>3</sup>  
 $C_p$  2400 J/kgK  
 $\alpha = 1,31 \cdot 10^{-7} \text{ m}^2/\text{s}$

## Thermal effusivity



floor temperature: 18°C  
body temperature: 32°C

### tiles      wooden floor

$\lambda$ (W/mK)	2.0	0.15
$\rho$ (kg/m <sup>3</sup> )	2200	400
$c$ (J/kg.K)	840	1880
$a$ ( $\text{m}^2/\text{s}$ )	$1.10^{-6}$	$2.10^{-7}$
$b$ ( $\text{J}/(\text{m}^2 \cdot \text{K} \cdot \text{s}^{1/2})$ )	1922	336
contact temperature	23.4°C	28.9°C

**Tehnički propis o racionalnoj uporabi energije i toplinskoj zaštiti u zgradama („Narodne novine“ broj 128/15, 70/18, 73/18, 86/18, 102/20)**

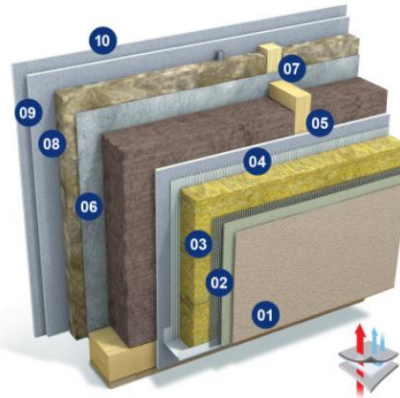
Važni (izabrani) detalji u pogledu fizike zgrade:

  Tipske montažne zgrade

    Članak 51.

Ako se zgrada izvodi prema tipskim projektima koji se primjenjuju na različitim lokacijama, kod proračuna dobitaka topline od sunčeva zračenja može se računati kao da su svi prozori te zgrade orijentirani prema istoku ili prema zapadu.

# Koeficijent prolaska topline; paropropusnost/zrakopropusnost i difuzija vodene pare

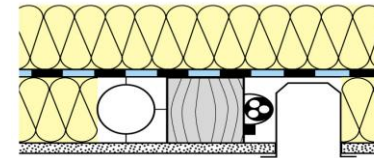


<b>01</b>	<b>Završni sloj fasade</b>	<b>0,20 cm</b>
<b>02</b>	Armirani sloj ljepila	0,50 cm
<b>03</b>	Fasadna izolacija (MW)	14,00 cm
<b>04</b>	Gk ploča	1,50 cm
<b>05</b>	Drvena potkonstrukcija/mineralna vuna (toplinska, zvučna, protupožarna izolacija)	16,00 cm
<b>06</b>	Parna brana/kočnica	0,02 cm
<b>07/08</b>	Drvena potkonstrukcija/mineralna vuna	6,00 cm
<b>09</b>	Gipskartonska ploča	0,60 cm
<b>10</b>	Gipskartonska ploča	

Koeficijent prolaska topline kroz izolaciju:  $U = 0,106 \text{ W/m}^2\text{K}$

Koeficijent prolaska topline uzimajući u obzir udio drvenog dijela:  $U = 0,120 \text{ W/m}^2\text{K}$

- Razlika ca 12%

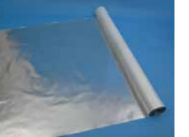


DIN 4108-7

# Koeficijent prolaska topline; paropropusnost/zrakopropusnost i difuzija vodene pare

## Paropropusnost/zrakopropusnost i difuzija vodene pare

**HOMESEAL LDS 100 AluPlus parna brana**



**PRIMJENA**

**OPIS**  
Posebna aluminizirana ojačana polietilenska parna brana visoke kvalitete s velikom površinskom napetostišću. Kao paronepropusni i zrakonepropusni sloj koristi se u različitim izolacijskim sustavima, najviše kod slabije provjetravanih loganih kosiš krovova, loganih vanjskih zidova i podova kod negrijanih pokrovova. Folija je izuzetno paronepropusna, stoga je uvijek koristimo s unutarnje (grijane) strane toplinske izolacije. Aluminizirana strana se okreće prema grijanom prostoru radi refleksije topline. Sve preklope treba zadržati preporučenim specijalnim brtvenim trakama.

Oznaka po HRN EN 13984:2013  
Izjava o svojstvima:  
AB100PCPR

Razred reakcije na požar: E  
Površinska masa: 90g/m<sup>2</sup>

Dubljinu: 0,2 mm  
Sd-vrijednost: 130 m (+/- 60 m)

Otpornost na kidanje prema  
EN 13984:2013: >100N/ >100 N

**HOMESEAL LDS 35 parna brana**



**PRIMJENA**

**OPIS**  
Univerzalna ojačana parna brana koja se sastoji od polietilenskog sloja ojačanog mrežom otpornom na kidanje. Koristi se pravilno pridržati difuzne vlage u konstrukciju kosiša krova, spuštenog stropa i loganih vertikalnih pregrada koje dijele grijani i negrijani prostor. Postavlja se uvijek s grijane ili strane toplinske izolacije s višim parcijskim tlakom. Sve preklope i spojeve folije treba zadržati preporučenim brtvenim trakama.

Oznaka po HRN EN 13984:2013  
Izjava o svojstvima:  
ABLD35CPR

Razred reakcije na požar: F  
Površinska masa: 90g/m<sup>2</sup>

Dubljinu: 0,17 mm  
Sd-vrijednost: 35 m (+/- 10 m)

Otpornost na kidanje prema  
EN 13984:2013: >135N/ >125 N

**HOMESEAL LDS 5 parna kočnica - sloj kontroliranog propuštanja vodene pare**



**PRIMJENA**

**OPIS**  
Parna kočnica visoke kvalitete, proizvedena iz dvoslojnog polipropilenskog voala. Koristi se kao sastavni dio izolacijskih sustava loganih kosiš krovova i vanjskih zidova. Folija kontrolirano propušta vodenu paru kroz korektno provjetravani krovnu konstrukciju. Namijenjeno je ugradnji u unutarnje (grijane) strane toplinske izolacije ili do 1/4 s grijane strane, ako je debljina izolacije iznad folije veća od 20 cm. Koristi se samo u kombinaciji s LDS paropropusno-vodenopropusnom folijom kao sekundarnim pokrovom. Kvalitetno rješenje u slučaju primjene ispod izolacije na masivnim [AB-ploče, "ferf" stropovi i sl.] kosim krovovima, odnosno u slučajevima kad iznad nje i sloja toplinske izolacije postoji mogućnost nesmetanog odvodenja vodene pare izvan konstrukcije.

Oznaka po HRN EN 13984:2013  
Izjava o svojstvima:  
ABLD5CPR

Razred reakcije na požar: E  
Površinska masa: 120g/m<sup>2</sup>

Dubljinu: 0,32 mm  
Sd-vrijednost: 5 m

Otpornost na kidanje prema  
EN 13859-2:2014: >100N/ >110 N

Novija generacija folija s varijabilnim sd vrijednostima  
ljeti i zimi (LDS FlexPlus)

## Staklena mineralna vuna u rastresitom stanju (BW) - vuna za upuhivanje

Blowing wool (vuna za upuhivanje) je vuna u rastresitom stanju koja se najviše koristi kao izolacija u/na konstrukcijama potkrovlja, drvenim okvirnim konstrukcijama i šupljinama.

Prednosti primjene:

- Pristup teško dostupnim i pristupačnim mjestima
- Brza ugradnja
- Nema otpada
- Nema toplinskih mostova, čak niti kod kompleksnih (drvenih) konstrukcija
- Jedan proizvod za skladištenje
- Lakši transport na velike visine (bez potrebe nošenja)
- Prilikom renovacija, bez ometanja korisnika okolnih prostora

## Staklena mineralna vuna u rastresitom stanju (BW) - vuna za upuhivanje

### Osnovne karakteristike:

- Mala gustoća
- Razred reakcije na požar A1
- Bez kemijskih spojeva (npr. požarnih retardanata, insekticida i sl.) poput borne kiseline
- Visoka zvučna apsorpcija
- Ne upija vodu
- Minimalne količine prašine prilikom ugradnje

	Celuloza	Staklena vuna SUPAFIL Loft 045
Debljina za R=8 m <sup>2</sup> K/W	40 cm	36 cm
Težina kg/m <sup>2</sup>	11,2	4,35
Broj vreća za 100m <sup>2</sup>	90 (12,5 kg/vreća)	26,1 (16,6 kg/vreća)

## Supafil – podjela

- SUPAFIL LOFT



## Supafil – podjela

- SUPAFIL LOFT



## Supafil – podjela

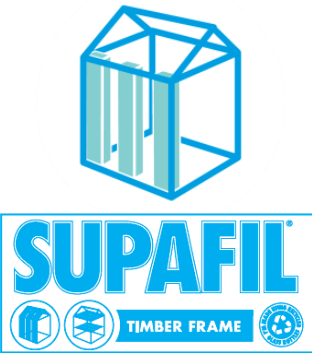
- SUPAFIL LOFT – Tehničke karakteristike

Svojstva	Simbol	Opis/vrijednost	Jednica	Norma
Toplinska provodljivost	$\lambda$	0,045	W/mK	HRN EN 12667
Razred reakcije na požar	-	A1	-	HRN EN 13501-1
Faktor otpora difuziji vodene pare	$\mu$	1	-	HRN EN 12086
Specifični toplinski kapacitet	Cp	1030	J/kgK	HRN EN 10456
Stupanj slijeganja	S*	S1(%)	-	HRN EN 14064-1
Nasipna gustoća	$\rho$	>16	kg/m <sup>3</sup>	HRN EN 14064-1

\*S1 ( $\leq 1\%$ ); S2 ( $>1\% \text{ a } \leq 5\%$ ); S3 ( $>5\% \text{ a } \leq 10\%$ )

## Supafil – podjela

- SUPAFIL TIMBER FRAME



## Supafil – podjela

- SUPAFIL TIMBER FRAME



## Supafil – podjela

- SUPAFIL TIMBER FRAME – Tehničke karakteristike

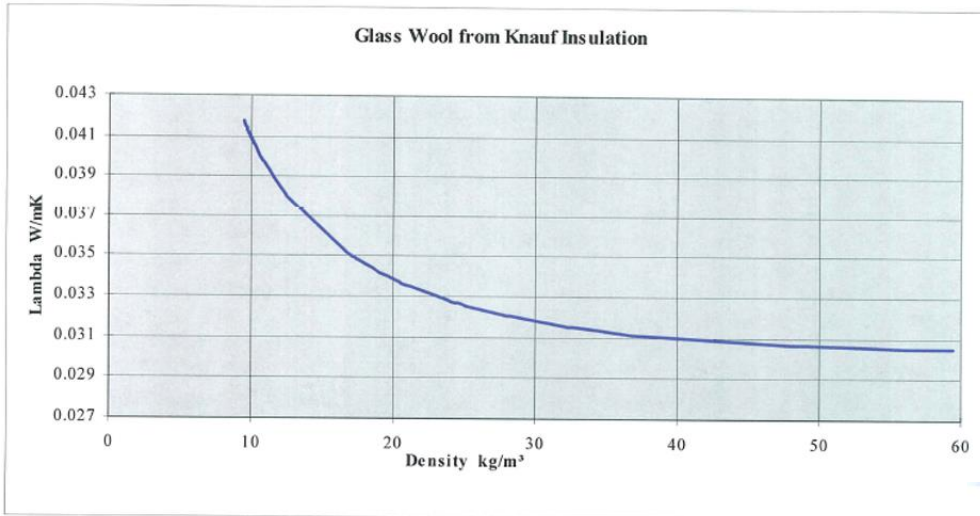
Svojstva	Simbol	Opis/vrijednost	Jednica	Norma
Toplinska provodljivost	$\lambda$	0,034	W/mK	HRN EN 12667
Razred reakcije na požar	-	A1	-	HRN EN 13501-1
Faktor otpora difuziji vodene pare	$\mu$	1	-	HRN EN 12086
Specifični toplinski kapacitet	Cp	1030	J/kgK	HRN EN 10456
Stupanj slijeganja	S	S1(%)	-	HRN EN 14064-1
Nasipna gustoća	$\rho$	>35	kg/m <sup>3</sup>	HRN EN 14064-1

## Supafil – ugradnja

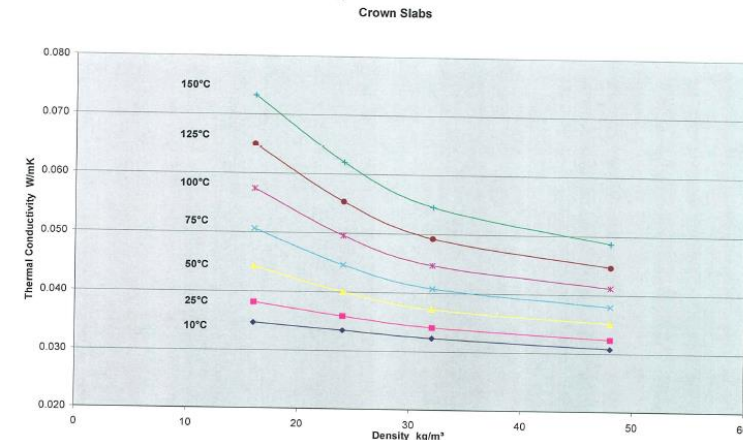


# Supafil – koeficijenti toplinske provodljivosti (općenito)

## Thermal Conductivity With Density



Graph Showing Thermal Conductivity with Temperature



# Tehnički propis o racionalnoj uporabi energije i toplinskoj zaštiti u zgradama („Narodne novine“ broj 128/15, 70/18, 73/18, 86/18, 102/20)

## Dinamičke toplinske karakteristike građevnih dijelova zgrade

Članak 60.

(1) Kod zgrada čiji prostor s obzirom na njegovu namjenu treba zaštiti od pregrijavanja uslijed sunčevog zračenja, vanjski neprozirni dijelovi ovojnica zgrade, koji su izloženi sunčevu zračenju, moraju imati odgovarajuće dinamičke toplinske karakteristike kako bi se smanjio njihov doprinos zagrijavanju zraka u zgradama tijekom ljetnih mjeseci.

(2) Za vanjske građevne dijelove zgrada s plošnom masom većom od  $100 \text{ kg/m}^2$  smatra se da su zahtjevi za dinamičkim toplinskim karakteristikama ispunjeni kada je njihov koeficijent prolaska topline  $U [\text{W}/(\text{m}^2 \cdot \text{K})]$  manji od vrijednosti iz Tablice 1. u Prilogu B.

(3) Zahtjevi za dinamičke toplinske karakteristike za lagane vanjske građevne dijelove iz stavka 1. izložene sunčevu zračenju, s plošnom masom manjom od  $100 \text{ kg/m}^2$  dokazuju se posredno preko koeficijenta prolaska topline,  $U [\text{W}/(\text{m}^2 \cdot \text{K})]$ , koji:

- za zidove ne smije biti veći od  $0,35 \text{ W}/(\text{m}^2 \cdot \text{K})$ ,
- za krovove ne smije biti veći od  $0,30 \text{ W}/(\text{m}^2 \cdot \text{K})$ .

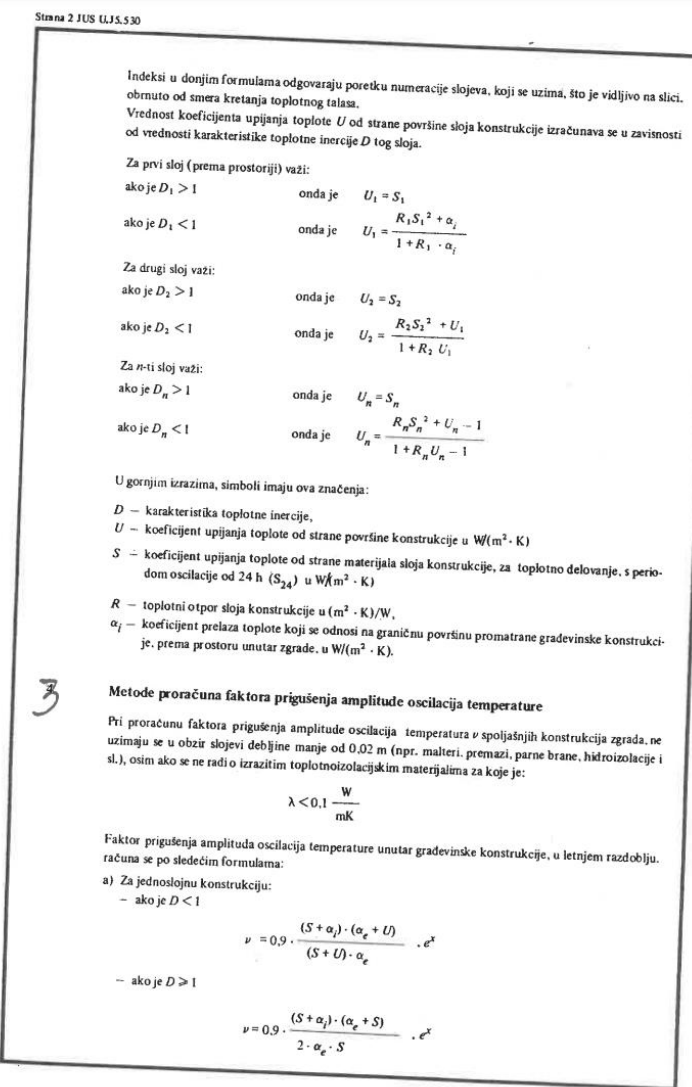
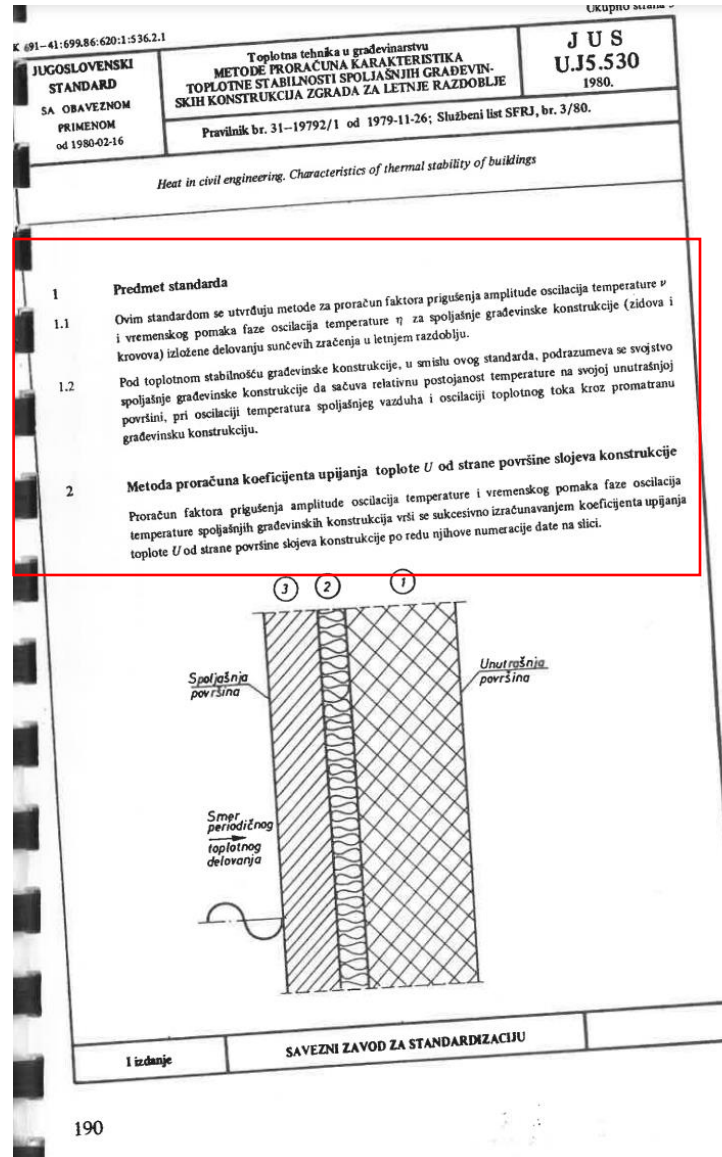
osim ako se prema Tablici 1. u Prilogu B ne zahtjeva zadovoljenje manje vrijednosti.

Tablica 1. Najveće dopuštene vrijednosti koeficijenta prolaska topline,  $U [\text{W}/(\text{m}^2 \cdot \text{K})]$ , građevnih dijelova novih zgrada, i nakon rekonstrukcije postojećih zgrada

Redni broj	Građevni dio	$U [\text{W}/(\text{m}^2 \cdot \text{K})]$			
		$\theta_{ext,1} \geq 18^\circ\text{C}$	$12^\circ\text{C} < \theta_{ext,1} < 18^\circ\text{C}$	$\theta_{ext,2} \leq 3^\circ\text{C}$	$\theta_{ext,2} > 3^\circ\text{C}$
1.	Vanjski zidovi, zidovi prema garazi, zidovi prema provjetravanim tavanima	0,30	0,45	0,50	0,60
2.	Prozori, balkonska vrata, krovni prozori, ostali prozirni elementi ovojnica zgrade	1,60	1,80	2,50	2,80
3.	Ostakljeni dio prozora, balkonskih vrata, krovnih prozora, prozirnih elemenata ovojnica zgrade ( $U$ )	1,10	1,40	1,40	1,40
4.	Ravni i kosi krovovi iznad grijanog prostora, stropovi prema provjetravanim tavanu	0,25	0,30	0,40	0,50

# TOPLINSKA STABILNOST

Koeficijent prolaska topline NE MOŽE biti mjerilo isključivi parametar kvalitete toplinske stabilnosti zgrade.



# TOPLINSKA STABILNOST

**Koeficijent prolaska topline NE MOŽE biti mjerilo isključivi parametar kvalitete toplinske stabilnosti zgrade.**

Strana 2 JUS UJ5.530

Indeks u donjim formulama odgovaraju poretku numeracije slojeva, koji se uzima, što je vidljivo na slici, obrnuto od smera kretanja toplotnog talasa.

Vrednost koeficijenta upijanja topline  $U$  od strane površine sloja konstrukcije izračunava se u zavisnosti od vrednosti karakteristike toplotne inercije  $D$  tog sloja.

Za prvi sloj (prema prostoriji) važi:

$$\begin{aligned} \text{ako je } D_1 > 1 & \quad \text{onda je } U_1 = S_1 \\ \text{ako je } D_1 < 1 & \quad \text{onda je } U_1 = \frac{R_1 S_1^2 + \alpha_t}{1 + R_1 \cdot \alpha_t} \end{aligned}$$

Za drugi sloj važi:

$$\begin{aligned} \text{ako je } D_2 > 1 & \quad \text{onda je } U_2 = S_2 \\ \text{ako je } D_2 < 1 & \quad \text{onda je } U_2 = \frac{R_2 S_2^2 + U_1}{1 + R_2} \end{aligned}$$

Za  $n$ -ti sloj važi:

$$\begin{aligned} \text{ako je } D_n > 1 & \quad \text{onda je } U_n = S_n \\ \text{ako je } D_n < 1 & \quad \text{onda je } U_n = \frac{R_n S_n^2 + U_{n-1}}{1 + R_n} \end{aligned}$$

U gornjim izrazima, simboli imaju ova značenja:

$D$  – karakteristika toplotne inercije.

$U$  – koeficijent upijanja topline od strane površine konstrukcije u  $\text{W}/(\text{m}^2 \cdot \text{K})$ .

$S$  – koeficijent upijanja topline od strane materijala sloja konstrukcije, za toplotno delovanje, s periodom oscilacija od 24 h ( $S_{24}$ ) u  $\text{W}/(\text{m}^2 \cdot \text{K})$ .

$R$  – toplotni otpor sloja konstrukcije u  $(\text{m}^2 \cdot \text{K})/\text{W}$ .

$\alpha_t$  – koeficijent prelaza topline koji se odnosi na granici na površini promatrane građevinske konstrukcije, prema prostoru unutar zgrade, u  $\text{W}/(\text{m}^2 \cdot \text{K})$ .

## 4 Metode proračuna faktora prigušenja amplitude oscilacija temperature

Pri proračunu faktora prigušenja amplitude oscilacija temperatura  $\nu$  spoljašnjih konstrukcija zgrada, ne uzimaju se u obzir slojevi debljine manje od 0,02 m (npr. malteri, premazi, parne brane, hidroizolacije i sl.), osim ako se ne radi o izrazitim toplotnoizolacijskim materijalima za koje je:

$$\lambda < 0,1 \frac{\text{W}}{\text{mK}}$$

Faktor prigušenja amplituda oscilacija temperature unutar građevinske konstrukcije, u letnjem razdoblju, računa se po sledećim formulama:

a) Za jednoslojnu konstrukciju:

– ako je  $D < 1$

$$\nu = 0,9 \cdot \frac{(S + \alpha_t) \cdot (\alpha_e + U)}{(S + U) \cdot \alpha_e} \cdot e^x$$

– ako je  $D \geq 1$

$$\nu = 0,9 \cdot \frac{(S + \alpha_t) \cdot (\alpha_e + S)}{2 \cdot \alpha_e \cdot S} \cdot e^x$$

Strana 4 JUS UJ5.530

Tabela I

$\Sigma D$	$e^x$										
1	2	3	4	5	6	7					
0,40	1,32	0,95	1,96	1,50	2,89	2,05	4,25	2,60	6,28	3,15	9,29
0,41	1,33	0,96	1,97	1,51	2,91	2,06	4,28	2,61	6,33	3,16	9,34
0,42	1,34	0,97	1,98	1,52	2,93	2,07	4,31	2,62	6,38	3,17	9,39
0,43	1,35	0,98	1,99	1,53	2,95	2,08	4,35	2,63	6,43	3,18	9,45
0,44	1,36	0,99	2,01	1,54	2,97	2,09	4,38	2,64	6,48	3,19	9,51
0,45	1,37	1,00	2,03	1,55	3,00	2,10	4,41	2,65	6,53	3,20	9,65
0,46	1,38	1,01	2,04	1,56	3,02	2,11	4,45	2,66	6,58	3,21	9,71
0,47	1,39	1,02	2,05	1,57	3,04	2,12	4,48	2,67	6,63	3,22	9,76
0,48	1,40	1,03	2,07	1,58	3,06	2,13	4,51	2,68	6,68	3,23	9,84
0,49	1,41	1,04	2,09	1,59	3,08	2,14	4,54	2,69	6,73	3,24	9,90
0,50	1,42	1,05	2,10	1,60	3,10	2,15	4,57	2,70	6,78	3,25	9,97
0,51	1,43	1,06	2,12	1,61	3,12	2,16	4,60	2,71	6,83	3,26	10,03
0,52	1,44	1,07	2,14	1,62	3,14	2,17	4,63	2,72	6,88	3,27	10,08
0,53	1,45	1,08	2,15	1,63	3,16	2,18	4,66	2,73	6,93	3,28	10,15
0,54	1,46	1,09	2,16	1,64	3,18	2,19	4,69	2,74	6,98	3,29	10,26
0,55	1,47	1,10	2,18	1,65	3,20	2,20	4,72	2,75	7,03	3,30	10,32
0,56	1,48	1,11	2,20	1,66	3,22	2,21	4,76	2,76	7,08	3,31	10,38
0,57	1,49	1,12	2,21	1,67	3,24	2,22	4,80	2,77	7,13	3,32	10,44
0,58	1,50	1,13	2,23	1,68	3,26	2,23	4,84	2,78	7,18	3,33	10,60
0,59	1,51	1,14	2,25	1,69	3,29	2,24	4,88	2,79	7,23	3,34	10,68
0,60	1,52	1,15	2,27	1,70	3,32	2,25	4,91	2,80	7,28	3,35	10,70
0,61	1,53	1,16	2,29	1,71	3,34	2,26	4,95	2,81	7,33	3,36	10,77
0,62	1,54	1,17	2,30	1,72	3,36	2,27	4,98	2,82	7,39	3,37	10,86
0,63	1,55	1,18	2,32	1,73	3,38	2,28	5,02	2,83	7,44	3,38	10,92
0,64	1,56	1,19	2,33	1,74	3,40	2,29	5,06	2,84	7,48	3,39	10,98
0,65	1,58	1,20	2,34	1,75	3,43	2,30	5,10	2,85	7,53	3,40	11,06
0,66	1,59	1,21	2,35	1,76	3,46	2,31	5,13	2,86	7,59	3,41	11,12
0,67	1,60	1,22	2,37	1,77	3,48	2,32	5,17	2,87	7,65	3,42	11,18
0,68	1,61	1,23	2,39	1,78	3,50	2,33	5,20	2,88	7,71	3,43	11,25
0,69	1,62	1,24	2,41	1,79	3,53	2,34	5,24	2,89	7,76	3,44	11,32
0,70	1,64	1,25	2,43	1,80	3,56	2,35	5,27	2,90	7,82	3,45	11,40
0,71	1,65	1,26	2,45	1,81	3,58	2,36	5,31	2,91	7,88	3,46	11,48
0,72	1,66	1,27	2,46	1,82	3,61	2,37	5,34	2,92	7,95	3,47	11,58
0,73	1,67	1,28	2,48	1,83	3,64	2,38	5,36	2,93	8,03	3,48	11,67
0,74	1,68	1,29	2,49	1,84	3,67	2,39	5,39	2,94	8,08	3,49	11,75
0,75	1,69	1,30	2,51	1,85	3,70	2,40	5,42	2,95	8,12	3,50	11,83
0,76	1,70	1,31	2,53	1,86	3,73	2,41	5,46	2,96	8,16	3,51	11,92
0,77	1,71	1,32	2,55	1,87	3,76	2,42	5,50	2,97	8,22	3,52	12,01
0,78	1,73	1,33	2,57	1,88	3,79	2,43	5,55	2,98	8,28	3,53	12,10
0,79	1,75	1,34	2,59	1,89	3,81	2,44	5,60	2,99	8,35	3,54	12,18
0,80	1,76	1,35	2,61	1,90	3,84	2,45	5,65	3,00	8,40	3,55	12,26
0,81	1,77	1,36	2,63	1,91	3,87	2,46	5,68	3,01	8,47	3,56	12,35
0,82	1,78	1,37	2,65	1,92	3,90	2,47	5,72	3,02	8,53	3,57	12,45
0,83	1,80	1,38	2,67	1,93	3,92	2,48	5,77	3,03	8,58	3,58	12,56
0,84	1,81	1,39	2,68	1,95	3,95	2,49	5,81	3,04	8,64	3,59	12,65
0,85	1,82	1,40	2,69	1,95	3,98	2,50	5,86	3,05	8,70	3,60	12,80
0,86	1,84	1,41	2,71	1,96	4,00	2,51	5,91	3,06	8,76	3,61	12,90
0,87	1,85	1,42	2,72	1,97	4,03	2,52	5,96	3,07	8,82	3,62	13,00
0,88	1,86	1,43	2,75	1,98	4,05	2,53	6,00	3,08	8,86	3,63	13,10
0,89	1,87	1,44	2,77	1,99	4,07	2,54	6,05	3,09	8,95	3,64	13,19
0,90	1,88	1,45	2,79	2,00	4,10	2,55	6,08	3,10	9,02	3,65	13,28
0,91	1,89	1,46	2,81	2,01	4,13	2,56	6,11	3,11	9,08	3,66	13,37
0,92	1,90	1,47	2,83	2,02	4,15	2,57	6,15	3,12	9,14	3,67	13,46
0,93	1,92	1,48	2,85	2,03	4,18	2,58	6,19	3,13	9,19	3,68	13,55
0,94	1,94	1,49	2,87	2,04	4,22	2,59	6,22	3,14	9,24	3,69	13,65

# TOPLINSKA STABILNOST

Tehnički propis o racionalnoj uporabi energije i toplinskoj zaštiti u zgradama („Narodne novine“ broj 128/15, 70/18, 73/18, 86/18, 102/20)

Norme:

HRN EN ISO 13790 uzima u obzir C<sub>m</sub> - efektivni toplinski kapacitet grijanog dijela zgrade (zone) (J/K)

$$\tau = \frac{C_m / 3600}{H_{Tr} + H_{Ve}} \quad [\text{h}]$$

HRN EN 13790 (62) (1.79)

C<sub>m</sub> - efektivni toplinski kapacitet grijanog dijela zgrade (zone) (J/K);  
H<sub>Tr</sub> - koeficijent transmisijске izmjene topline proračunske zone (W/K);  
H<sub>Ve</sub> - koeficijent ventilacijske izmjene topline proračunske zone (W/K).

C<sub>m</sub> se može odrediti na sljedeći način:

C<sub>m</sub> = 370 kJ/(m<sup>2</sup>K) · A<sub>f</sub> - za zgrade s masivnim unutarnjim i vanjskim zidovima (plošna masa veća od 550 kg/m<sup>2</sup>),  
za ostale zgrade prema Tablici 1.15  
pri čemu je A<sub>f</sub>(m<sup>2</sup>) površina kondicionirane zone zgrade s vanjskim dimenzijama

*Algoritam za proračun potrebe en. za grijanje i hlađenje prema HRN EN 13790* Str. 30

**Napomena:** U izračun vremenske konstante zgrade ulazi se sa vrijednošću H<sub>Ve,mec'</sub> koja u obzir uzima samo broj izmjena zraka u prostoru (osjetna toplina) tj.

$$H_{Ve,mec'} = \frac{\rho_a \cdot c_p \cdot V_{mec,sup}}{3600}$$

 FSB Sveučilište u Zagrebu  
Fakultet strojarstva i brodogradnje

Tablica 1.16 ( HRN EN Tablica 12) Proračun efektivnog toplinskog kapaciteta grijanog dijela zgrade kao funkcija plošne mase građevnog dijela (vanjske ovojnica)

Klasa zgrade	C <sub>n</sub> kJ/K	Plošna masa kg/m <sup>2</sup>
Vrlo lagana	80 x A <sub>f</sub>	m <sup>2</sup> ≤ 100
Lagana	110 x A <sub>f</sub>	250 ≥ m <sup>2</sup> ≥ 100
Srednje teška	165 x A <sub>f</sub>	400 ≥ m <sup>2</sup> ≥ 250
Teška	260 x A <sub>f</sub>	550 ≥ m <sup>2</sup> ≥ 400
Masivna gradnja	370 x A <sub>f</sub>	m <sup>2</sup> ≥ 550

„Vrlo lagana“  
Vanjska ovojnica - lagane montažne i polumontažne konstrukcije od drveta ili metala s ispunom od toplinsko-izolacijskih materijala i tankim završnim oblogama, ili toplinskim panelima kao završnom oblogom. Unutarnji zidovi izvedeni kao suhomontažni, od porobetona, supje ili punе opceke debljine do 15,00 cm.

„Lagana“  
Zgrada izvedena pretežno od laganih građevnih materijala – vanjska ovojnica od porobetona (plino ili pjenobetona), supje opceke od gline gustoće ≤ 900 kg/m<sup>3</sup>, te laganih pregradnih zidova (suhomontažni, od porobetona, opceke debljine do 15,00 cm i sl.).

„Srednje teška“  
Zgrada izvedena pretežno od šuplje opceke od gline gustoće >900 kg/m<sup>3</sup> i s udjelom armiranobetonskih dijelova do 15% ukupne ploštine vanjskih zidova, zgrada s vanjskim zidovima - od punе opceke od gline, te s laganim ili masivnim pregradnim zidovima.

„Teška“  
Zgrada izvedena od šuplje ili punе opceke od gline gustoće >900 kg/m<sup>3</sup> i debljine > 20,00 cm i s udjelom armiranobetonskih dijelova više od 15% ukupne ploštine vanjskih zidova, zgrada sa zidovima - od šupljih blokova od betona, te masivnim unutarnjim pregradnim zidovima.

„Masivna gradnja“  
Zgrada od vanjskih armiranobetonskih zidova debljine ≥ 20,00 cm, te masivnim unutarnjim pregradnim zidovima.

*Algoritam za proračun potrebe energije za grijanje i hlađenje  
prostora zgrade prema HRN EN ISO 13790*

Autori:  
prof.dr.sc. Vladimir Soldo, dipl.ing.stroj.  
Silvio Novak, dipl.ing.grad.  
Ivan Horvat, mag.ing.mech.

Zagreb, svibanj 2017.

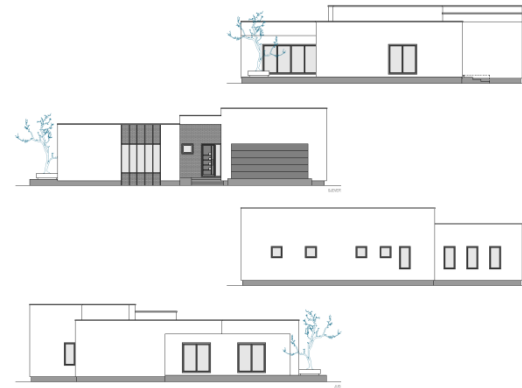


# Utjecaj mase na bilanсу energije

Primjer obiteljske kuće:

Izvorno:

Proračun plošne mase m <sup>2</sup>	Da 299,93
Masivnost konstrukcije Cm	Srednje teška zgrada, plošna masa zidova $400 \geq m^2 \geq 250 \text{ kg/m}^2$ 33066000,00



## Rezultati proračuna potrebne toplinske energije za grijanje i toplinske energije za hlađenje

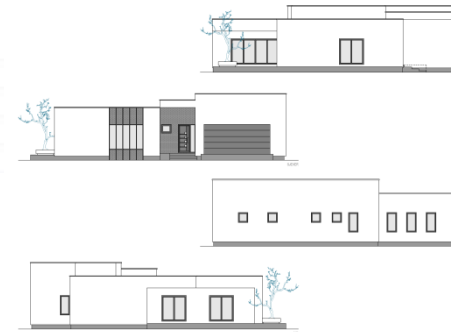
Osvježi satni proračun

A [m <sup>2</sup> ]	654,32	f <sub>o</sub> [m <sup>-1</sup> ]	0,87
A <sub>k</sub> [m <sup>2</sup> ]	159,69	A <sub>K'</sub> [m <sup>2</sup> ]	159,69
V <sub>e</sub> [m <sup>3</sup> ]	751,50		
Q <sub>H,nd</sub> [kWh/a]	6434,89		
Q'' <sub>H,nd</sub> [kWh/m <sup>2</sup> a]	40,30	Q'' <sub>H,nd</sub> [max] [kWh/m <sup>2</sup> a]	67,72
Q <sub>C,nd</sub> [kWh/a]	1383,92		ZADOVOLJAVA
Q'' <sub>C,nd</sub> [kWh/m <sup>2</sup> a]	8,67	Q'' <sub>C,nd</sub> [max] [kWh/m <sup>2</sup> a]	50,00
E <sub>del</sub> [kWh/a]	4799,57		ZADOVOLJAVA
E'' <sub>del</sub> [kWh/(m <sup>2</sup> a)]	30,06		

# Utjecaj mase na bilanсу energije

Primjer obiteljske kuće:

Proračun plošne mase m <sup>2</sup>	<b>Ne</b> 299,93
Masivnost konstrukcije Cm	<b>Vrlo lagana zgrada, plošna masa zidova m' &lt;= 100 kg/m2</b> 16032000,00



Rezultati proračuna potrebne toplinske energije za grijanje i toplinske energije za hlađenje				Osyježi satni proračun
A [m <sup>2</sup> ]	654,32	f <sub>0</sub> [m <sup>-1</sup> ]	0,87	
A <sub>k</sub> [m <sup>2</sup> ]	159,69	A <sub>k'</sub> [m <sup>2</sup> ]	159,69	
V <sub>e</sub> [m <sup>3</sup> ]	751,50			
Q <sub>H,nd</sub> [kWh/a]	6534,30			
Q'' <sub>H,nd</sub> [kWh/m <sup>2</sup> a]	40,92	Q'' <sub>H,nd</sub> [max] [kWh/m <sup>2</sup> a]	67,72	ZADOVOLJAVA
Q <sub>C,nd</sub> [kWh/a]	1522,42			
Q'' <sub>C,nd</sub> [kWh/m <sup>2</sup> a]	9,53	Q'' <sub>C,nd</sub> [max] [kWh/m <sup>2</sup> a]	50,00	ZADOVOLJAVA
E <sub>del</sub> [kWh/a]	4880,56			
E'' <sub>del</sub> [kWh/(m <sup>2</sup> a)]	30,56			

Proračun plošne mase m <sup>2</sup>	<b>Ne</b> 299,93
Masivnost konstrukcije Cm	<b>Masivna zgrada, plošna masa zidova m' &gt; 550 kg/m2</b> 74148000,00

Vrlo male razlike.  
Realno su daleko veće..

Rezultati proračuna potrebne toplinske energije za grijanje i toplinske energije za hlađenje				Osyježi satni proračun
A [m <sup>2</sup> ]	654,32	f <sub>0</sub> [m <sup>-1</sup> ]	0,87	
A <sub>k</sub> [m <sup>2</sup> ]	159,69	A <sub>k'</sub> [m <sup>2</sup> ]	159,69	
V <sub>e</sub> [m <sup>3</sup> ]	751,50			
Q <sub>H,nd</sub> [kWh/a]	6472,92			
Q'' <sub>H,nd</sub> [kWh/m <sup>2</sup> a]	40,53	Q'' <sub>H,nd</sub> [max] [kWh/m <sup>2</sup> a]	67,72	ZADOVOLJAVA
Q <sub>C,nd</sub> [kWh/a]	1338,33			
Q'' <sub>C,nd</sub> [kWh/m <sup>2</sup> a]	8,38	Q'' <sub>C,nd</sub> [max] [kWh/m <sup>2</sup> a]	50,00	ZADOVOLJAVA
E <sub>del</sub> [kWh/a]	4829,67			
E'' <sub>del</sub> [kWh/(m <sup>2</sup> a)]	30,24			

## Utjecaj mase na bilancu energije



## Utjecaj mase na bilancu energije

Norme:

Nova norma HRN EN ISO 52016-1 razdvaja građevne elemente, odnosno uzima u obzir doprinos toplinskih masa svakog pojedinačnog elementa sukladno kategorijama

Kategorija	Km [J/(m <sup>2</sup> K)]	Opis kategorije
Vrlo lagana	50 000	Konstrukcija bez masivnih elemenata, osim primjerice plastičnih ploča ili drvenih obloga i slično.
Lagana	75 000	Konstrukcija bez masivnih elemenata, osim primjerice 5 do 10 cm lagane opeke ili betona i slično.
Srednje teška	110 000	Konstrukcija bez masivnih elemenata, osim primjerice 10 do 20 cm lagane opeke ili betona, ili manje od 7 cm pune opeke ili teškog betona i slično.
Teška	175 000	Konstrukcija sa primjerice 7 do 12 cm pune opeke ili teškog betona i slično.
Vrlo teška	250 000	Konstrukcija sa više od 12 cm pune opeke ili teškog betona i slično.

! **norma HRN EN ISO 13786:2017** Toplinske značajke građevnih dijelova zgrade --  
Dinamičke toplinske značajke -- Metode proračuna

# norma HRN EN ISO 13786:2017 Toplinske značajke građevnih dijelova zgrade -- Dinamičke toplinske značajke -- Metode proračuna

HRVATSKA NORMA

HRN EN ISO 13786

ICS: 91.120.10

Treće izdanie,  
kolovoz 2017.

Zamjenjuje HRN EN ISO 13786:2008

**Toplinske značajke građevnih dijelova zgrade – Dinamičke  
toplinske značajke – Metode proračuna  
(ISO 13786:2017, ispravljena verzija 2018-03; EN ISO 13786:2017)**

Thermal performance of building components – Dynamic thermal characteristics –  
Calculation methods (ISO 13786:2017, Corrected version 2018-03; EN ISO 13786:2017)

Na temelju članka 12. Zakona o normizaciji (Narodne novine br. 80/2013) Hrvatski zavod za norme na  
prijedlog tehničkog odbora HZN/TO 163, *Toplinska izolacija* i provedene rasprave prihvatio je europsku  
normu EN ISO 13786:2017 u izvorniku na engleskom jeziku kao hrvatsku normu.  
Obavijest o prihvatanju objavljena je u HZN Glasilištu 8/2017 od 2017-08-31.

Europska norma EN ISO 13786:2017 ima status hrvatske norme

Referencijski broj: HRN EN ISO 13786:2017 en



Hrvatski zavod za norme  
Croatian Standards Institute

Zabranjeno je umnožavanje hrvatskih norma ili njihovih dijelova

HNZ • KNAUF INSULATION d.o.o.  
HNZ broj: 1312-2022 • 2022-08-20

Zabranjeno umnožavanje u bilo kojem obliku i na bilo koji način bez pisane dozvole HZN-a. HRN EN ISO 13786:2017  
ISO 13786:2017(E)

ICS: 91.120.10

Treće izdanie,  
kolovoz 2017.

Zamjenjuje HRN EN ISO 13786:2008

## 3.1.5 periodic thermal conductance

$L_{mn}$   
complex number relating the periodic heat flow into a component to the periodic temperatures on  
either side of it under sinusoidal conditions

Note 1 to entry: Another representation of the concept:

$$\dot{\Phi}_m = L_{mm} \times \dot{\theta}_m - L_{mn} \times \dot{\theta}_n \quad (4)$$

Note 2 to entry:  $L_{mm}$  relates the periodic heat flow on side  $m$  to the periodic temperature on side  $m$  when the  
temperature amplitude on side  $n$  is zero.  $L_{mn}$  relates the periodic heat flow on side  $m$  to the periodic temperature  
on side  $n$  when the temperature amplitude on side  $m$  is zero.

Note 3 to entry: As a convention within this document, the heat flow rate is defined as positive when it enters the  
surface of the component.

## 3.1.6 heat capacity

modulus of the net periodic thermal conductance divided by the angular frequency

Note 1 to entry: Another representation of the concept:

$$C_m = \frac{1}{\omega} \times |L_{mm} - L_{mn}| \quad (5)$$

where  $\omega = \frac{2\pi}{T}$  and  $T$  is the period of variation in seconds.

## 3.1.7 time shift

$\Delta t$   
period of time between the maximum amplitude of a cause and the maximum amplitude of its effect

## 3.2 Definitions valid only for one dimensional heat flow

### 3.2.1 plane component

component for which the smallest curvature radius is at least five times its thickness

### 3.2.2 homogeneous material layer

layer of material in which the largest size of inhomogeneities does not exceed one fifth of the thickness  
of the layer

### 3.2.3 thermal admittance

complex quantity defined as the complex amplitude of the density of heat flow rate through the surface  
of the component adjacent to zone  $m$ , divided by the complex amplitude of the temperature in the same  
zone when the temperature on the other side is held constant

Note 1 to entry: Another representation of the concept:

$$Y_{mm} = \frac{\dot{q}_m}{\dot{\theta}_m} \quad (6)$$

Periodička toplinska  
provodljivost

„Ulagak“ topline

# TOPLINSKA STABILNOST

## norma HRN EN ISO 13786:2017 Toplinske značajke građevnih dijelova zgrade -- Dinamičke toplinske značajke -- Metode proračuna

HRN EN ISO 13786:2017 Zabranjeno umnožavanje u bilo kojem obliku i na bilo koji način bez pisane dozvole HZN-a.  
ISO 13786:2017(E)

### 3.2.4 periodic thermal transmittance

complex quantity defined as the complex amplitude of the density of heat flow rate through the surface of the component adjacent to zone  $m$ , divided by the complex amplitude of the temperature in zone  $n$  when the temperature in zone  $m$  is held constant

Note 1 to entry: Another representation of the concept:

$$Y_{mn} = -\frac{\hat{q}_m}{\theta_n} \quad (7)$$

### 3.2.5 areal heat capacity

heat capacity divided by area of element

Note 1 to entry: Another representation of the concept:

$$\kappa_m = \frac{C_m}{A} = \frac{1}{\alpha} \times |Y_{mm} - Y_{mn}| \quad (8)$$

Note 2 to entry: Using [Formula \(8\)](#), the heat capacities are then:

$$C_m = A \times \kappa_m \quad (9)$$

Note 3 to entry: There are two thermal admittances and two heat capacities for a component separating two zones, all of which depend on the period of the thermal variations.

### 3.2.6 decrement factor

ratio of the modulus of the periodic thermal transmittance to the steady-state thermal transmittance  $U$

Note 1 to entry: Another representation of the concept:

$$f = \frac{|\hat{q}_m|}{|\hat{\theta}_n| \times U} = \frac{|Y_{mn}|}{U} \quad (10)$$

where  $m \neq n$ .

### 3.2.7 periodic penetration depth

$\delta$   
depth at which the amplitude of the temperature variations are reduced by the factor " $e$ " in a homogeneous material of infinite thickness subjected to sinusoidal temperature variations on its surface

Note 1 to entry: Another representation of the concept:

$$\delta = \sqrt{\frac{\lambda \times T}{\pi \times \rho \times c}} \quad (11)$$

Note 2 to entry:  $e$  is the base of natural logarithms;  $e = 2,718...$

### 3.2.8 heat transfer matrix $Z$

matrix relating the complex amplitudes of temperature and heat flow rate on one side of a component to the complex amplitudes of temperature and heat flow rate on the other side

Note 1 to entry: Another representation of the concept:

### Periodički toplinski prolazak topline

### I faktor umanjenja (faktor prigušenja amplitude oscilacija temperature)

# norma HRN EN ISO 13786:2017 Toplinske značajke građevnih dijelova zgrade -- Dinamičke toplinske značajke -- Metode proračuna

## Calculator

Calculation of thermal mass according to EN ISO 13786

[www.htflux.com](http://www.htflux.com)

edit yellow cells

layer name	thermal conductivity $\lambda$ . [W/m.K]	gross density $\rho$ [kg/m <sup>3</sup> ]	spec. heat capacity C [J/kg.K]	layer thickness d [m]	R [m <sup>2</sup> K/W]
Rsi (int. heat transfer resistance)					0,13
Concrete	1,800	2400,0	1000	0,2000	0,111
Insulation	0,040	30,0	1400	0,1000	2,500
Plaster	1,000	1200,0	1500	0,0050	0,005
Rse (ext. heat transfer resistance)					0,04
	U-value:	0,3589	W/m <sup>2</sup> K		
	total thickness:	0,305	m		

*Click here for some theory and a brief user guide.  
(or use link on bottom of this page)*

*For more detailed analysis, simulations, material properties database, etc.  
please make use of our HTflux Software.*

AEE - Institute for Sustainable Technologies  
<http://www.aee-intec.at>

© 2020 DI Daniel Rüdisser <http://www.htflux.com>

This excel tool is developed for free use and distribution.  
The tools has been validated, however we accept no liability for  
the calculation results or any losses or damages connected to them.

[https://www.researchgate.net/publication/324654258\\_A\\_brief\\_guide\\_and\\_free\\_tool\\_for\\_the\\_calculation\\_of\\_the\\_thermal\\_mass\\_of\\_building\\_components\\_according\\_to\\_ISO\\_13786](https://www.researchgate.net/publication/324654258_A_brief_guide_and_free_tool_for_the_calculation_of_the_thermal_mass_of_building_components_according_to_ISO_13786)

„Vremenski pomak faze oscilacije temperature“

# norma HRN EN ISO 13786:2017 Toplinske značajke građevnih dijelova zgrade -- Dinamičke toplinske značajke -- Metode proračuna

Calculation of thermal mass according to EN ISO 13786

mean temperature side 1 (ext.): 0,8 °C  
 temp. amplitude side 1 (ext.): 0,0 °C  
 time of max. temp side 1 (ext.): 14:00

mean temperature side 2 (int.): 20,0 °C  
 temp. amplitude side 2 (int.): 2,0 °C  
 time of max. temp side 2 (int.): 15:00

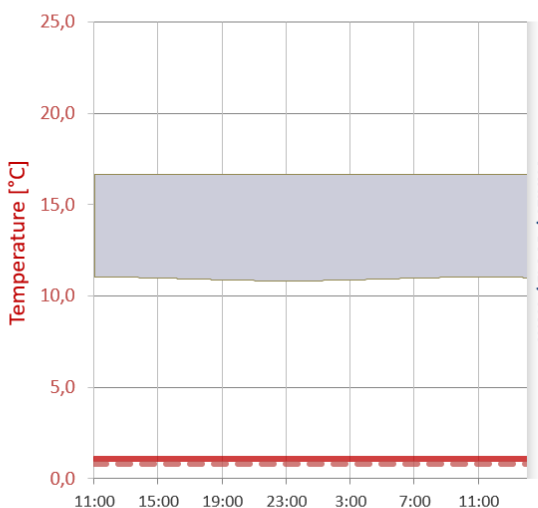
**Building component surface temp. - side 1**  
 Max: 1,11 °C  
 Min: 1,10 °C  
 Range: 0,01 °C

**Building component surface temp. - side 2**  
 Max: 19,71 °C  
 Min: 18,51 °C  
 Range: 1,20 °C

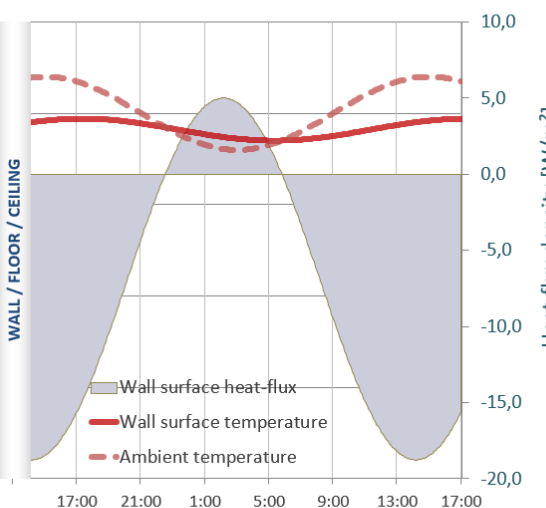
**Building component heat-flux - side 1**  
 Max: -6,76 W/m²  
 Min: -7,00 W/m²  
 Range: 0,24 W/m²

**Building component heat-flux - side 2**  
 Max: 5,00 W/m²  
 Min: -18,76 W/m²  
 Range: 23,77 W/m²

Select display time of chart: 14:00



Filled curve and right legend shows heat-flux density [W/m²]. Positive value on right side (2) reflects heat-flux "coming out" of the wall, positive value on left side (1) reflects heat flux "going into" the wall.  
 Dashed curves reflect preset ambient temperatures.  
 Solid curves reflect wall temperatures on each surface.



Temperatures and heat-flux densities on Side 1 (see below for Side 2)

time	T <sub>1,int</sub> [°C]	T <sub>2,int</sub> [°C]	HF1 dyn. of T1 [W/m²]	HF1 dyn. of T2 [W/m²]	HF1 static [W/m²]	HF1 total [W/m²]	T <sub>1</sub> surface [°C]
11:00	0,83	0,83	0,000	0,121	-6,879	-6,758	1,10
11:06	0,83	0,83	0,000	0,121	-6,879	-6,758	1,10
11:12	0,83	0,83	0,000	0,121	-6,879	-6,758	1,10
11:18	0,83	0,83	0,000	0,121	-6,879	-6,758	1,10
11:24	0,83	0,83	0,000	0,121	-6,879	-6,759	1,10
11:30	0,83	0,83	0,000	0,120	-6,879	-6,759	1,10
11:36	0,83	0,83	0,000	0,120	-6,879	-6,759	1,10
11:42	0,83	0,83	0,000	0,120	-6,879	-6,760	1,10
11:48	0,83	0,83	0,000	0,119	-6,879	-6,760	1,10
11:54	0,83	0,83	0,000	0,119	-6,879	-6,761	1,10
12:00	0,83	0,83	0,000	0,118	-6,879	-6,762	1,10
12:06	0,83	0,83	0,000	0,117	-6,879	-6,762	1,10
12:12	0,83	0,83	0,000	0,116	-6,879	-6,763	1,10
12:18	0,83	0,83	0,000	0,115	-6,879	-6,764	1,10
12:24	0,83	0,83	0,000	0,114	-6,879	-6,765	1,10
12:30	0,83	0,83	0,000	0,113	-6,879	-6,766	1,10
12:36	0,83	0,83	0,000	0,112	-6,879	-6,767	1,10
12:42	0,83	0,83	0,000	0,111	-6,879	-6,769	1,10
12:48	0,83	0,83	0,000	0,109	-6,879	-6,770	1,10
12:54	0,83	0,83	0,000	0,108	-6,879	-6,771	1,10
13:00	0,83	0,83	0,000	0,107	-6,879	-6,773	1,10
13:06	0,83	0,83	0,000	0,105	-6,879	-6,774	1,10
13:12	0,83	0,83	0,000	0,103	-6,879	-6,776	1,10
13:18	0,83	0,83	0,000	0,102	-6,879	-6,778	1,10
13:24	0,83	0,83	0,000	0,100	-6,879	-6,779	1,10
13:30	0,83	0,83	0,000	0,098	-6,879	-6,781	1,10
13:36	0,83	0,83	0,000	0,096	-6,879	-6,783	1,10
13:42	0,83	0,83	0,000	0,094	-6,879	-6,785	1,10
13:48	0,83	0,83	0,000	0,092	-6,879	-6,787	1,10
13:54	0,83	0,83	0,000	0,090	-6,879	-6,789	1,10
14:00	0,83	0,83	0,000	0,088	-6,879	-6,791	1,10
14:06	0,83	0,83	0,000	0,086	-6,879	-6,794	1,11
14:12	0,83	0,83	0,000	0,084	-6,879	-6,796	1,11
14:18	0,83	0,83	0,000	0,081	-6,879	-6,798	1,11
14:24	0,83	0,83	0,000	0,079	-6,879	-6,800	1,11
14:30	0,83	0,83	0,000	0,076	-6,879	-6,803	1,11
14:36	0,83	0,83	0,000	0,074	-6,879	-6,805	1,11
14:42	0,83	0,83	0,000	0,071	-6,879	-6,808	1,11
14:48	0,83	0,83	0,000	0,069	-6,879	-6,811	1,11
14:54	0,83	0,83	0,000	0,066	-6,879	-6,813	1,11
15:00	0,83	0,83	0,000	0,064	-6,879	-6,816	1,11
15:06	0,83	0,83	0,000	0,061	-6,879	-6,819	1,11
15:12	0,83	0,83	0,000	0,058	-6,879	-6,821	1,11
15:18	0,83	0,83	0,000	0,055	-6,879	-6,824	1,11
15:24	0,83	0,83	0,000	0,052	-6,879	-6,827	1,11
15:30	0,83	0,83	0,000	0,050	-6,879	-6,830	1,11
15:36	0,83	0,83	0,000	0,047	-6,879	-6,833	1,11
15:42	0,83	0,83	0,000	0,044	-6,879	-6,836	1,11
15:48	0,83	0,83	0,000	0,041	-6,879	-6,839	1,11
15:54	0,83	0,83	0,000	0,038	-6,879	-6,842	1,11
16:00	0,83	0,83	0,000	0,035	-6,879	-6,845	1,11
16:06	0,83	0,83	0,000	0,032	-6,879	-6,848	1,11
16:12	0,83	0,83	0,000	0,029	-6,879	-6,851	1,11
16:18	0,83	0,83	0,000	0,025	-6,879	-6,854	1,11
16:24	0,83	0,83	0,000	0,022	-6,879	-6,857	1,11
16:30	0,83	0,83	0,000	0,019	-6,879	-6,860	1,11
16:36	0,83	0,83	0,000	0,016	-6,879	-6,863	1,11
16:42	0,83	0,83	0,000	0,013	-6,879	-6,866	1,11
16:48	0,83	0,83	0,000	0,010	-6,879	-6,870	1,11
16:54	0,83	0,83	0,000	0,007	-6,879	-6,873	1,11
17:00	0,83	0,83	0,000	0,003	-6,879	-6,876	1,11
17:06	0,83	0,83	0,000	0,000	-6,879	-6,879	1,11

# norma HRN EN ISO 13786:2017 Toplinske značajke građevnih dijelova zgrade -- Dinamičke toplinske značajke -- Metode proračuna

## Klasičan zid – ETICS (opeka)

layer name	thermal conductivity $\lambda$ [W/m.K]	gross density $\rho$ [kg/m <sup>3</sup> ]	spec. heat capacity C [J/kg.K]	layer thickness d [m]	R [m <sup>2</sup> K/W]
Rsi (int. heat transfer resistance)					0,13
blok opeka	0,390	800	900	0,2900	0,744
kamena vuna (FKD-N)	0,034	90,0	1030	0,1500	4,412
Rse (ext. heat transfer resistance)					0,04
U-value:	0,1878				W/m <sup>2</sup> K
total thickness:	0,440				m

Calculation results according to EN ISO 13786:	
external thermal admittance:	0,436 W/(m <sup>2</sup> K)
time shift external side:	2,91 h
internal thermal admittance:	3,054 W/(m <sup>2</sup> K)
time shift internal side:	1,87 h
periodic thermal transmittance:	0,023 W/(m <sup>2</sup> K)
time shift periodic thermal transmittance:	-12,95 h
external areal heat capacity:	6,172 kJ/(m <sup>2</sup> .K)
internal areal heat capacity:	42,234 kJ/(m <sup>2</sup> .K)
decrement factor f:	0,123

layer name	thermal conductivity $\lambda$ [W/m.K]	gross density $\rho$ [kg/m <sup>3</sup> ]	spec. heat capacity C [J/kg.K]	layer thickness d [m]	R [m <sup>2</sup> K/W]
Rsi (int. heat transfer resistance)					0,13
blok opeka	0,390	800	900	0,2900	0,744
Rse (ext. heat transfer resistance)					0,04
U-value:	1,0946				W/m <sup>2</sup> K
total thickness:	0,290				m

Calculation results according to EN ISO 13786:	
external thermal admittance:	4,007 W/(m <sup>2</sup> K)
time shift external side:	2,58 h
internal thermal admittance:	3,079 W/(m <sup>2</sup> K)
time shift internal side:	1,94 h
periodic thermal transmittance:	0,503 W/(m <sup>2</sup> K)
time shift periodic thermal transmittance:	-7,59 h
external areal heat capacity:	61,327 kJ/(m <sup>2</sup> .K)
internal areal heat capacity:	48,042 kJ/(m <sup>2</sup> .K)
decrement factor f:	0,460

## Panel (PUR)

layer name	thermal conductivity $\lambda$ [W/m.K]	gross density $\rho$ [kg/m <sup>3</sup> ]	spec. heat capacity C [J/kg.K]	layer thickness d [m]	R [m <sup>2</sup> K/W]
Rsi (int. heat transfer resistance)					0,13
čelični lim	50,000	7860	450	0,0001	0,000
PUR	0,023	25,0	1400	0,1500	6,522
čelični lim	50,000	7860	450	0,0001	0,000
Rse (ext. heat transfer resistance)					0,04
U-value:	0,1494				W/m <sup>2</sup> K
total thickness:	0,150				m

Calculation results according to EN ISO 13786:	
external thermal admittance:	0,220 W/(m <sup>2</sup> K)
time shift external side:	2,60 h
internal thermal admittance:	0,217 W/(m <sup>2</sup> K)
time shift internal side:	2,52 h
periodic thermal transmittance:	0,144 W/(m <sup>2</sup> K)
time shift periodic thermal transmittance:	-1,65 h
external areal heat capacity:	2,786 kJ/(m <sup>2</sup> .K)
internal areal heat capacity:	2,711 kJ/(m <sup>2</sup> .K)
decrement factor f:	0,964

# norma HRN EN ISO 13786:2017 Toplinske značajke građevnih dijelova zgrade -- Dinamičke toplinske značajke -- Metode proračuna

## Kameni zid

layer name	thermal conductivity $\lambda$ [W/m.K]	gross density $\rho$ [kg/m <sup>3</sup> ]	spec. heat capacity C [J/kg.K]	layer thickness d [m]	R [m <sup>2</sup> K/W]
<b>Rsi (int. heat transfer resistance)</b>					
Kamen	1,400	2000	1000	0,5000	0,357
<b>Rse (ext. heat transfer resistance)</b>					
					0,04
U-value: 1,8970 W/m <sup>2</sup> K					
total thickness: 0,500 m					

Calculation results according to EN ISO 13786:	
external thermal admittance:	9,766 W/(m <sup>2</sup> K)
time shift external side:	1,93 h
internal thermal admittance:	5,368 W/(m <sup>2</sup> K)
time shift internal side:	1,03 h
periodic thermal transmittance:	0,200 W/(m <sup>2</sup> K)
time shift periodic thermal transmittance:	-13,81 h
external areal heat capacity:	135,846 kJ/(m <sup>2</sup> .K)
internal areal heat capacity:	75,863 kJ/(m <sup>2</sup> .K)
decrement factor f:	0,105

!?

Dinamičke toplinske karakteristike građevnih dijelova zgrade

Članak 60.

(1) Kod zgrada čiji prostor s obzirom na njegovu namjenu treba zaštiti od pregrijavanja uslijed sunčevog zračenja, vanjski neprozirni dijelovi ovinice zgrade, koji su izloženi sunčevu zračenju, moraju imati odgovarajuće dinamičke toplinske karakteristike kako bi se smanjio njihov doprinos zagrijavanju zraka u zgradi tijekom ljetnih mjeseci.

(2) Za vanjske građevne dijelove zgrada s plošnom masom većom od 100 kg/m<sup>2</sup> smatra se da su zahtjevi za dinamički toplinski karakteristikama ispunjeni kada je njihov koeficijent prolaska topline U [W/(m<sup>2</sup> K)] manji od vrijednosti iz Tablice 1. u Prilogu B.

(3) Zahtjevi za dinamičke toplinske karakteristike za lagane vanjske građevne dijelove iz stavka 1. izložene sunčevu zračenju, s plošnom masom manjom od 100 kg/m<sup>2</sup> dokazuju se posredno preko koeficijenta prolaska topline, U [W/(m<sup>2</sup> K)], koji:

- za zidove ne smije biti veći od 0,35 W/(m<sup>2</sup> K),
  - za krovove ne smije biti veći od 0,30 W/(m<sup>2</sup> K),
- osim ako se prema Tablici 1. u Prilogu B ne zahtjeva zadovoljenje manje vrijednosti.

## Panel (PUR)

layer name	thermal conductivity $\lambda$ [W/m.K]	gross density $\rho$ [kg/m <sup>3</sup> ]	spec. heat capacity C [J/kg.K]	layer thickness d [m]	R [m <sup>2</sup> K/W]
<b>Rsi (int. heat transfer resistance)</b>					
čelični lim	50,000	7860	450	0,0001	0,000
PUR	0,023	25,0	1400	0,1500	6,522
čelični lim	50,000	7860	450	0,0001	0,000
<b>Rse (ext. heat transfer resistance)</b>					
					0,04
U-value: 0,1494 W/m <sup>2</sup> K					
total thickness: 0,150 m					

Calculation results according to EN ISO 13786:	
external thermal admittance:	0,220 W/(m <sup>2</sup> K)
time shift external side:	2,60 h
internal thermal admittance:	0,217 W/(m <sup>2</sup> K)
time shift internal side:	2,52 h
periodic thermal transmittance:	0,144 W/(m <sup>2</sup> K)
time shift periodic thermal transmittance:	-1,65 h
external areal heat capacity:	2,786 kJ/(m <sup>2</sup> .K)
internal areal heat capacity:	2,711 kJ/(m <sup>2</sup> .K)
decrement factor f:	0,964

# norma HRN EN ISO 13786:2017 Toplinske značajke građevnih dijelova zgrade -- Dinamičke toplinske značajke -- Metode proračuna

## Klasičan zid – ETICS (opeka) – IZOLACIJA S VANJSKE STRANE

layer name	thermal conductivity $\lambda$ [W/m.K]	gross density $\rho$ [kg/m <sup>3</sup> ]	spec. heat capacity C [J/kg.K]	layer thickness d [m]	R [m <sup>2</sup> K/W]
Rsi (int. heat transfer resistance)					0,13
blok opeka	0,390	800	900	0,2900	0,744
kamena vuna (FKD-N)	0,034	90,0	1030	0,1500	4,412
Rse (ext. heat transfer resistance)					0,04
U-value:		0,1878	W/m <sup>2</sup> K		
total thickness:		0,440	m		

Calculation results according to EN ISO 13786:	
external thermal admittance:	0,436 W/(m <sup>2</sup> K)
time shift external side:	2,91 h
internal thermal admittance:	3,054 W/(m <sup>2</sup> K)
time shift internal side:	1,87 h
periodic thermal transmittance:	0,023 W/(m <sup>2</sup> K)
time shift periodic thermal transmittance:	-12,95 h
external areal heat capacity:	6,172 kJ/(m <sup>2</sup> .K)
internal areal heat capacity:	42,234 kJ/(m <sup>2</sup> .K)
decrement factor f:	0,123

## IZOLACIJA S UNUTARNJE STRANE

layer name	thermal conductivity $\lambda$ [W/m.K]	gross density $\rho$ [kg/m <sup>3</sup> ]	spec. heat capacity C [J/kg.K]	layer thickness d [m]	R [m <sup>2</sup> K/W]
Rsi (int. heat transfer resistance)					0,13
mineralna vuna	0,035	20,0	1030	0,1500	4,286
blok opeka	0,390	800,0	900	0,2900	0,744
Rse (ext. heat transfer resistance)					0,04
U-value:		0,1923	W/m <sup>2</sup> K		
total thickness:		0,440	m		

Calculation results according to EN ISO 13786:	
external thermal admittance:	3,976 W/(m <sup>2</sup> K)
time shift external side:	2,52 h
internal thermal admittance:	0,240 W/(m <sup>2</sup> K)
time shift internal side:	1,29 h
periodic thermal transmittance:	0,035 W/(m <sup>2</sup> K)
time shift periodic thermal transmittance:	-10,09 h
external areal heat capacity:	55,146 kJ/(m <sup>2</sup> .K)
internal areal heat capacity:	3,784 kJ/(m <sup>2</sup> .K)
decrement factor f:	0,183

# norma HRN EN ISO 13786:2017 Toplinske značajke građevnih dijelova zgrade -- Dinamičke toplinske značajke -- Metode proračuna

## Kosi krov

Calculation results according to EN ISO 13786:	
external thermal admittance:	0,207 W/(m <sup>2</sup> K)
time shift external side:	1,93 h
internal thermal admittance:	0,690 W/(m <sup>2</sup> K)
time shift internal side:	4,61 h
periodic thermal transmittance:	0,164 W/(m <sup>2</sup> K)
time shift periodic thermal transmittance:	-1,52 h
external areal heat capacity:	2,284 kJ/(m <sup>2</sup> .K)
internal areal heat capacity:	9,832 kJ/(m <sup>2</sup> .K)
decrement factor f:	0,976

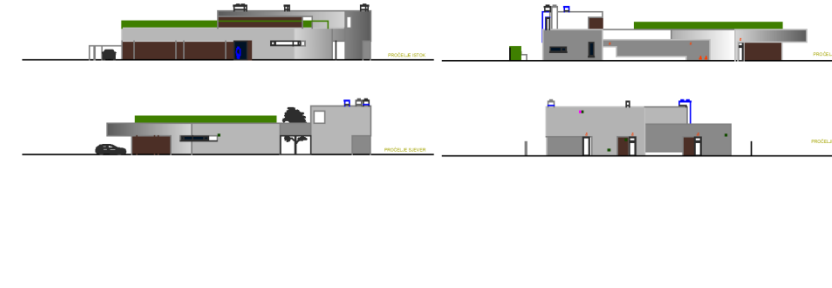
Zdravo 😊 Mogu li vas zamoliti za savjet u vezi izolacije potkrovla. Ispod krova smo stavili mekanu kamenu vunu, onu u ronli a ne onu u kockama, debljine 10cm. Medutim mislim da to nije dovoljno, preko ljeta je pretoplo u potkrovlu i jako nam se cuje buka iz vana. Zanima me da li treba staviti jos kamene vune i koje vrste? Srdacan pozdrav za vas 😊

Jednaka vrijednost  
U (W/m<sup>2</sup>K)!

<i>Calculation results according to EN ISO 13786:</i>	
external thermal admittance: time shift external side:	0,210 W/(m <sup>2</sup> K) 1,86 h
internal thermal admittance: time shift internal side:	6,534 W/(m <sup>2</sup> K) 1,19 h
periodic thermal transmittance: time shift periodic thermal transmittance:	0,051 W/(m <sup>2</sup> K) -6,52 h
external areal heat capacity:	3,336 kJ/(m <sup>2</sup> .K)
internal areal heat capacity:	90,154 kJ/(m <sup>2</sup> .K)
decrement factor f:	0,300

# Toplinska izolacija i utjecaj na potrebnu energiju za hlađenje

Gradbeni dijelovi						
#	Naziv	Vrsta	Agd	U	U(max)	fRs <sub>i</sub>
1	F1 - VANJSKI ZID	Vanjski zidovi	245,50	0,16	0,30	0,77
2	F1s - VANJSKI ZID - sokl	Vanjski zidovi	15,90	0,18	0,30	0,77
3	F2 - VANJSKI ZID	Vanjski zidovi	67,90	0,21	0,30	0,77
4	F2s - VANJSKI ZID - sokl	Vanjski zidovi	19,10	0,24	0,30	0,77
5	F3 - VANJSKI ZID	Vanjski zidovi	0,00	0,22	0,30	0,77
6	F3s - VANJSKI ZID - sokl	Vanjski zidovi	0,00	0,21	0,30	0,77
7	F4 - VANJSKI ZID - atrij spačave sobe	Vanjski zidovi	10,20	0,29	0,30	0,77
14	ZN1 STAN/GARAŽA	Zidovi prema garaži, provjetranom tavanu	23,70	0,26	0,30	0,77
16	P1 - POD NA TLJ - podno grijanje	Podovi na tlu	313,80	0,24	0,30	0,84
17	P2 - POD NA TLJ - podno grijanje	Podovi na tlu	7,10	0,28	0,30	0,84
19	PN1 - GARAŽA_negr.	Podovi na tlu	0,00	0,56	-	0,84
21	MK1 - MK - podno grijanje stana*	Stropovi između grijanih dijelova različitih korisni...	0,00	0,55	-	-
23	MK2 - MK - podno grijanje stana - kupaon...	Stropovi između grijanih dijelova različitih korisni...	0,00	0,54	-	-
24	OP1 - STROP IZNAĐ TERASE	Stropovi iznad vanjskog zraka, iznad garaže	25,50	0,16	0,30	0,77
25	OP2 - STROP IZNAĐ O.P. - kupaonica izn...	Stropovi iznad vanjskog zraka, iznad garaže	6,40	0,16	0,30	0,77
26	KR1 - NEPROHODNI KROV - iznad grij...	Ravni krovovi iznad grijanog prostora	117,70	0,14	0,25	0,77
29	KR3 - KROVNA TERASA kata	Ravni krovovi iznad grijanog prostora	38,30	0,13	0,25	0,77



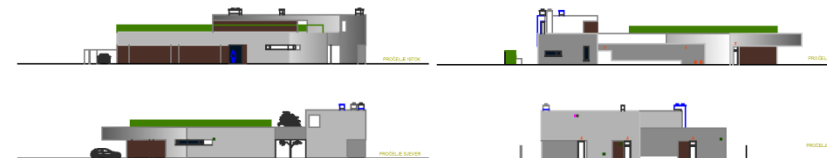
Slojevi			
Rbr.	Materijal	Debljina	R
1	Sloj za izravnavanje (glet)		0,300
2	2.01 Amiran beton	20,000	0,077
3	Polimemo-cementno ljeplilo	0,500	0,006
4	Krauf Insulation ploča za kontaktnе fasade FKD-N Thermal	20,000	5,882 ✓
5	Polimemo-cementno ljeplilo amirano staklenom mrežicom	0,500	0,006 ✓
6	Impregnacijski predpremaz	0,002	0,000 ✓
7	Silikonska završna žbuka	0,200	0,003 ✓

26 KR1 - NEPROHODNI KROV - iznad grij...	Ravni krovovi iznad grijanog prostora	117,70	0,14	0,25	0,77	0,97
29 KR3 - KROVNA TERASA kata	Ravni krovovi iznad grijanog prostora	38,30	0,13	0,25	0,77	0,97

Slojevi			
Rbr.	Materijal	Debljina	R
1	Sloj za izravnavanje (glet)		0,300
2	2.01 Amiran beton	20,000	0,077 ✓
3	Cementni eštir u nagibu	5,000	0,031 ✓
4	Geotekstil 350 g/m <sup>2</sup>	0,020	0,001 ✓
5	HOMESEAL LDS 200 AluPlus pama brana za ravne krovove	0,020	0,000 ✓
6	Krauf Insulation ploča za ravne krovove SmartRoof THERMAL	12,000	3,333 ✓
7	Krauf Insulation ploča za ravne krovove SmartRoof TOP	8,000	2,105 ✓
8	5.10 Polni hidro. traka na bazi FPO/TPO	0,015	0,001 ✓
9	Geotekstil 150-200 g/m <sup>2</sup>	0,020	0,001 ✓
10	7.03 Ekstrudirana poliizotriksna (XPS)	5,000	1,471 ✓
11	Geotekstil 150-200 g/m <sup>2</sup>	0,020	0,001 ✓
12	Drenažni sloj (@junak)	10,000	0,123 ✓

Rezultati proračuna potrebne toplinske energije za grijanje i toplinske energije za hlađenje		
A [m <sup>2</sup> ]	1197,93	f <sub>o</sub> [m <sup>-1</sup> ]
Ak [m <sup>2</sup> ]	352,40	Ak' [m <sup>2</sup> ]
Ve [m <sup>3</sup> ]	1666,90	
Q <sub>H,nd</sub> [kWh/a]	18861,18	
Q'' <sub>H,nd</sub> [kWh/m <sup>2</sup> a]	53,52	Q'' <sub>H,nd</sub> (max) [kWh/m <sup>2</sup> a]
Q <sub>C,nd</sub> [kWh/a]	8309,22	
Q'' <sub>C,nd</sub> [kWh/m <sup>2</sup> a]	23,58	Q'' <sub>C,nd</sub> (max) [kWh/m <sup>2</sup> a]

# Toplinska izolacija i utjecaj na potrebnu energiju za hlađenje



Ako uklonimo izolaciju iz vanjskih zidova, a u krovnoj konstrukciji svedemo na 5,00 cm:

Rezultati proračuna potrebne toplinske energije za grijanje i toplinske energije za hlađenje				Osvježi satni proračun
A [m <sup>2</sup> ]	1197,93	lo [m <sup>-1</sup> ]	0,72	
Ak [m <sup>2</sup> ]	352,40	Ak' [m <sup>2</sup> ]	352,40	
V <sub>e</sub> [m <sup>3</sup> ]	1666,90			
Q <sub>H,nd</sub> [kWh/a]	88431,42			
Q <sup>"</sup> <sub>H,nd</sub> [W/m <sup>2</sup> a]	250,94	Q <sup>"</sup> <sub>H,nd</sub> (max) [kWh/m <sup>2</sup> a]	61,55	NE ZADOVOLJAVA
Q <sub>C,nd</sub> [kWh/a]	3600,96	Q <sup>"</sup> <sub>C,nd</sub> (max) [kWh/m <sup>2</sup> a]	50,00	ZADOVOLJAVA
Q <sup>"</sup> <sub>C,nd</sub> [W/m <sup>2</sup> a]	10,22			
E <sup>"</sup> <sub>del</sub> [kWh/a]	20371,73			
E <sup>"</sup> <sub>del</sub> [kWh/(m <sup>2</sup> a)]	75,40			
E <sub>prim</sub> [kWh/a]	42886,88			
E <sup>"</sup> <sub>prim</sub> [kWh/(m <sup>2</sup> a)]	121,70	E <sup>"</sup> <sub>prim</sub> (max) [kWh/(m <sup>2</sup> a)]	45,00	NE ZADOVOLJAVA
H <sub>tr,adj</sub> [W/m <sup>2</sup> K]	1,46	H <sup>"</sup> <sub>tr,adj</sub> (max) [W/m <sup>2</sup> K]	0,51	NE ZADOVOLJAVA
H <sub>tr,adj</sub> [W/K]	1749,03			
H <sub>ve,adj</sub> [W/K]	146,25			
Q <sub>l</sub> [kWh]	152844,98	Q <sub>s</sub> [kWh]	18237,86	
Q <sub>g</sub> [kWh]	15435,12	Q <sub>g</sub> [kWh]	33672,98	

...potrebno je manje energije za hlađenje?!

# Toplinska izolacija i utjecaj na potrebnu energiju za hlađenje

## Izvod iz jednog Izvješća o provedenom energetskom pregledu hotela

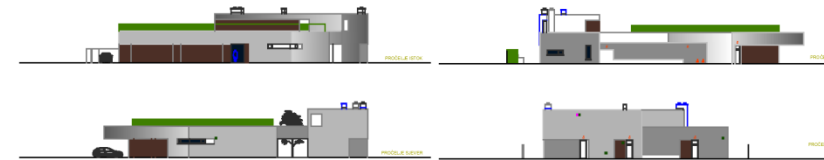
### 4.2. MJERA 2. SANACIJA GRAĐEVINSKIH ELEMENATA

Sanacija građevinskih elemenata ovojnica.

U svrhu poboljšanja toplinsko izolacijskih karakteristika vanjske ovojnice zgrada razmatrana je mogućnost sanacije građevinskih elemenata (koji ne zadovoljavaju Tehnički propis o racionalnoj uporabi energije i toplinskoj zaštiti zgrada). Zgrade se, zbog osnovne djelatnosti (ugostiteljsko turistička) koriste sezonski pa se iz tog razloga ne griju. Hlade se sve površine objekata. Poboljšanjem toplinsko izolacijskih karakteristika vanjske ovojnice povećala bi se potrošnja energije za potrebe hlađenja, stoga je neisplativo ulaganje u poboljšanja fizikalnih svojstava zgrada.

# Toplinska izolacija i utjecaj na potrebnu energiju za hlađenje

## Toplinski dobici kroz neprovidne dijelove vanjske ovojnica



Članak 16.

(1) Godišnja potrebna toplinska energija za grijanje zgrade,  $Q_{H,nd}$  (kWh/a), izračunava se u skladu s normom HRN EN ISO 13790:2008, za stvarne klimatske podatke, uz sljedeće uvjete:

- za proračun potrebne toplinske energije za grijanje zgrade  $Q_{H,nd}$  (kWh/a), za zgradu s uvedenim sustavom za klimatizaciju za unutarnju temperaturu grijanja,  $\theta_{int, set,H}$ , primjenjuje se projektom predviđena vrijednost;
- za proračun potrebne toplinske energije za grijanje zgrade  $Q_{H,nd}$  (kWh/a), koja nema uveden sustav za klimatizaciju, primjenjuje se unutarnja projektna temperatura grijanja,  $\theta_{int, set,H}$ , u skladu s Algoritmom, tablica 1.1 unutarnje proračunske temperature;
- za proračun potrebne toplinske energije za grijanje zgrade,  $Q_{H,nd}$  (kWh/a), koja nema uveden sustav za klimatizaciju i koja nije navedena u Algoritmu u tablici 1.1 unutarnje proračunske temperature, za unutarnju temperaturu grijanja,  $\theta_{int, set,H}$ , primjenjuje se projektom predviđena vrijednost;
- svaki prekid grijanja (dnevni i satni), izračunavaju se u skladu s Algoritmom;
- kod zgrada stambene i nestambene namjene izračuni za sustave s nekontinuiranim radom mogu se primjeniti samo u slučaju postojanja elemenata automatske regulacije rada sustava grijanja kojim je omogućen automatski prekid rada tijekom noći;
- unutarnji dobici topline,  $Q_{int}$ , računaju se s vrijednošću 6 W/m<sup>2</sup> ploštine korisne površine grijanog dijela nestambene zgrade, te 5 W/m<sup>2</sup> ploštine korisne površine grijanog dijela stambene zgrade, što se odnosi na dobitke topline od osoba, rasvjete, kućanskih i uredskih uređaja;
- ostali unutarnji dobici topline od opreme, procesa, odnosno uređaja, trebaju se dodatno uključiti u proračun;
- kod proračuna solarnih dobitaka topline,  $Q_{sol}$  ne uzimaju se u obzir neprozirne plohe vanjskih građevnih dijelova koje su izložene sunčevu zračenju, a kod prozirnih površina potrebno je uzeti u obzir zasjenjenost od pomičnog i nepomičnog zasjenjenja kako je navedeno u Algoritmu;

## Algoritam:

?

$A_{sol,c}$  – efektivna površina neprozirnog građevnog elementa (zida) na koju upada sunčevu zračenje (m<sup>2</sup>)

$$A_{sol,c} = \alpha_{S,c} R_{se} U_c A_c \quad [m^2] \quad \text{HRN EN 13790 (45)} \quad (1.69)$$

$\alpha_{S,c}$  – bezdimenzijski apsorpcijski koeficijent zida/krova (-), **Tablica 1.15**;

$R_{se}$  – plošni toplinski otpor vanjske površine zida/krova,  $R_{se} = 0,04$  (m<sup>2</sup>K)/W, Tablica 3.2;

$U_c$  – koeficijent prolaska topline zida/krova prema (W/(m<sup>2</sup>K)), vidi poglavlje 3.4;

$A_c$  – projicirana površina zida (m<sup>2</sup>).

**Tablica 1.15 (DIN V 18599-2 Tablica 6) Bezdimenzijski apsorpcijski koeficijent različitih površina**

Površina	$\alpha_{S,c} [-]$
Zidovi	
- svjetle boje	0,4
- zamuklene boje	0,6
- tamne boje	0,8
Krovovi	
- crnep	0,6
- tamne površine	0,8
- metal visokog sjaja	0,2
- šindra	0,6

Toplinski tok zračenja k-tog građevnog elementa prema nebu (W);

$$\Phi_{r,k} = R_{se} U_c A_c h_r \Delta\theta_{er} \quad [W] \quad \text{HRN EN 13790 (46)} \quad (1.70)$$

$h_r$  – vanjski koeficijent prijelaza topline zračenjem (W/(m<sup>2</sup>K));

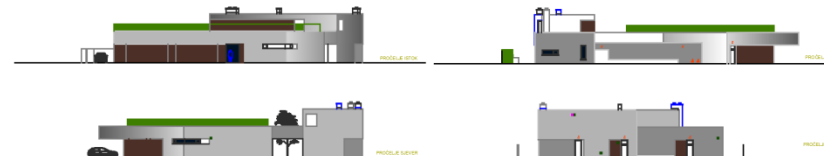
$h_r \approx 5\varepsilon$  (W/(m<sup>2</sup>K)), koeficijent emisivnosti zida  $\varepsilon \approx 0,9$ , prema HRN EN 13790 pog. 11.4.6;

$\Delta\theta_{er}$  – prosječna temperaturna razlika vanjske temperature zraka i temperature neba (K),

$\Delta\theta_{er} \approx 10^\circ C$ , prema HRN EN pog. 11.4.6.

# Toplinska izolacija i utjecaj na potrebnu energiju za hlađenje

Toplinski dobici kroz neprovidne dijelove vanjske ovojnica



**02. Površina građevnog dijela**

Dio oplošja  Da  
Izostavi iz sol. dobitaka.  Da

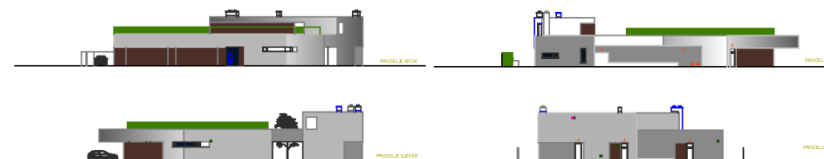
**02. Površina građevnog dijela**

Dio oplošja  Da  
Izostavi iz sol. dobitaka.  Ne

Rezultati proračuna potrebne toplinske energije za grijanje i toplinske energije za hlađenje				Osvježi satni proračun
A [m <sup>2</sup> ]	1197,93	f <sub>o</sub> [m <sup>-1</sup> ]	0,72	
A <sub>k</sub> [m <sup>2</sup> ]	352,40	A <sub>k'</sub> [m <sup>2</sup> ]	352,40	
V <sub>e</sub> [m <sup>3</sup> ]	1666,90			
Q <sub>H,nd</sub> [kWh/a]	87016,30			
Q'' <sub>H,nd</sub> [kWh/m <sup>2</sup> a]	246,92	Q'' <sub>H,nd</sub> (max) [kWh/m <sup>2</sup> a]	61,55	NE ZADOVOLJAVA
Q <sub>C,nd</sub> [kWh/a]	6808,94	Q'' <sub>C,nd</sub> (max) [kWh/m <sup>2</sup> a]	50,00	ZADOVOLJAVA
Q'' <sub>C,nd</sub> [kWh/m <sup>2</sup> a]	19,32			
E <sub>del</sub> [kWh/a]	26157,70			
E'' <sub>del</sub> [kWh/(m <sup>2</sup> a)]	74,23			
E <sub>prim</sub> [kWh/a]	42218,52			
E'' <sub>prim</sub> [kWh/(m <sup>2</sup> a)]	119,80	E'' <sub>prim</sub> (max) [kWh/(m <sup>2</sup> a)]	45,00	NE ZADOVOLJAVA
H' <sub>tr,adj</sub> [W/m <sup>2</sup> K]	1,46	H' <sub>tr,adj</sub> (max) [W/m <sup>2</sup> K]	0,51	NE ZADOVOLJAVA
H <sub>tr,adj</sub> [W/K]	1749,03			
H <sub>ve,adj</sub> [W/K]	146,25			
Q <sub>l</sub> [kWh]	152844,98	Q <sub>s</sub> [kWh]	24622,34	
Q <sub>g</sub> [kWh]	15435,12	Q <sub>g</sub> [kWh]	40057,46	

#### Rezultati proračuna potrebne toplinske energije za grijanje i toplinske energije za hlađenje

A [m <sup>2</sup> ]	1197,93	f <sub>o</sub> [m <sup>-1</sup> ]	
A <sub>k</sub> [m <sup>2</sup> ]	352,40	A <sub>k'</sub> [m <sup>2</sup> ]	
V <sub>e</sub> [m <sup>3</sup> ]	1666,90		
Q <sub>H,nd</sub> [kWh/a]	18861,18		
Q'' <sub>H,nd</sub> [kWh/m <sup>2</sup> a]	53,52	Q'' <sub>H,nd</sub> (max) [kWh/m <sup>2</sup> a]	
Q <sub>C,nd</sub> [kWh/a]	8309,22		
Q'' <sub>C,nd</sub> [kWh/m <sup>2</sup> a]	23,58	Q'' <sub>C,nd</sub> (max) [kWh/m <sup>2</sup> a]	



Ukupni toplinski gubici Ventilacijski gubici Toplinski transmisijski gubici Ostali toplinski gubici

Karakterističan dan mjeseca: Siječanj

Podaci perioda grijanja Podaci perioda hlađenja

Rezultati proračuna Infiltracija Prozračivanje Mehanička ventilacija i protok zraka **Free cooling**

Napomene:

- \* Proračun ventilacijskih gubitaka u slučaju korištenja "Free cooling" nije sastavni dio "Methodologije provođenja energetskog pregleda zgrada".
- \* Preporučena vrijednost broja izmjena zraka ( $n_{freecool}$ ) je u rasponu od 1 - 3 [h<sup>-1</sup>]. Maksimalna dozvoljena vrijednost je 10 [h<sup>-1</sup>].
- \* Ukoliko se zbog unesene prevelike vrijednosti broja izmjena zraka ( $n_{freecool}$ ) pojavi potreba za grijanjem u lipnju, srpnju i kolovozu (koja nije postojala prije uključenja proračuna "Free cooling"), potrebno je smanjiti broj izmjena zraka ( $n_{freecool}$ ).

#### Proračun izmjena zraka uslijed 'free cooling'

##### 01. Osnovni podaci

#	1
Uključen 'Free cooling'	Da
n <sub>free cool</sub>	3,00
A	352,40
V A	0,00
V mech,des,C	0,00
V	1266,84

#### Rezultati proračuna potrebne toplinske energije za grijanje i toplinske energije za hlađenje

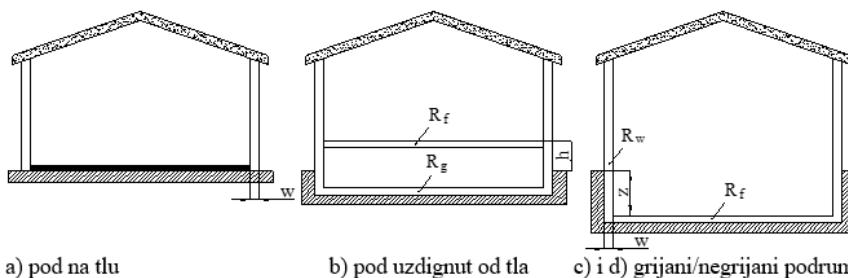
A [m <sup>2</sup> ]	1197,93	f <sub>o</sub> [m <sup>-1</sup> ]	0,72
A <sub>k</sub> [m <sup>2</sup> ]	352,40	A <sub>k'</sub> [m <sup>2</sup> ]	352,40
V <sub>e</sub> [m <sup>3</sup> ]	1666,90		
Q <sub>H,nd</sub> [kWh/a]	18861,18		
Q'' <sub>H,nd</sub> [kWh/m <sup>2</sup> a]	53,52	Q'' <sub>H,nd</sub> (max) [kWh/m <sup>2</sup> a]	61,55
Q <sub>C,nd</sub> [kWh/a]	3947,27		
Q'' <sub>C,nd</sub> [kWh/m <sup>2</sup> a]	10,92	Q'' <sub>C,nd</sub> (max) [kWh/m <sup>2</sup> a]	50,00

Gubici prema tlu

# Izmjenjena toplinska energija transmisijom između grijanog prostora i tla (HRN EN 13370:2007)

Koeficijent prolaska topline  $U$  i koeficijenti  $H_{pi}$  i  $H_{pe}$  računaju se posebno za četiri različita slučaja (Slika 1.3):

- a) pod na tlu
- b) pod uzdignut od tla
- c) grijani podrum
- d) negrijani podrum



Slika 1.3 Različite izvedbe poda

Kako bi se uzela u obzir toplinska tromost tla te prikladna temperaturna razlika kod izmjene topline s tlom proračun se provodi na mjesечноj bazi i to prema normi HR EN ISO 13370, dodatak A.

Koeficijent transmisijske izmjene topline prema tlu za proračunski period,  $H_{g,m}$ , iznosi:

$$H_{g,m} = \frac{\Phi_m}{\vartheta_{int,m} - \vartheta_{e,m}} \quad [\text{W/K}] \quad \text{HRN EN 13370 (A.10)} \quad (1.20)$$

pri čemu je

- $\Phi_m$  - toplinski tok izmjene topline s tlom za proračunski mjesec (W);
- $\vartheta_{int,m}$  - unutarnja postavna temperatura za proračunski mjesec ( $^{\circ}\text{C}$ );
- $\vartheta_{e,m}$  - srednja vanjska temperatura za proračunski mjesec ( $^{\circ}\text{C}$ ).

# Izmjenjena toplinska energija transmisijom između grijanog prostora i tla (HRN EN 13370:2007)

Za poznate srednje mjesecne temperature vanjskog zraka toplinski tok izmjene topline s tlom za proračunski mjesec može se pojednostavljeno računati prema sljedećem izrazu:

$$\Phi_m = H_g (\bar{\vartheta}_{int} - \bar{\vartheta}_e) - H_{pi} (\bar{\vartheta}_{int} - \vartheta_{int,m}) + H_{pe} (\bar{\vartheta}_e - \vartheta_{e,m}) \quad (W)$$

HRN EN 13370 (A.4)      (1.22)

gdje su:

- $H_g$  - stacionarni koeficijent transmisijske izmjene topline prema tlu (W/K);  
 $H_{pi}$  - unutarnji periodički koeficijent transmisijske izmjene topline (W/K);  
 $H_{pe}$  - vanjski periodički koeficijent transmisijske izmjene topline (W/K);  
 $\bar{\vartheta}_{int}$  - srednja godišnja unutarnja temperatura (°C);  
 $\bar{\vartheta}_e$  - srednja godišnja vanjska temperatura (°C);  
 $\vartheta_{int,m}$  - unutarnja temperatura za proračunski mjesec  $m$  (°C), prema Tablici 1.1 (zimski mjeseci: siječanj, veljača, ožujak, travanj, listopad, studeni, prosinac; ljetni mjeseci: svibanj, lipanj, srpanj, kolovoz i rujan);  
 $\vartheta_{e,m}$  - vanjska temperatura za proračunski mjesec  $m$  (°C);  
 $m$  - broj mjeseca (od  $m = 1$  za siječanj do  $m = 12$  za prosinac).

Stacionarni koeficijent transmisijske izmjene topline prema tlu računa se prema izrazu:

$$H_g = A_g \cdot U + P \cdot \psi_g \quad [W/K] \quad \text{HRN EN 13370 (1)} \quad (1.23)$$

gdje je:

- $A_g$  - površina poda ( $m^2$ );  
 $U$  - koeficijent prolaska topline između unutarnjeg i vanjskog prostora ( $W/(m^2K)$ );  
 $P$  - izloženi opseg poda (m);  
 $\psi_g$  - duljinski koeficijent prolaska topline za spoj zida i poda ( $W/(m K)$ ), poglavlje 4.1.

# Izmjenjena toplinska energija transmisijom između grijanog prostora i tla (HRN EN 13370:2007)

## Metodologija

*Metodologija provođenja energetskog pregleda zgrada – 2021*

### 5.4.3. Izračun gubitaka prema tlu

Kod izračuna gubitaka prema tlu važno je napomenuti da postoji više modela za izračun gubitaka prema tlu te će se isti u nastavku objasniti.

**Pod na tlu** se uzima u obzir kada se pod nalazi u kontaktu s tlom, te u tom dijelu ne postoje zidovi koji su ukopani u tlo.

**Grijani podrum** se koristi kada postoje dijelovi koji su ukopani u tlo. Taj dio nužno ne mora biti grijan već je pomoću njega moguće opisati gubitke prostorija (bilo grijanih ili negrijanih) prema tlu ako su iste dijelom ukopane u tlo (gubici zida prema tlu).

**Negrijani podrum** se koristi samo kao „negrijana“ prostorija. Preporuča se korištenje ovog modela kada je sigurno da se cijelom svojom površinom prostorija nalazi neposredno ispod grijane prostorije (i naravno u kontaktu s tlom). Ukoliko postoji dio „podruma“ koji se nalazi van gabarita zgrada, tada se definira negrijana prostorija, te se u njoj definiraju gubici.

**Pod s međuprostorom** se koristi kada je između poda i tla međuprostor zraka. Također se koristi kada nema ukopanih dijelova zidova iznad poda u tlu.

Osnovne dimenzije za izračun gubitaka prema tlu:

$A$  – površina poda prema tlu, [ $\text{m}^2$ ]

$P$  – ukupna dužina vanjskih zidova koji odvajaju grijani prostor od vanjskog okoliša [ $\text{m}$ ] – izloženi opseg poda

$z$  – dubina poduma ispod razine tla, [ $\text{m}$ ]

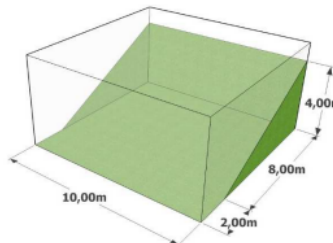
$w$  – ukupna debљina zida, [ $\text{m}$ ]

U nastavku će se prikazati primjeri za izračun gubitaka prema tlu:

Dio zgrade kao na slici 5-8 je djelomično ukopan u teren. Potrebno je odrediti sve parametre za određivanje gubitaka prema tlu za slučaj prikazan na slici.

Na slici su prikazane i dimenzije prostorije. Također radi jednostavnosti izračuna zanemarena je debљina zida „ $w$ “.

U navedenom slučaju će se kao model gubitaka prema tlu koristiti model grijanog podruma.



Slika 5-8 Gubici prema tlu - kosi teren

Kao prvi korak pri određivanju gubitaka prema tlu potrebno je odrediti površinu poda. U konkretnom slučaju površina poda je neto površina koja graniči s tlom.

$$A = 10,00 \cdot 10,00 = 100,00 \text{ m}^2$$

Kako bi se pravilno izračunali gubici zida prema tlu potrebno je odrediti površinu zida koji graniči s tlom te izloženi opseg poda. U konkretnom slučaju izloženi opseg poda iznosi:

$$P = 10,00 \cdot 4 = 40,00 \text{ m}$$

Kako bi se kod ovakvog izračuna pravilno uvrstila vrijednost „ $z$ “ (visina podumskog zida prema tlu) potrebno je odrediti površinu zida prema tlu te istu podijeliti s izloženim opsegom kao što je prikazano u nastavku:

$$A_{zt} = \frac{8,00 \cdot 4,00}{2} \cdot 2 + 10,00 \cdot 4,00 = 72,00 \text{ m}^2$$

$$z = \frac{A_{zt}}{P} = \frac{72,00 \text{ m}^2}{40,00 \text{ m}} = 1,80 \text{ m}$$

Nakon određivanja gore navedenih podataka ( $A$ ,  $P$ ,  $z$ ) potrebno je uvrstiti debљinu vanjskog zida te linjske gubitke uslijed toplinskog mosta kako bi se do kraja proveo izračun gubitaka prema tlu.

# Izmjenjena toplinska energija transmisijom između grijanog prostora i tla (HRN EN 13370:2007)

## Grijani podrum



Gradbeni dijelovi								
#	Naziv	Vrata	Agd	U	U(max)	fRai	fRs(max)	
1	VZ1 - vanjski zid - prizemlje	Vanjski zidovi	81.40	1,54	0,30	0,77	0,62	✗
2	VZ2 - vanjski zid - suteren	Vanjski zidovi	43,50	1,22	0,30	0,77	0,69	✗
3	VZ3 - vanjski zid - prizemlje/prema garazi	Zidovi prema garazi, provjetravanim tavanu	24,90	1,35	0,30	0,77	0,66	✗
4	VZ4 - vanjski zid - suteren/sjever	Zidovi prema garazi, provjetravanim tavanu	15,10	1,50	0,30	0,77	0,63	✗
5	VZ5 - vanjski zid - suteren/jug	Vanjski zidovi	2,30	1,69	0,30	0,77	0,58	✗
6	Z1 - zid prema tlu	Zidovi prema tlu	52,90	1,34	0,40	0,84	0,66	✗
7	S strop prema tavanu	Stropovi prema provjetravanim tavanu	100,00	0,65	0,25	0,77	0,84	✗
8	RK - ravni krov iznad ulaza	Ravni krovovi iznad grijanog prostora	4,50	2,76	0,25	0,77	0,31	✗
9	P - pod na tlu podruma	Podove na tlu	104,50	2,90	0,40	0,84	0,27	✗
10	MK - međukatna konstrukcija	Stropovi između grijanih dijelova različitih korisnika	104,50	2,04	0,60	-	-	✗

Slojevi			
Rbr.	Materijal	Debljina	R
1	4.05 Drvo - meko - crnogorica	1,000	0,077
2	Neprovjetravan sloj zraka	1,000	0,150
3	3.03 Vapneno-cementna žbuka	2,000	0,020
4	1.02 Puna opeka od gline	25,000	0,368
5	3.18 Cementni mort	2,000	0,013
6	1.15 Prirodni kamen	3,000	0,021

<b>01. Osnovni podaci</b>	
Zona	1 Obiteljska kuća - grijani prostor
Tip gubitka	Grijani i negrijani podrumi
Vista tla	Pijesak, šljunak
Zid	Z1 - zid prema tlu
Pod	P - pod na tlu podruma
Strop	MK - međukatna konstrukcija
Zid iznad nivoa tla	
A	104,50
P	40,70
B'	5,14
W	29,00
z	1,50
<b>02. Toplinski most</b>	
Vista toplinskog mosta	GF1
$\psi$	= 0,65
<b>03. Vrsta podruma</b>	
Vrsta podruma	Grijani podrum
n	0,30
V	250,00
H	1,50
<b>04. Rezultati proračuna</b>	
$\lambda$	2,00
Dt	0,83
Dw	1,57
Uf	2,04
Uw	0,00
Ubw	0,00
Rf	0,10
Ubf	0,55
$\beta$	1,00
U	0,59
Hpl	106,23
Hpe	54,84
Hg	124,45
<b>05. Om</b>	
Hg.m.H	
Hg.m.C	
<b>z</b>	Dubina podruma ispod razine tla [m].

<b>03. Vrsta podruma</b>	
Vrsta podruma	Negrijani podrum
n	0,30
V	250,00
H	1,50

# Izmjenjena toplinska energija transmisijom između grijanog prostora i tla (HRN EN 13370:2007)

Tablica 1. Najveće dopuštene vrijednosti koeficijenta prolaska topline,  $U$  [W/(m<sup>2</sup>·K)], građevnih dijelova novih zgrada, i nakon rekonstrukcije postojećih zgrada

Redni broj	Građevni dio	$U$ [W/(m <sup>2</sup> ·K)]			
		$\Theta_{int,act,H} \geq 18^\circ\text{C}$		$12^\circ\text{C} < \Theta_{int,act,H} < 18^\circ\text{C}$	
		$\Theta_{e,mj,min} \leq 3^\circ\text{C}$	$\Theta_{e,mj,min} > 3^\circ\text{C}$	$\Theta_{e,mj,min} \leq 3^\circ\text{C}$	$\Theta_{e,mj,min} > 3^\circ\text{C}$
1.	Vanjski zidovi, zidovi prema garaži, zidovi prema provjetravnom tavanu	0,30	0,45	0,50	0,60
2.	Prozori, balkonska vrata, krovni prozori, ostali prozirni elementi ovojnica zgrade	1,60	1,80	2,50	2,80
3.	Ostakljeni dio prozora, balkonskih vrata, krovnih prozora, prozirnih elemenata ovojnica zgrade ( $U_p$ )	1,10	1,40	1,40	1,40
4.	Ravni i kosi krovovi iznad grijanog prostora, stropovi prema provjetravnom tavanu	0,25	0,30	0,40	0,50
5.	Stropovi iznad vanjskog zraka, stropovi iznad garaže	0,25	0,30	0,40	0,50
6.	Zidovi i stropovi prema negrijanim prostorijama i negrijanom stubištu temperature više od 0 °C	0,40	0,60	0,90	1,20
7.	Zidovi prema tlu, podovi na tlu	0,40 <sup>1)</sup>	0,50 <sup>1)</sup>	0,65 <sup>1)</sup>	0,80 <sup>1)</sup>
8.	Vanjska vrata, vrata prema negrijanom stubištu, s ne-prozirnim vratnim krilom i ostakljene pregrade prema negrijanom ili provjetravnom prostoru	2,00	2,40	2,90	2,90
9.	Stjenke kutija za rolete	0,60	0,80	0,80	0,80
10.	Stropovi i zidovi između stanova ili između različitih grijanih posebnih dijelova zgrade (poslovnih prostora i sl.)	0,60	0,80	1,20	1,20
11.	Kupole i svjetlosne trake	2,5	2,5	2,5	2,5
12.	Vjetrobrani, promatrano u smjeru otvaranja vrata	3,0	3,0	3,0	3,0

Napomena:  $\Theta_{e,mj,min}$  je srednja mjeseca temperatura vanjskog zraka najhladnjeg mjeseca na lokaciji zgrade.

- 1) Kod podova na tlu zahtjev vrijedi do dubine poda prostorije 5 m od vanjskog zida, zida prema tlu ili negrijanog prostora, osim u slučaju projektiranja podnog grijanja.

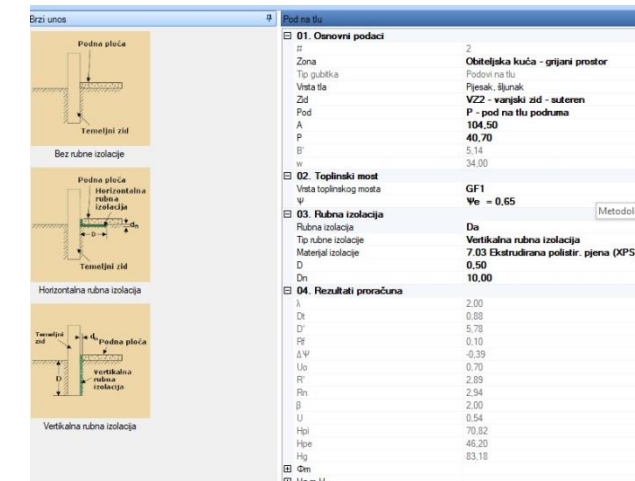
# Izmjenjena toplinska energija transmisijom između grijanog prostora i tla (HRN EN 13370:2007)

## Pod na tlu

**Pod na tlu**

01. Osnovni podaci	
#	2
Zona	<b>Obiteljska kuća - grijani prostor</b>
Tip gubitka	Podovi na tlu
Vrsta tla	Pjesak, šljunak
Zid	<b>VZ2 - vanjski zid - suteren</b>
Pod	<b>P - pod na tlu podruma</b>
A	<b>104,50</b>
P	<b>40,70</b>
B'	5,14
w	34,00
02. Toplinski most	
Vrsta toplinskog mosta	<b>GF1</b>
$\psi$	<b><math>\psi_e = 0,65</math></b>
03. Rubna izolacija	
Rubna izolacija	Ne
Tip rubne izolacije	Horizontalna rubna izolacija
Materijal izolacije	Knauf Insulation filc za pregradne zidove TI 140 MP
D	0,00
Dn	0,00
04. Rezultati proračuna	
$\lambda$	2,00
Dt	0,88
D'	0,00
Rf	0,10
$\Delta\psi$	0,00
Uo	0,70
R'	0,00
Rn	0,00
$\beta$	1,00
U	0,70
Hpi	70,82
Hpe	46,20
Hg	99,23
<input type="checkbox"/> $\Phi_m$	
<input type="checkbox"/> Hg.m.H	
<input type="checkbox"/> Hg.m.C	
<b>P</b> Izloženi opseg poda [m].	

Prijenos topline prema tlu					
#	Tip gubitka	Pod	U	Hg	
2	Podovi na tlu	P - pod na tlu podruma	0,70	99,23	<input checked="" type="checkbox"/>



**Pod na tlu**

01. Osnovni podaci	
#	2
Zona	<b>Obiteljska kuća - grijani prostor</b>
Tip gubitka	Podovi na tlu
Vrsta tla	Pjesak, šljunak
Zid	<b>VZ2 - vanjski zid - suteren</b>
Pod	<b>P - pod na tlu podruma</b>
A	<b>104,50</b>
P	<b>40,70</b>
B'	5,14
w	34,00
02. Toplinski most	
Vrsta toplinskog mosta	<b>GF1</b>
$\psi$	<b><math>\psi_e = 0,65</math></b>
03. Rubna izolacija	
Rubna izolacija	Da
Tip rubne izolacije	Vertikalna rubna izolacija
Materijal izolacije	7.03 Ekstrudirana polistirenen pjenica (XPS)
D	<b>0,50</b>
Dn	<b>10,00</b>
04. Rezultati proračuna	
$\lambda$	2,00
Dt	0,88
D'	5,79
Rf	0,10
$\Delta\psi$	0,39
Uo	0,70
R'	2,89
Rn	2,94
$\beta$	2,00
U	0,54
Hpi	70,82
Hpe	46,20
Hg	83,18
<input type="checkbox"/> $\Phi_m$	
<input type="checkbox"/> Hg.m.H	
<input type="checkbox"/> Hg.m.C	

Prijenos topline prema tlu					
#	Tip gubitka	Pod	U	Hg	
2	Podovi na tlu	P - pod na tlu podruma	0,54	83,18	<input checked="" type="checkbox"/>

# Izmjenjena toplinska energija transmisijom između grijanog prostora i tla (HRN EN 13370:2007)

Za poznate srednje mjesecne temperature vanjskog zraka toplinski tok izmjene topline s tlom za proračunski mjesec može se pojednostavljeno računati prema sljedećem izrazu:

$$\Phi_m = H_g(\bar{\vartheta}_{int} - \bar{\vartheta}_e) - H_{pi}(\bar{\vartheta}_{int} - \vartheta_{int,m}) + H_{pe}(\bar{\vartheta}_e - \vartheta_{e,m-\beta}) \quad (1.22)$$

gdje su:

- $H_g$  - stacionarni koeficijent transmisijske izmjene topline prema tlu (W/K);  
 $H_{pi}$  - unutarnji periodički koeficijent transmisijske izmjene topline (W/K);  
 $H_{pe}$  - vanjski periodički koeficijent transmisijske izmjene topline (W/K);  
 $\bar{\vartheta}_{int}$  - srednja godišnja unutarnja temperatura (°C);  
 $\bar{\vartheta}_e$  - srednja godišnja vanjska temperatura (°C);  
 $\vartheta_{int,m}$  - unutarnja temperatura za proračunski mjesec  $m$  (°C), prema Tablici 1.1 (zimski mjeseci: siječanj, veljača, ožujak, travanj, listopad, studeni, prosinac; ljetni mjeseci: svibanj, lipanj, srpanj, kolovoza i rujan);  
 $\vartheta_{e,m-\beta}$  - vanjska temperatura za proračunski mjesec  $(m-\beta)$  (°C), kad je  $m-\beta=0$  potrebno je uzeti temperaturu za prosinac, a kad je  $m-\beta=-1$  potrebno je uzeti temperaturu za studeni;  
 $m$  - broj mjeseca (od  $m = 1$  za siječanj do  $m = 12$  za prosinac);  
 $\beta$  - fazni pomak u mjesecima (Tablica 1.3a).

Tablica 1.3a (HRN EN 13370 Tablica F.2) Fazni pomaci (u mjesecima)

Izvedba poda	$\beta$
Pod na tlu, bez rubne izolacije	1
Pod na tlu s unutarnjom vodoravnom rubnom izolacijom	1
Pod na tlu s vertikalnom ili vanjskom rubnom izolacijom	2
Pod uzdignut od tla	0
Grijani/negrijani podrum	1

Stacionarni koeficijent transmisijske izmjene topline prema tlu računa se prema izrazu:

$$H_g = A_g \cdot U + P \cdot \psi_g \quad [\text{W/K}] \quad \text{HRN EN 13370 (1)} \quad (1.23)$$

## ETICS sustavi s težim završnim oblogama

Kamene i keramičke obloge na ETICS sustavima

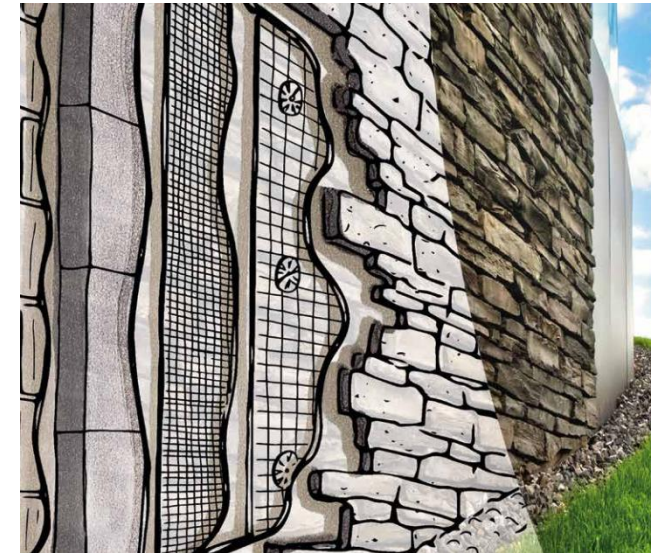


# ETICS sustavi s težim završnim oblogama

## Kamene i keramičke obloge na ETICS sustavima HUPFAS

- **površina ploča:** ne smije biti veća od  $0,09 \text{ m}^2$
- **dimenzijske ploča (oblik):** dužina jedne stranice ne smije prelaziti 30 cm, čime se postiže ujednačen termički rad s podlogom u uzdužnom i poprečnom smjeru. Ako je riječ o ekstrudiranim pločama iz grupe A1 (vodoupojnosti  $\leq 3\%$ ) koje se koriste kao obloga, dimenzijske mogu odstupati od navedenih tako da jedna stranica može biti do 40 cm, s tim da debljina ploče ne smije biti veća od 12 mm.
- **debljina ploča:** ne smije biti veća od 15 mm. Maksimalno dopušteno površinsko opterećenje na podlogu (ukupna težina armaturnog sloja, ljestvica za pločice i obloge) ne smije prelaziti  $35 \text{ kg/m}^2$ .
- **radius i volumen pora:** preporuka je da leđna strana pločice bude hrapava (promjer pora manji od  $0,20 \mu\text{m}$ , a volumen pora manji od  $20 \text{ mm}^3/\text{g}$ )
- **vodoupojnost** obloge prema HRN EN ISO 10545-3: Keramičke pločice - 3. dio: Određivanje upijanja vode, prvidne poroznosti, prvidne relativne gustoće i volumena mase ne smije prelaziti 6% za obloge koje se postavljaju na izolacijske ploče od EPS-a i 3 % za obloge koje se postavljaju na izolacijske ploče od mineralne vune.

Vrste sustava	Klinker pločice	Mozaik	Keramičke pločice	Umjetni kamen	Prirodni kamen
Izgled površine					
Težina sustava	do $50 \text{ kg/m}^2$			do $103 \text{ kg/m}^2$	



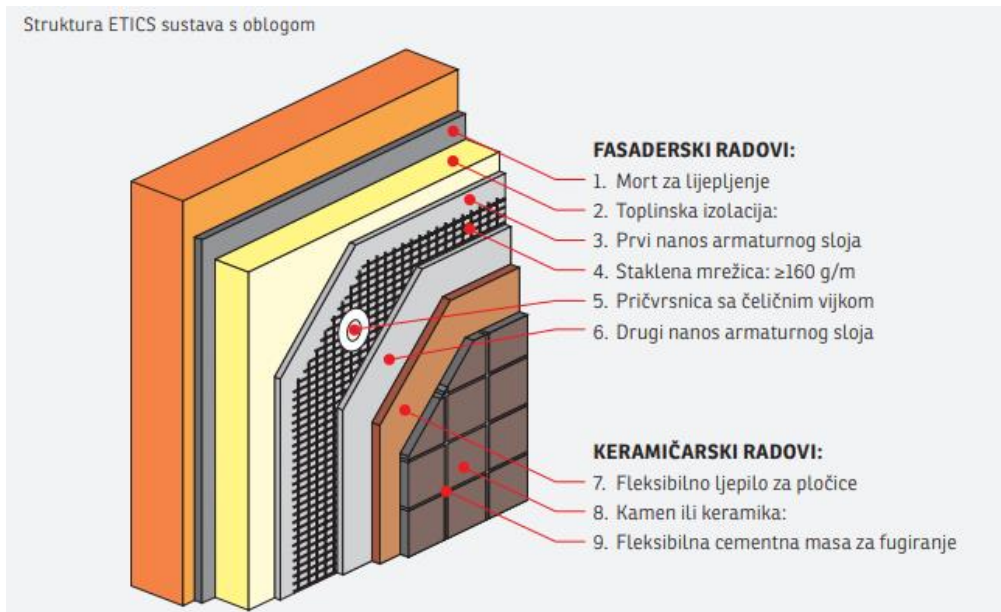
Smjernice proizvođača

U skladu sa standardom udio površine fuga bi morao iznositi min. 6 % i po mogućnosti ne biti manji od 8 mm, uz iznimku pločica malog formata (kao npr. Mozaik). Iz toga proizlazi da površine pločica ne smiju biti veće od  $1200 \text{ cm}^2$  te da je kod izduženijih formata pločica potrebno izbjegavati duljine veće od 60 cm.

....  
Toplinsko-izolacijski sustavi na vanjskom čvrstom ziđu za oblaganje tvrdim oblogama od  $4\text{--}1200 \text{ cm}^2$  ukupne težine sustava\* do maks.  $103 \text{ kg/m}^2$  ( $\leq 1,05 \text{ kN/m}^2$ ).

# ETICS sustavi s težim završnim oblogama

## Kamene i keramičke obloge na ETICS sustavima

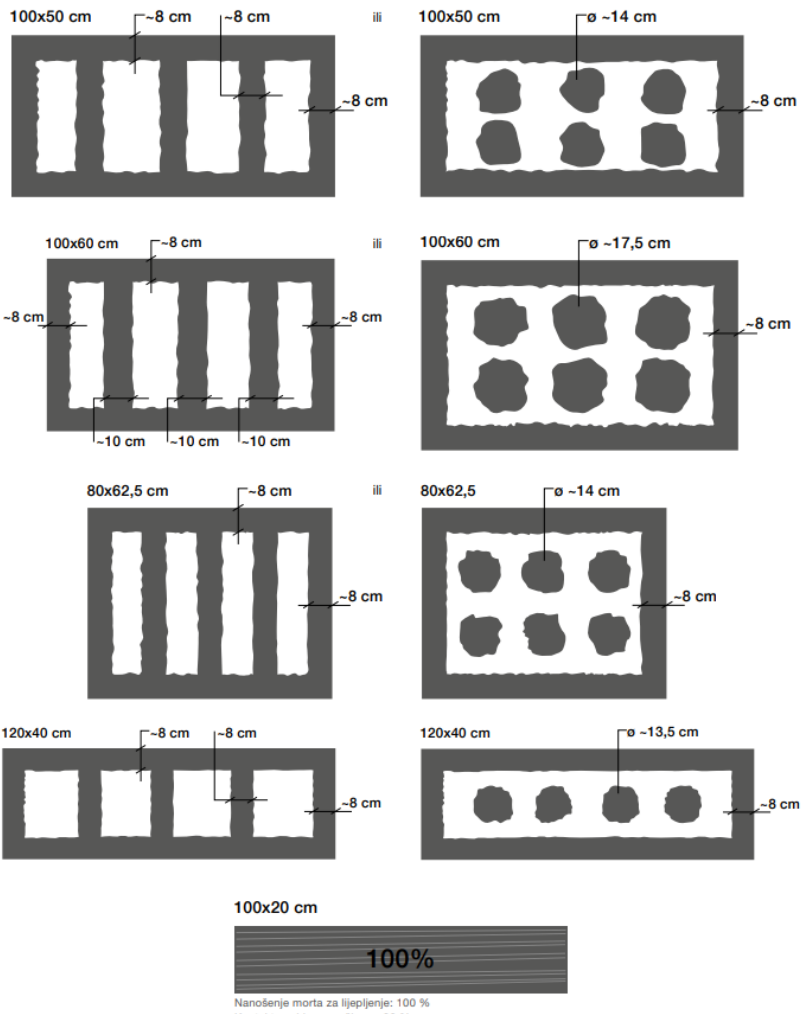


- minimalna pokrivenost ploče ljepilom nakon pritiska ploče na podlogu iznosi 60 %!
- najveća dopuštena debljina toplinske izolacije je 20 cm.
- Postavljanje pričvrsnica kod ETICS sustava s kamenom ili keramičkom oblogom uvijek se provodi tako da je rozeta pričvrsnice iznad staklene mrežice, tj. postavlja se neposredno nakon utiskivanja mrežice u svježi prvi nanos morta za armiranje. Pričvrsnica mora biti isključivo s čeličnim vijkom (npr. EJOT STR U) promjera rozete  $\geq 60 \text{ mm}$ . Kako bi se težina obloge mogla učinkovito prenijeti u podlogu, duljina sidrenja čeličnog vijka mora biti, ovisno o vrsti podloge, od 25 do 65 mm, odnosno prema propisu proizvođača
- Broj pričvrsnica po kvadratnom metru određuje se s obzirom na opterećenje vjetrom u skladu s HRN EN 1991-1-4. Minimalni broj pričvrsnica je 6 kom./m<sup>2</sup>, a maksimalni 12 kom./m<sup>2</sup>

# ETICS sustavi s težim završnim oblogama

## Kamene i keramičke obloge na ETICS sustavima

Primjeri lijepljenja na raznim dimenzija ploča kako bi se postigla potrebna površina kontakta ljeplila od 60 % ili 80 % na zidu:



## ETICS sustavi s težim završnim oblogama



# HVALA!

*Silvio Novak, dipl.ing.grad.  
silvio.novak@knaufinsulation.com*